



524  
1972

საქართველოს სსრ  
აკადემიის გარემონტის  
აკადემიუმი

# АМЯГИ СООБЩЕНИЯ

АКАДЕМИИ НАУК  
ГРУЗИНСКОЙ ССР

# BULLETIN OF THE ACADEMY OF SCIENCES OF THE GEORGIAN SSR

№ 68 том

№ 3

დეკემბერი 1972 დეკაბრь

თბილისი • TBILISI

52  
1972  
საქართველოს სსრ  
აკადემიის გაცემის  
მუნიციპალიტეტი

საქართველოს სსრ  
აკადემიის გაცემის  
მუნიციპალიტეტი

# ამაგა

## СООБЩЕНИЯ

АКАДЕМИИ НАУК  
ГРУЗИНСКОЙ ССР

## BULLETIN

OF THE ACADEMY OF SCIENCES  
OF THE GEORGIAN SSR

11794

ტომ 68 თომ

№ 3

დეკემბერი 1972 დეკაბრь

თბილისი \* თბილისი \* TBILISI



საქართველოს სსრ  
აკადემიის განვითარების  
აკადემიუმი

# ამაგანე

## СООБЩЕНИЯ

АКАДЕМИИ НАУК  
ГРУЗИНСКОЙ ССР

## BULLETIN

OF THE ACADEMY OF SCIENCES  
OF THE GEORGIAN SSR

11794

№ 68 ТОМ

№ 3

დეკემბერი 1972 ДЕКАБРЬ

თბილისი \* ТБИЛИСИ \* TBILISI



## ს პ რ ე დ ა კ ც ი მ ბ ი ლ ი ბ ი ლ ი

ა. ბოჭორიშვილი, პ. გამგრელიძე, დ. ვედევანიშვილი, ი. ვიგინევიშვილი (მთ. რედაქტორის  
მოადგილე), თ. დავითაძე, რ. ლვალი, ს. დურმიშიძე, ი. ვეკუა, ნ. კეცხოველი,  
ვ. კუპრაძე, ნ. ლანდია (მთ. რედაქტორის მოადგილე), [ვ. მამასახლისოფი], ვ. ჩხალიანი,  
გ. მელიქიშვილი, ნ. მტესელიშვილი, მ. საბაშვილი, გ. ციცაშვილი, გ. წერეთელი,  
გ. ჩარაძე (მთავარი რედაქტორი), ა. ჯანელიძე

### Р Е Д А К Ц И О Н Н А Я К О Л Л Е Г И Я

А. Т. Бочоришвили, И. Н. Векуа, П. Д. Гамкрелидзе, Д. М. Гедеванишвили,  
И. М. Гигинеишвили (зам. главного редактора), Ф. Ф. Давитая, Р. Р. Двали,  
А. И. Джанелидзе, С. В. Дурмishvili, Н. Н. Кецховели, В. Д. Купрадзе,  
Н. А. Ландия (зам. главного редактора), [В. И. Мамасахлисова],  
В. В. Махадиани, Г. А. Меликишвили, Н. И. Мухчелишвили,  
М. Н. Сабашвили, Е. К. Харадзе (главный редактор), Г. В. Церетели,  
Г. В. Цицишвили

ნასუხისშეცვლი მდივანი კ. აბგანდაძე  
Ответственный секретарь К. З. Абжандадзе

ხელმოწერილი დასბეჭდია 8.12.1972; შეკ. № 2682; ანაზუბის ზომა 7×12;  
ქაღალდის ზომა 70×108; ფიზიკური ფურცელი 18; საღრიცხვო-საგამომცემლო  
ფურცელი 19,8; ნაშენდი ფურცელი 24,4; უფ 0119; ტირაჟ 1800

\* \* \*

Подписано к печати 8.12.1972; зак. № 2682; размер набора 7×12; размер  
бумаги 70×108; физический лист 18; уч.-издательский лист 19,8; печатный  
лист 24,4; УФ 0119; тираж 1800

\* \* \*

გამომცემლობა „მეცნიერბა“, თბილისი, 60, კიბურვეის ქ., 19  
სატუსტუ ინდექსი 380060

Издательство «Мечникеева», Тбилиси, 60, ул. Кутузова, 19  
Почтовый индекс 380060

\* \* \*

საქ. სსრ მეცნიერებათა აკადემიის სტამბა, თბილისი, 60, კიბურვეის 19  
Типография Академии наук ГССР. Тбилиси, 60, ул. Кутузова, 19  
Почтовый индекс 380060

## ხალხთა ლენინერი მეგობრობის დროშით

საბჭოთა სოციალისტური რესპუბლიკების კავშირში გაერთიანებული მოქმედი ხალხები ეგებებიან თავიანთი სახელოვანი ისტორიის ღირსშესანიშნავ თარიღს — სსრ კავშირის შექმნის 50 წლის-თავს. ეს იუბილე ჩვენი ქვეყნის, მსოფლიო სოციალისტური ბანაჟის ხალხებისა და მთელი მსოფლიოს შრომელთა დაადი დღესასწაულია. საბჭოთა კავშირი — ისტორიაში პირველი მრავალეროვანი სოციალისტური სახელმწიფო — დიდი ოქტომბრის სოციალისტური რევოლუციის პირმშოთ. მისი შექმნა, რაც დაკავშირებულია ვ. ი. ლენინის სახელთან, უდიდესი მოვლენაა ჩვენი ქვეყნისა და მსოფლიოს ისტორიაში თავისი პრლიტიკური მნიშვნელობითა და სოციალურ-ეკონომიკური შედეგებით.

საბჭოთა კავშირის ყველა ეროვნების შრომელთა შეკავშირებამ ერთ მძღვანე სოციალისტურ სახელმწიფოდ გაამრავლა მათი ძალები, უზრუნველყო საზოგადოებრივ ურთიერთობათა გარდაქმნა და ანალი საზოგადოების მატერიალური ბაზის შექმნა. ერთა მტურ ოჯახად გაერთიანებულმა ხალხებმა დასძლიერ სოციალურ-ეკონომიკური განვითარების უთანასწორობა. საქართველო გადაიქცა ინდუსტრიულ-აგრარულ რესპუბლიკად.

განვითარდა მრეწველობის ტრადიციული დარგები და შეიქმნა ახალი დარგები: შავი და ფერადი მეტალურგია, ელექტროენერგეტიკა, მანქანათმშენებლობა, ხელსაწყოთმშენებლობა და სხვ. ამჟამად საქართველოში არსებობს მრეწველობის 150 სხვადასხვა დარგის 1200 საწარმო, მათგან ათასზე მეტი აგებულია საბჭოთა ხელისუფლების წლებში. 1972 წელს, 1922 წელთან შედარებით, მრეწველობის პროდუქცია 161-ჯერ გაიზარდა.

დიდი ძრები მოხდა სოფლის მეურნეობაში. საქართველოს სოფლის მეურნეობის პროდუქცია 50 წლის განმავლობაში 7-ჯერ გაიზარდა.

საქართველოს სახალხო მეურნეობის პროდუქცია იგზავნება საბჭოთა კავშირის ყველა კუთხეში და მსოფლიოს 70 ქვეყანაში.

ეკონომიკის დარგში მოპოვებულმა წარმატებებმა უზრუნველყო საქართველოს შრომელთა მატერიალური კეთილდღეობის, კულტურისა და მეცნიერების დონის მევეთრი ამაღლება. უდიდეს შესტაბებს მიაღწია საქალაქო მშენებლობამ.

დიდი მუშაობა ჩატარდა ქალაქებისა და სოფლის ელექტრიფიკაციის, წყალმომარაგების, გაზიფიკაციის, კავშირგაბმულობისა და რადიოფიკაციის მხრივ. გაუმჯობესდა მშრომელთა კომუნალური, საეპურო და სამედიცინო მომსახურება.

სოციალისტური მშენებლობის წლებში განხორციელდა კულტურული რევოლუცია. ამჟამად საქართველოს 4500 ზოგადსაგანმანათ-



ლებლო სკოლაში ირიცხება მილიონზე მეტი მოსწავლე, 18 ათასი ლეს სასწავლებელში სწავლობს 90 ათასზე მეტი სტუდენტი. მარჯვენა თვეელოს უმაღლესი და საშუალო სპეციალური სასწავლებლები ამზადებენ კადრებს მოკავშირე რესპუბლიკური ინსტიტუტებისთვისაც.

უმაგალითო წარმატებებს მიაღწია მეცნიერებამ. 1932 წელს იბილისში დაარსდა სსრ კავშირის მეცნიერებათა აკადემიის ამიერკავკასიის ფილიალი, რომლის რეორგანიზაციის შედეგად 1935 წ. შეიქმნა სსრ კავშირის მეცნიერებათა აკადემიის საქართველოს ფილიალი; მის ბაზაზე კი 1941 წლის ოქტომბერში ჩამოყალიბდა საქართველოს სსრ მეცნიერებათა აკადემია. ამჟამად საქართველოში მეცნიერებათა აკადემიის სისტემისა და სხვა უწყებების 194 სამეცნიერო-კვლევითი დაწესებულებებაა. უმაღლეს სასწავლებლებსა და სამეცნიერო-კვლევითს დაწესებულებებში მუშაობს 21300 მეცნიერი მუშავი; მათ შორის 1000-ზე მეტი მეცნიერებათა დოქტორი და 6000-ზე მეტი მეცნიერებათა კანდიდატი.

საქართველოს სსრ მეცნიერებათა აკადემია წარმოადგენს საბჭოთა კავშირის ერთ-ერთ მნიშვნელოვან სამეცნიერო ცენტრს, რომელშიც წარმოდგენილია თანამედროვე მეცნიერების თითქმის ყველა დარგი. წარმატებით ვითარდება მეცნიერების ახალი დარგები: ატომური ფიზიკა, ნახევარგამტარების ფიზიკა, გეოქიმია, ბიოფიზიკა, ტექნიკური კიბერნეტიკა და სხვ.

საბჭოთა და მსოფლიო მეცნიერების განვითარებაში მნიშვნელოვანი წელილი შეაქვთ ქართველ მეცნიერებს. მთელ მსოფლიოში გაითქვეს სახელი ქართველმა მათემატიკოსებმა, ფიზიკოსებმა, გეოლოგებმა, ფიზიოლოგებმა, ფილოლოგებმა და მეცნიერების სხვა დარგის მოღვაწეებმა. ქართველ მეცნიერთა არაერთი ნაშრომი აღინიშნური და სახელმწიფო პრემიებით.

საქართველოში შექმნილია კულტურულ-საგანმანათლებლო დაწესებულებათა ფართო ქსელი. გაფართოვდა ბეჭდებითი პროდუქტია, განვითარდა თეატრალური და კინოხელოვნება. საყოველთაოდ ცნობილია ქართული ლიტერატურისა და სელონების მიღწევები.

სოციალიზმისა და კომუნიზმისათვის ქართველი ხალხის თავდადებული ბრძოლის დადასტურებაა საქართველოს სსრ დაჯილდოება თუ ლენინის თრდენით და ოქტომბრის რევოლუციის თრდენით.

ქართველი ხალხის ასეთი დიდი წარმატებები შედევია საბჭოთა კავშირის კომუნისტური პარტიის ბრძნული ხელმძღვანელობისა და მისი ერთ-ერთი მოწინავე რაზმის — საქართველოს კომუნისტური პარტიის მოღვაწეობისა.

ქართველი ხალხი საბჭოთა კავშირის ხალხების ერთიან ქმური კულტურით თავდადებით იბრძეს საბჭოთა კავშირის კომუნისტური პარტიის XXIV ყრილობის დიად მიზანდასახულებათა ხორციშესხმისათვის.

## ПОД ЗНАМЕНЕМ ЛЕНИНСКОЙ ДРУЖБЫ НАРОДОВ

Объединенные в единый Союз Советских Социалистических Республик братские народы встречают знаменательную дату своей славной истории — пятидесятилетие образования Союза ССР. Этот юбилей является великим праздником народов нашей страны, мирового социалистического лагеря и трудящихся всего мира. Советский Союз — первое в мире социалистическое многонациональное государство, рожденное Великой Октябрьской социалистической революцией. Его создание, связанное с именем В. И. Ленина, величайшее явление в истории нашей страны и всего мира по своему политическому значению и социально-экономическим результатам.

Слижение трудящихся всех национальностей Советского Союза заслужило их силы, обеспечило перестройку общественных отношений и создание материальной базы нового общества. Народы, объединенные в единую братскую семью, преодолели отставание в социально-экономическом развитии. Грузия превратилась в индустриально-аграрную республику с хорошо развитой многоотраслевой промышленностью, передовым социалистическим сельским хозяйством, наукой и культурой.

Получили развитие традиционные отрасли промышленности и были созданы новые: черная и цветная металлургия, электроэнергетика, машиностроение, приборостроение и др. В настоящее время в Грузии имеется 1200 производственных предприятий 150 отраслей промышленности. Из них более тысячи построены в годы Советской власти. В 1972 г., по сравнению с 1922 г., промышленная продукция возросла в 161 раз.

Большие сдвиги произошли в сельском хозяйстве. Сельскохозяйственная продукция Грузии в течение 50 лет возросла в 7 раз.

Продукция народного хозяйства Грузии поставляется во все уголки Советского Союза и экспортируется в 70 стран мира.

Успехи, достигнутые в области экономики, обеспечили резкий подъем уровня материального благосостояния трудящихся, культуры и науки Грузии. Грандиозных масштабов достигло городское строительство.

Проведены крупные работы по электрификации, водоснабжению, газификации, связи и радиофикации городов и сел республики. Улуч-



шено коммунальное, торговое и медицинское обслуживание населения.

В годы социалистического строительства была осуществлена культурная революция. В настоящее время в 4500 общеобразовательных школах Грузии числится более миллиона учащихся, в 18 высших учебных заведениях учатся свыше 90000 студентов. Высшие и средние специальные учебные заведения готовят кадры и для союзных республик.

Небывалых успехов достигла наука. В 1932 г. в Тбилиси был создан Закавказский филиал АН СССР, на основе реорганизации которого в 1935 г. был учрежден Грузинский филиал АН СССР. На базе последнего в феврале 1941 г. была основана Академия наук Грузинской ССР. В настоящее время в Грузии насчитывается 194 научно-исследовательских учреждения АН ГССР и других ведомств. В высших учебных заведениях и научно-исследовательских учреждениях республики занято 21300 научных работников, среди них около 1000 докторов наук и более 6000 кандидатов наук.

Академия наук Грузинской ССР является одним из крупных научных центров Советского Союза, в котором представлены почти все отрасли современной науки. С успехом развиваются новые области науки: атомная физика, физика полупроводников, геохимия, биофизика, техническая кибернетика и др.

В развитие советской и мировой науки значительный вклад вносят грузинские ученые. Во всем мире известны имена грузинских математиков, физиков, геологов, физиологов, филологов и деятелей других областей науки. Работы грузинских ученых отмечались Ленинскими и Государственными премиями.

В Грузии создана широкая сеть культурно-просветительных учреждений. Увеличилась печатная продукция, развилось театральное и киноискусство. Широко известны достижения грузинской литературы и искусства.

За самоотверженный труд грузинского народа в деле строительства социализма и коммунизма республика была награждена двумя орденами Ленина и орденом Октябрьской революции.

Столь великие успехи грузинского народа — результат мудрого руководства Коммунистической партии Советского Союза и деятельности одного из ее передовых отрядов — Коммунистической партии Грузии.

Грузинский народ в единой братской семье народов Советского Союза самоотверженно борется за осуществление великих предначертаний XXIV съезда КПСС.



МАТЕМАТИКА

А. С. ЦЕРЕТЕЛИ

ОБ ОДНОМ ВОПРОСЕ АППРОКСИМАЦИИ ФУНКЦИИ ДВУХ  
ПЕРЕМЕННЫХ ФУНКЦИЯМИ ВИДА  $\varphi(x)\psi(y)$

(Представлено членом-корреспондентом Академии Л. П. Гогиeli 9.6.1972)

Пусть  $D$ —некоторое ограниченное замкнутое множество в плоскости  $xOy$ ,  $f(x, y)$ —непрерывная на  $D$  функция,  $Dx(Dy)$ —проекция множества  $D$  на  $Ox(Oy)$ . Будем приближать функцию  $f(x, y)$  произведениями  $\varphi(x)\psi(y)$ , где  $\varphi(x) \in H_1 = \{\varphi(x)\}$  и  $\psi(y) \in H_2 = \{\psi(y)\}$ —классы функций, непрерывных соответственно на  $Ox$  и  $Oy$ .

Будем называть молнией (см. [1]) совокупность вершин ломаной линии, каждое звено которой параллельно либо  $Ox$ , либо  $Oy$  и два звена, имеющие общую вершину, перпендикулярны. Имеет место

Теорема 1. Если существует бесконечная молния  $L$ , такая, что в вершинах  $L$   $f(x, y) - \varphi_0(x)\psi_0(y)$ ,  $(\varphi_0(x) \in H_1, \psi_0(y) \in H_2)$  принимает значения  $\pm M$ , где  $M = \max_{(x, y) \in D} |f(x, y) - \varphi_0(x)\psi_0(y)|$ , причем знаки разности в соседних вершинах  $L$  противоположны, то функция  $\varphi_0(x)\psi_0(y)$  является функцией наилучшего равномерного приближения.

Объединяя эту теорему с результатами работы [2], будем иметь следующую теорему:

Теорема 2. Для того чтобы функция  $\varphi_0(x)\psi_0(y)$  ( $\varphi_0(x) \in H_1, \psi_0(y) \in H_2$ ) доставляла наилучшее равномерное приближение непрерывной функции  $f(x, y)$ , необходимо и достаточно, чтобы существовала молния  $L \subset D$  со следующими свойствами: 1)  $L$  либо замкнута, либо содержит бесконечное число звеньев; 2) в вершинах  $L$  разность  $f(x, y) - \varphi_0(x)\psi_0(y)$  принимает значения  $\pm M$ , где  $M = \max_{(x, y) \in D} |f(x, y) - \varphi_0(x)\psi_0(y)|$ , причем знаки разности в соседних вершинах  $L$  противоположны.

Тбилисский государственный университет

(Поступило 9.6.1972)

ВАЛЕНТИНА

ა. ფიროვალი

თემი ცელადის ფუნქციის  $\varphi(x)\psi(y)$  სახის ფუნქციებით  
აპროქსიმაციის მრთი საკითხის შესახებ

ტეზის გვ.

განხილულია საკითხი თრი ცელადის ფუნქციის  $\varphi(x)\psi(y)$  სახის ფუნქ-  
ციებით საუკეთესო თანაბარი მიახლოების შესახებ.

A. S. TSERETELI

ON ONE QUESTION OF APPROXIMATION OF FUNCTIONS  
 OF TWO VARIABLES BY THE FUNCTIONS OF  
 TYPE  $\varphi(x)\psi(y)$

## Summary

The question of best uniform approximation of functions of two variables by the functions of type  $\varphi(x)\psi(y)$  is considered.

## ЛІТЕРАТУРА — REFERENCES

1. Ю. П. Офман. Изв. АН СССР, сер. матем., 25, 1961, 239—252.
2. А. С. Церетели. Сообщения АН ГССР, 68, № 2, 1972.

К. Э. ЦИТЛАНДЗЕ

## ОБ УСИЛЕННОЙ НЕПРЕРЫВНОСТИ НЕЛИНЕЙНЫХ ВАРИАЦИОННЫХ ОПЕРАТОРОВ В БАНАХОВЫХ ПРОСТРАНСТВАХ

(Представлено членом-корреспондентом Академии Г. В. Челидзе 11.5.1972)

Доказывается необходимость условий усиленной непрерывности нелинейного оператора вариационного типа в банаховых самосопряженных пространствах, достаточность которых установлена в работе [1]. Другие условия усиленной непрерывности операторов упомянутого типа в рефлексивных банаховых пространствах исследованы в работах [2—4].

Сохраняются определения и обозначения работы [1].

Теорема. Пусть  $E$ —банахово самосопряженное действительное пространство,  $f(x)$ —дифференцируемый в смысле Фреше [5] функционал всюду в  $E$ . Тогда для усиленной непрерывности в  $\bar{S}(0; 1)$  ограниченного по норме оператора  $L_f x = \text{grad } f(x)$  необходимо и достаточно, чтобы  $f(x)$  был усиленно непрерывным в некотором замкнутом шаре  $\bar{S}(0; r)$ ,  $r > 1$ , остаток дифференирования  $\omega_1(x; h)$  был усиленно непрерывным функционалом в  $\bar{S}(0; r)$  по совокупности  $x, h$  и  $L_f x$  был слабо непрерывным оператором в  $\bar{S}(0; 1)$ .

Доказательство необходимости. Пусть  $L_f x$  усиленно непрерывен в  $\bar{S}(0; 1)$  и  $\{x_n\} \subset \bar{S}(0; 1)$ —произвольная последовательность, слабо сходящаяся к  $\bar{x} \in \bar{S}(0; 1)$ . Кроме того, пусть  $t$ —параметр из сегмента  $[0, 1]$ . Для каждого  $t$  последовательность  $\{tx_n\} \subset \bar{S}(0; 1)$  слабо сходится к  $t\bar{x} \in \bar{S}(0; 1)$ . Последовательности  $\{L_f tx_n\}$  и  $L_f t\bar{x}$  принадлежат множеству  $\Omega \subset \bar{S}(0; r)$ , и

$$\lim_{n \rightarrow \infty} \|L_f tx_n - L_f t\bar{x}\| = 0. \quad (1)$$

Рассмотрим последовательность скалярных произведений  $\langle (L_f tx_n, x_n) \rangle$ . Покажем, что

$$\lim_{n \rightarrow \infty} \langle (L_f tx_n, x_n) \rangle = \langle L_f t\bar{x}, \bar{x} \rangle. \quad (2)$$

Действительно, имеем

$$|(L_f tx_n, x_n) - \langle L_f t\bar{x}, \bar{x} \rangle| \leq \|L_f tx_n - L_f t\bar{x}\| \|x_n\| + |(L_f t\bar{x}, x_n - \bar{x})|. \quad (3)$$

В силу (1) и  $\|x_n\| \leq 1$  из (3) получим (2).

Далее, очевидно, последовательность  $\{(L_f t x_n, x_n)\}$  ограничена. В самом деле, так как  $L_f x$  ограничен в  $\bar{S}(0; 1)$ , то для всех  $x \in \bar{S}(0; 1)$  имеем  $\|L_f x\| \leq M \|x\|$ , где  $M$  — некоторая постоянная. Следовательно,

$$|(L_f t x_n, x_n)| \leq M t \|x_n\|^2 \leq M, \quad n = 1, 2, \dots \quad (4)$$

Используем теперь представление (4):

$$f(x_n) = \int_0^1 (L_f t x_n, x_n) dt + f(0).$$

Здесь в силу (4) справедлив предельный переход по  $n$ , поэтому получим

$$\lim_{n \rightarrow \infty} f(x_n) = \int_0^1 (L_f t \bar{x}, \bar{x}) dt + f(0) = f(\bar{x}).$$

Усиленная непрерывность  $f(x)$  доказана.

Докажем усиленную непрерывность  $\omega_f(x; h)$ .

Пусть  $\{x_n\}, \{h_n\} \subset \bar{S}(0; 1)$  — две произвольные последовательности, которые слабо сходятся соответственно к  $\bar{x}, \bar{h} \in \bar{S}(0; 1)$ . Тогда

$$\begin{aligned} |\omega_f(x_n; h_n) - \omega_f(\bar{x}; \bar{h})| &\leq |f(x_n + h_n) - f(\bar{x} + \bar{h})| + |f(x_n) - f(\bar{x})| + \\ &+ |(L_f x_n, h_n) - (L_f \bar{x}, \bar{h})|. \end{aligned} \quad (5)$$

Так как  $f(x)$  усиленно непрерывен в  $\bar{S}(0; r)$ ,  $L_f x_n \Rightarrow L_f \bar{x}$  и  $h_n \xrightarrow{\text{сл}} \bar{h}$ , то в результате предельного перехода из (5) будем иметь

$$\lim_{n \rightarrow \infty} \omega_f(x_n; h_n) = \omega_f(\bar{x}; \bar{h}).$$

Усиленная непрерывность  $\omega_f(x; h)$  в  $\bar{S}(0; r)$  по  $x, h$  доказана.

Наконец, слабая непрерывность оператора  $L_f x$  в  $\bar{S}(0; 1)$  является следствием усиленной непрерывности  $L_f x$ .

**Замечание.** Усиленно непрерывный в  $\bar{S}(0; 1)$  оператор  $L_f x$  усиленно компактен. Действительно, пусть  $T \subset \bar{S}(0; 1)$  — произвольный слабый компакт и  $L_f T = T' \subset \Omega$  — его образ. Множество  $T'$  слабо компактно. Возьмем произвольную последовательность  $\{L_f x_n\} \subset T'$  и обозначим один из ее прообразов через  $\{x_n\} \subset T$ . Из  $\{x_n\}$  выделим слабо сходящуюся к  $\bar{x} \in T$  подпоследовательность  $\{x_{n_k}\}$ . Тогда последовательность  $\{L_f x_{n_k}\} \subset \{L_f x_n\} \subset T'$  сходится по норме к  $L_f \bar{x} \in T'$ . Это значит, что  $L_f x$  есть усиленно компактный оператор.

Тбилисский государственный университет

(Поступило 12.5.1972)

Digitized by srujanika@gmail.com

არაფრიციდი ვარდაცლული იყვარათონების ძლიერი უზავეტობის  
შისახებ განახას სიცოცხლი

၁၃၈၀၂၆

შესწავლითა არაშროვი ვარჩაციული ოპერატორის ძლიერი უწყვეტობას აუცილებელი და საკმარისი პირობები ბანაზის თვითშეუღლებულ სივრცეში.

## MATHEMATICS

K. E. TSITLANADZE

## ON THE OPERATORS STRONG CONTINUITY OF NONLINEAR VARIATIONAL IN BANACH SPACES

## Summary

The necessary and sufficient conditions of strong continuity of nonlinear variational operators in Banach self-conjugated spaces are studied.

ବିଦ୍ୟାକୁଳାତ୍ମକା — ЛИТЕРАТУРА — REFERENCES

1. К. Э. Цитланадзе. Сообщения АН ГССР, 64, № 1, 1971, 29—32.
  2. М. М. Вайнберг. Вариационные методы исследования нелинейных операторов. М., 1956.
  3. М. А. Красносельский. Топологические методы в теории нелинейных интегральных уравнений. М., 1956.
  4. Э. С. Цитланадзе. Мат. сб., 29(71), 1951, 3—12.
  5. M. Fréchet. Ann. Sc. de l'Ecole Norm. super., 42, 1925, 293—323.



МАТЕМАТИКА

Е. Д. ЭРИСТОВА

О ЧИСЛЕ ЭЛЕМЕНТОВ ДАННОГО ПОРЯДКА В СПЛЕТЕНИИ КОНЕЧНЫХ ГРУПП

(Представлено академиком Г. С. Чогошвили 17.5.1972)

Теорема. Если конечная группа  $G = A \wr B$  — (стандартное) сплетение группы  $A$  с группой  $B$ , то

$$\nu_n(G) = \sum_{s|n} \nu_s(B) |A|^{\frac{|B|}{s}} \left\{ \frac{|B|}{s} \nu_{\frac{n}{s}}(A) \left[ \sum_{q|\frac{n}{s}} \nu_q(A) \right]^{\frac{|B|}{s}-1} - \sum_{R=2}^{\frac{|B|}{s}} \left( \frac{|B|}{s} \right) (R-1) \left[ \nu_{\frac{n}{s}}(A) \right]^R \left[ \sum_{q|\frac{n}{s}} \nu_q(A) \right]^{\frac{|B|}{s}-R} \right\},$$

где  $\nu_n(G)$  — число всех различных элементов порядка  $n$ , лежащих в группе  $G$ .

Доказательство. Так как группа  $G = A^B \wr B$ ,  $A^B = A_1 \times \cdots \times A_{|B|}$ , то все ее элементы единственным образом представимы в виде  $G \ni g = bk$ , где  $b \in B$ ,  $k \in A^B$ .

Элементы порядка  $n$  группы  $G$  могут лежать только в тех смежных системах  $bA^B$ , которые как элементы фактор-группы  $G/A^B$  имеют порядки, делящие  $n$ . (Пока мы не утверждаем, что они обязательно имеются в таких смежных системах).

Если  $|b| = s$ , то элемент  $b \in B$  индуцирует на множестве координатных подгрупп регулярную подстановку, равную произведению циклов длины  $s$ , т. е. элемент  $b$  можно представить в виде

$$b = (A_{11}, \dots, A_{s1})(A_{12}, \dots, A_{s2}) \cdots (A_{1, \frac{|B|}{s}}, \dots, A_{s, \frac{|B|}{s}}),$$

причем  $A_{ij}^b = A_{i+1,j}$  (здесь первые индексы редуцированы по модулю  $s$ ).

Согласно этому представлению, любой элемент  $k \in A^B$  будет иметь вид

$$k = \prod_{j=1}^{\frac{|B|}{s}} \prod_{i=1}^s a_{ij}^{f_j(i)},$$

где  $a_{ij}^{f_j(i)} \in A$ ,  $f_j(i) : \{1, \dots, s\} \rightarrow \{1, \dots, |A|\}$ , и зависит от  $j$ , номера цикла. Тогда

$$(bk)^s = k^{b^{s-1}} k^{b^{s-2}} \cdots k^b k =$$

$$= \prod_{j=1}^{|B|} \prod_{i=1}^s a_{ij}^{f_j(i-s+1)} a_{ij}^{f_j(i-s+2)} \dots a_{ij}^{f_j(i)} = \prod_{j=1}^{|B|} \prod_{i=1}^s \left( \prod_{t=1}^s a_{ij}^{f_j(i+t)} \right)_{ij}.$$

Покажем, что  $\prod_{t=1}^s a_{ij}^{f_j(i+t)}$  — элемент одного и того же порядка для всех  $i = 1, \dots, s$ .

Если  $i = s$ , то

$$\prod_{t=1}^s a_{ij}^{f_j(s+t)} = \prod_{t=1}^s a_{ij}^{f_j(t)}.$$

При  $i \neq s$  будем иметь

$$\begin{aligned} \prod_{t=1}^s a_{ij}^{f_j(i+t)} &= a_{ij}^{f_j(i+1)} \dots a_{ij}^{f_j(s)} a_{ij}^{f_j(1)} \dots a_{ij}^{f_j(i)} = \\ &= a_{ij}^{f_j(i+1)} \dots a_{ij}^{f_j(s)} a_{ij}^{f_j(1)} \dots a_{ij}^{f_j(i)} a_{ij}^{f_j(i+1)} \dots a_{ij}^{f_j(s)} (a_{ij}^{f_j(s)})^{-1} \dots \\ &\dots (a_{ij}^{f_j(i+1)})^{-1} = \left( \prod_{t=1}^s a_{ij}^{f_j(t)} \right)^{(a_{ij}^{f_j(i+1)} \dots a_{ij}^{f_j(s)})^{-1}}, \end{aligned}$$

т. е. при  $i \neq s$  получился элемент, сопряженный с элементом  $\prod_{t=1}^s a_{ij}^{f_j(t)}$ , а

сопряженные элементы, как известно, всегда одного порядка. Следовательно,  $(bk)^s$  представляет собой произведение элементов одного и того же порядка, взятых из координатных подгрупп  $A_{ij}$ ,  $i = 1, \dots, s$ .

Чтобы элемент  $bk$  имел порядок  $n$ , необходимо и достаточно, чтобы  $(bk)^s$  имел порядок  $\frac{n}{s}$ . Элемент  $(bk)^s$  будет иметь порядок  $\frac{n}{s}$ , если он представляет собой произведение элементов порядка  $\frac{n}{s}$ , взятых из координатных подгрупп какого-либо цикла, например  $j$ -го, и элементов порядка, делящего  $\frac{n}{s}$ , из остальных координатных подгрупп.

При этом элементы из координатных подгрупп, принадлежащих одному циклу, должны иметь один и тот же порядок. Определим количество существующих способов выбора элементов  $a_{ij}^{f_j(i+t)}$ ,  $t = 1, \dots, s$ , чтобы

$$\left| \prod_{t=1}^s a_{ij}^{f_j(i+t)} \right| = \frac{n}{s}.$$

Пусть  $a \in A$ ,  $|a| = \frac{n}{s}$ . Если элементам  $a_{ij}^{f_j(1)}, \dots, a_{ij}^{f_j(s-1)}$  придавать независимые произвольные значения из группы  $A$ , а элемент  $a_{ij}^{f_j(s)}$  брать рав-

ным  $[a^{f_1}(1) \dots a^{f_1}(s-1)]^{-1} a$ , то элемент  $(bk)^s$  будет состоять из произведения элементов порядка  $\frac{n}{s}$ , взятых из координатных подгрупп  $A_{ij}$ ,  $i = 1, \dots, s$ , причем из подгруппы  $A_{sf}$  взят элемент  $a_{sj} \rightarrow a \in A$ .

Используя правила комбинаторики, получаем, что число способов выбора элементов  $a^{f_1(i+t)}$ ,  $t = 1, \dots, s$ , равно

$$|A|^{s-1} \gamma_n(A).$$

Совершенно аналогично показывается, что для выбора элементов из координатных подгрупп каждого цикла, отличного от  $j$ -го, существует  $|A|^{s-1} \sum_{q \mid \frac{n}{s}} \gamma_q(A)$  способов. Но так как все циклы независимы друг от друга, то имеется

$$|A|^{s-1} \frac{\gamma_n}{s}(A) \left[ |A|^{s-1} \sum_{q \mid \frac{n}{s}} \gamma_q(A) \right]^{\frac{|B|}{s}-1}$$

различных элементов порядка  $n$ , содержащихся в смежной системе  $bA^B$ ,  $s$ -я степень которых состоит из элементов порядка  $\frac{n}{s}$ , взятых из координатных подгрупп  $A_{ij}$ ,  $i = 1, \dots, s$ .

Используя снова независимость и равноправность всех циклов, умножаем полученное выше число элементов  $n$ -го порядка на  $\frac{|B|}{s}$ :

$$\frac{|B|}{s} |A|^{s-1} \frac{\gamma_n}{s}(A) \left[ |A|^{s-1} \sum_{q \mid \frac{n}{s}} \gamma_q(A) \right]^{\frac{|B|}{s}-1}.$$

Однако среди этого числа элементов встречаются одинаковые. Имеются такие элементы  $bk$ , у которых  $s$ -я степень состоит из произведения элементов порядка  $\frac{n}{s}$ , взятых из нескольких координатных подгрупп.

Их надо вычесть. Тогда число различных элементов порядка  $n$ , содержащихся в смежной системе  $bA^B$ , будет равно

$$\frac{|B|}{s} |A|^{s-1} \frac{\gamma_n}{s}(A) \left[ |A|^{s-1} \sum_{q \mid \frac{n}{s}} \gamma_q(A) \right]^{\frac{|B|}{s}-1} -$$

$$- \sum_{R=2}^{\frac{|B|}{s}} \binom{\frac{|B|}{s}}{R} (R-1) \left[ \frac{\gamma_n}{s}(A) \right]^R \left[ (A)^{s-1} \right]^{\frac{|B|}{s}} \left[ \sum_{q \mid \frac{n}{s}} \gamma_q(A) \right]^{\frac{|B|}{s}-R} = \\ q \neq \frac{n}{s}$$

$$\begin{aligned}
 &= |A|^{\frac{|B|}{s} - \frac{|B|}{s}} \left\{ \frac{|B|}{s} v_{\frac{n}{s}}(A) \left[ \sum_{q \mid \frac{n}{s}} v_q(A) \right]^{\frac{|B|}{s} - 1} - \right. \\
 &\quad \left. - \sum_{R=2}^{\frac{|B|}{s}} \left( \frac{|B|}{s} \right) (R-1) [v_{\frac{n}{s}}(A)]^R \left[ \sum_{q \mid \frac{n}{s}} v_q(A) \right]^{\frac{|B|}{s} - R} \right\}.
 \end{aligned}$$

Просуммировав все различные элементы порядка  $n$  по всем смежным системам  $G$  по  $A^B$ , получим

$$\begin{aligned}
 v_n(G) &= \sum_{s \mid n} v_s(B) |A|^{\frac{|B|}{s} - \frac{|B|}{s}} \left\{ \frac{|B|}{s} v_{\frac{n}{s}}(A) \left[ \sum_{q \mid \frac{n}{s}} v_q(A) \right]^{\frac{|B|}{s} - 1} - \right. \\
 &\quad \left. - \sum_{R=2}^{\frac{|B|}{s}} \left( \frac{|B|}{s} \right) (R-1) [v_{\frac{n}{s}}(A)]^R \left[ \sum_{q \mid \frac{n}{s}} v_q(A) \right]^{\frac{|B|}{s} - R} \right\}
 \end{aligned}$$

что и требовалось доказать.

Кабардино-Балкарский  
государственный университет

(Поступило 18.5.1972)

Інституту

О. Еристовы

Академике  
Кабардино-Балкарской Академии Наук  
и Ученых

И. Исаев

Доказательство теоремы, что для групп  $A$  и  $B$  в их прямом произведении  $G = A \wr B$  количество элементов порядка  $n$  равно  $v_n(G)$ .

MATHEMATICS

E. D. ERISTOVA

## ON THE NUMBER OF ELEMENTS OF THE GIVEN ORDER IN THE WREATH PRODUCT OF FINITE GROUPS

Summary

The theorem is proved which gives a formula of the number  $v_n(G)$  of elements of any given order of  $n$  in the wreath product  $G$  of two finite groups  $A$  and  $B$  by means of  $v_m(A)$  and  $v_m(B)$ , where  $m$  is any integer dividing  $n$ .

Я. Г. БЕРКОВИЧ

## О КОНЕЧНЫХ МЕТАЦИКЛИЧЕСКИХ ГРУППАХ

(Представлено академиком Г. С. Чогошвили 17.5.1972)

Метациклической называется группа, являющаяся расширением циклической группы посредством циклической. Здесь рассматриваются только конечные группы. Используются стандартные обозначения и определения. Отметим, что частный случай теоремы 2 (когда автоморфизм имеет простой порядок) доказан Г. О. Каганом. Заметка (особенно теорема 2) стимулирована беседами с А. И. Саксоновым.

Теорема 1. Пусть среди максимальных подгрупп метациклической группы  $G$  нет характеристических. Тогда  $G = A \times B \times Q$ , где  $A$  и  $B$  — изоморфные циклические подгруппы, а  $Q = 1$  или обычная группа кватернионов (в этом случае число  $|A|$  нечетно).

Теорема 2. Метациклическая группа, допускающая регулярный автоморфизм, абелева.

Напомним, что автоморфизм  $\varphi$  группы  $G$  называется регулярным, если  $\varphi \neq 1$  и из  $x^\varphi = x$  для некоторого  $x$  из  $G$  следует  $x = 1$ . Подгруппа  $H$  группы  $G$  называется  $\varphi$ -допустимой, если  $H^\varphi = H$ . Понятно, что регулярный автоморфизм  $\varphi$  индуцирует на  $\varphi$ -допустимой подгруппе  $H$  регулярный автоморфизм  $\varphi|_H$ .

Для удобства приведем нужные в дальнейшем свойства регулярного автоморфизма  $\varphi$  группы  $G$ :

(1а) Любой элемент группы  $G$  однозначно представим в виде  $x^{-1}x^\varphi$  с подходящим  $x$  из  $G$  (это свойство характеризует регулярный автоморфизм).

(2а) Пусть  $H$  —  $\varphi$ -допустимая подгруппа группы  $G$ . Положим  $(xH)^\varphi = x^\varphi H$ . Определенное таким образом отображение  $\varphi$  имеет на множестве левых смежных систем  $G$  по  $H$  точно одну неподвижную точку  $H$ .

(3а) Пусть подгруппа  $H$  группы  $G$  такова, что  $H^\varphi = x^{-1}Hx$  для подходящего  $x$  из  $G$ . Тогда среди сопряженных с  $H$  подгрупп группы  $G$  имеется точно одна каноническая  $H_1$  (т. е.  $H_1^\varphi = H_1$ ).

Докажем, что если коммутант группы  $G$  цикличесен и среди максимальных подгрупп группы  $G$  нет характеристических, то она нильпотентна. Не уменьшая общности, можем считать, что гиперцентр группы  $G$  единичен (считаем, что  $G$  ненильпотента). Пусть  $C$  — централизатор в  $G$  некоторой подгруппы  $L$  простого порядка  $p$  из коммутанта.  $C$  — собственная характеристическая подгруппа группы  $G$  с циклической факторгруппой. Если  $M/C$  — максимальная подгруппа в  $G/C$ , то  $M$  характеристична в  $G$  — противоречие. Присступим теперь к доказательству теоремы 1.

**Доказательство теоремы 1.** Так как  $G$ , по только что доказанному, нильпотентна, то, не уменьшая общности, можем положить  $|G|=p^n$ , где  $p$ —некоторое простое число.

Пусть вначале  $p=2$ . Пусть  $L$  означает подгруппу простого порядка в коммутанте. Предположим, что  $G/L$  неабелева. Считая, что теорема уже доказана для групп, порядок которых меньше  $|G|$ , видим, что  $G/L$ —обычная группа кватернионов (по индукции). Класс нильпотентности группы  $G$  равен двум (если бы  $G$  была группой класса 3, то она содержала бы характеристическую подгруппу индекса 2—противоречие).  $G/G'$  абелева типа (4,2). Но тогда  $\{x|x \in G, x^2 \in G'\}$ —характеристическая подгруппа индекса 2 в  $G$ —противоречие. Итак,  $G/L$  абелева. Тогда  $|G/G'|=2^{2m}$ , при этом  $G/G'$  абелева типа  $(2^m, 2^m)$ . В этом случае  $\{x|x \in G, x^{2^m}=1\}$  характеристична в  $G$  и имеет в ней индекс 2, если только  $m>1$ . Если же  $m=1$ , то  $G$ —обычная группа кватернионов.

Пусть теперь  $p>2$ . Тогда по индукции  $G/L$  абелева типа  $(p^m, p^m)$  и  $\{x|x \in G, x^{p^m}=1\}$ —характеристическая подгруппа простого индекса в  $G$ —противоречие, доказывающее теорему.

Докажем нильпотентность группы  $G$  при несколько более слабом предположении, чем в теореме 2. Пусть  $\varphi$ —такой автоморфизм группы  $G$  с циклическим коммутантом, что  $G$  порождается элементами вида  $x^{-1}x^\varphi, x \in G$ . Пусть  $F$ —относительный голоморф  $G$  и  $\varphi$ . По предположению, коммутант группы  $F$  совпадает с  $G$ . Так как  $\text{Aut}(G')$  абелева, то факторгруппа  $F/C_F(G')$  абелева, так что  $G \leqslant C_F(G')$ . Но тогда  $G$  нильпотентна класса два, что и требовалось доказать.

Обратимся к доказательству теоремы 2. По только что сказанному, группа  $G$  нильпотентна.

**Доказательство теоремы 2.** Так как  $G$  нильпотентна, то можем предположить, что  $G$  является  $p$ -группой. Предположим, что  $G$ —контрпример минимального порядка. По (2а) и индукции  $G'$ —единственная нормальная  $\varphi$ -допустимая подгруппа порядка  $p$  в  $G$ . Тогда

$$G = \langle ab | a^{p^m} = b^{p^n} = 1, a^{p^{m-1}} = [a, b] \rangle,$$

откуда тотчас получаем  $b^pa = ab^p, a^p = ba^p$ . Подгруппы  $\langle a, b^p \rangle$  и  $\langle a^p, b \rangle$  абелевы и максимальны в  $G$ . В этом случае  $G$ —минимальная неабелева группа и  $\langle a, b^p \rangle \cap \langle a^p, b \rangle = Z(G)$ .

Среди всех циклических подгрупп  $A$  с  $G' \leqslant A$  с циклической факторгруппой  $G/A$  выберем подгруппу  $\langle a \rangle$  наибольшего порядка. Покажем, что  $G$  расщепляется над  $\langle a \rangle$ . Мы имеем  $\Phi(G) = \langle a^p \rangle \times \langle b^p \rangle = G' \langle x^p | x \in G \rangle$ . Но, очевидно, первый множитель содержитя во втором, так, что  $\Phi(G) = \langle x^p | x \in G \rangle$ . Предположим, что  $G$  нерасщепляется над  $\langle a \rangle$ . Из рассмотрения факторгруппы  $G/G'$  видно, что  $b$  можно выбрать так, что  $b^{p^{n-1}} = a^{p^{m-1}}$ . Благодаря выбору  $\langle a \rangle$  имеем  $m \geq n$ . Положим  $\bar{b} = ba^{-p^{n-m}}$ . Очевидно,  $\bar{b}^{p^{n-1}} = b^{p^{n-1}}a^{-p^{m-1}} = 1$ . Так как  $G = \langle \bar{b}, a \rangle$  и  $|\langle \bar{b} \rangle| = |G : \langle a \rangle|$ , то  $\langle \bar{b} \rangle \cap \langle a \rangle = 1$ . Итак,  $G$  расщепляется над  $\langle a \rangle$ . В дальнейшем считаем, что  $\langle a \rangle \cap \langle b \rangle = 1$ .

Пусть  $\varphi$  — некоторый автоморфизм группы  $G$ . Положим  $a^\varphi = a^\alpha b^\beta$ ,  $b^\varphi = a^\gamma b^\delta$ . Далее, положим  $[b, a] = c$ . Так как  $\varphi$  — автоморфизм, то

$$c^\varphi = [b^\varphi, a^\varphi] = [a^\gamma b^\delta, a^\alpha b^\beta] = [a^\gamma, b^\beta] \cdot [b^\delta, a^\alpha] = c^{\alpha\delta - \beta\gamma} = c^\alpha b^{-\beta p^{m-1}}.$$

Из полученного равенства вытекают такие условия автоморфности  $\varphi$ :

$$\alpha\delta - \beta\gamma \equiv \alpha \pmod{p},$$

$$\beta p^{m-1} \equiv 0 \pmod{p^n}.$$

Предположим, что  $n > m$  (снова считаем, что  $\varphi$  — регулярный автоморфизм, тогда, очевидно,  $p > 2$ ). Тогда  $G'$  не  $\leqslant \langle x^{p^{m-1}} \mid x \in \Phi(G) \rangle$ , а последняя подгруппа  $\varphi$ -допустима и нормальна в  $G$  — при отображение. Итак,  $m \geq n$ .

Предположим, что  $m > n$ . Тогда  $b^\varphi = a^\gamma b^\delta$  имеет порядок  $p^n$ , который меньше  $p^m$ . Это влечет за собой  $\gamma \equiv 0 \pmod{p}$ . Так как  $\alpha \equiv 0 \pmod{p}$ , то  $\delta \equiv 1 \pmod{p}$ . Но тогда  $b^\varphi = a^\gamma b^\delta \equiv b \pmod{\Phi(G)}$  — противоречие с (2 а). Тем самым доказано, что  $m = n$ . Из этого условия автоморфности  $\varphi$  теперь следует  $\beta \equiv 0 \pmod{p}$ . Подставляя в первое условие автоморфности  $\varphi$ , получаем, ввиду  $\alpha \neq 0 \pmod{p}$ , равенство  $\delta \equiv 1 \pmod{p}$ . Так как автоморфизм  $\varphi$  регулярен, уравнение

$$(a^{ip^{m-1}} b^{jp^{m-1}})^\varphi = a^{ip^{m-1}} b^{jp^{m-1}}$$

имеет только тривиальное решение  $i \equiv 0 \pmod{p}$ ,  $j \equiv 0 \pmod{p}$ . Но

$$(a^{ip^{m-1}} b^{jp^{m-1}})^\varphi = (a^\alpha b^\beta)^{ip^{m-1}} (a^\gamma b^\delta)^{jp^{m-1}} = a^{(\alpha i + \gamma j)p^{m-1}} b^{(\beta i + \delta j)p^{m-1}}.$$

Итак, система сравнений

$$\alpha i + \gamma j \equiv i \pmod{p},$$

$$\beta i + \delta j \equiv j \pmod{p}$$

имеет только тривиальное решение. Это дает

$$(\alpha - 1)(\delta - 1) - \beta\gamma \equiv 0 \pmod{p}.$$

Но левая часть этого сравнения делится на  $p$ , ввиду  $\delta \equiv 1 \pmod{p}$ ,  $\beta \equiv 0 \pmod{p}$  — противоречие, доказывающее теорему.

Отметим, что в случае, когда порядки  $G$  и  $\varphi$  взаимно просты, доказательство теоремы 2 упрощается благодаря теореме Машке.

Возникает вопрос о возможности замены в теоремах 1 и 2 метациклических групп группами, представимыми в виде произведения двух циклических групп (в примарном случае такая замена возможна).

Ростовский-на-Дону инженерно-строительный  
институт

(Поступило 18.5.1972)

О. 80-80-80-80

## სასრულო მიტაციკლურ ჯგუფთა შესახებ

რეზიუმე

სასრულო მეტაციკლური  $G$  ჯგუფის შესახებ ორი დებულებაა დამტკიცებული. თეორემა 1-ში მითითებულია  $G$ -ს აგებულება იმ შემთხვევაში, როდენაც იგი არ შეიცავს მარტივი ინდექსის მახასიათებელ ქვეჯგუფს. თეორემა 2-ში ხაჩვენებია, რომ  $G$  აბელურია, თუ არსებობს მისი რეგულარული ავტომორფიზმი.

MATHEMATICS

Ya. G. BERKOVICH

## ON FINITE METACYCLIC GROUPS

Summary

Two assertions on a finite metacyclic group  $G$  are proved. Theorem 1 gives the structure of  $G$  in the case when it has no characteristic maximal subgroups. Theorem 2 shows that  $G$  is abelian if it admits of a fixed point free automorphism.



Д. Г. САНИКИДЗЕ

О ПОРЯДКЕ ПРИБЛИЖЕНИЯ СИНГУЛЯРНЫХ ИНТЕГРАЛОВ  
 ДЛЯ ОДНОГО КЛАССА ПЛОТНОСТЕЙ СУММАМИ  
 УСЛОЖНЕННОГО ТИПА

(Представлено членом-корреспондентом Академии В. Г. Челидзе 18.5.1972)

Пусть  $E_m = (x_0, x_1, \dots, x_{m-1})$ —заданная на отрезке  $[0,1]$  система точек, а  $p_k (k = 0, 1, \dots, m-1)$ —некоторые числа. Пусть, далее,

$$L(\xi_e, \xi_e + h; f) = h \sum_{k=0}^{m-1} p_k f(\xi_e + x_k h), \quad \xi_e = a + \sigma h (\sigma = 0, 1, \dots, n),$$

$$h = \frac{b-a}{n},$$

где  $[a, b]$ —произвольный отрезок и  $f$ —непрерывная на этом отрезке функция.

Положив

$$\int_{\xi_e}^{\xi_{e+1}} f(x) dx \approx L(\xi_e, \xi_{e+1}; f) \quad (e = 0, 1, \dots, n-1),$$

имеем некоторую усложненную [1] квадратурную формулу

$$\int_a^b f(x) dx \approx \sum_{e=0}^{n-1} L(\xi_e, \xi_{e+1}; f). \quad (1)$$

Будем теперь считать функцию  $f$  такой, что для любого  $x \in (a, b)$  гарантировано существование сингулярного интеграла

$$\int_a^b \frac{f(t)}{t-x} dt \quad (a < x < b)$$

в смысле главного значения. Сопоставив (вообще формально) каждому интегралу

$$\int_{\xi_e}^{\xi_{e+1}} \frac{f(t)}{t-x} dt \quad (x \neq \xi_\sigma, \sigma = 0, 1, \dots, n)$$

сумму вида

$$\sum_{k=0}^{m-1} \alpha_{k,e}(x) f(\xi_e + x_k h),$$

где  $\alpha_{k,e}(x)$  ( $k = 0, 1, \dots, m-1$ ;  $e = 0, 1, \dots, n-1$ ) — не зависящие от  $f$  некоторые функции, будем иметь усложненную квадратурную формулу для сингулярного интеграла

$$\int_a^b \frac{f(t)}{t-x} dt \approx \sum_{e=0}^{n-1} \sum_{k=0}^{m-1} \alpha_{k,e}(x) f(\xi_e + x_k h). \quad (2)$$

Можно указать [2—4] конкретные функции  $\alpha_{k,e}(x)$ , определяющие процессы вида (2), точные для многочленов определенных степеней.

С. М. Никольским указаны [1] точные верхние грани укло-  
нения

$$\int_a^b f(x) dx - \sum_{e=0}^{n-1} L(\xi_e, \xi_{e+1}; f)$$

на различных классах функций  $f$  в предположении, что соотношение (1) является точным для многочленов некоторой степени. Из этих оценок, в частности, усматривается, что при любой системе  $E_m$ -узлов усложненный квадратурный процесс (1) на классах <sup>1</sup>  $W^{(r)}(M; a, b)$  и  $W_L^{(r)}(M; a, b)$  дает один и тот же порядок приближения.

В настоящей заметке утверждается, что подобное обстоятельство в случае аппроксимации сингулярного интеграла не имеет места по крайней мере для значительного числа приближенных процессов. Порядок приближения квадратурными формулами (2) на классах  $W_L^{(r)}(M; a, b)$  ( $r \geq 2$ ), вообще говоря <sup>2</sup>, оказывается хуже, по сравнению с классами  $W^{(r)}(M; a, b)$ .

Обозначим

$$x_{eh} = \xi_e + x_k h \quad (e = 0, 1, \dots, n-1; k = 0, 1, \dots, m-1),$$

$$\omega_{e,m}(x) = \prod_{k=0}^{m-1} (x - x_{eh}),$$

$$\lambda_{e,m}(x) = \sum_{\sigma=0}^{m-1} \frac{p_\sigma}{x - x_{e\sigma}}, \quad \gamma(x) = \frac{1}{b-a} \ln \frac{b-x}{x-a}.$$

Далее, пусть

$$L_{n,s}(f; x) = h \sum_{e=0}^{n-1} \sum_{k=0}^{m-1} \times$$

<sup>1</sup> Мы здесь пользуемся определениями из [1].

<sup>2</sup> Для всевозможных алгоритмов вида (2) вопрос этот не выяснен.

$$\times \frac{[\lambda_{e,m}(x) + \gamma(x)](x - x_{eh}) w_{s,m}(x) f(x_{sh}) - p_h(x - x_{sh}) w'_{s,m}(x_{sh}) f(x_{eh})}{(x - x_{sh})(x - x_{eh}) w'_{s,m}(x_{sh})} \\ (0 \leq s \leq n-1)$$

и положим

$$\int_a^b \frac{f(t)}{t-x} dt \approx L_n(f; x) \quad (a < x < b), \quad (3)$$

$L_n(f; x) = L_{n,s}(f; x)$  при  $x \in [\xi_s, \xi_{s+1}]$ ,  $s = 1, 2, \dots, n-2$ ,  $L_n(f; x) = L_{n,0}(f; x)$  при  $x \in (a, \xi_1]$  и  $L_n(f; x) = L_{n,n-1}(f; x)$  при  $x \in [\xi_{n-1}; b]$ . Определенный таким образом оператор  $L_n(f; x)$ , как легко заметить, имеет смысл в любой точке интервала  $(a, b)$ , и (3) можно представить как усloженный квадратурный процесс вида (2). Нетрудно при этом видеть, что если квадратурная формула (1) является точной для многочленов определенной степени, то и соотношение (3) является точным для тех же многочленов.

Можно показать, что при любой системе  $E_m$ -узлов, при которой (3) является точным для многочленов степени  $\leq r-1$  ( $r \leq m$ ), на классе функций  $W_L^{(r)}(M; a, b)$  в заданной точке  $x \in (a, b)$  имеет место оценка

$$\left| \int_a^b \frac{f(t)}{t-x} dt - L_n(f; x) \right| = O\left(\frac{\ln n}{n^r}\right).$$

С другой стороны, можно указать процессы вида (3), для которых на классе  $W_L^{(r)}(M; a, b)$  ( $r \geq 2$ ) порядок  $\frac{\ln n}{n^r}$  не достигается в известном смысле для значений  $x$  из некоторого подинтервала.

**Теорема.** Существует бесчисленное множество систем  $E_m$ -узлов таких, что:

- 1) процесс (3) является точным для любого многочлена степени  $\leq r-1$ ;
- 2) по любому  $x$  из некоторого интервала  $(\alpha, \beta) \subset (a, b)$  и  $n = 1, 2, \dots$  найдутся функции  $f_n \in W_L^{(r)}(1; a, b)$  ( $r > 1$ ),  $n = 1, 2, \dots$  такие, что для некоторой возрастающей последовательности  $\{n_h\}$  имеет место неравенство

$$\left| \int_a^b \frac{f_n(t)}{t-x} dt - L_n(f_n; x) \right| > \frac{A}{n^{r-1}}, \quad n = n_1, n_2, \dots$$

где  $A$  — абсолютная постоянная.

Академия наук Грузинской ССР

Вычислительный центр

(Поступило 19.5.1972)

## ქ. სანიკიძე

შენიშვნა სიციულარული ინტეგრალის კვადრატულული ჯამით აპრო-  
შესიავის რიგის შესახებ მრთი კლასის სიმკვრივეებისათვის

## რეზიუმე

ცნობილია [1], რომ ფუნქციათა  $W^{(r)}(M; a, b)$  და  $W_L^{(r)}(M; a, b)$  კლა-  
სებზე (1) სახის მიახლოებითი პროცესები გვაძლევს სიზუსტის ერთსა და იმა-  
ვე რიგს. ნაშრომში შენიშულია, რომ (2) სახის პროცესებისათვის ანა-  
ლოგიურ გარემოებას საზოგადოდ აღვილი არ აქვს.

## MATHEMATICS

J. G. SANIKIDZE

A NOTE ON THE ORDER OF APPROXIMATION OF SINGULAR  
INTEGRALS BY A QUADRATIC SUM FOR ONE CLASS OF DENSITIES

## Summary

It is known [1] that type (1) approximation processes of the functions of  $W^{(r)}(M; a, b)$  and  $W_L^{(r)}(M; a, b)$  classes yield the same order of precision. It is noted in the present paper that this is not the case with type (2) processes.

## ლიტერატურა — REFERENCES

1. С. М. Никольский. Квадратурные формулы. М., 1958.
2. В. В. Иванов. Научные труды Новочеркасского политехн. ин-та, 67, 1958.
3. В. В. Иванов. Теория приближенных методов и ее применение к численному решению сингулярных интегральных уравнений. Киев, 1968.
4. Д. Г. Санкидзе. Сообщения АН ГССР, 53, № 1, 1969.



В. М. КОКИЛАШВИЛИ

## О СОПРЯЖЕННЫХ ФУНКЦИЯХ

(Представлено членом-корреспондентом Б. В. Хведелидзе 17.5.1972)

В настоящей статье содержится ряд теорем об ограниченности некоторых интегральных операторов в пространствах  $L_p$  с весом. Известное неравенство М. Рисса [1] о сопряженных функциях было обобщено для весовых пространств Харди и Литтлвудом [2], К. И. Бабенко [3], Б. В. Хведелидзе [4], Л. В. Жижишвили [5] и многими другими авторами. Далее Флетт [6] и Чэн [7] показали, что для четных и нечетных функций границы допустимых показателей степенных весов, найденных в [2—4], можно расширить соответственно снизу и сверху.

Нами получена теорема об ограниченности определенного интегрального оператора в  $L_p$ , следствием которой оказываются вышеупомянутые теоремы. Далее для четных и нечетных функций построены весовые функции с особенностями, распределенными по всему интервалу интегрирования.

Пусть  $K(x, t)$  — почти всюду конечная измеримая функция на  $(0, +\infty)$ ;  $\omega(t)$  измерима на  $(0, +\infty)$  с тем условием, что она может обращаться в нуль только на множестве меры нуль.

Введем обозначение:

$$\Omega(t) = \sup_{0 < x < +\infty} \left| \frac{\omega(x)}{\omega(xt)} - 1 \right|.$$

Теорема 1. Пусть выполнены следующие условия:

1)

$K(x, xt) = x^{-1} K(1, t)$  для почти всех  $x \in (0, +\infty)$  и  $t \in (0, +\infty)$ .

2)

$$\int_0^{+\infty} |K(1, t)| \Omega(t) t^{-1/p} dt < +\infty, \quad 1 \leq p < +\infty.$$

Тогда оператор

$$(Tf)(x) = \int_0^{+\infty} K(x, t) \left\{ \frac{\omega(x)}{\omega(t)} - 1 \right\} f(t) dt$$

ограничен как оператор, действующий из  $L_p(0, +\infty)$  в  $L_p(0, +\infty)$ .

При помощи теоремы 1 и неравенства М. Риеса [1] доказываются следующие утверждения:

**Теорема 2.** Пусть

$$\int_0^{+\infty} \frac{\Omega(t) t^{1/q} dt}{|1-t^2|} < +\infty, \quad q = \frac{p}{p-1}. \quad (1)$$

Тогда для любой нечетной функции  $\varphi \in L_{p,\omega} \cap L_1$  ( $1 < p < +\infty$ ) ее трансформация Гильберта

$$\tilde{\varphi}(x) = \frac{2}{\pi} \int_0^{+\infty} \frac{t \varphi(t)}{x^2 - t^2} dt$$

принадлежит классу  $L_{p,\omega}$  и справедливо неравенство

$$\int_{-\infty}^{+\infty} |\tilde{\varphi}(x)|^p \omega^p(x) dx \leq A_{p,\omega} \int_{-\infty}^{+\infty} |\varphi(x)|^p \omega^p(x) dx. \quad (2)$$

**Теорема 3.** Пусть

$$\int_0^{+\infty} \frac{\Omega(t) t^{-1/p}}{|1-t^2|} dt < +\infty. \quad (3)$$

Тогда для любой четной функции  $\psi \in L_{p,\omega} \cap L_1$ ,  $1 < p < +\infty$ , ее трансформация Гильберта  $\tilde{\psi} \in L_{p,\omega}$  и справедливо неравенство

$$\int_{-\infty}^{+\infty} |\tilde{\psi}(x) \omega(x)|^p dx \leq B_{p,\omega} \int_{-\infty}^{+\infty} |\psi(x) \omega(x)|^p dx. \quad (4)$$

Как легко видеть, в этих теоремах содержатся результаты Харди—Литтлвуда [2], Чэна [7], Окиниолу [8].

В силу неравенства

$$\left| \frac{\sin t}{\cos x - \cos t} \right| \leq \frac{\pi^2 t}{|x^2 - t^2|} \quad \text{при } 0 < x < \pi, \quad 0 < t < \pi$$

доказываются утверждения, аналогичные теоремам 2 и 3 для сопряженных функций нечетных и четных функций соответственно. Приведенные здесь теоремы при помощи известных интерполяционных теорем распространяются на более общие функциональные пространства, например пространства Орлица с весом.

При помощи теоремы 1 можно заключить ряд новых утверждений и для других ядер.

В работах [8, 9] изучены свойства оператора

$$(Af)(x) = \frac{|x|}{x} f(x) - \frac{1}{\pi^2} \int_{-\infty}^{\infty} \frac{\log t^2 - \log x^2}{t-x} f(t) dt. \quad (5)$$



Ниже дается уточнение и обобщение вышеупомянутых результатов.

**Теорема 4.** Пусть выполняется условие (1). Тогда для любой нечетной функции  $\varphi \in L_{p,\omega} \cap L_1$  ( $1 < p < +\infty$ ) функция  $(A\varphi)(x)$  принадлежит классу  $L_{p,\omega}$  и справедливо неравенство

$$\int_{-\infty}^{\infty} |(A\varphi)(x) \omega(x)|^p dx \leq C_{p,\omega} \int_{-\infty}^{\infty} |\varphi(x) \omega(x)|^p dx.$$

В частности, в качестве весовой функции можно взять функцию  $\omega(x) = |x|^{\alpha}$ ,  $-1 < \alpha < 2 - \frac{1}{p}$ . Следовательно, теорему 4 можно рассматривать как уточнение результата, содержащегося в [7]. Аналогичная теорема в предположении (3) имеет место для четных функций.

Вышеприведенные теоремы, а также результаты И. Б. Симоненко [10] с помощью интерполяционной теоремы Е. Стейна [11] дают возможность строить весовые функции с особенностями, распределенными по всему контуру.

**Теорема 5.** Пусть колебание вещественной измеримой функции  $h(e^{i\theta})$  удовлетворяет условию

$$\sup_{t \in C} \Omega(h, t) < \frac{2\pi}{\max(p, q)}, \quad 1 < p < +\infty, \quad (7)$$

$C$  — единичная окружность.

Далее, предположим, что возрастающая функция  $\omega(s)$  такова, что  $\omega(s)^{s-\alpha}$  убывает для некоторого  $\alpha$ ,  $0 < \alpha < 2 - 1/p$ . Кроме того,

$$\Omega(h, 1) \leq \frac{2\pi\lambda}{\max(p, q)}, \quad (8)$$

где

$$0 < \lambda < 1 - \frac{\alpha p}{2p - 1}.$$

Тогда, если

$$\rho(s) = \omega(s) \left| \exp \frac{i}{2\pi} \int_{-\pi}^{\pi} \frac{h(e^{i\theta}) e^{is}}{e^{i\theta} - e^{is}} d\theta \right|,$$

то для любой нечетной функции  $\varphi \in L_{p,\rho} \cap L_1$  справедливо неравенство

$$\int_{-\pi}^{\pi} |\overline{\varphi}(x) \rho(x)|^p dx \leq D_{p,\rho} \int_{-\pi}^{\pi} |\varphi(x) \rho(x)|^p dx, \quad (9)$$

где

$$\overline{\varphi}(x) = \frac{1}{2\pi} \int_{-\pi}^{\pi} \varphi(t) \operatorname{ctg} \frac{1}{2}(x-t) dt.$$

Аналог теоремы 5 справедлив и для четных функций, если только функция  $\omega(s)$  убывает так, что  $\omega(s)s^\beta$  возрастает для некоторых  $\beta$ ,  $0 < \beta < 1 + 1/p$ , и функция  $h(t)$ , кроме (7), удовлетворяет условию

$$\Omega(h, 1) \leq \frac{2\pi\lambda_1}{\max(p, q)},$$

где

$$0 < \lambda_1 < 1 - \frac{\alpha p}{p+1}.$$

Вышеприведенные утверждения представляют собой уточнения для классов четных и нечетных функций результатов [11].

Академия наук Грузинской ССР  
Тбилисский математический институт  
им. А. М. Размадзе

(Поступило 19.5.1972)

8100000000

3. პოპილარვილი

შესრულებული ვუძღვინას შესახებ

რეზოუნდა

განხოვადებულია ფლეტისა [5] და ჩენის [6] შედეგები ლური და კენტი ფუნქციების შესრულებული ფუნქციების შესახებ.

MATHEMATICS

V. M. KOKILASHVILI

## ON CONJUGATE FUNCTIONS

Summary

The results of T. Flett and Y. M. Chen on conjugate functions of odd and even functions are generalized.

### ЛІТЕРАТУРА — REFERENCES

1. M. Riesz. Math. Z., 27, 1928, 218—244.
2. G. H. Hardy, J. E. Littlewood. Duke Math. J., 2, 1936, 354—382.
3. К. И. Бабенко. ДАН СССР, 62, 1948, 157—160.
4. Б. В. Хведелидзе. Труды Тбилисского матем. ин-та им. А. М. Размадзе АН ГССР, XXIII, 1956.
5. Л. В. Жижиашвили. Сопряженные функции и триг. ряды. Тбилиси, 1969.
6. T. M. Flett. Proc. London Math. Soc., vol. 106, № 3, 1963, 369—390.
7. Y. M. Chen. Can. J. Math., vol. XV, № 3, 1963, 486—494.
8. G. O. Okikiolu. Math. Ann., 169, 1967, 315—327.
9. L. Artiaga. Duke Math. J., vol. 31, № 3, 1964, 471—478.
10. И. Б. Симоненко. Изв. АН СССР, т. 28, № 2, 1964, 277—306.
11. E. M. Stein. Trans. Am. Math. Soc., vol. 83, 1956, 482—492.
12. В. М. Кокилашвили. Сообщения АН ГССР, 64, № 1, 1971, 17—20.

Р. С. ИСАХАНОВ

## ГРАНИЧНАЯ ЗАДАЧА ЛИНЕЙНОГО СОПРЯЖЕНИЯ ДЛЯ КОНЕЧНОГО ЧИСЛА ОБЛАСТЕЙ

(Представлено академиком Н. П. Векуа 25.5.1972)

Пусть  $L$ —совокупность конечного числа замкнутых непересекающихся контуров Ляпунова  $L_1, L_2, \dots, L_p$  на плоскости комплексного переменного  $z$ . Линией  $L$  плоскость разбивается на  $p+1$  областей. Из этих областей составим две части плоскости  $S^+$  и  $S^-$  так, чтобы выполнялись условия (см. [1]): 1) части  $S^+$  и  $S^-$  вместе с  $L$  составляют всю плоскость; 2) субъекты, составляющие  $S^+$  (или  $S^-$ ), не имеют между собой общих граничных точек; 3) область, содержащая бесконечно удаленную точку, принадлежит  $S^-$ . Эти условия однозначно определяют  $S^+$  и  $S^-$ , которые будем называть частями плоскости, определенными линией  $L$ , причем со значком— всегда будем обозначать ту часть, которая содержит бесконечно удаленную точку. Положительным направлением на  $L$  примем то, которое оставляет  $S^+$  слева.

Пусть, наряду с  $L$ , дана линия  $L'$ , состоящая также из  $p$  замкнутых непересекающихся контуров Ляпунова  $L'_1, L'_2, \dots, L'_p$ . Части плоскости, определяемые линией  $L'$ , обозначим  $S'^+$  и  $S'^-$ .

Пусть  $\alpha$ —функция, заданная на  $L$ , удовлетворяющая условиям: 1)  $\alpha$  имеет непрерывную по Гельдеру производную ( $\alpha' \in H(L)$ ); 2)  $\alpha$  отображает линию  $L$  в  $L'$  взаимно однозначно с сохранением или с изменением направления, причем так, что границу каждой области, принадлежащей  $S^+$  (или  $S^-$ ), отображает в границу области принадлежащей  $S'^+$  (или  $S'^-$ ).

Так как  $L \xrightarrow{\alpha} L'$ , то, очевидно, можно считать, что  $L_k \xrightarrow{\alpha} L'_k$  ( $k=1, 2, \dots, p$ ). Пусть  $\Lambda$  обозначает совокупность некоторых контуров  $L_{k_1}, L_{k_2}, \dots, L_{k_r}$ ,  $1 \leq k_i \leq p$ ,  $i = 1, 2, \dots, r$ , тогда  $\Lambda'$  будет обозначать совокупность контуров  $L'_{k_1}, L'_{k_2}, \dots, L'_{k_r}$ . Кроме того, если  $\Lambda$  является границей некоторой области  $D$  и  $\Lambda'$  также является границей субъекта, то последнюю область будем обозначать  $D'$ .

Пусть  $D$ —конечная область, ограниченная замкнутыми непересекающимися контурами  $\Lambda_0, \Lambda_1, \dots, \Lambda_k$ , из которых  $\Lambda_0$  содержит все остальные. Границу субъекта  $D$  обозначим  $\Lambda$ . Скажем, что некоторая линия  $\Gamma$  содержится внутри  $\Lambda$ , если  $\Gamma$  принадлежит какой-нибудь конечной области, ограниченной контуром  $\Lambda_j$ ,  $1 \leq j \leq k$ .

Рассмотрим сначала случай, когда  $\alpha$  переводит границу любой области, принадлежащей  $S^+$ , в границу субъекта, принадлежащей  $S'^+$ .

Пусть  $L^{(1)}, L^{(2)}, \dots, L^{(m)}$ —множество границ всех областей, принадлежащих  $S^+$ , тогда  $L'^{(1)}, L'^{(2)}, \dots, L'^{(m)}$ —множество границ всех областей, принадлежащих  $S'^+$ . Пары линии  $(L^{(k)}, L'^{(k)})$ ,  $k = 1, 2, \dots, m$ , распределены по классам. Пару  $(L^{(k)}, L'^{(k)})$  отнесем к классу  $M_1$ , если линии  $L^{(k)}$  и  $L'^{(k)}$  не содержат контуры, принадлежащие соответственно  $L$  и  $L'$ . Пару  $(L^{(k)}, L'^{(k)})$  отнесем к классу  $M_j$ ,  $j > 1$ , если любая линия, принадлежащая  $L$  или  $L'$  и содержащаяся соответственно в  $L^{(k)}$  и  $L'^{(k)}$ , принадлежит одному из классов  $M_1, M_2, \dots, M_{j-1}$ , причем по крайней мере одна из линий  $L^{(k)}$  или  $L'^{(k)}$  содержит линию из класса  $M_{j-1}$ .

Если каждая пара  $(L^{(k)}, L'^{(k)})$ ,  $k = 1, 2, \dots, m$ , принадлежит некоторому классу  $M_j$ ,  $j = 1, 2, \dots$ , для краткости скажем, что отображение  $\overset{\alpha}{L} \rightarrow L'$  удовлетворяет условию  $M$ . Аналогично определяется условие  $M$  в случае, когда  $\alpha$  переводит границу любой области, принадлежащей  $S^-$ , в границу области, принадлежащей  $S'^-$ .

Приведем примеры отображений, удовлетворяющих условию  $M$ .

1°. Пусть отображение  $\overset{\alpha}{L} \rightarrow L'$  такое, что если линия  $L'^{(r)}$  содержится внутри линии  $L^{(k)}$ , то  $L'^{(r)}$  также содержится внутри  $L^{(k)}$ ,  $1 \leq k, r \leq m$ . В этом случае отображение  $\overset{\alpha}{L} \rightarrow L'$  удовлетворяет условию  $M$ .

2°. Пусть отображение  $\overset{\alpha}{L} \rightarrow L'$  такое, что если линия  $L'^{(r)}$  содержится внутри линии  $L^{(k)}$ , то  $L'^{(r)}$  также содержится внутри линии  $L'^{(k)}$ ,  $1 \leq k, r \leq m$ . И в этом случае отображение  $\overset{\alpha}{L} \rightarrow L'$  удовлетворяет условию  $M$ .

Другими примерами отображений, удовлетворяющих условию  $M$ , являются различные комбинации отображений вида 1° и 2°.

В дальнейшем будем предполагать, что отображение  $\overset{\alpha}{L} \rightarrow L'$  удовлетворяет условию  $M$ .

Рассмотрим следующую задачу:

Найти два вектора:  $\Phi^+(z) = (\Phi_1^+, \Phi_2^+, \dots, \Phi_n^+)$ , голоморфный в  $S'^+$ , и  $\Phi^-(z) = (\Phi_1^-, \Phi_2^-, \dots, \Phi_n^-)$ , голоморфный в  $S^-$  и имеющий конечный порядок на бесконечности, по граничному условию

$$\Phi^+ [z(t)] = A(t) \Phi^-(t) + B(t) \overline{\Phi^-(t)} + C(t) \quad \text{на } L, \quad (1)$$

где  $A(t) = \|A_{jk}(t)\|$ ,  $B(t) = \|B_{jk}(t)\|$ —заданные на  $L$  непрерывные по Гельдеру матрицы порядка  $n$ ,  $C(t) = (C_1, C_2, \dots, C_n)$ —заданный на  $L$  непрерывный по Гельдеру вектор. Предполагается, что  $\det A(t) \neq 0$ , если  $\alpha$  переводит  $L$  в  $L'$  с сохранением ориентации ( $\alpha = \alpha^+$ ), и  $\det B(t) \neq 0$ , если  $\alpha$  изменяет ориентацию ( $\alpha = \alpha^-$ ).

При  $C(t) = 0$  задачу (1) называем однородной задачей (1°).

В различных предположениях относительно  $A(t)$ ,  $B(t)$ ,  $\alpha(t)$ ,  $L$ ,  $L'$  задача (1) изучалась многими авторами (см. [1, 2]).

### Задачу с граничным условием

$$A'(t) \alpha'(t) \psi^+[\alpha(t)] + \overline{B'(t) \alpha'(t) t'^{2\beta} \psi^+[\alpha(t)]} = \psi^-(t) \quad \text{ha } L \quad (2)$$

(знак ' означает переход к транспонированным матрицам) назовем союзной с задачей (2).

Доказываются следующие теоремы:

**Теорема 1.** Для разрешимости задачи (1) необходимо и достаточно выполнение условий

$$\operatorname{Re} \int_i [C(t) + A(t)P(t) + B(t)\overline{P(t)}] \psi_j^+ [\alpha(t)] \alpha'(t) dt = 0, \quad (3)$$

где  $\Psi_j^+(t)$  ( $j = 1, 2, \dots, k'$ ) — компоненты, голоморфные в  $S^{++}$ , полной системы исчезающих на бесконечности решений союзной задачи (2),  $P(z)$  — главная часть на бесконечности искомого решения.

**Теорема 2.** Если  $k$  и  $k'$  обозначают числа исчезающих на бесконечности линейно независимых решений союзных однородных задач (1°) и (2), то  $k - k' = 2\alpha$ , где  $\alpha = \text{Jnd}_L \det A(t)$ , если  $\alpha = \alpha^+$  и  $\alpha = -\text{Jnd}_L \det B(t)$ , если  $\alpha = \alpha^-$ .

**Теорема 3.** Пусть  $n = 1$ ,  $\alpha = \alpha^+$ ,  $|A(t)| > |B(t)|$ . Тогда если  $\alpha > 0$ , задача (1°) имеет  $2\alpha$  линейно независимых решений, исчезающих на бесконечности, а если  $\alpha \leq 0$ , она не имеет исчезающих на бесконечности решений. Если  $\alpha \geq 0$ , задача (1) для любого  $C(t)$  имеет исчезающее на бесконечности решение, если  $\alpha < 0$ , задача (1) имеет исчезающее на бесконечности решение только при выполнении  $-2\alpha$  условий вида (3) ( $P(t) = 0$ ).

Теорема верна также при  $\alpha = \alpha^*$ ,  $|A(t)| < |B(t)|$ . Всюду имеется в виду линейная независимость над полем вещественных чисел.

Известные результаты для случая  $\alpha(t) = t$ ,  $B(t) = 0$  [1, 2] остаются справедливыми при  $A = 0$ , а также при  $B = 0$ . При  $n = 1$ ,  $A = 0$  или  $B = 0$  результаты работы [3] для случая  $p = 1$ ,  $L' = L$  остаются в силе и в рассматриваемом случае.

Академия наук Грузинской ССР  
Тбилисский математический институт  
им. А. М. Размадзе

(Поступило 1.6.1972)

ଟିକ୍‌ରେବାଳ ଶିଖିଲୁଙ୍କରିତ ସାମାଜିକରଣ ଆଗନ୍ତୁବାଦ ଦ୍ୱାରାରୁକ୍ଷିତ କୁଳଙ୍କରିତ ହୋଇଥିଲା

三九七〇

განკიდელია (1) სასახლერ მოცანა, სადაც  $L$  და  $\alpha(L)$  წარმოადგენენ სასრული რაოდენობის ურთიერთ პრაგალიტერ შეკრულ კონტურთა ერთობლიობას, ხოლო  $\Phi^+(z)$  და  $\Phi^-(z)$  ამ კონტურებით შემოსახურულ არეაბში ჰოლომორფულ გურემორებია.

R. S. ISAKHANOV

# A BOUNDARY-VALUE PROBLEM OF LINEAR CONJUGATION FOR A FINITE NUMBER OF REGIONS

## Summary

The paper considers problem (I), where  $L$  and  $\alpha(L)$  form a finite number of closed nonintersecting contours, the vectors  $\Phi^+(z)$  and  $\Phi^-(z)$  being holomorphic in the regions bounded by these contours.

## ЛІТЕРАТУРА — REFERENCES

1. Н. И. Мусхелишвили. Сингулярные интегральные уравнения. М., 1968.
2. Н. П. Векуа. Системы сингулярных интегральных уравнений. М., 1970.
3. Д. А. Квеселава. Труды Тбилисского матем. ин-та им. А. М. Рзмадзе АН ГССР, т. 16, 1948.

Н. Р. ЛЕЖАВА

## О РАЗРЕШИМОСТИ ОДНОЙ НЕЛИНЕЙНОЙ ЗАДАЧИ ДЛЯ СИСТЕМЫ ДВУХ ДИФФЕРЕНЦИАЛЬНЫХ УРАВНЕНИЙ

(Представлено академиком В. Д. Купрадзе 16.6.1972)

1. Приводим новые достаточные условия разрешимости краевой задачи

$$\frac{du_i}{dt} = f_i(t, u_1, u_2) \quad (i = 1, 2), \quad (1)$$

$$u_1(0) = \varphi_1[u_2(0)], \quad u_1(1) = \varphi_2[u_2(1)]. \quad (2)$$

Задача аналогичного вида рассматривалась ранее в работах [1—4].

Под решением задачи (1), (2) понимаются абсолютно непрерывные на каждом сегменте, содержащемся внутри интервала  $(0, 1)$ , функции  $u_1(t)$  и  $u_2(t)$ , удовлетворяющие при почти всех  $t \in (0, 1)$  системе (1) и краевым условиям (2), где

$$u_i(0) = \lim_{t \rightarrow 0+} u_i(t), \quad u_i(1) = \lim_{t \rightarrow 1-} u_i(t) \quad (i = 1, 2).$$

Всюду в дальнейшем предполагается, что функции  $\varphi_k(x) (k = 1, 2)$  непрерывны в промежутке  $(-\infty, +\infty)$  и

$$\inf \{\varphi_k(x) : -\infty < (-1)^k x \leq 0\} \geq \sigma_1,$$

$$\sup \{\varphi_k(x) : 0 \leq (-1)^k x < +\infty\} \leq \sigma_2 \quad (k = 1, 2),$$

где  $-\infty < \sigma_1 \leq \sigma_2 < +\infty$ .

Ниже приняты следующие обозначения:

а) Запись  $f(t, u_1, u_2) \in K(t_1, t_2)$  означает, что функция  $f(t, u_1, u_2)$  определена в области  $t_1 < t < t_2$ ,  $-\infty < u_1, u_2 < +\infty$  и удовлетворяет локальным условиям Қаратедори, т. е. измерима по  $t$  на  $(t_1, t_2)$  при любых  $u_1$  и  $u_2$ , непрерывна по  $u_1, u_2$  в области  $-\infty < u_1, u_2 < +\infty$  при почти всех  $t \in (t_1, t_2)$  и

$$\sup \{|f(t, u_1, u_2)| : |u_1| + |u_2| \leq \rho\} \in L(t_1, t_2)$$

при любом  $\rho \in (0, +\infty)$ .

б) Записи  $f(t, x, y) \in K(t_1+, t_2)$ ,  $f(t, x, y) \in K(t_1, t_2-)$  и  
 $f(t, x, y) \in K(t_1+, t_2-)$

соответственно означают, что

$$f(t, x, y) \in K(\alpha, t_2), \quad f(t, x, y) \in K(t_1, \beta) \text{ и } f(t, x, y) \in K(\alpha, \beta)$$

при любых  $\alpha$  и  $\beta$  таких, что  $t_1 < \alpha < \beta < t_2$ .

2. Сперва рассмотрим регулярийный случай, когда

$$f_i(t, u_1, u_2) \in K(0, 1) \quad (i = 1, 2).$$

**Теорема 1.** Пусть в области  $0 \leq t \leq 1$ ,  $-\infty < u_1, u_2 < +\infty$  имеем

$$|f_1(t, u_1, u_2)| \leq \phi_1(t, |u_2|), \quad |f_2(t, u_1, u_2)| \leq \phi_2(t)$$

и

$$f_1(t, u_1, u_2) \operatorname{sign} u_2 \geq \phi_0(t, |u_2|),$$

где  $\phi_i(t, x) \in L(0, 1)$  ( $i = 0, 1$ ) при любом  $x \in [0, +\infty)$  и не убывает по  $x$ ,  $\phi_2(t) \in L(0, 1)$  и

$$\lim_{x \rightarrow +\infty} \int_0^1 \phi_0(t, x) dt > \sigma_2 - \sigma_1.$$

Тогда задача (1), (2) имеет, по крайней мере, одно решение.

**Теорема 2.** Пусть

$$(-1)^k f_2(t, \sigma_k, 0) \geq 0 \text{ при } 0 < t < 1 \text{ } (k = 1, 2)$$

и в области  $0 < t < 1$ ,  $\sigma_1 \leq u_1 \leq \sigma_2$ ,  $-\infty < u_2 < +\infty$  имеем

$$f_1(t, u_1, u_2) \operatorname{sign} u_2 \geq \omega_0(t, |u_2|) \text{ при } 0 \leq t \leq 1,$$

$$f_2(t, u_1, u_2) \operatorname{sign} u_2 \geq -\omega(|u_2|) \sum_{k=1}^m \phi_k(t) [1 + \omega_0(t, |u_2|)]^{\frac{1}{q_k}}$$

при  $0 < t < \beta$

и

$$f_2(t, u_1, u_2) \operatorname{sign} u_2 \leq \omega(|u_2|) \sum_{k=1}^m \phi_k(t) [1 + \omega_0(t, |u_2|)]^{\frac{1}{q_k}}$$

при  $\alpha < t < 1$ ,

где  $0 \leq \alpha < \beta \leq 1$ ,  $\omega_0(t, x) \in K(0, 1)$  нестрогательна, не убывает по  $x$  и

$$\lim_{x \rightarrow +\infty} \int_\alpha^\beta \omega_0(t, x) dt > \sigma_2 - \sigma_1,$$

$$1 \leq q_k \leq +\infty, \quad \frac{1}{p_k} + \frac{1}{q_k} = 1, \quad \phi_k(t) \in L^{p_k}(0, 1) \quad (k = 1, \dots, m),$$

а функция  $\omega(x)$  положительна и непрерывна в промежутке  $[0, +\infty)$  и

$$\int_0^{+\infty} \frac{dx}{\omega(x)} = +\infty.$$

Тогда задача (1), (2) имеет решение  $u_1(t), u_2(t)$  такое, что

$$\sigma_1 \leq u_1(t) \leq \sigma_2 \quad \text{при } 0 \leq t \leq 1. \quad (3)$$

Частными случаями этой теоремы являются некоторые результаты Н. И. Васильева (см. [2], теоремы 1 и 2).

3. В заключение рассмотрим сингулярный случай, когда  $f_2(t, x, y)$ , вообще, не является суммируемой по  $t$  функцией на отрезке  $[0, 1]$ .

Имеет место

**Теорема 3.** Пусть  $f_1(t, x, y) \in K(0, 1)$  и соблюдаются одно из следующих трех условий:

- 1)  $f_2(t, x, y) \in K(0+, 1)$ ,  $\varphi_1(x) \equiv \text{const}$ ;
- 2)  $f_2(t, x, y) \in K(0, 1-)$ ,  $\varphi_2(x) \equiv \text{const}$ ;
- 3)  $f_2(t, x, y) \in K(0+, 1-)$ ,  $\varphi_i(x) \equiv \text{const}$  ( $i = 1, 2$ ).

Если, кроме того, соблюдаются условия теоремы 2, то задача (1), (2) имеет решение  $u_1(t)$ ,  $u_2(t)$ , удовлетворяющее условию (3).

Тбилисский государственный университет

Институт прикладной математики

(Поступило 16.6.1972)

აკადემიკის

### 6. ლეჟავა

თური დიცენტრალური განტოლების სისტემისათვის ერთი  
არაურცივი სასახლეში ამოცანის შესახებ

რეზეული

ნაშრომში მოყვანილია (1), (2) სასახლეში ამოცანის ამოხსნადობისათვის  
ახალი საქმარისი პირობები.

MATHEMATICS

N. R. LEZHAVA

## ON THE SOLVABILITY OF A NONLINEAR PROBLEM FOR A SYSTEM OF TWO DIFFERENTIAL EQUATIONS

### Summary

New sufficient conditions for the solvability of boundary-value problems (1), (2) are presented.

### ლიტერატურა — ЛИТЕРАТУРА — REFERENCES

1. А. И. Перов. ДАН СССР, 144, № 3, 1962, 493—496.
2. Н. И. Васильев. Латвийский математический ежегодник, Б, 1969, 11—23.
3. И. Т. Кугурадзе. Труды Тбилисского гос. ун-та, 1 (137), А, 1971, 77—87.
4. P. Waltman. Trans. Am. Math. Soc., 153, 1, 1971, 223—234.

УДК 517.5

МЕХАНИКА

Н. Д. СЕПИАШВИЛИ

ОБ АППРОКСИМАЦИИ ВОЛНОВОГО СОПРОТИВЛЕНИЯ И  
КОЭФФИЦИЕНТОВ ОТРАЖЕНИЯ ПОЛИНОМАМИ ЛАГЕРРА

(Представлено академиком А. А. Дзидзигури 16.6.1972)

Как известно, волновая система с потерями может быть описана уравнениями

$$\begin{aligned} -\frac{\partial u(x, t)}{\partial x} &= L \cdot \frac{\partial v(x, t)}{\partial t} + R \cdot v(x, t), \\ -\frac{\partial v(x, t)}{\partial x} &= C \cdot \frac{\partial u(x, t)}{\partial t} + G \cdot u(x, t), \end{aligned} \quad (1)$$

где  $L, C, R, G$  — погонные параметры.

Общий интеграл преобразованной по Лапласу системы (1) при нулевых начальных условиях имеет вид

$$\begin{aligned} u(x, p) &= A \cdot \exp \{\gamma x\} + B \cdot \exp \{-\gamma x\}, \\ v(x, p) &= -\frac{1}{z} (A \cdot \exp \{\gamma x\} - B \cdot \exp \{-\gamma x\}), \end{aligned} \quad (2)$$

где

$$z = \sqrt{\frac{R + pL}{G + pC}} \text{ — волновое сопротивление;}$$

$$\gamma = \sqrt{(R + pL)(G + pC)} \text{ — комплексный коэффициент распространения.}$$

Соотношение между падающей (слагаемое с отрицательным  $\gamma$ ) и отраженной (слагаемое с положительным  $\gamma$ ) волнами можно выразить с помощью коэффициента отражения. Например, для системы, нагруженной комплексным сопротивлением  $z_l$ , при  $x = l$

$$\Gamma_l = \frac{z_l - z}{z_l + z}. \quad (3)$$

Для  $x = 0$  коэффициент отражения от конца  $x = l$  имеет вид

$$\Gamma_0 = \Gamma_l \cdot \exp \{-2\gamma l\}.$$

Если  $\gamma$  упрощенно представить в виде  $\gamma = p \sqrt{L \cdot C}$ , то

$$\Gamma_0 = \Gamma_l \cdot \exp \{-2p \sqrt{L \cdot C} \cdot l\} = \Gamma_l \cdot \exp \{-pt\}, \quad (4)$$

т. е. коэффициент отражения в сечении  $x = 0$  может быть представлен в виде произведения коэффициента отражения в сечении  $x = l$  и оператора звена чистого запаздывания.

Перечисленные волновые параметры имеют трансцендентный вид (включают корни из дробно-рациональных многочленов комплексной переменной и постоянное запаздывание), что вызывает трудности при исследовании волновых систем. Поэтому возникает необходимость их приближенного представления.

Целью данной работы является аппроксимация волновых параметров  $z$  и  $\Gamma_l$  полиномами Лагерра.

Так как условие аналитичности  $z$  в точке  $p = \infty$  выполняется, то  $z$  можно представить в виде

$$z = \frac{1}{p + \frac{1}{2}} \sum_{k=0}^{\infty} C_k \left( \frac{p - \frac{1}{2}}{p + \frac{1}{2}} \right)^k, \quad (5)$$

где  $C_k = \sum_{j=0}^k C_j \frac{1}{j!} \left( \frac{1}{2} \right)^j \quad (k = 0, 1, 2, \dots).$

Во временной плоскости выражению (5) соответствует ряд

$$z(t) = \exp \left\{ -\frac{t}{2} \right\} \cdot \sum_{k=0}^{\infty} \frac{C_k \cdot L_k(t)}{k!},$$

где  $L_k(t)$  — полиномы Лагерра.

Представим  $z$  следующим образом:

$$z = \sqrt{\frac{L}{C}} \cdot \frac{\sqrt{1 + \frac{R}{L} \cdot \frac{1}{p}}}{\sqrt{1 + \frac{G}{C} \cdot \frac{1}{p}}}.$$

Разлагая числитель и знаменатель выражения (6) по формуле (5) и ограничиваясь двумя первыми членами разложения, после некоторых преобразований имеем

$$z \approx \sqrt{\frac{L}{C}} \cdot \sqrt{\frac{1 + 2 \frac{G}{C}}{1 + 2 \frac{R}{L}}} \cdot \frac{1 + \frac{R}{L}}{1 + \frac{G}{C}} \cdot \frac{1 + \frac{\frac{R}{L}}{2 \left( 1 + \frac{R}{L} \right)} \cdot \frac{1}{p}}{1 + \frac{\frac{G}{C}}{2 \left( 1 + \frac{G}{C} \right)} \cdot \frac{1}{p}}.$$

Условие равенства значений  $z$ , определяемых из (6) и (7), при  $p = \infty$ , записывается в виде

$$\sqrt{\frac{1 + 2 \frac{G}{C}}{1 + 2 \frac{R}{L}}} \cdot \frac{1 + \frac{R}{L}}{1 + \frac{G}{C}} = 1.$$

Нормируя выражение (7) относительно точки  $p = \infty$ , получаем

$$z \approx \sqrt{\frac{L}{C}} \cdot \frac{\frac{R}{L}}{\frac{1 + \frac{1}{2} \cdot \frac{\frac{R}{L}}{1 + \frac{R}{L}} \cdot \frac{1}{p}}{\frac{G}{C}}}.$$

$$1 + \frac{1}{2} \cdot \frac{\frac{C}{G}}{1 + \frac{G}{C}} \cdot \frac{1}{p}$$

Разлагая волновое сопротивление в ряд Тейлора и учитывая два первых члена разложения, имеем

$$z \approx \sqrt{\frac{L}{C}} \cdot \frac{1 + \frac{1}{2} \frac{R}{L} \cdot \frac{1}{p}}{1 + \frac{1}{2} \cdot \frac{G}{C} \cdot \frac{1}{p}}. \quad (9)$$

Подставляя в формулу (3) выражения волнового сопротивления, определяемые по формулам (8) и (9), получаем приближенные значения коэффициентов отражения. Например, при цепочечном соединении волновых систем  $z_l$  представляет собой волновое сопротивление последующего звена и приближенные значения коэффициента отражения записываются в виде

$$\Gamma_l \approx \frac{\left( \sqrt{\frac{L_l}{C_l}} - \sqrt{\frac{L}{C}} \right) + \frac{1}{p} \cdot \frac{1}{2} \left( \sqrt{\frac{L_l}{C_l}} \cdot \frac{R_l}{R_l + L_l} - \sqrt{\frac{L}{C}} \cdot \frac{R}{R + L} \right)}{\left( \sqrt{\frac{L_l}{C_l}} + \sqrt{\frac{L}{C}} \right) + \frac{1}{p} \cdot \frac{1}{2} \left( \sqrt{\frac{L_l}{C_l}} \cdot \frac{R_l}{R_l + L_l} + \sqrt{\frac{L}{C}} \cdot \frac{R}{R + L} \right)} \quad (10)$$

$$\text{и} \\ \Gamma_l \approx \frac{\left( \sqrt{\frac{L_l}{C_l}} - \sqrt{\frac{L}{C}} \right) + \frac{1}{p} \cdot \frac{1}{2} \left( \sqrt{\frac{L_l}{C_l}} \cdot \frac{R_l}{L_l} - \sqrt{\frac{L}{C}} \cdot \frac{R}{L} \right)}{\left( \sqrt{\frac{L_l}{C_l}} + \sqrt{\frac{L}{C}} \right) + \frac{1}{p} \cdot \frac{1}{2} \left( \sqrt{\frac{L_l}{C_l}} \cdot \frac{R_l}{L_l} + \sqrt{\frac{L}{C}} \cdot \frac{R}{L} \right)}. \quad (11)$$

Укажем область применения формул (8)–(11). Как известно, значения волнового сопротивления и коэффициента отражения на частотах, близких к нулю или бесконечности, стремятся к некоторым постоянным величинам, и их расчет может производиться по упрощенным формулам. Для остального интервала пренебрегать зависимостью волнового сопротивления и коэффициента отражения от частоты недопустимо. В этом случае для расчета волновых параметров могут быть использованы предлагаемые приближенные формулы.

Рассмотрим в качестве примера один из вариантов воздуховода шахтной вентиляции, погонные параметры которого равны:

$$L = 0,131 \frac{\text{н} \cdot \text{сек}^2}{\text{м}^6}; \quad C = 0,64 \cdot 10^{-4} \frac{\text{м}^4}{\text{н}}; \quad R = 0,021 \frac{\text{н} \cdot \text{сек}}{\text{м}^6};$$

$$G = 5 \cdot 10^{-5} \frac{\text{м}^4}{\text{н} \cdot \text{сек}}.$$

На рис. 1, 2 представлены модуль и фаза волнового сопротивления в функции частоты. Расчет проводился по формулам (6)–кривые 1, 1', (8)–кривые 2, 2' и (9)–кривые 3, 3'.

В качестве примеров были рассчитаны также волновые сопротивления и коэффициенты отражения многослойных звукопоглощающих материалов, применяемых при глушении шумов шахтных вентиляторов, неоднородных стержней и бурильных труб.

Как показывают графики, полученные приближенные значения волнового сопротивления и коэффициенты отражения с удовлетворительной для практики точностью аппроксимируют их и могут быть применены при расчете или аналоговом моделировании данных функций.

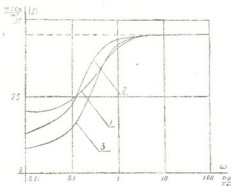


Рис. 1

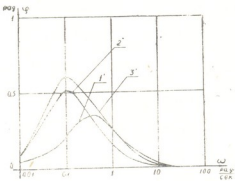


Рис. 2

Полученные результаты могут найти применение в горной механике при исследовании динамики шахтных вентиляционных систем и бурильных установок.

Академия наук Грузинской ССР

Институт горной механики

им. Г. А. Цулукидзе

(Поступило 22.6.1972)

80326023

#### ნ. სეპიაშვილი

ტბილისი უნივერსიტეტის და არეკვილის კომიტეტის ლაგერის  
კოლეგიაზე მომზადებით ააროკსიგაციის უმახას

რეზიუმე

განხილულია განაწილებულპარამეტრებითი რხევითი სისტემების ტალღური პარამეტრების ლაგერის მრავალწევრებად და ტეილორის მუკრივად დაშლის საკითხები. ნაჩენებია მიღებული შედეგების გამოყენების არე.

MECHANICS

N. D. SEPIASHVILI

#### ON THE APPROXIMATION OF WAVE RESISTANCE AND REFLECTION COEFFICIENTS BY LAGUERRE POLYNOMIALS

Summary

Problems of the expansion of the wave parameters of distributed-parameter oscillating systems into Laguerre polynomials and Taylor series are discussed. The field of application of the results obtained is indicated.

Г. В. КАНТАРИЯ

## ОПТИМАЛЬНЫЙ ВЫБОР С СОГЛАСОВАНИЕМ АЛЬТЕРНАТИВНЫХ ГИПОТЕЗ

(Представлено членом-корреспондентом Академии В. В. Чавчанидзе 21.6.1972)

Рассмотрим следующую задачу оптимального выбора. Пусть нам задано множество объектов  $M$  и совокупность признаков  $B = \{b_1, b_2, \dots, b_p\}$ , характеризующих объекты этого множества. Задана также система функций  $\{f_1, f_2, \dots, f_n\}$ , различным образом метризующих пространство, связанное с множествами  $M$  и  $B$ . Требуется выбрать одну из функций данной системы, оптимально согласованную в ней, для наилучшей классификации множества  $M$  или определения элемента  $M$ , оптимального в некотором заданном смысле. Требования, накладываемые на функции этой системы, являются основной характеристикой теорий, предлагаемых различными авторами для решения вышеупомянутой задачи. В данной работе ставится задача оптимального согласования таких теорий. С этой целью вводятся следующие определения.

Функционально-упорядоченным назовем множество  $M$ , для которого существует монотонновозрастающая однозначная функция  $f_0$  на множестве векторов  $E = \{E_1, E_2, \dots, E_m\}$ , где  $E_i = (b_{i1}, b_{i2}, \dots, b_{ip})$  и  $m$  — мощность множества  $M$ . Функция  $f_0$  связана определять веса  $c_{ij0}$  для признаков  $b_{ij}$ , ( $i = 1, 2, \dots, m$ ;  $j = 1, 2, \dots, p$ ) и метризовать пространство векторов  $E$ .

Квазиупорядоченным назовем множество  $M$ , для которого существует частичная монотонновозрастающая функция  $f_h$  на множестве  $E$ . В работе [1] рассмотрена задача оптимального выбора в условиях, когда заданы  $c_{ijh}$  и монотонность функции  $f_h$  в смысле  $f_h(c'_{1hk}, c'_{2hk}, \dots, c'_{phk}) \geq \geq f_h(c''_{1hk}, c''_{2hk}, \dots, c''_{phk})$ , если  $c'_{ihk} > c''_{ihk}$  и не задана метризация пространства векторов  $E$ .

Функции  $f_0$  и  $f_h$  назовем соответственно эффективным и частично эффективным алгоритмами перебора множества  $M$ . Знание  $f_0$  означает полное решение задачи оптимального выбора. Знание  $f_h$  можно рассматривать как введение гипотезы об упорядочении множества  $M$ . Интересно рассмотреть ряд альтернативных гипотез  $\{f_1, f_2, \dots, f_n\}$  и сравнить их между собой по какому-либо критерию. Допустим, множество  $M$  квазиупорядочено и задана система функций  $\{f_1, f_2, \dots, f_n\}$ , упорядочивающих подмножество этого множества  $M_1, M_2, \dots, M_n$  соответственно. С целью упрощения записи будем писать  $f_h = f_h(x)$  вместо  $f_h = f_h(E_i)$   $i = 1, 2, \dots, m$ , где  $x \in M$ . Через  $x^{\sigma}_{\max}$  обозначим элемент  $M$ , удовлетворяющий соотно-

шению  $f_q(x_{\max}^q) = \max_x f_q(x)$ ,  $q = 0, 1, 2, \dots, n$ . Пусть  $x_{\max}^0$  — искомый истинный экстремальный элемент  $M$  и  $f_0$  неизвестна. Элементы  $x_{\max}^k$  при  $k = 1, 2, \dots, n$  являются экстремальными элементами с точки зрения функций  $f_k$  соответственно. Аналогичным образом определим элементы  $x_{\min}^k$ . После вышеуказанных определений остается ввести: а) некоторую функцию  $\Phi_k$ , определяющую меру согласования точки зрения  $f_k$  гипотезы с остальными гипотезами системы  $\{f_1, f_2, \dots, f_n\}$ ; б) доопределение функций  $f_k(x)$ , допустим, в смысле  $f_k(x) = f_k(x_{\min}^k)$ , если  $x \notin M_k$ ; в) способ сокращения перебора множества  $M$  при поиске элемента  $\tilde{x}$ , оптимального в смысле наилучшего согласования точек зрения

$$\{f_1(\tilde{x}) \approx f_1(x_{\max}^1), f_2(\tilde{x}) \approx f_2(x_{\max}^2), \dots, f_n(\tilde{x}) \approx f_n(x_{\max}^n)\}.$$

Процедура оптимального согласования гипотез может быть разбита на несколько этапов.

1. Сокращение перебора множества  $M$ . Построим многочленное дерево, ветви которого представляют упорядоченные подмножества  $M_h$ . Рассмотрим пару ветвей  $M_{k_1}$  и  $M_{k_2}$ . Можно считать, что верхняя часть ветви  $M_{k_1}$ , ограниченная снизу элементом  $x_{\min}^{k_2}$ , и соответственно верхняя часть ветви  $M_{k_2}$ , ограниченная снизу элементом  $x_{\min}^{k_1}$ , остаются альтернативными после объединения точек зрения  $f_{k_1}$  и  $f_{k_2}$ , а нижние части могут быть отсечены. Остались усеченные ветви рассматриваются в паре с другими ветвями дерева. Производя последовательное отсечение ветвей, приходим к совокупности ветвей  $\tilde{M}_1, \tilde{M}_2, \dots, \tilde{M}_n$ . Множество  $\tilde{M} = \tilde{M}_1 \cup \tilde{M}_2 \cup \dots \cup \tilde{M}_n$  является множеством конкурирующих элементов. Следует ожидать, что  $\tilde{M} \subset (M_1 \cup M_2 \cup \dots \cup M_n)$ , и этим достигнуто сокращение перебора  $M$ . В сущности мы перебирали только по  $n$  элементов в каждой ветви.

2. Согласование гипотез. Введем обозначения

$$F_n(x) = \sum_{k=1}^{n-1} [f_k(x_{\max}^k) - f_k(x)], \quad (1)$$

$$\Phi_n(x) = F_n(x) [F_n(x) + f_n(x_{\max}^n) - f_n(x)], \quad x \in \tilde{M}$$

и будем считать, что функция  $f_n(x)$  является оптимально-согласованной с функциями  $f_1, f_2, \dots, f_{n-1}$  в смысле существования элемента  $\tilde{x} \in \tilde{M}_n$ , удовлетворяющего условию

$$\Phi_n(\tilde{x}) = \min_{k, x} \Phi_k(x), \quad k = 1, 2, \dots, n; \quad x \in \tilde{M}. \quad (2)$$

3. Оценка согласованности выбранной гипотезы  $f_n(x)$  в системе  $\{f_1, f_2, \dots, f_n\}$  с точки зрения неизвестного эффективного алгоритма перебора  $f_0$ . При допущении неравенства

$$\frac{f_n(x_{\max}^n) - f_n(x)}{F_n(x)} \ll 1 \quad (3)$$

возможно провести некоторую, хотя и грубую, оценку согласованности с точки зрения  $f_0$ . Действительно, исходя из соотношений (1) можно написать

$$\Phi_n(x^0_{\max}) \geq \Phi_n(\tilde{x}) \geq \Phi_0(x^0_{\max}), \quad (4)$$

если требовать от  $f_0(x)$  лучшей согласованности в системе  $\{f_1, f_2, \dots, f_{n-1}, f_0\}$  по сравнению с любым частично эффективным алгоритмом перебора  $f_n$ . Из (4) следует

$$\left[ \frac{F_n(x_{\max}^0)}{F_n(\bar{x})} \right]^2 + \frac{\tilde{f}_n(x_{\max}^n) - \tilde{f}_n(x_{\max}^0)}{F_n(\bar{x})} \cdot \frac{F_n(x_{\max}^0)}{F_n(\bar{x})} > 1 + \\ + \frac{\tilde{f}_n(x_{\max}^n) - \tilde{f}_n(\bar{x})}{F_n(\bar{x})} > \left[ \frac{F_n(x_{\max}^0)}{F_n(\bar{x})} \right]^2$$

и, учитывая (3), приходим к соотношению  $F_n(x_{\max}^0) \approx F_n(\tilde{x})$  или  $\Phi_n(\tilde{x}) \approx \Phi_n(x_{\max}^0)$ . Таким образом, в смысле меры согласованности гипотез, задаваемой значением  $\Phi_n(x)$ , оптимальный элемент  $\tilde{x}$  определен в условиях максимальной согласованности гипотез  $f_1, f_2, \dots, f_n$ .

Тбилисский государственный университет

(Поступило 22.6.1972)

ପ୍ରକାଶକ ନାମ

8. კანონისი

ოფტიგალური ამორჩივა ალტერნატიულ ჰიპოთეზათა  
შეთანხმებით

69803

Ղցալուսեմբեր, հռմ մոլորդուն ողօյքիւրա Տօմհազլուն արոտմերինչացուն մը Երկունացուն ուշնէցուն օլքարնալուլ Քովորեթեատ Տօմհազլուն Տանը. Տա-  
լա մը Երկունացուն ուշնէցուն օլքարնալուլ Քովորեթեատ Տօմհազլուն Տանը. Տա-  
կուրու Մոնդենու Տօմհազլուն Եմս Երկունալուրու Ուղարկուն օլքարնալուն Արո-  
տու Սպառուր, հռմլուն Տամուալցածուաց Մոնդենուն Տօմհազլուն ողբամալուրու  
Ուղարկուր, հռմլուն Եմս Երկունալուրուան Եկլու օմոռուն Քովորեթեատուն  
Եմս մալուրու Մշտաճեմբուն Մալուսանիւնուն.

## CYBERNETICS

G. V. KANTARIA

## OPTIMAL CHOICE WITH COORDINATION OF ALTERNATIVE HYPOTHESES

## Summary

Functions arithmetizing and metricizing a set of objects are assumed to be given as a system of alternative hypotheses. The extremal element of the set is to be found. A procedure is proposed which enables to find an optimal element of the set that is close to the extremal element from the viewpoint of maximal coordination of the hypotheses.

## ଲେଖକୁ ପରିଚୟ — ЛИТЕРАТУРА — REFERENCES

- Л. Г. В. Кантария. Сообщения АН ГССР, 51, № 1, 1968.



ФИЗИКА

Л. А. ХЕЛАШВИЛИ, М. А. ЭЛИАШВИЛИ

ОБЛАСТИ ОКУБО И ПРЕДСТАВЛЕНИЕ  $(1.8) \oplus (8.1)$   
 В КИРАЛЬНОЙ СИММЕТРИИ

(Представлено членом-корреспондентом академии А. Н. Тавхелидзе 3.5.1972)

В последнее время при исследовании способов нарушения киральной симметрии  $SU(3) \times SU(3)$ , наряду с представлением  $(\bar{3}, \bar{3}) \oplus (\bar{3}, \bar{3})$  [1,2] (модель ГОРГВ), обсуждается также октетное представление  $(1.8) \oplus (8.1)$  [3—5]. Хотя для получения численных результатов роль этого представления может оказаться незначительной, тем не менее оно интересно в связи с пониманием механизма нарушения киральной симметрии.

В работах [6, 7] исследовались области допустимых значений параметров нарушения симметрии в рамках модели ГОРГВ. Нам бы хотелось обсудить этот вопрос в свете возможного влияния нового представления  $(1.8) \oplus (8.1)$ .

Итак, лагранжиан сильных взаимодействий берем в виде

$$L(x) = L_{inv}(x) + \varepsilon_0 u_0(x) + \varepsilon_8 u_8(x) + \delta_8 g_8(x), \quad (1)$$

где  $u_0, u_8 \in (\bar{3}, \bar{3}) \oplus (\bar{3}, \bar{3})$ ,  $g_8 \in (1.8) \oplus (8.1)$  — скалярные компоненты указанных представлений. При этом, согласно общепринятой схеме нарушения  $SU(3) \times SU(3)$  [1,2], допускается существование ненулевых вакуумных средних  $\langle u_0 \rangle_0$ ,  $\langle u_8 \rangle_0$  и  $\langle g_8 \rangle_0$ . Для дальнейшего изложения удобно ввести параметризацию [4]:

$$\begin{aligned} a &= \frac{\varepsilon_8}{\sqrt{2} \varepsilon_0}, & b &= \frac{\langle u_8 \rangle_0}{\sqrt{2} \langle u_0 \rangle_0}, & \omega &= \frac{\delta_8 \langle g_8 \rangle_0}{\varepsilon_8 \langle u_8 \rangle_0}, \\ \gamma &= \frac{2}{3} \varepsilon_0 \langle u_0 \rangle_0. \end{aligned} \quad (2)$$

Области допустимых значений этих параметров определяются из условия положительной определенности спектральных функций ( $\sigma$ -членов):

$$S_i = -i \langle 0 | [Q_i, \partial_\mu j_i^\mu(0)] | 0 \rangle = 2(2\pi)^3 \sum_n \tilde{\sigma}^{(3)}(p_n) p_{n0} |\langle 0 | j_i^0(0) | 0 \rangle|^2 \geq 0, \quad (3)$$

где  $Q_i$  — генератор, соответствующий току  $j_i^\mu$ . Для лагранжиана (1) условия (3) выглядят следующим образом:

$$S_\kappa = \frac{9}{4} \gamma ab(1 + \omega) \equiv \gamma d_\kappa \geq 0,$$

$$S_\pi = \gamma(1 + a)(1 + b) \equiv \gamma d_\pi \geq 0,$$

$$S_K = \gamma \left[ \left(1 - \frac{a}{2}\right) \left(1 - \frac{b}{2}\right) + \frac{9}{4} ab\omega \right] \equiv \gamma d_K \geqslant 0, \quad (4)$$

$$S_s = \gamma (1 - a - b + 3ab) \equiv \gamma d_s \geqslant 0.$$

Области положительности спектральных функций в плоскости  $a - b$  приведены на рис. 1.

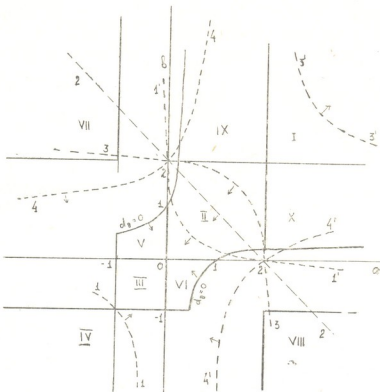


Рис. 1. Области знакоопределенности спектральных функций  $d_K$ ,  $d_\pi$  и  $d_s$  ограничены жирными линиями. Пунктирные линии соответствуют уравнению  $d_K(\omega) = 0$  для разных значений  $\omega$ :  $\omega = -1$  — кривые  $(1-1)$  и  $(1'-1')$ ;

$$\omega = -\frac{1}{9} — (2-2); \quad \omega = -\frac{1}{81} — (3-3), (3'-3'); \quad \omega = \frac{1}{9} — (4-4), (4'-4').$$

Стрелки указывают области положительности всех спектральных функций

Видоизменение границ областей Окубо (I, II, III, IV) определяется неравенством

$$d_h(\omega) = 1 - \frac{1}{2}(a + b) + \frac{1}{4}ab + \frac{9}{4}ab\omega \geqslant 0. \quad (5)$$

При  $\omega = 0$  получаются обычные соотношения модели ГОРГВ [6, 7] (допустимые области Окубо). Нетрудно убедиться, что при  $\omega \geqslant 0$  никаких дополнительных ограничений не возникает, а наоборот, с ростом  $\omega$  области расширяются. Для отрицательных  $\omega$  происходит сужение областей (I, II, III, IV), которые при  $\omega \rightarrow -\infty$  стягиваются к началу координат. Существенно отметить, что при  $\omega \leqslant -1$  возникают дополнитель-

ные области (V и VI), которые и доминируют при  $\omega \rightarrow -\infty$ , т. е. когда представление (1.8)  $\oplus$  (8.1) подавляет представление  $(3\bar{3}) \oplus (\bar{3}3)$ .

Своеобразная ситуация возникает при  $\omega = -1$ . Тогда  $S_\kappa = 0$ . Но если  $b \neq 0$ , т. е. вакуум вырожден, величина  $a$  не фиксируется вблизи  $SU(3)$ -инвариантного значения ( $a = 0$ ) и странный гектоний ток не сохи-ается. Таким образом, возникает возможность иметь в матричных элементах результаты, близкие к  $SU(3)$  симметричным, и в то же время не фиксировать симметрию лагранжиана. Этот пункт представляется нам весьма привлекательным для попытки устремления расхождения, имеющегося в определении численного значения  $a$  из барионного и мезонного спектров [8].

Из формул (4) следует

$$ab = 1 - \frac{x}{\gamma}, \quad a + b = 2 \left( \frac{y}{\gamma} - 1 \right), \quad (6)$$

где

$$x = \frac{S_\pi + 2(S_K - S_\kappa)}{3}, \quad y = \frac{2S_\pi + S_K - S_\kappa}{3}. \quad (7)$$

Согласно (6),  $\gamma \geq x$ , если  $ab \geq 0$  (I и III квадранты), и  $\gamma \leq x$ , если  $ab \leq 0$  (II и IV квадранты). Далее, в I квадранте  $a + b \geq 0$ , т. е.  $\gamma \leq y$ , а в III квадранте, где  $a + b \leq 0$ , имеем  $\gamma \geq y$ .

Если  $S_\kappa \leq S_K - S_\pi$ , то в случае  $ab \geq 0$  непротиворечивы только неравенства, спрятанные в III квадранте:  $\gamma \geq \max(x, y) = x$ . В противном случае ( $S_\kappa \geq S_K - S_\pi$ ) допустим также I квадрант. В II и III квадрантах физически интересны области (V) и (VI), где  $-1 \leq a + b \leq 1$  и  $-\frac{2}{3} \leq ab \leq 0$ .

Следовательно, здесь

$$\frac{2}{3}y \leq \gamma \leq 2y \quad \text{и} \quad \frac{3}{5}x \leq \gamma \leq x. \quad (8)$$

Непротиворечивость неравенств (8) требует выполнения одного из следующих ограничений:

$$S_\kappa \leq S_K - \frac{11}{8}S_\pi \quad \text{либо} \quad S_\kappa \leq S_K - \frac{1}{4}S_\pi.$$

Академия наук Грузинской ССР  
Тбилисский математический институт  
им. А. М. Рамадзе

Тбилисский государственный  
университет

(Поступило 12.5.1972)

ვიზიტა

ა. ხელავაძე, ა. მდიავაძე

(1.8)  $\oplus$  (8.1) წარმოდგენა პირალურ სიმეტრიაში და თანაბო არის არები  
რეზის გენერატორი

განხილულია კირალური  $SU(3) \times SU(3)$  სიმეტრიის დარღვევის შესაძლებლობა (1.8)  $\oplus$  (8.1) წარმოდგენის გათვალისწინებით  $(3\bar{3}) \oplus (\bar{3}3)$  წარმოდგენისთან ერთად. დადგნოლია სპეციალური ფუნქციების დადგინთად განსაზღვრულობის არები. გამოკვლეულია (1.8)  $\oplus$  (8.1) წარმოდგენის გალენა ოკუბოს არების.

A. A. KHELASHVILI, M. A. ELIASHVILI

## OKUBO DOMAINS AND THE REPRESENTATION $(1.8) \oplus (8.1)$ IN CHIRAL SYMMETRY

### Summary

The possibility of the breaking of the chiral symmetry  $SU(3) \times SU(3)$  is discussed when the  $(1.8) \oplus (8.1)$  representation is taken into account together with the  $(3\bar{3}) \oplus (\bar{3}3)$  term. The positivity domains of the spectral functions are determined and the influence of  $(1.8) \oplus (8.1)$  term on the Okubo domains is studied.

### ЛІТЕРАТУРА — REFERENCES

1. M. Gell-Mann, R. J. Oakes, B. Renner. Phys. Rev., 175, 1968, 2196.
2. S. L. Glashow, S. Weinberg. Phys. Rev. Lett., 20, 1968, 224.
3. V. S. Mathur, J. Subba Rao. Phys. Lett., 31B, 1970, 383.
4. K. Schilcher. Phys. Rev., D4, 1971, 237.
5. Б. А. Маградзе, М. Цугулеа, М. А. Элиашвили. Ядерная физика, 15, 1972, 530.
6. S. Okubo, V. S. Mathur. Phys. Rev. Lett., 23, 1969, 1412.
7. S. Okubo, V. S. Mathur. Phys. Rev., D1, 1970, 2046.
8. R. Brandt. Ref. TH-1402, CERN, 1971.

А. А. АРАБИДЗЕ, В. П. КОКОЕВА, Д. Д. ХАЛИПОВА

## ИССЛЕДОВАНИЕ АНОМАЛИИ ЭЛЕКТРООПТИЧЕСКОГО ЭФФЕКТА В $\text{BaTiO}_3$

(Представлено членом-корреспондентом Академии М. М. Мирианашвили 11.5.1972)

Аномальные свойства титаната бария наблюдались на целом ряде различных по природе эффектов [1—4]. Проявление аномалий в квадратичном электрооптическом эффекте исследовано Трибассером [2].

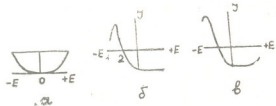
Нами поставлена цель получить дополнительные экспериментальные данные о проявлении аномалий в электрооптическом эффекте на основе разработанной методики исследования электрооптического эффекта в динамическом режиме [5, 6].

Для наблюдения квадратичного электрооптического эффекта термостатированный образец помещался между скрещенными поляроидами. Приложении к кристаллу переменного поля применяемая нами схема наблюдения давала возможность получать на экране осциллографа непосредственно кривую пропускания, т. е. кривую зависимости просветления системы от величины приложенного поля.

При подаче на кристалл постоянного поля в кристалле возникает внутреннее поле пространственных зарядов.

На рис. 1а, б даны исходная кривая пропускания и кривая пропускания после выдержки под постоянным полем (т. е. после образования в кристалле полей пространственных зарядов). Величина постоянного и переменного полей одна и та же.

Рис. 1. а—Исходная кривая зависимости пропускания системы от приложенного поля; б—та же кривая после выдержки образца под постоянным полем в случае качественного образца; в—характерная кривая пропускания после выдержки случайного образца под постоянным полем



Отсутствие светового сигнала на правой ветке кривой пропускания означает, что под действием постоянного поля в исследуемом образце возникает внутреннее поле объемных зарядов, полностью компенсирующее эффект внешнего поля, т. е. равное по величине внешнему полю. Время образования внутреннего поля исследуемых образцов порядка 1 минуты.

Если после образования внутреннего поля отключить внешнее постоянное поле, закоротив при этом на короткое время образец, то наблюдается резкое просветление системы под действием внутреннего поля и спад свечения в течение минуты.

Картина полного потемнения кристалла под действием постоянного поля наблюдается далеко не на всех образцах.

Исследуемые образцы выбирались при наблюдении локального потемнения больших кристаллов в постоянном поле. Скалывались те участки кристаллов, которые давали хорошее однородное потемнение. Размеры исследуемых образцов порядка  $(1,5 \text{ мм} \times 1,5 \text{ мм} \times 200 \mu)$ . В выбранном таким образом образце: 1) отмечалось хорошее визуальное затемнение в скрещенных поляризаторах в кубической фазе, 2) отсутствовали электрооптический и диэлектрический гистерезисы, 3) имелась хорошая двойная петля, 4) при зондировании кристалла малой диафрагмой ( $200 \mu$ ) не наблюдалось заметного разброса электрооптических параметров (подразумевается одно и то же полуволновое напряжение для различных участков кристалла и отсутствие в отдельных участках электрооптического гистерезиса и исходной асимметрии в кривых пропускания). Все указанные признаки говорят о том, что выбранный таким образом образец является качественным.

Если не проводить тщательного отбора исследуемых образцов, то подавляющее большинство кристаллов под действием постоянного поля дает такой характерный результат, как указано на рис. 1,в.

Из приведенных кривых видно, что под действием постоянного поля в кристалле возникает внутреннее поле, но оно частично компенсирует эффект внешнего поля. Кроме того, кривая 1, в дает непосредственную возможность определить величину возникающего внутреннего поля (отрезок I—2).

При визуальном наблюдении таких кристаллов одновременно с локальными потемнениями отчетливо видны образования сегнетоэлектрической фазы в постоянном поле (хотя заведомо этого поля недостаточно для перевода всего кристалла в сегнетоэлектрическую фазу). Это подтверждается возникновением электрооптического и диэлектрического гистерезисов в первый момент снятия постоянного поля (рис. 2). Чаще всего возникающий гистерезис не уходит со временем, а усиливается по мере обработки образца постоянным полем.

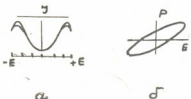


Рис. 2. Гистерезис, возникающий после выдержки кристалла под постоянным полем: а—электрооптический гистерезис (кривая пропускания); б—диэлектрический гистерезис

Из результатов, проведенных на рис. 1,в, следует отметить, что асимметрия в вертикальном направлении (световой сигнал) и асимметрия в горизонтальном (приложенное поле) не коррелируют друг с другом. Асимметрия по горизонтали уходит за 1 минуту, а по вертикали — за 4—5 минут. Процесс возникновения внутреннего поля и образования фазы протекает в кристаллах по-разному и необратимо. Это говорит о том, что на эффект образования внутреннего поля в некачественных образцах накладываются и другие эффекты.

Данные работы Трибассера [2] соответствуют как раз этому случаю. И тот факт, что Трибассер не получил ожидаемого затемнения кристалла, обусловлен тем, что он не имел возможности выбора качественного участка кристалла. Полученные нами результаты говорят в пользу предложенной Трибассером гипотезы объяснения наблюдаемых аномалий электрооптического эффекта (гипотеза Шоттки барьера).

Величина индуцированного внутреннего поля определялась нами из наблюдения двойных петель гистерезиса (рис. 3).

В исходном образце определялась величина поля, при котором возникают двойные петли гистерезиса. Образец подвергался выдержке под постоянным полем, и вновь искалось минимальное переменное поле, при котором возникала одна из двойных петель. Разница между этими полями дает величину индуцированного внутреннего поля.

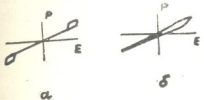


Рис. 3. Двойные петли гистерезиса: а—до подачи постоянного поля; б—после выдержки кристалла под постоянным полем

Результаты определения величины внутреннего поля из электрооптического эффекта и по двойным петлям гистерезиса хорошо совпадали (с точностью 10%).

Метод электрооптического эффекта может быть плодотворно использован для исследования как аномалий титана бария, так и несовершенств кристалла.

Академия наук Грузинской ССР  
Институт кибернетики

(Поступило 12.5.1972)

ЧИКИДЗЕ

А. АРАБИДЗЕ, В. П. КОКОЕВА, Д. Д. ХАЛИПОВА

BaTiO<sub>3</sub>-ზი ელექტროოპტიკური ეფექტის ანომალიების გამოკვლევა

### რეზიუმე

გამოკვლეულია მუდმივი ელექტრული ველის გავლენა კვაზიატულ ელექტროოპტიკურ ეფექტზე BaTiO<sub>3</sub>-ში. ნიმუშზე მუდმივი ველის მოდებისას ხდებოდა გარეშე ველის სრული კომპენსირება მოცულობითი მუხტების ინდუცირებული ველით. გარეშე, ველის მსგავს სრულ ეკრანირებას იძლევა მდგრადი ჰერცინის სპეციალურად შერჩეულ ნიმუშებში. შემთხვევით ნიმუშგილი ჰქონდა სპეციალურად შერჩეულ ნიმუშებში. რაც გამოწვეულია შემთხვევითი ნიმუშების უხარისხმით. შეფასებულ იქნა შიდა ველის შემთხვევითი ნიმუშების უხარისხმით. შეფასებულ იქნა შიდა ველის სიდიდე და მათი წარმოქმნის დრო. ერთდროულად ხდებოდა შიდა ველის სიდიდის შეფასება პისტერეზისის ორმაგი მარყუების წარმოქმნის მიხედვით. ეს შედეგები შეიძლება გამოყენებულ იქნეს როგორც ხარისხიანი ვით. ეს შედეგები შეიძლება გამოყენებულ იქნეს როგორც ხარისხიანი ვით.

PHYSICS

A. A. ARABIDZE, V. P. KOKOVA, D. D. KHALIPOVA

INVESTIGATION OF ANOMALIES OF THE ELECTRO-OPTICAL EFFECT IN BaTiO<sub>3</sub>

### Summary

The influence of a constant field on the quadratic electrooptical effect in BaTiO<sub>3</sub> has been investigated. The outer field was entirely compensated by

an induced field of space charges, provided the constant field was applied to the sample. Such screening occurred with specially chosen samples. The inner field induced in randomly taken samples is less than the outer field, being due to the imperfection of random samples. The time of formation of the inner fields as well as of their values was estimated. At the same time the value of the inner field was estimated according to the formation of double loops of hysteresis.

#### ЛІТЕРАТУРА — REFERENCES

1. W. Kansig. Phys. Rev., 98, 2, 1955, 549.
2. S. Treibwasser. Phys. Rev., 118, 1, 1960, 100.
3. A. G. Chynoweth. Phys. Rev., 102, 3, 1956, 705.
4. Z. Kiya, K. Husimi, K. Kataoka. J. Phys. Soc. Japan, 12, 2, 1957, 432.
5. А. А. Арабидзе, В. П. Кокоева. ФТТ, 10, 202, 1968.
6. А. А. Арабидзе, Д. Д. Халирова, В. П. Кокоева. Сообщения АН ГССР, 50, № 1, 1968, 59.

ФИЗИКА

В. В. МУМЛАДЗЕ, Н. М. РАМИШВИЛИ, В. В. ЧАВЧЛНИДЗЕ (чл.-кор. АН ГССР)

## ХАРАКТЕР ОБРАЗОВАНИЯ ИНТЕРФЕРЕНЦИОННЫХ КАРТИН В ПРОЦЕССЕ САМОРЕПРОДУКЦИИ

Как было показано в работах [1—3], при освещении регулярного двумерного объекта лазерным лучом наблюдается набор дифракционных картин, расположенных симметрично относительно плоскостей саморепродукции. Процесс повторения любой дифракционной картины, включая и изображение саморепродукции объекта, периодичен с пе-

$$\text{риодом } \Delta z = \frac{2L^2}{\lambda}.$$

Настоящая работа посвящена исследованию процесса формирования интерференционных картин в процессе саморепродукции и изучению некоторых новых свойств этого явления.

Экспериментально было установлено, что в плоскостях, расположенных на расстоянии  $z_n = \frac{1}{2} \left( \frac{2L^2}{\lambda} \right) (n + 1)$ , где  $n = 0, 2, 4, \dots$ , наблюдается изображение саморепродукции, каждый элемент которой повернут на  $180^\circ$ . На расстояниях же  $z_n = \frac{1}{2} \left( \frac{2L^2}{\lambda} \right) n$ , где  $n = 2, 4, 6, \dots$ , изображение каждого элемента имеет ту же ориентацию, что и элементы исходного объекта (рис. 1).

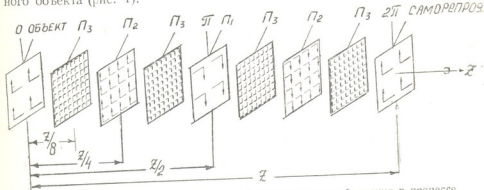


Рис. 1. Схематическое изображение формирования изображения в процессе саморепродукции

На расстояниях  $z_n = \frac{1}{2} \left( \frac{2L^2}{\lambda} \right) (2n + 1)$ , где  $n = 0, 2, 4, \dots$ , было наблюдано учетверенное число элементов (рис. 2, а), ориентация которых совпадает с ориентацией элементов исходного объекта. В промежутках

между плоскостями саморепродукции, помимо плоскости поворота и размножения, расположены плоскости, в которых наблюдаются разные стадии формирования дифракционных картин исходного объекта.

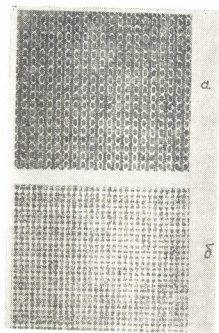


Рис. 2. а—Изображение исходного объекта с учетверенным числом элементов; б—изображение исходного объекта с 16-кратным увеличением количества элементов

На расстояниях  $z_n = \frac{1}{2^4} \left( \frac{2L^2}{\lambda} \right) (8n + 1)$ , где  $n = 0, 2, 4, \dots$ , наблюдается изображение объекта с 16-кратным увеличением числа элементов, повернутых на  $90^\circ$  по отношению к элементам исходного объекта, масштаб которых уменьшен (рис. 2, б).

За один период  $\Delta z = \frac{2L^2}{\lambda}$  изображение вышеупомянутой структуры наблюдается 8 раз. Однако каждый элемент последующего изображения ориентирован под углом  $45^\circ$  к соответствующему элементу предыдущего изображения.

Было обнаружено также, что в плоскости, удаленной на расстояние  $z_n = \frac{1}{2^3} \left( \frac{2L^2}{\lambda} \right) (4n + 1)$ , где  $n = 0, 2, 4, \dots$ , от плоскости объекта, формируется негативное изображение исходного объекта с удвоенным числом элементов правильной ориентации.

Структура наблюдаемой интерференционной картины в любой плоскости, расположенной за объектом, определяется разностью фаз дифрагированных от объекта лучей. Точное воспроизведение картины объекта наблюдается только в том случае, когда разность фаз  $\Delta\varphi = \varphi_1 - \varphi_2$  равна  $2\pi n$ , где  $n = 1, 2, 3, \dots$ . В случае же, когда  $\Delta\varphi = 2\pi n$ , где  $n = \frac{1}{2}, \frac{3}{2}, \frac{5}{2}, \dots$ , воспроизведенная картина повернута на  $180^\circ$ . При

других разностях фаз наблюдавшиеся интерференционные картины имеют разную структуру (см. таблицу).

Плоскости наблюдения	Расстояние $Z$ , см	Период повторения $\Delta Z$ , см	Разность фаз интерферируемых лучей $\Delta\varphi$	Изменение кол-ва элементов в изображении	Полярность изображения	Ориентация элементов
Саморепродукции	322	322	$2\pi$	неизм.	позитив.	норм.
Поворота	161	322	$\pi$	неизм.	позитив.	$180^\circ$
Размножения 1	80,5	322	$\frac{\pi}{2}$	4-кратное	позитив.	норм.
Размножения 2	40,2	322	$\frac{\pi}{4}$	16-кратное уменьш. масштаба	позитив.	$90^\circ$
Негативного изображения	20,1	322	$\frac{\pi}{8}$	2 кратное	негатив.	норм.

Таким образом, формирование изображений саморепродукции в пространстве происходит как бы путем перемещения их вдоль оси на расстояние  $z = \frac{2L^2}{\lambda}$  и поворота на  $2\pi$  (рис. 1). На самом деле, в каждой плоскости, перпендикулярной направлению оптической оси системы, происходит дискретное образование дифракционных картин, структура которых определяется разностью фаз интерферируемых лучей.

В качестве источника света был использован лазер типа ЛГ-36А, работающий в одномодовом режиме на  $\lambda = 6328 \text{ \AA}$ . Для регистрации пространственных изображений применялись фотопленка «Микрат-300» и фотопластинки «Микрат-ВРЛ». Период регулярности объекта, измеренный на компараторе ИЗА-2,  $L = 0,1$  см. Вычисленное по формуле расстояние первой саморепродукции  $z_1 = 316$  см. Экспериментально измеренное расстояние  $z_1 = 322$  см. Полученная незначительная разница обусловлена расходимостью лазерного пучка.

Таким образом, при освещении двумерных регулярных объектов монохроматическим и когерентным излучением вдоль распространения луча можно проследить большое количество вполне закономерно расположенных трансформированных изображений исходного объекта.

Академия наук Грузинской ССР  
 Институт кибернетики

(Поступило 7.9.1972)



ფიზიკა

3. მულაძე, 6. რამიშვილი, 3. მავრანიძე (საქართველოს სსრ მეცნ. ფალემის წევრ-კორესპონდენტი)

**ინტერფერენციული სურათების ფორმირების ხასიათი  
თვითგამომრჩევის პროცესის დროს**

რეზიუმე

აღწერილია გამოსხივების კომერციულ ველებში ორგანზომილებიანი საგნების თვითგამომრჩების მოვლენის შემდგომი კვლევის ექსპერიმენტული შედეგები. გამოკვლეულია ინტერფერენციული სურათების ფორმირების პირობები და ხასიათი თვითგამომრჩების პროცესში. კერძოდ, საკლევა საგნის გამრავლებული, მობრუნებული და ნეგატივური გამოსახულებების მიღება.

დადგნილია, რომ საგნის მიღმა სიერცეში ინტერფერენციული სურათების სტრუქტურა განისაზღვრება დაიკვირვების სიბრტყეში ინტერფერირებულ სხივთა შორის ფაზათა სხვაობით  $\Delta\varphi$ . საკლევა საგნის ზუსტი თვითგამომრჩება დაიკვირვება მხოლოდ და მხოლოდ მაშინ, როდესაც  $\Delta\varphi = 2\pi n$ , სადაც  $n = 1, 2, 3, \dots$  სხვა პირობებში დაიკვირვება თვითგამომრჩების გამოსახულებების ფორმირების სხვადასხვა სტადია.

PHYSICS

V. V. MUMLADZE, N. M. RAMISHVILI, V. V. CHAVCHANIDZE

**THE NATURE OF INTERFERENCE PATTERNS FORMATION IN  
THE PROCESS OF SELF-REPRODUCTION**

Summary

The experimental results of a further study of two-dimensional objects in coherent fields of emission are presented. The nature and conditions of interference pattern formation in the process of self-reproduction have been studied, in particular the formation of reversed, multiplied and negative images of the initial objects.

In the space beyond an object the structure of interference patterns has been found to be determined by the phase difference  $\Delta\varphi$  of the interfering beams on the given plane of observation. An exact reproduction of the initial object is observed only in condition  $\Delta\varphi = 2\pi n$ , where  $n = 1, 2, 3, \dots$ . In other conditions various stages of pattern self-reproduction formation are observed.

ლიტერატურა — ЛИТЕРАТУРА — REFERENCES

1. В. В. Мумладзе, Н. М. Рамишвили, В. В. Чавчанидзе. Сообщения АН ГССР, 58, № 3, 1970.
2. В. В. Климчук, В. В. Мумладзе, Н. М. Рамишвили, В. В. Чавчанидзе. Сообщения АН ГССР, 59, № 1, 1970.
3. Ю. Н. Денисюк, Н. М. Рамишвили, В. В. Чавчанидзе. Оптика и спектроскопия, 30, № 6, 1971.

Д. В. ШАРИКАДЗЕ, З. А. КЕРЕСЕЛИДЗЕ

## ПРИБЛИЖЕННЫЙ РАСЧЕТ ТЕПЛОВОГО ПОГРАНИЧНОГО СЛОЯ У ПЛОСКОЙ ПЛАСТИНЫ С УЧЕТОМ МАГНИТНОГО ПОЛЯ

(Представлено членом-корреспондентом Академии М. М. Мирианашвили 2.6.1972)

Для приближенного решения стационарных задач пограничного слоя в работе М. Е. Швела [1] была предложена одна из разновидностей метода последовательных приближений.

В настоящей работе метод последовательных приближений применяется для приближенного расчета стационарного теплового пограничного слоя слабопроводящей вязкой несжимаемой жидкости у плоской вертикальной пластины при учете джоулева тепла.

Пусть ось  $x$  направлена вдоль плоскости пластины, а ось  $y$  перпендикулярна к ней. В направлении оси  $y$  действует внешнее постоянное магнитное поле с индуктивностью  $\vec{B}_0$ . В режиме малых магнитных чисел Рейнольдса индуцированным магнитным полем можно пренебречь и система уравнений магнитной гидродинамики при  $Re_m \ll 1$  примет вид

$$u' \frac{\partial u'}{\partial x'} + v' \frac{\partial u'}{\partial y'} = \nu \frac{\partial^2 u'}{\partial y'^2} + g\beta(T' - T_0) - \frac{\sigma B_0^2}{\rho} u', \quad (1)$$

$$u' \frac{\partial T'}{\partial x'} + v' \frac{\partial T'}{\partial y'} = k \frac{\partial^2 T'}{\partial y'^2} + \frac{\sigma B_0^2}{C_v \rho} u'^2, \quad (2)$$

$$\frac{\partial u'}{\partial x'} + \frac{\partial v'}{\partial y'} = 0. \quad (3)$$

Входящие в систему (1) — (3) неизвестные функции  $u'$ ,  $v'$ ,  $T'$  должны удовлетворять следующим граничным условиям:

$$u' = 0, \quad v' = 0, \quad T' = T_1, \quad y = 0, \quad (4)$$

$$u' = 0, \quad T' = T_0, \quad y = \infty.$$

Переходя к безразмерным величинам

$$x = \frac{x'}{l}, \quad y = \frac{y'}{l}, \quad u = \frac{u'}{u_{\text{хар}}}, \quad v = \frac{v'}{u_{\text{хар}}},$$

$$H_a^2 = \frac{\sigma B_0^2 l^2}{\eta}, \quad \Theta = \frac{T' - T_0}{T_1 - T_0},$$

где  $l$  и  $u_{\text{хар}}$  составляются из параметров, входящих в уравнения (1), (2):

$$l \sim \left[ \frac{\nu^2}{g\beta(T_1 - T_0)} \right]^{1/3}, \quad u_{\text{хар}} \sim [\nu g(T_1 - T_0)\beta]^{1/3} \quad (5)$$

а  $Ha$  — магнитное число Гартмана, из (1)–(4) получаем уравнения и граничные условия

$$u \frac{\partial u}{\partial x} - \frac{\partial u}{\partial y} \int_0^y \frac{\partial u}{\partial x} dy = \frac{\partial^2 u}{\partial y^2} + \theta - \frac{H_a^2}{Re} u, \quad (6)$$

$$u \frac{\partial \theta}{\partial x} - \frac{\partial \theta}{\partial y} \int_0^y \frac{\partial u}{\partial x} dy = \frac{1}{p} \frac{\partial^2 \theta}{\partial y^2} - \frac{H_a^2}{Re} u^2, \quad (7)$$

$$u(0) = 0, \quad u(\infty) = 0, \quad (8)$$

$$\theta(0) = 1, \quad \theta(\infty) = 0,$$

где  $p = \frac{v}{k}$  — число Прандтля.

Введем конечную толщину теплового пограничного слоя  $\delta(x)$  и потребуем выполнения последнего условия (8) при  $y = \delta(x)$ . Согласно [1], в качестве первого приближения можно взять

$$\Theta_0 = 1 - \frac{y}{\delta(x)}, \quad (9)$$

удовлетворяющее условиям (8).

Используя (9), из (6) получаем первое приближение для скорости:

$$u_0 = \frac{y^3}{6\delta(x)} - \frac{y^2}{2} + \frac{\delta(x)y}{3}. \quad (10)$$

Тогда второе приближение для  $\Theta$ , согласно (9) и (10), будет иметь вид

$$\begin{aligned} \Theta = 1 - \frac{y}{\delta} + p \left\{ \frac{\dot{\delta}}{\delta^2} \left[ \frac{y^6}{240\delta} - \frac{y^5}{40} + \frac{\delta y^4}{24} - \frac{\delta^4 y}{48} - \right. \right. \\ \left. \left. - \frac{H_a^2}{Re} \left( \frac{y^8}{2016\delta} + \frac{y^6}{120} + \frac{\delta^2 y^4}{108} - \frac{y^7}{252} - \frac{\delta y^5}{60} + \right. \right. \right. \\ \left. \left. \left. + \frac{y^6}{270} - \frac{\delta^5 y}{336} \right) \right] \right\}. \end{aligned} \quad (11)$$

Полученное выражение дает возможность определить толщину теплового пограничного слоя  $\delta(x)$  из условия непрерывности потока тепла на границе пограничного слоя  $\left(\frac{\partial \Theta}{\partial y}\right)_{\delta} = 0$ :

$$\frac{11}{240} p \dot{\delta} \delta^3 - \frac{29 \cdot p}{240 \cdot 126} \frac{H_a^2}{Re} \delta^6 = 1. \quad (12)$$

Уравнение (12) при отсутствии магнитного поля совпадает с аналогичным уравнением из [1]. Решение уравнения (12) имеет вид

$$\begin{aligned} x = - \frac{1}{3\alpha\gamma} \left\{ \frac{1}{2} \ln \frac{\delta^2 + \gamma^2}{\delta^4 - \gamma\delta^2 + \gamma^2} - \sqrt{3} \left[ \operatorname{arctg} \frac{2\delta^2 - \gamma}{\gamma\sqrt{3}} - \right. \right. \\ \left. \left. - \operatorname{arctg} \left( -\frac{1}{\sqrt{3}} \right) \right] \right\}, \end{aligned}$$

где

$$\alpha = \frac{58}{11 \cdot 126} \frac{H_a^2}{Re}, \quad \gamma = \sqrt[3]{\frac{126 \cdot 240 \cdot Re}{29 \cdot p \cdot H_a^2}}. \quad (13)$$

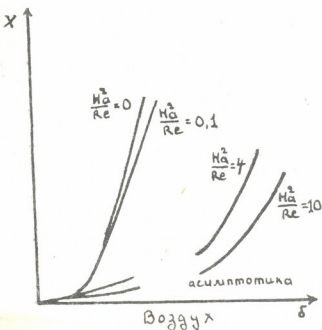


Рис. 1

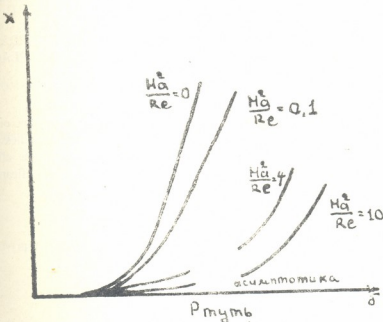


Рис. 2

Сравнение графиков толщин тепловых пограничных слоев без магнитного поля и с магнитным полем показывает (графики 1, 2), что толщина теплового пограничного слоя увеличивается с возрастанием внешнего магнитного поля. Здесь также нужно отметить, что воздействие магнитного поля на тепловой пограничный слой более существенно, чем на скоростной пограничный слой [2].

Тбилисский государственный университет

(Поступило 2.6.1972)

ЧИСЛЫ

Х. ШАРИКАДЗЕ, З. КЕРЕСЕЛИДЗЕ

СОТОГУРЮ САСАЧДЗЕНО ҇АБЕЦЕ 801620000000 გԱԱՇԱԿՈՂՅԵԳԱ ՑԱՑԱԾԱՐ  
 ՅՈՂՅՈ ԹՊԴԱՑՍԵՑՄԱՆ ՅՈՒԺԻԿԱԼՇՐՈ ԿՊՀԱԾԱՏՅՈՆ

ՀՐՑՈՑ ՑՈ

Ցամոյցլեցունա և սութերո սասանցրո ցեნո քուլուս և սութեռս ցատցալուս-  
 թինեցնու. սասանցրո ցենուս և սույնու ցրագուցենո ցանիցնենեն, հոմ և սութե-  
 նունա սասանցրո ցենուս և սույնու օնհուցեա մացնութշրո ցըլուս նկածատան  
 յորտագ. աղմոհինց, հոմ մացնութշրո ցըլուս ցավլենա և սութերո սասանցրո  
 ցենչյ պարո մնութելուցանու, զոդրո և սույնուլ սասանցրո ցենչյ.

PHYSICS

J. V. SHARIKADZE, Z. A. KERESELIDZE

## APPROXIMATE CALCULATION OF THE THERMAL BOUNDARY LAYER OF A PLANE PLATE FOR A VERTICAL WALL PLACED IN MAGNETIC FIELD

### Summary

Thermal boundary layer has been studied with due account of Joule heat. Curves of the latter show an increase of the layer thickness with increase of the magnetic field. It has also been found that the effect of the magnetic field on the thermal boundary layer is more significant than on the velocity boundary layer.

### ՀԱՅՈՒԹԱՅՄԱՆ — ԼԻՏԵՐԱՏՈՒՐԱ — REFERENCES

1. М. Е. Швец. Прикладная механика и математика, т. XIII, вып. 3, 1949.
2. Д. В. Шарикадзе. Сообщения АН ГССР, 43, № 3, 1966.



М. М. МИРИАНАШВИЛИ (член-корреспондент АН ГССР).

В. П. КОПАЛЕИШВИЛИ, Р. С. ПОПОВИДИ

## О МЕТОДЕ ЛОКАЛЬНЫХ ТОЧЕК В ЗАДАЧАХ ДИФРАКЦИИ НА РЕШЕТКЕ

Решение задачи дифракции на решетках, составленных из цилиндров произвольного сечения, представляет значительную трудность. До настоящего времени в литературе имеются формальные решения указанной задачи, однако систематические исследования, дающие возможность довести задачу до численных расчетов, до сих пор не проводились. В частном случае решетки из полос имеются конкретные результаты [1, 2].

В настоящей работе обсуждается численный метод решения вышеуказанной задачи, названный методом локальных точек. В частном случае решеток из полос и круговых цилиндров показывается эффективность данного метода.

Пусть имеем систему, составленную из бесконечно длинных цилиндров, оси которых параллельны оси  $z$  и расположены в пространстве на одинаковых расстояниях  $d$ , образуя тем самым бесконечную решетку в плоскости  $yoz$ . Из подобных решеток, расположенных на расстоянии  $h$  друг от друга, создается многослойная система, исследование дифракционных свойств которой является целью данной работы. Параметрические уравнения контуров сечения цилиндров плоскостью  $xy$  запишем в виде

$$x = x(t) + sh, \quad y = y(t) + nd, \quad 0 \leq t \leq 2\pi, \quad s = 0, 1, 2, \dots, S, \quad (1)$$
$$n = 0, \pm 1, \pm 2, \dots$$

Решетка облучается плоской электромагнитной волной

$$E_z^l = \exp \{-ik(x \cos \vartheta - y \sin \vartheta) - i\omega t\}. \quad (2)$$

Расстояние решеткой поле ищется методом вектор-потенциала и имеет вид

$$E_z^r = c_0 \sum_{s=0}^S \exp [iksh \cos \vartheta] \sum_{p=-\infty}^{+\infty} F(p, y) \cdot \Phi(p, x), \quad (3)$$

где

$$F(p, y) = Z_p^{-1} \cdot \exp [iy(\alpha_p + k \sin \vartheta)], \quad Z_p = \sqrt{D^2 - (p - D \sin \vartheta)^2},$$

$$\alpha_p = \frac{2\pi p}{d}, \quad D = \frac{d}{\lambda},$$

$$\Phi(p, x) = \int_L j(t) \cdot \exp [i\alpha_p y(t)] \cdot \exp \left\{ i \frac{2\pi}{d} |x - x(t) + sh| Z_p \right\} dt,$$

$j(t)$  является неизвестной величиной, к определению которой сводится задача. Для слоя с индексом  $s$  ее можно искать в виде ряда

$$j_s(t) = \sum_{q=0}^Q a_{sq} \cdot f_q(t). \quad (4)$$

Здесь  $f_q(t)$ —известные функции из определенного класса,  $a_q = a'_q + i a''_q$ —комплексные неизвестные амплитуды, которые определяются из граничных условий—равенства нулю тангенциальной составляющей суммарного электрического поля в конечном числе локальных точек на поверхности элемента решетки, равном числу неизвестных амплитуд в выражении (4):

$$(E_x^i + E_z^i) \left| \begin{array}{l} = 0, \\ x = x(\ell_\mu) - \gamma h, \\ y = y(\ell_\mu), \end{array} \right. \quad \mu = 0, 1, 2, \dots, Q, \quad (5)$$

В случае однослоиной решетки из полос шириной  $2a$  рассматриваются следующие конкретные аппроксимации плотности тока (4):

1. Разложение в ряд Фурье

$$j(t) = \sum_{q=-Q}^{+Q} a_q \exp \left\{ i \frac{2\pi q}{d} \cdot t \right\}, \quad -a \leq t \leq a. \quad (6)$$

2. Разложение в ряд Фурье с учетом особенности на ребре

$$j(t) = \frac{1}{\sqrt{1 - (y'/a)^2}} \sum_{q=-Q}^{+Q} a_q \exp \left\{ i \frac{2\pi q}{d} \cdot t \right\}. \quad (7)$$

3. Разложение по полиномам Чебышева с учетом особенности на ребре

$$j(t) = \frac{1}{\sqrt{1 - (y'/a)^2}} \sum_{q=0}^Q a_{2q} T_{2q}. \quad (8)$$

Тогда в каждом частном случае функция  $\Phi(p, x)$  в выражении (3) соответственно принимает вид

$$1) \quad \Phi(p, x) = \sum_{q=-Q}^{+Q} a_q \frac{\sin \gamma}{\gamma} \cdot f_p(x),$$

$$f_p(x) = \exp \left\{ i \frac{2\pi}{d} |x| Z_p \right\}; \quad \gamma = \frac{2\pi a}{d} (q - p).$$

$$2) \quad \Phi(p, x) = \sum_{q=-Q}^{+Q} a_q J_0[\gamma] \cdot f_p(x).$$

$$3) \quad \Phi(p, x) = \sum_{q=0}^Q a_q J_{2q}(z_p a) \cdot f_p(x).$$

Здесь  $J_0$ ,  $J_{2q}$ —функции Бесселя.

Подставляя значения полей в (5), получаем систему уравнений относительно неизвестных коэффициентов  $a_q$ , которая решалась на ЭВМ.

На рис. 1а приводится характер стремления прошедшего поля к своему предельному значению с увеличением числа гармоник в разложениях (6)–(8) при сохранении в сумме по  $p$  около 200 членов ( $|p| \leq 100$ ). Сплошные линии, параллельные оси абсцисс, соответствуют точным значениям полей, которые взяты из [2], пунктируемые кривые с крестиками относятся к случаю разложения (6), а только пунктиром обозначены результаты разложения (8). На рис. 1б сплошные линии имеют прежний смысл, пунктиром обозначены результаты разложения (7). Из приведенного материала очевидно, что учет особенностей плотности тока улучшает скорость сходимости. Без учета особенностей, как показали исследования в интервале  $\frac{a}{\lambda} < 1$  при коэффициенте заполнения  $\frac{2a}{d} = 0,5$  для достижения точности, при котором максимальное отклонение от

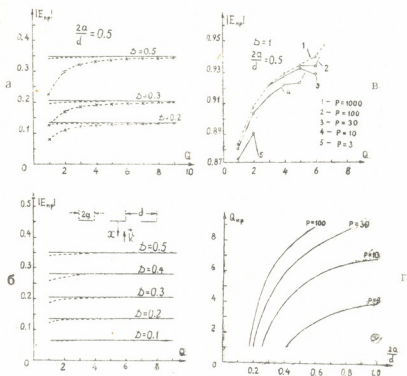


Рис. 1

точных значений составляет 1%, нужно брать  $Q=8$ , в то время как при учете особенностей уже при  $Q=4$  это отклонение составляет 0,5%.

Очевидно, что с увеличением числа  $Q$  решение должно стремиться к точному, однако при указанной точности ( $|p| \leq 100$ ) и  $Q > 9$  сходимость становится нерегулярной. На рис. 1в приводятся кривые зависимости прошедшего поля от числа гармоник в разложении тока при различной точности счета суммы по  $p$  в точке первого дифракционного резонанса, где решение является наиболее нерегулярным. Замечаем, что при малых точностях счета указанные выше нерегулярности появляются при меньших  $Q$ . Результаты численных исследований зависимости критического значения  $Q_{kp}$  от точности счета и параметров решетки приводятся на рис. 1г, из которого видно, что  $Q_{kp}$  зависит от коэффициента

заполнения решетки  $2a/d$  и с увеличением числа гармоник  $Q$  в некоторых интервалах изменения  $2a/d$  резко возрастает необходимая при этом точность счета суммы.

Исследования скорости сходимости решения в случае решетки из цилиндров круглого сечения показали аналогию со случаем полосок. Картину зависимости  $Q_{kp}$  от параметров решетки подобна данной на рис. 1г.

В заключение можно сделать следующие выводы. Рассмотренным методом можно решить широкий круг задач дифракции электромагнитных волн на многослойной решетке, составленной из цилиндрических элементов произвольного поперечного сечения. Простота алгоритма решения задач и сравнительно небольшое время машинного счета позволяют быстро определять качественные характеристики системы. При расчетах необходимо учитывать нерегулярность, появляющуюся с увеличением числа гармоник в разложении тока. Для этого необходимо увеличивать точность счета элементов матрицы. В случае решетки, составленной из элементов с открытыми цилиндрическими поверхностями, т. е. с ребрами, для улучшения скорости сходимости результатов необходимо учитывать особенности тока на ребрах. С увеличением характерных размеров элементов решетки увеличивается минимальное количество необходимых локальных точек; если учесть, что величина  $Q$  ограничена сверху, то можно заключить, что в коротковолновом приближении предложенный метод становится малоэффективным.

Тбилисский государственный университет

(Поступило 7.9.1972)

9308035

8. අභිජනකාධරණය (ඩැක්සනුවෙලාස් සිස් මේහු. ප්‍රාදේශීලික ජුරුව-ප්‍රාදේශීලික ප්‍රතිඵලිය),  
9. අභිජනකාධරණය, 10. අභිජනකාධරණය

ଲୋକାଲ୍ସର ପରିଚିତତା ମାତ୍ରରେ ଯେବାକିମନ୍ଦ ହୋଇଥାଏ ଏକାକିଳିରେ  
ଆମଦାନିରେଥାଏ

၁၅၈

ვამოყენებულია ნებისმიერი გრიკვეტის ცილინდრებისაგან შემდგარ უსასრულო შესკრზე დიფრაქტიის ამოცაბის ამოხსნის რიცხვებით მეოთვი. ამოცანა ამოხსნილია ლოკალურ წერტილთა მეოთვით. დაღვენილია მეოთვის გამოყენების საზოგრები.

## PHYSICS

M. M. MIRIAMASHVILI, V. P. KOPALEISHVILI, R. S. POPOVIDI

## ON THE METHOD OF LOCAL POINTS IN PROBLEMS OF LATTICE DIFFRACTION

## Summary

A numerical method is used to solve the problem of diffraction by an infinite lattice of cylinders with arbitrary cross sections. The problem is solved by the method of local points. The limits of application of the method are established.

## ლიტერატურა — ЛИТЕРАТУРА — REFERENCES

1. Л. А. Вайнштейн. ЖТФ, 25, 5, 1955, 847.
  2. В. П. Шестопалов. Метод задачи Римана—Гильберта в теории дифракции и распространения электромагнитных волн. Харьков, 1971.



АСТРОНОМИЯ

А. Д. ЧУАДЗЕ

КОСМИЧЕСКОЕ ПОГЛОЩЕНИЕ СВЕТА ЗВЕЗД В ПОЯСЕ  
МЕСТНОЙ СИСТЕМЫ

(Представлено академиком Е. К. Харадзе 27.6.1972)

Еще в 1939 г. Е. К. Харадзе [1] и М. А. Ващакидзе [2], подойдя к исследованию проблемы двумя различными методами, заключили, что так называемая Местная Система (МС), представляющая собой известную концентрацию ярких звезд, расположенную вдоль некоторой оси, наклоненной к галактической плоскости, не является иллюзорным явлением, обусловленным космическим поглощением света звезд, как это считалось рядом исследователей. Цитируемые работы были основаны на наблюдательных данных, относящихся к каптейновским площадкам 25, 48, 50, 73, 75, 97, 99 и 122. Площадки 48, 73, 97 и 122 лежат в области пояса МС, в районе наибольшего удаления к югу от галактического экватора, а остальные четыре расположены к северу от галактического экватора, симметрично по отношению к первым.

Результат, полученный в [2], базировался на доступном в то время наблюдательном, колориметрическом материале, весьма ограниченном как по количеству привлеченных к исследованию звезд с известными спектральными и цветовыми характеристиками, так и в смысле пространственного проникновения.

Мы задались целью заново исследовать методом цветовых избытков звезд космическое поглощение света в поясе МС в тех же площадках Каптейна, используя для этого более богатый и совершенный материал. В качестве такового нам послужил специально составленный нами каталог величин  $V$ , показателей цвета  $B-V$ , спектральных классов и классов светимостей 5102 звезд («Бюлл. Абастум. астрофиз. обсерв.», № 44).

Фотографический материал для спектральной классификации был получен на 70 см менисковом телескопе, а для определения показателей цвета — на анаберрационной камере Шмидта Абастуманской обсерватории. Сравнение определенных нами нормальных цветов с данными [3] показало, что наша система цветов довольно близка к системе [3]. Значения абсолютных величин  $M_V$  заимствованы из работы [4]. Для переводного множителя избирательного поглощения в полное было взято значение  $R=3,0$ , правомочность чего обоснована нами в [5].

При построении кривых межзвездного поглощения света отдельно для каждой области были использованы все звезды взятой области, имеющие оценки спектральных классов и определения избытков цвета (около 4 000 звезд во всех восьми площадках).

На рисунке показаны кривые межзвездного поглощения света в восьми избранных площадях Каптейна. Кривые сгруппированы попарно — в площадках пояса МС и в симметричных по отношению к галактическому экватору. По оси ординат отложены значения поглощения ( $A_v$ ) в лучах V, а по оси абсцисс — истинные расстояния. На рисунке до 1 000 пс (в пределах чего наш материал является полным) одному делению соответствует 200 пс, а за этим расстоянием — 2 000 пс. Вертикальные прерывистые линии делят области различных масштабов.

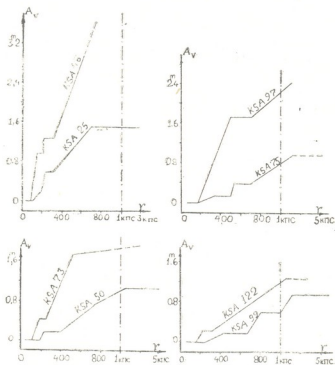


Рис. 1

На основе анализа приведенных кривых поглощения можно заключить следующее:

1. Ближайшие поглощающие пылевые облака в поясе МС находятся в среднем на 40 пс ближе к нам, чем в симметричной полосе (не учтено удаление Солнца от галактической плоскости).

2. Пространственное поглощение света вдоль пояса МС несомненно больше, чем в симметричной полосе, причем до 1000 пс эта разница превышает 1<sup>m</sup> в лучах V. Таким образом, применением более надежных современных данных полностью подтверждаются результаты работ [1, 2] о реальности существования Местной Системы.

3. Если из приведенных кривых образовать средние кривые поглощения для пояса МС и для симметричной полосы, то легко можно усмотреть, что наибольшая разность в поглощении наблюдается только до 400—500 пс. Дальше этого расстояния разность остается практически неизменной.

4. На расстоянии 500 pc среднее поглощение в лучах V в поясе МС равно  $1^m\ 52$ , а на расстоянии 1 кпс —  $2^m\ 19$ . Полученный А. С. Шаровым [6] результат о величине поглощения на кпс ( $a_0 = 2^m$  и более) вдоль большого круга, близкого к поясу МС, находится в хорошем согласии с вычисленным нами значением поглощения на первый кпс.

Академия наук Грузинской ССР  
 Абастуманская астрофизическая обсерватория

(Поступило 30.6.1972)

ასტრონომია

ა. ჭუაძე

აფგილიანგრივი სისტემის სარტყელზე ვარსკვლავთ ინითილის  
 ვარსკვლავთ ურიცორის მიული უთათება

რეზიუმე

ფერის სიჭარბეთა მეთოდით 5102 ვარსკვლავის V სიღიდეების, B—V ფერების, სპექტრებისა და ნათობათა კატალოგის საფუძველზე შესწავლით სინალის კოსმოსური შთანთქმა ე. წ. ოდგილობრივი სისტემის ზოლის ოთხ არეში და შის სიმეტრიულ არეებში. ოგებულია შთანთქმის კეშმარიტ მანძილი დამკიდებულების მრუდები. ნაჩვენებია, რომ ოდგილობრივი სისტემის ზოლში შთანთქმა საშუალოდ  $1^m$ —ით უფრო მეტია, ვიზუალურ მის სიმეტრიულ უბნებში. ამავე დროს შექსიმალური განსხვავება შთანთქმის მნიშვნელობათა შორის შეინიშნება მნიღინ მხოლოდ 400—500 პს მანძილებამდე, რის შემდეგ იგი პრაქტიკულად ერთ დონეზე აჩება.

ASTRONOMY

A. D. CHUADZE

## INTERSTELLAR ABSORPTION OF LIGHT IN THE LOCAL SYSTEM BELT

Summary

Interstellar absorption of light in four areas of the Local System belt and in the areas symmetric to it has been studied by the colour excess method on the basis of the catalogue of B—V colours, spectra and luminosity for 5102 stars. The absorption curves drawn show that the absorption in the Local System belt is, on an average, 1 mag. more than that in the symmetric area. At the same time the maximal difference among the absorption values is observable only at 400—500pc from the Sun, whereas at distances farther than this it remains practically at the same level.

### ლიტერატურა — ЛИТЕРАТУРА — REFERENCES

1. Е. К. Харадзе. Бюлл. Абастум. астрофиз. обсерв., № 4, 1940, 39.
2. М. А. Вашикидзе. Бюлл. Абастум. астрофиз. обсерв., № 4, 1940, 27.
3. H. L. Johnson, W. W. Morgan. Aph. J., 117, 3, 1953, 313.
4. T. H. Schmidt-Kaler. Landolt-Börnstein: Numerical Data and Functional Relationships in Science and Technology, Gruppe VI, Band 1, p. 297—304. Springer-Verlag, Berlin, 1965.
5. А. Д. Чуадзе. Астрон. циркуляр, № 610, 1971.
6. А. С. Шаров. Астрон. журн., № 5, 40, 1963, 900.



ГЕОФИЗИКА

Б. К. БАЛАВАДЗЕ (член-корреспондент АН ГССР), П. Ш. МИНДЕЛИ

К ВОПРОСУ О РЕДУКЦИЯХ СИЛЫ ТЯЖЕСТИ НА МОРЯ

При решении геолого-геофизических задач гравиметрическим методом вряд ли у кого-нибудь возникает сомнение в целесообразности применения на суше местной топографической редукции. Вычисленные в этой редукции аномалии силы тяжести при соответствующем подборе средних значений плотности промежуточного слоя и рельефа местности освобождаются от гравитационного влияния внешних масс, не представляющих интереса для исследователя. Следовательно, эти данные отображают гравитационное влияние аномальных масс, расположенных главным образом в земной коре и поэтому в комплексе с другими геолого-геофизическими данными успешно используются для исследования ее строения и физических свойств.

Измеренные же на морских пространствах значения силы тяжести редуцируются, в частности, по Буге при замещении плотности водных масс массами со средней плотностью 2,67 г/см<sup>3</sup>. Против этой классической редукции силы тяжести на морях и океанах, считавшейся до последнего времени незыблемой, появились в печати в порядке обсуждения первые возражения, выдвинутые Н. Б. Сажиной и Н. П. Грушинским [1, 2]. Эти авторы считают, что введение редукции Буге в принятом понимании для морей и океанов только затушевывает естественную картину аномального гравитационного поля, и предлагают ограничиться приведением наблюденных значений силы тяжести к уровню моря с учетом поправки Прея. Кроме того, Н. П. Грушинский [2], исследовав для океанических пространств зависимость аномалий Фая и Буге от толщины земной коры, приходит к выводу, что аномалия Буге обнаруживает зависимость от рельефа до океанов и поэтому нет смысла интерпретировать ее в связи с изучением строения земной коры.

В. В. Федынский [3], отставая традиционную систему вычисления аномалий Буге на морях, не разделяет приведенную выше точку зрения относительно отказа от заполнения морских и океанических акваторий массами до средней плотности 2,67 г/см<sup>3</sup> и использования аномалии Буге для исследования строения земной коры под водными бассейнами.

Доводы Н. Б. Сажиной и Н. П. Грушинского против применения редукции Буге на море, по нашему мнению, обоснованы. В самом деле, введение поправки Буге, во-первых, резко повышает уровень аномалии в морских акваториях и, как будет показано ниже, сглаживает картину распределения локальных аномалий, которые могли бы быть полезны при геологической интерпретации поля; во-вторых, оно требует учета влияния рельефа морского дна, что по ряду причин не всегда выполняется с требуемой точностью или попросту не выполняется, а это обстоятельство влечет за собой ошибки в пределах нескольких десятков миллигаль; в-третьих, при количественной интерпретации аномалии Буге на морях может без внимания остаться тот факт, что под вымышенным слоем со средней плотностью 2,67 г/см<sup>3</sup> на дне моря залегает слой осадочных отложений с меньшей плотностью. Этот слой в ряде случаев

продолжается в верхних горизонтах сопредельной суши, образуя приморские депрессии, заполненные легкими породами. Спрашивается, почему эти и другие депрессии изучаемой области не пополняются массами до средней плотности земной коры, чтобы таким образом привести их в соответствие с тем, что сделано на море. Однако все это делать конечно, нерационально, а узаконенная операция по заполнению только морских акваторий дополнительной массой делает затруднительным раокрытие физической природы аномалии Буге на море.

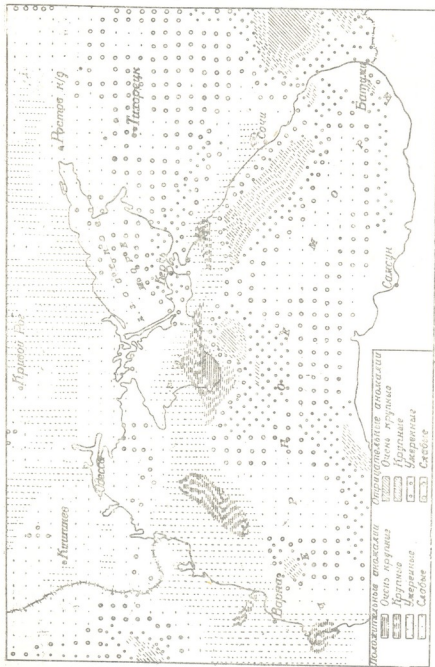


Рис. 1. Схема аномалий силы тяжести в гидрографической реции в области Черного моря

Если мы согласимся с тем, что измеренные в море значения силы тяжести  $g$  приводят к геоиду по формуле

$$g_0 = g - 0,3186 h + 0,0836 h\sigma,$$

где  $\sigma$  — плотность морской воды и  $h$  — глубина пункта наблюдений ниже уровня моря, то редуцированное  $g_0$ , будет свободно от ощущимых искажений. Это, несомненно, важное достоинство данной редукции, которое может обеспечить вывод точных значений аномалии силы тяжести на морских и океанических пространствах, составляющих 2/3 поверхности земного шара. Правда, распределение аномалии в этой новой редукции не будет более характеризоваться зеркальным отображением в ней рельефа поверхности твердой части Земли, свойственным аномальному полю по Буге. Думается, что потеря этой закономерности с избытком окупается полученной реальной картиной распределения аномалии силы тяжести.

Суммируя сказанное, считаем, что аномалии силы тяжести на водных пространствах целесообразнее вычислять в редукции Прея, а на континентах — в местной топографической. Объединяя их, Б. К. Балазадзе рекомендует дать этой смешанной аномалии название «гидротопографическая аномалия».

В этой редукции нами построена схема для аномалии бассейна Черного моря. В отличие от ранее составленной схемы аномалии Буге, на этой схеме четко выделяются отдельные центры крупных положительных аномалий, расположенных в районах восточнее Варны, западнее Сочи и Новороссийска, Горного Крыма и сопредельной юга акватории и др. Общий фон представлен знакопеременным полем среднего значения.

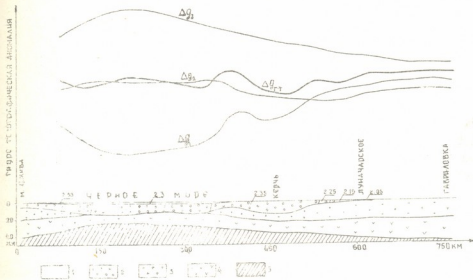


Рис. 2. Гравиметрический профиль и разрез строения земной коры по профилю Гавриловка—м. Джива: 1—морская вода, 2—осадочные отложения, 3—гранитный слой, 4—базальтовый слой, 5—подкорковый субстрат

Количественная интерпретация по гидротопографической аномалии, выполненная в этом бассейне с целью изучения строения земной коры вдоль ряда профилей, привела в основном к тем же результатам, что и

по аномалиям Буге [4]. В качестве примера можно привести разрез земной коры по профилю Гавриловка — Черное море — м. Джива (рис. 2). Заметим, что небольшие расхождения между старым и новым разрезами вполне были компенсированы неучтеным правитационным влиянием рельефа дна Черного моря в аномалиях Буге. Следовательно, нет основания утверждать [2], что аномалии Буге на морях и океанах пригодны для изучения строения земной коры. Вид редукции, как справедливо указывал А. А. Михайлов [5], является вопросом удобства и не меняет результатов интерпретации.

Академия наук Грузинской ССР  
 Институт геофизики

(Поступило 23.6.1972)

### ВОПРОСЫ ИЗУЧЕНИЯ

З. ГАЛЛАВАДЗО (Научный совет по геофизике Грузинской Академии наук, кандидат географических наук, доцент), З. АБДУЛОВО

ЧЕРНОМОРСКОЕ ГЕОФИЗИЧЕСКОЕ ИССЛЕДОВАНИЕ

62 707 23

განხილულია სიმძიმის ძალის რედუქციის საკითხი ზღვებისა და ოკეანეების ბისათვის. დასაბუთებულია ახალი სახის ჰიდრო-ტოპოგრაფიული რედუქციის შემოღების მიზანების მიზანების შეწონილობა. შედგენილია სიმძიმის ძალის ანომალიის სქემა ამ სახის რედუქციაში (ნახ. 1) და მოკემულია მისი მოკლე დახასიათება. ნაჩერებია ამ ანომალიის გამოყენების შესაძლებლობა ქერქის აგებულების შესასწავლად.

### GEOPHYSICS

B. K. BALAVADZE, P. Sh. MINDELI

## ON THE REDUCTION OF GRAVITY OVER SEAS

### Summary

The problem of reduction of gravity for seas and oceans is investigated. The advisability of introducing a new-type hydrographic reduction is demonstrated. The scheme of gravity anomalies in the proposed new type of reduction is drawn (Fig. 1) and described in brief. The feasibility of using this anomaly in investigating the Earth's crust is shown.

### ЛИТЕРАТУРА — REFERENCES

1. Н. П. Грушинский, Н. Б. Сажина. ДАН СССР, т. 184, № 2, 1969, 133.
2. Н. П. Грушинский Сб. «Морские гравиметрические исследования», вып. 5. М., 1970.
3. В. В. Федынский. Сб. «Морские гравиметрические исследования», вып. 5. М., 1970.
4. Б. К. Балавадзе, П. Ш. Миндели. Сб. «Сейсмические исследования», № 6. М., 1964.
5. А. А. Михайлов. Курс гравиметрии и теории фигуры Земли. М., 1939.



АНАЛИТИЧЕСКАЯ ХИМИЯ

В. Д. ЭРИСТАВИ

ОТДЕЛЕНИЕ БЕРИЛЛИЯ ОТ ВОЛЬФРАМА И МОЛИБДЕНА  
 НА КАРБОНАТНОЙ ФОРМЕ АНИОНITA AB-17

(Представлено академиком Г. В. Цицишвили 28.6.1972)

Проведенное исследование сорбционного поведения ряда элементов на карбонатных формах анионитов АВ-17, АВ-16, ЭДЭ-10 и АН-2Ф позволило установить возможность отделения бериллия от Ni, Cu, Al и Fe на карбонатной форме анионита АВ-17 (диаметр колонки 1,6 см, высота слоя сорбента 4,5 см) [1] и от Ni, Cu, Al, Fe, Ti и V на этом же сорбенте, но при высоте слоя 15 см [2]. Наряду с этими элементами, определению бериллия мешают также вольфрам и молибден [3, 4].

При изучении влияния природы, концентрации и скорости потока элюента (в качестве элюентов исследовались растворы карбоната аммония и гидроокиси натрия разных концентраций), а также высоты слоя сорбента на десорбцию бериллия, вольфрама и молибдена с карбонатных форм анионитов АВ-17, АВ-16 и ЭДЭ-10 [1, 2, 5—8] было установлено

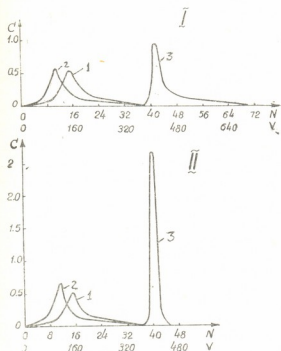
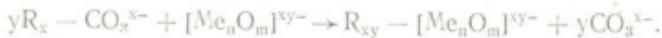


Рис. 1. Отделение бериллия от вольфрама и молибдена на карбонатной форме анионита АВ-17: С—содержание элементов в фракции элюата, мг/10 мл; №—номера фракций элюата; v—объем элюата, мл; I—комбинированное элюирование элементов 1 и 5N растворами  $(\text{NH}_4)_2\text{CO}_3$ ; II—комбинированное элюирование элементов 1N раствором  $(\text{NH}_4)_2\text{CO}_3$  и 3N раствором  $\text{NaOH}$ ; 1—выходная кривая вольфрама; 2—выходная кривая молибдена; 3—выходная кривая бериллия

но, что при последовательном элюировании элементов с карбонатной формы анионита АВ-17 1 и 5N растворами  $(\text{NH}_4)_2\text{CO}_3$  или же 1N раствором  $(\text{NH}_4)_2\text{CO}_3$  и 3N раствором  $\text{NaOH}$  при высоте слоя сорбента

15 см первый элюат содержит вольфрам и молибден, а второй — бериллий (см. рис. 1).

Как видно из рисунка, при пропускании через колонку с карбонатной формой анионита АВ-17 (на которой предварительно сорбируются бериллий, вольфрам и молибден) 370 мл 1N раствора  $(\text{NH}_4)_2\text{CO}_3$  вольфрам и молибден, в отличие от бериллия, количественно вымываются. Бериллий, образуя довольно прочный карбонатный комплекс в фазе ионита, обладает большим сродством к карбонатной форме сорбента, чем вольфрам и молибден, сорбция которых на анионитах в  $\text{CO}_3^{2-}$ -форме протекает по механизму ионного обмена:



Это, очевидно, можно объяснить тем, что вольфрам и молибден в растворе находятся в виде ионов  $[\text{W}_{12}\text{O}_{40}]^{6-}$  и  $[\text{Mo}_7\text{O}_{24}]^{6-}$ , которые ввиду их больших размеров с трудом диффундируют вовнутрь зерна («ситовой эффект») и сорбируются на поверхности сорбента.

Все вышеизложенное позволило нам разработать методику отделения бериллия от вольфрама и молибдена.

Анализируемый раствор с pH 2,5<sup>1</sup>, содержащий ионы Be, W и Mo, со скоростью фильтрации 1 мл/мин пропускается через колонку с карбонатной формой анионита АВ-17 (диаметр колонки 1,6 см, высота слоя набухшего сорбента 15 см). После промывания этой колонки порцией дистиллированной воды (15 мл) через нее со скоростью фильтрации

#### Определение бериллия после его отделения от вольфрама и молибдена

№ п/п	Взято, мг			Определено бериллия после его отделения на карбонатной форме анионита АВ-17				Определено бериллия новым методом в присутствии комплексона III, мг	Относительная ошибка, %		
	Be	W	Mo	Элюент 5N раствор $(\text{NH}_4)_2\text{CO}_3$		Элюент 3N раствор NaOH					
				Определено бериллия в элюате, мг	Относительная ошибка, %	Определено бериллия в элюате, мг	Относительная ошибка, %				
1	0,0	5,0	5,0	0,000	0,0	0,000	0,0	0,000	0,0		
2	1,0	5,0	5,0	0,990	-1,0	0,988	-1,2	0,940	-6,0		
3	0,5	5,0	5,0	0,493	-1,4	0,42	-1,6	0,440	-12,0		
4	0,1	5,0	5,0	0,096	-4,0	0,104	+4,0	0,086	-14,0		
5	0,05	5,0	5,0	0,051	+2,0	0,047	-6,0	0,054	+8,0		
6	0,01	5,0	5,0	0,0092	-8,0	0,0095	-5,0	0,008	-20,0		

5 мл/мин пропускаются 370 мл 1N раствора  $(\text{NH}_4)_2\text{CO}_3$ , вымывающего вольфрам и молибден. Затем для десорбции бериллия через эту колонку с той же скоростью фильтрации пропускают 300 мл 5N раствора  $(\text{NH}_4)_2\text{CO}_3$  или же 80 мл 3N раствора NaOH.

<sup>1</sup> Выбор данного pH мотивируется следующим. В случае более высоких значений pH при анализе сплавов, содержащих Be, W и Mo, железо, сопутствующее им, может выпасть в осадок до пропускания через ионит и соосадить другие элементы. H-ионы создающие pH 2,5 не влияют на механизм сорбции, а лишь незначительно уменьшают емкость сорбента.

Бериллий в бериллийсодержащей фракции элюата определялся фотометрическим методом с использованием арсеназо I в качестве реагента ([3], стр. 72).

Оба из предложенных для элюирования бериллия элюента имеют свои положительные и отрицательные стороны. Использование раствора гидроокиси натрия в качестве элюента ускоряет ход анализа, однако для последующих разделений ионит необходимо вновь переводить в карбонатную форму. Разделение элементов с применением карбоната аммония при элюировании бериллия дает возможность использовать ионит без регенерации.

Проверка описанного выше метода проводилась на искусственных смесях (см. таблицу). Для оценки методики при определении бериллия в искусственных смесях после отделения его от W и Mo на  $\text{CO}_3^{2-}$ -форме анионита параллельно определялся бериллий с использованием наиболее распространенного в настоящее время фотоколориметрического бериллонового метода в присутствии комплексона III ([3], стр. 71).

Как видно из данных, приведенных в таблице, точность определения бериллия с арсеназо I после отделения его от W и Mo гораздо выше, чем с бериллоном II в присутствии комплексона III.

Приведенные в таблице результаты позволяют рекомендовать метод отделения бериллия от вольфрама и молибдена на  $\text{CO}_3^{2-}$ -форме анионита AB-17 для использования в аналитической практике при определении бериллия в различных природных и промышленных объектах.

Грузинский политехнический институт

им. В. И. Ленина

(Поступило 29.6.1972)

ანალიზი გიგა

### 3. მოცემა

გერილუმის დაცილება ვოლფრამისა და მოლიბდენისას  
ანიონიტ AB-17-ის კარბონატულ ვორეაზე

### რეზუმე

მოცემულია ანიონიტ AB-17-ის კარბონატულ ფორმაზე ვოლფრამისა და მოლიბდენისაგან ბერილიუმის დაცილების მეთოდი (იონური სვერტის დიამეტრი 1,6 სმ; ანიონიტის სიმაღლე სვეტში 15 სმ). 1 და 5N  $(\text{NH}_4)_2\text{CO}_3$ -ის ან 1N  $(\text{NH}_4)_2\text{CO}_3$  და 3N  $\text{NaOH}$ -ის სხნარით თანმიმდევრული ელუირების შედეგად, პირველი ელუატი შეიცავს ვოლფრამსა და მოლიბდენს, ხოლო მეორე ელუატი ბერილიუმს. ბერილიუმის განსაზღვრის ფართობითი ცოდნილება მისი ვოლფრამისა და მოლიბდენისაგან დაცილების პირობებში 8%-ს არ აღემატება.

ANALYTICAL CHEMISTRY

V. D. ERISTAVI

### SEPARATION OF BERYLLIUM FROM TUNGSTEN AND MOLYBDENUM ON THE CARBONATE FORM OF ANION-EXCHANGER AB-17

#### Summary

A method is proposed for the separation of beryllium from tungsten and molybdenum on the  $\text{CO}_3^{2-}$  form of anion-exchanger AB-17 column-

diam.: 1.6 cm, height of swollen sorbent layer 15 cm. As a result of consecutive elution of 1 N and 5 N by means of  $(\text{NH}_4)_2\text{CO}_3$ , or of 1 N by means of  $(\text{NH}_4)_2\text{CO}_3$  and 3 N by means of NaOH the first eluate contains tungsten and molybdenum and the second beryllium. The relative error of the determination of beryllium after its separation from tungsten and molybdenum does not exceed  $\pm 8\%$ .

#### СПИСОК СОЧИНЕНИЙ — ЛИТЕРАТУРА — REFERENCES

1. Д. И. Эристави, В. Д. Эристави, Ш. А. Кекелия. Сообщения АН ГССР, 59, № 2, 1970, 325.
2. Д. И. Эристави, В. Д. Эристави, Ш. А. Кекелия. Chemische zvesti, 25, 1971, 148.
3. А. В. Новоселова, Л. Р. Бацаанова. Аналитическая химия бериллия. М., 1966, 72, 76.
4. З. Марченко. Фотометрическое определение элементов. М., 1971, 112.
5. Д. И. Эристави, В. Д. Эристави, А. Г. Данелия. Сообщения АН ГССР, 56, № 1, 1969, 85.
6. Д. И. Эристави, В. Д. Эристави, А. Г. Данелия. Сообщения АН ГССР, 64, № 1, 1971, 61.
7. Д. И. Эристави, В. Д. Эристави, А. Г. Данелия. Сообщения АН ГССР, 65, № 2, 1971.
8. Д. И. Эристави, В. Д. Эристави, А. Г. Данелия. Труды ГПИ имени В. И. Ленина, № 4, 35, 1970.



ОРГАНИЧЕСКАЯ ХИМИЯ

Е. М. БЕНАШВИЛИ

РАЗДЕЛЕНИЕ КЕРОСИНОВОЙ ФРАКЦИИ НЕФТИ ПРИ  
ПОМОЩИ ТИМОЧЕВИННЫХ АДДУКТОВ И МЕТОДА  
ТЕРМОДИФФУЗИИ

(Представлено академиком Х. И. Арешидзе 3.5.1972)

Для исследования таких сложных углеводородных смесей, какими являются керосиновые фракции нефти, обычно применяются различные комплексные методы разделения. За последнее время метод жидкостной термической диффузии все шире применяется для разделения и изучения состава нафтеновой и парафино-нафтеновой части керосино-газоневых фракций [1—5].

В данной работе мы применили метод термической диффузии [5] и структурно-группового анализа [1] для исследования продуктов разделения тиомочевиной парафино-нафтеновой части керосиновой фракции.

Исследуемая фракция 200—300°C анастасьевской нефти была предварительно деароматизирована путем хроматографической адсорбции на силикателе марки КСМ. Полученная при этом парафино-нафтеновая смесь углеводородов (т. к. 223—281°,  $n_D^{20}$  1,4534;  $d_4^{20}$  0,8275) обрабатывалась кристаллической тиомочевиной при комнатной температуре и весовом отношении 1:1 фракции и реагента. Перемешивание производилось в течение 1 часа с применением метилового спирта в качестве активатора (15—20%). После разложения образовавшегося комплекса была выделена смесь углеводородов (т. к. 217—278°,  $n_D^{20}$  1,4445,  $d_4^{20}$  0,8115) в количестве 16% на деароматизированную фракцию.

Углеводородная смесь, выделенная тиомочевиной (ТА), и фильтрат ( $\Phi$ ), содержащий углеводороды, не образующие аддукты с тиомочевиной, подвергались далее термодиффузионному разделению. Для этой цели применялась колонка высотой 110 см с зазором между холодной и горячей стенками 0,3 мм и эффективностью деления 98,3%. Разделение производилось в течение 8,5 часа при температуре холодной стенки 16° и горячей 116°. Смеси углеводородов в количестве по 53 мл разделялись на 10 приблизительно равных по объему фракций, которые отбирались из колонки в исходящей последовательности.

Физико-химические свойства узких фракций термодиффузионного разделения представлены в табл. 1, 2 и на рис. 1.

Данные этих таблиц показывают, что первые три фракции для обоих продуктов разделения представляют собой смеси парафиновых углеводородов с незначительной примесью моноциклических нафтенов и мало отличаются друг от друга как по физическим свойствам, так и по содержанию нафтеновых колец. Но, начиная с четвертых фракций, разница между этими показателями растет и кривые 1, 2 и 3, 4 на рис. 1 значительно расходятся. Для фильтрата физические показатели становятся гораздо более высокими и, вместе с тем, значительно увеличивается содержание нафтеновых колец. Значение этих же показателей

для аналогичных фракций комплексообразующих углеводородов гораздо ниже, и их изменение происходит в более узком интервале (см. табл. 1, 2). Кроме того, среднее число нафтеновых колец для ТА значительно ниже, а доля углерода, приходящаяся на парафиновые цепи, гораздо выше, чем для Ф.

Таблица 1  
 Физико-химические показатели узких фракций термодиффузационного разделения смеси углеводородов, выделенных тиомочевиной из анастасьевской нефти

Фракции	$n_D^{20}$	$d_4^{20}$	Молекулярный вес	Среднее число нафтеновых колец в молекуле по п—д—М	Содержание углерода, %	
					Нафтено-новые кольца	Парафи-новые цепи
Смесь углеводородов, выделенная тиомочевиной	1,4445	0,8115	205,3	1,1	43,6	56,4
Полученные после термодиффузационного разделения:						
1	1,4350	0,7795	208,8	0,3	11,8	88,2
2	1,4385	0,7868				
3	1,4417	0,7977				
4	1,4440	0,8026				
5	1,4480	0,8160	196,6	1,2	46,7	53,3
6	1,4500	0,8184				
7	1,4520	0,8253				
8	1,4543	0,8294				
9	1,4572	0,8390				
10	1,4645	0,8604	188,0	1,9	70,4	29,6

Таблица 2  
 Физико-химические показатели узких фракций термодиффузационного разделения фильтрата после выделения тиомочевинных аддуктов из анастасьевской нефти

Фракции	$n_D^{20}$	$d_4^{20}$	Молекулярный вес	Среднее число нафтеновых колец в молекуле по п—д—М	Содержание углерода, %	
					Нафтено-новые кольца	Парафи-новые цепи
Фильтрат	1,4540	0,8329	199	1,5	54,6	45,4
Полученные после термодиффузационного разделения:						
1	1,4328	0,7747	193	0,3	12,4	87,6
2	1,4370	0,7856				
3	1,4420	0,8012				
4	1,4470	0,8128				
5	1,4529	0,8249	220	1,3	45,8	54,2
6	1,4578	0,8370				
7	1,4600	0,8463				
8	1,4665	0,8633				
9	1,4708	0,8735				
10	1,4765	0,8903	219	2,5	76,6	23,4

Вышеизложенное дает основание считать, что в ТА преобладают парафиновые углеводороды, а нафтены, входящие в ее состав, характеризуются меньшей цикличностью и наличием, по-видимому, парафиновых разветвлений компактного строения.

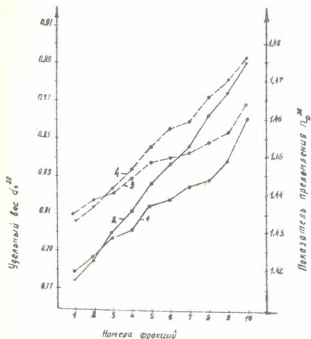


Рис. 1. Кривые изменения удельного веса (1,2) и показателя преломления (3,4) соответственно для ТА и Ф при термодиффузионном разделении

Фильтрат представляет собой смесь полициклических нафтенов с небольшим количеством боковых парафиновых цепей. Вероятно, гибридные формы этих высокомолекулярных углеводородов, содержащие несколько циклов, не могут проникать во внутривзаимные полости каналов, образованных в комплексах молекулами тиомочевины (поперечное сечение  $\sim 7 \text{\AA}$ ), и аллукты не образуются.

За содействие в проведении термодиффузационного разделения выражаю глубокую благодарность чл.-кор. АН ГССР Л. Д. Меликадзе.

Академия наук Грузинской ССР  
Институт физической и органической химии  
им. П. Г. Меликвадзе

(Поступило 4.5.1972)

МЕДАЧОЛЮ 2009

0. 80623070

კორსინის ჟრაციის დაყოფა თიოურადოვანას აღუძტების და  
თირმოფიზიკურის გთოვით

რეზიუმე

შესწავლითი დეარმატიზებული კრისინის ფრაქციის თიოურადოვანათი დაყოფის პროცესი ტერმოდიფუზიისა და სტრუქტურულ-გაფფური ანალიზის მეთოდებით. ნაჩვენებია, რომ თიოურადოვანასთან შეერთების პროცესი დიდი რაოდენობით შეიცავს პარაფინულ ნახშირწყალბადებს, ხოლო ნაფტენები ციკლების მცირე შემცველობით ხასიათდება.

E. M. BENASHVILI

## SEPARATION OF THE KEROSENE FRACTION BY THIOCARBAMIDE ADDUCTS AND BY THE THERMODIFFUSION METHOD

### Summary

The separation of dearomatized kerosene fraction with the aid of thiocarbamide adducts has been carried out. The products of separation have been investigated by the methods of thermodiffusion and structural-group analysis.

### СПИСОК СОВЕРШЕНСТВОВАНИЯ — ЛИТЕРАТУРА — REFERENCES

1. К. Ван-Нес, Х. Ван-Вестен. Состав масляных фракций нефти и их анализ. М., 1954, 162—164.
2. Е. М. Бенашвили. Сообщения АН ГССР, 65, № 1, 1972, 69.
3. К. И. Зимина, А. А. Полякова, А. А. Симеонов. Нефтепереработка и нефтехимия, № 8, 1967, 5.
4. Н. Г. Бекаури, Т. С. Шакарашвили, А. А. Симеонов, Э. Д. Гецадзе, К. И. Зимина. Сообщения АН ГССР, 51, № 3, 1968, 591.
5. С. Гала, М. Кураш, С. Ланда. Сб. «Технология топлива», 7. Прага, 1964, 54.



ОРГАНИЧЕСКАЯ ХИМИЯ

Г. Ш. ПАПАВА, И. С. ХИТАРИШВИЛИ, С. В. ВИНОГРАДОВА,  
В. В. КОРШАК (чл.-кор. АН СССР)

СИНТЕЗ СМЕШАННЫХ БЛОК-ПОЛИАРИЛАТОВ НА ОСНОВЕ  
ПОЛИТETРАМЕТИЛЕНOKСИДА

(Представлено членом-корреспондентом Академии Л. Д. Меликадзе 17.5.1972)

Настоящее исследование посвящено смешанным блок-полиаэрилатам, содержащим в качестве блочного компонента политетраметиленоксид (HO/(CH<sub>2</sub>)<sub>4</sub>O/H, молекулярный вес ~ 2000). Полимеры были получены методом низкотемпературной поликонденсации при 15°C в ацетоне. В качестве третичного амина использовался триэтиламин. Изучение свойств синтезированных полимеров показало (табл. 1 и 2), что введение политетраметиленоксида в полиаэрилатную цепь вызывает модификацию свойств полиаэрилатов. Судя по данным термомеханического исследования (рис. 1), чем больше в полимерной цепи содержание политетраметиленоксида, тем раньше начинает полимер деформироваться. Так, у полимеров с большим содержанием политетраметиленоксида (от 30 вес.% и выше) довольно отчетливо проявляется высокоеэластическое состояние (кривые 3, 4 рис. 1). Однако увеличение содержания блочно-

Таблица 1

Смешанные блок-полиаэрилаты на основе 4,4-(гексагидро-4,7-метилениндан-5-илиден) дифенола (II), политетраметиленоксида (ПТО) и хлорангидридов терефталевой (T) и изофталевой (I) кислот

№ п/п	Исходные вещества и их соотношение, моли	Содержание блочного компонента, вес. %	Выход полимера, %	$\eta_{sp}$ , л/г	Температура размягчения полимера в капилляре, °C
ПТО : II : T					
1	0 : 1 : 1	0	95	1,24	360—375
2	0,05 : 0,95 : 1	18,7	95	0,80	290—310
3	0,1 : 0,9 : 1	32,3	95	0,70	270—280
4	0,2 : 0,8 : 1	50,9	90	0,50	240—250
5	0,3 : 0,7 : 1	62,8	90	0,45	210—225
6	0,5 : 0,5 : 1	77,5	90	0,40	192—200
7	0,7 : 0,3 : 1	86,1	85	0,30	140—145
8	0,9 : 0,1 : 1	91,7	85	0,30	126—135
9	1 : 0 : 1	93,8	90	0,20	100—105
ПТО : II : I					
10	0 : 1 : 1	0	90	0,48	290—295
11	0,1 : 0,9 : 1	32,3	90	0,35	216—220
12	0,2 : 0,8 : 1	50,9	90	0,30	180—185
13	0,5 : 0,5 : 1	62,8	85	0,30	148—156
14	1 : 0 : 1	93,8	90	0,20	90—94

\* Вязкость 0,5%-ного раствора полимера в хлороформе при 20°C.

го компонента в полимерной цепи способствует снижению температуры размягчения полимера. Так, полимер 2 табл. 1, содержащий до 20 вес.% блочного компонента, имеет еще довольно высокую температуру размягчения (около 300°C). Более высокое же содержание в полимерной цепи блочного компонента вызывает уже заметное снижение температуры размягчения полимеров (полимеры 4—8 табл. 1). Аналогичная картина наблюдается для смешанных блок-полиарилатов других бисфенолов с карбовой группировкой (табл. 2).

Таблица 2  
 Смешанные блок-полиарилаты на основе бисфенолов с карбовой группировкой (I и III)\*, политетраметиленоксида и хлорангидрида терефталевой кислоты

№ п/п	Исходные вещества и их соотношение, моли	Содержание блочного компонента, вес. %	Выход полимера, %	$\eta_{\text{спр}}, \frac{\text{дл}}{\text{г}}$	Температура размягчения в капилляре, °C
ПТО : I : T					
1	0 : 1 : 1	0	95	0,58	360—375
2	0,05 : 0,95 : 1	20,1	95	0,50	300—320
3	0,1 : 0,9 : 1	34,3	90	0,40	280—290
4	0,3 : 0,7 : 1	64,8	90	0,35	220—240
5	0,5 : 0,5 : 1	78,7	90	0,35	193—205
6	0,7 : 0,3 : 1	86,6	85	0,30	140—150
7	0,9 : 0,1 : 1	91,4	88	0,25	125—135
8	1 : 0 : 1	93,8	90	0,20	100—105
ПТО : III : T					
9	0 : 1 : 1	0	95	0,88	360—380
10	0,1 : 0,9 : 1	31,1	85	0,55	270—280
11	0,2 : 0,8 : 1	49,6	85	0,50	210—250
12	0,5 : 0,5 : 1	76,7	90	0,35	180—188
13	0,7 : 0,3 : 1	85,6	85	0,30	140—145
14	0,9 : 0,1 : 1	91,6	83	0,30	132—135
15	1 : 0 : 1	93,8	90	0,20	100—105

\* Бисфенол I с карбовой группировкой  $-4,4'-(2\text{-норборизиден})-$ диенол, бисфенол III— $4,4'-(\text{декагидро-}1,4-\text{пентиленинф-}2\text{-илиден})$  диенол.

\*\* Вязкость 0,5%-ного раствора полимера в хлороформе при 20°C.

На свойства смешанных блок-полиарилатов заметное влияние оказывает и строение дикарбоновой кислоты. Температура размягчения смешанных блок-полиарилатов заметно снижается при замене терефталевой кислоты изофталевой (ср. полимеры 3, 4 и 6 табл. 1, размягчающиеся при 280, 250 и 200°C соответственно, с полимерами 11, 12 и 13 из той же таблицы, размягчающимися при 220, 185 и 166°C соответственно).

Сопоставление данных табл. 1 и 2 показывает, что структура бисфенола с карбовой группировкой не оказывает столь заметного влияния на температуру размягчения смешанных блок-сополимеров.

Наличие в полиарилатной цепи остатков политетраметиленоксида снижает термостойкость полимеров. Однако полимерам, содержащим до 35 вес.% этого компонента, все еще свойственна довольно высокая термостойкость. При увеличении содержания блочного компонента сверх этого количества термостойкость полимеров начинает уже заметно падать (термогравиметрические кривые некоторых полимеров даны на рис. 2).

Приведенные в табл. 1 и 2 смешанные блок-полиарилаты представляют собой белые порошкообразные вещества, хорошо растворимые в хлороформе, дихлорэтане, тетрахлорэтане, трикрезоле, диметилформамиде.

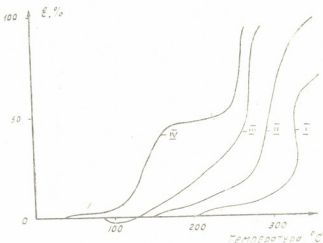


Рис. 1. Термомеханические кривые полимеров. Обозначения кривых соответствуют следующей нумерации полимеров из табл. 1: I—1, II—2, III—3 и IV—4

де и нерастворимые в серном эфире, ацетоне, спиртах. Из растворов многие из них образуют прозрачные, прочные пленки. Так, смешанные блок-полиарилаты 2 и 3 табл. 1 имеют прочность на разрыв  $\sim 860$  кГ/см<sup>2</sup> при 25°C,  $\sim 770$  кГ/см<sup>2</sup> при 100°C,  $\sim 380$  кГ/см<sup>2</sup> при 200°C и относительное удлинение при разрыве  $\sim 26\%$  при 25°C,  $\sim 35\%$  при 100°C и  $\sim 42\%$  при 200°C.

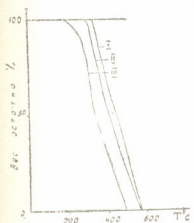


Рис. 2. Термогравиметрические кривые смешанных блок-полиарилатов. Обозначения кривых соответствуют следующей нумерации полимеров из табл. 1: I—1, II—3, III—6. Скорость нарастания температуры 4,5°/мин в воздушной среде

Диэлектрические свойства этих же полимеров имеют следующие значения: диэлектрическая проницаемость (при f=50 Гц) 1,6—1,8; tangent градус угла диэлектрических потерь  $4 \cdot 10^{-3}$ ; удельное объемное сопротивление  $>1 \cdot 10^{17}$  при 25°C,  $\sim 6 \cdot 10^{14}$  при 150°C и  $\sim 3 \cdot 10^{13}$  при 220°C.

Академия наук Грузинской ССР

Институт физической и  
органической химии

им. П. Г. Меликишили

(Поступило 18.5.1972)

შ. პაპავა, ი. ხითარიშვილი, ვ. ვინოგრადოვა (სსრ შეც. ფალევის  
 წევრ-კორესპონდენტი)

## შემოზღვის ბლოკ-პოლიარილატების სინთეზი პოლიტრამეთი- ლენოპლიდის გაზაფი

რეზიუმე

დაბალტემპერატურული პოლიონდენსაციის, პოლიტრამეთილენოქსი-  
 დის, კარბული ჯგუფების შემცველი ბისფენოლებისა და არომატული დი-  
 კარბონმეთავების ქლორინიფრიდების ბაზაზე სინთეზირებულია შერეული  
 ბლოკ-პოლიარილატები და შესწავლალია მათი თვისებები.

**ORGANIC CHEMISTRY**

G. Sh. PAPAVA, I. S. KHITARISHVILI, S. V. VINOGRADOVA,  
 V. V. KORSHAK

## SYNTHESIS OF MIXED BLOCK POLYARYLATES ON THE BASIS OF POLYTETRAMETHYLENE OXIDE

*Summary*

Mixed block-polyarylates have been synthesized on the basis of polytetramethylene oxide, bisphenols containing card groupings and acid chlorides of aromatic dicarboxylic acids under low temperature polycondensation. The properties of the obtained compounds have been studied.

## ОРГАНИЧЕСКАЯ ХИМИЯ

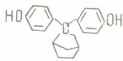
П. Д. ЦИСКАРИШВИЛИ, Г. Ш. ПАПАВА, Л. А. БЕРИДЗЕ,  
Н. А. МАЙСУРАДЗЕ, С. В. ВИНОГРАДОВА, В. В. КОРШАК (чл.-кор. АН СССР)

## ЗАВИСИМОСТЬ СВОЙСТВ ПОЛИАРИЛАТОВ, ПОЛУЧЕННЫХ НА ОСНОВЕ ПОЛИЦИКЛИЧЕСКИХ БИСФЕНОЛОВ, ОТ ИХ ФИЗИЧЕСКОЙ СТРУКТУРЫ

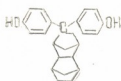
(Представлено академиком Х. Н. Арешидзе 15.6.1972)

В последнее время особое значение приобретает целенаправленный синтез полимеров с определенным комплексом свойств. Известно [1], что свойства полиарилатов находятся в зависимости от их физической структуры и, следовательно, могут варьировать как при изменении объема бокового заместителя, так и при изменении степени упорядоченности структуры без изменения химического строения элементарного звена.

Целью настоящего исследования являлось изучение зависимости свойств от степени упорядоченности структуры в ряду полиарилатов, полученных на основе терефталевой кислоты и следующих полициклических бисфенолов:



Бисфенол А



Бисд екод II



### Бисфенол III

Для выявления влияния строения полициклической группировки бисфенола на склонность к кристаллизации полиарилатов нами был осуществлен синтез рассматриваемых полимеров в одинаковых условиях — высокотемпературной поликонденсацией в дитолуиметане при 220°C. Сравнение показало, что полиарилат 4,4'-(2-норборнилиден)дифенола (бисфенола I) и терефталевой кислоты обладает частично упорядоченной структурой, тогда как полиарилаты 4,4'-(гексагидро-4,7-метиленниндан-5-илиден)дифенола и 4,4'-(декагидро-1,4-эксо-5,8-эндодиметиленнафт-2-илиден)дифенола (бисфенолов II и III) и терефталевой кислоты в этих же условиях получаются аморфными. Таким образом

зом, увеличение размера полициклического заместителя приводит к снижению степени упорядоченности.

*Структура полиарилата оценивалась как по данным рентгеноструктурного анализа, так и по его температуре размягчения и растворимости в органических растворителях.*

Дальнейшие исследования проводились на полиарилате бисфенола I и терефталевой кислоты. Была изучена зависимость степени упорядоченности структуры этого полиарилата от метода и условий синтеза, а также от обработки уже готового полимера. Полученные результаты приведены в таблице.

Полиарилат бисфенола I и терефталевой кислоты, полученный различными методами поликонденсации

Вид поликонденсации	Продолжительность реакции, часы	Реакционная среда	Конц. исходных мономеров, М/л	Числ. 0,5% раствора полимера в ТХЭ	Температура размягчения, °С		Органические растворители, растворяющие полимер	Структура
					в капилляре	потерпомех кристаллизации		
Высокотемпературная при 220°C	12	Совол	1	0,69	360—570	—	ТХ, ТХЭ	Кристаллическая
	12	Дитолилметан	0,6	0,92	370—385	330	"	"
	12	α-Хлорнафталин	1	0,50	360—380	—	"	"
	1	Совол	0,6	0,72	310—340	310	ТХ, ТХЭ, ХЛ	Аморфная
Низкотемпературная	1,5	Ацетон	0,1	0,72	320—340	310	ТХ, ТХЭ, ХЛ, ДХЭ, ЦГ, ДМФА, ДОК	"

Примечание: ХЛ—хлороформ, ТХ—трикрезол, ДХЭ—дихлорэтан, ТХЭ—тетрахлорэтан, ЦГ—циклогексанон, ДОК—диоксан, ДМФА—диметилформамид.

С наиболее упорядоченной структурой данный полиарилат получается при проведении поликонденсации в условиях 220°C в соволе, дитолилметане,  $\alpha$ -хлорнафталине. В аморфной же форме он получается при быстром нагреве (в течение 0,5 часа) 0,6 М раствора бисфенола и хлорангидрида терефталевой кислоты в соволе до 320° (продолжительность реакции 1 час) и последующем быстрым охлаждением (в течение 15—20 минут) реакционной массы до комнатной температуры. При низкотемпературной поликонденсации получается аморфный полимер.

Кристаллический полиарилат после переосаждения из раствора в тетрахлорэтане в серный эфир приобретает аморфную структуру. При добавлении к аморфному полимеру растворителей со слабой растворяющей способностью (дихлорэтан, метиленхлорид, диоксан) большая часть полимера, не успев перейти в раствор, претерпевает упорядочение. Упорядочение имеет место и при термической обработке аморфного полиарилата в различных высококипящих органических растворителях (например при 220°C).

Структуру полиарилата можно изменить при изготовлении пленок поливом из раствора. Из раствора аморфного полиарилата в хлороформе получается пленка с упорядоченной структурой. Из раствора же кристаллического полимера в тетрахлорэтане получается аморфная пленка.

Кристаллический поликарбонат бисфенола I и терефталевой кислоты имеет температуру размягчения в капилляре 360—385° (по термомеханической кривой 330°), растворяется в тетрахлорэтане, трикрезоле. Наиболее аморфный образец имеет температуру размягчения в капилляре 310—340° (по термомеханической кривой 310°C) и растворим в широком кругу растворителей: в тетрахлорэтане, хлороформе, дихлорэтане, диоксане, циклогексаноне, диметилформамиде.

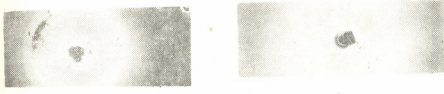


Рис. 1. Дебаеграммы поликарбоната 4,4'-бис(2-норборнилиден)дифенола и терефталевой кислоты: а—кристаллического образца, б—аморфного образца

Из изложенного следует, что поликарбонат бисфенола I и терефталевой кислоты обладает склонностью к кристаллизации. Это интересно тем, что полициклическая группировка бисфенола некопланарна и несимметрична, что, однако, не мешает образованию полимера на его основе с упорядоченной структурой.

Вышеуказанные способы регулирования физической структуры значительно облегчают проблему переработки теплостойких, упорядоченных полимеров. Получение полимеров на основе полициклических бисфенолов с упорядоченной структурой позволяет в еще большей степени реализовать их ценные свойства, в частности повысить их теплостойкость.

Академия наук Грузинской ССР  
 Институт физической и  
 органической химии  
 им. П. Г. Меликисишили

(Поступило 16.6.1972)

თეგენული მიმა

3. იმპარატორი, გ. აკადემი, ლ. ზორბეგი, 6. მარიამელია, ს. ვილოგრაფია,  
 3. კორხავა (სსრ მეცნიერებათა აკადემიის წევრ-კორესპონდენტი)

პოლიციკლური გისცენოლების საცდებლები მიღებული პოლი-  
 არილათების თვიცების დამოკიდებულება ფიზიკური სტრუქტუ-  
 რისაგან

რეზიუმე

შესწავლით პოლიციკლური გისცენოლების საცდებლები მიღებული პოლიმერების ფიზიკური სტრუქტურა, რომ 4,4'—(2-ნორბორ-  
 ნილიდენ) დიფენოლის და ტერეფტარის მეჯვას პოლიმერი მიღება რო-  
 გორც კრისტალური, ისე ძირფული სტრუქტურით პოლიკონდენსაციის პირო-  
 სხევადასხვა მეოდის ან მაღალტემპერატურული პოლიკონდენსაციის პირო-

ბების შეცვლით. პოლიმერის ფიზიკური სტრუქტურის შეცვლა შეიძლება მხარე პოლიმერის ორგანული გამხსენელების სათანადო დამუშავებით. შესწავლითა ზემთაღნიშნული პოლიმერის თვისებების დამოკიდებულება მისი ფიზიკური სტრუქტურისაგან.

### ORGANIC CHEMISTRY

P. D. TSISKARISHVILI, G. Sh. PAPAVA, L. A. BERIDZE, N. A. MAISURADZE,  
S. V. VINOGRADOVA, V. V. KORSHAK

### DEPENDENCE OF THE PROPERTIES OF POLYARYLATES OBTAINED ON THE BASIS OF POLYCYCLIC BISPHENOLS UPON THEIR PHYSICAL STRUCTURE

#### Summary

Polymers of amorphic and crystalline structure have been obtained by different methods of polycondensation of 4,4'-(2-norboronylidene)-diphenol and chloride terephthalic acid and by processing ready polymers.

#### ლიტერატურა — REFERENCES

1. С. В. Виноградова, С. Н. Салазкин, Л. А. Беридзе и др. Изв. АН ССРР, сер. хим., 4, 1969, 931.



## ОРГАНИЧЕСКАЯ ХИМИЯ

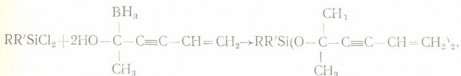
К. И. ЧЕРКЕЗИШВИЛИ, М. И. ГВЕРДЦИТЕЛИ

### СИНТЕЗ НЕКОТОРЫХ ДИАЛКЕНИНОКСИСИЛАНОВ И ИХ ГИДРИРОВАНИЕ

(Представлено членом-корреспондентом Академии И. М. Гвердцители 22.6.1972)

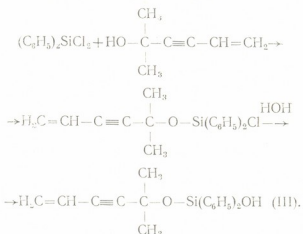
Ранее [1] нами был получен один из представителей диалкениноксисилана — бис(диметилвинилэтинилокси)диэтилсилан. В указанном соединении связь Si—O—R оказалась устойчивой по отношению к подкисленной воде и также не претерпевала алкоголиза при гидрировании в спиртовом растворе.

В настоящем сообщении рассматривается синтез диалкениноксисиланов на базе диметилвинилэтинилкарбинола и следующих дихлорсиланов: диметил-, метилфенил- и дифенилдихлорсилана. Первые два дихлорсилана реагируют с двумя молекулами диметилвинилэтинилкарбинола с образованием диалкениноксисилана:



где R=R'=-CH<sub>3</sub> (I), R=-CH<sub>3</sub>, R'=-C<sub>6</sub>H<sub>5</sub> (II),

а в случае дифенилдихлорсилана получается дифенил(диметилвинилэтинилокси)силанол, который образуется по схеме



Полученные соединения термически очень неустойчивы, требуют быстрой перегонки в присутствии антиоксиданта (дитизон) и в среде азота.

Для всех синтезированных соединений (I, II, III) в ИК-спектре имеются полосы поглощения в области 1050—1060 см<sup>-1</sup>, характерные для связи Si—O, 1160 см<sup>-1</sup> для связей Si—O—C и 1600 см<sup>-1</sup> для сопряженной системы, интенсивность которой увеличивается от I до III с появлением фенильных радикалов. Полосы неплоских деформационных колебаний связи C—H для группы =CH<sub>2</sub> имеются в области 910 см<sup>-1</sup>.

В спектре соединения III появляется интенсивная полоса 3340—3600 см<sup>-1</sup>, характерная для группы OH.

Проведено полное гидрирование продуктов I, II и III в этилацетате катализатором Pd/CaCO<sub>3</sub>, получены соответствующие предельные алкил(арил)диаллоксисиланы Iа, IIа и диарилаллоксисиланол IIIа.

В ИК-спектрах гидрированных продуктов исчезают частоты 1600 и 910 см<sup>-1</sup> характерные для непредельных связей.

Получение бис(диметилвинилэтинилокси)диметилсилана. В трехгорлую колбу с механической мешалкой, обратным холодильником и капельной воронкой помещалось 44 г карбинала, 29 г пиридина и при перемешивании добавлялось 24 г диметилдиалхлорсилана. Реакционная смесь нагревалась на водяной бане при перемешивании в течение 1,5 часа, после чего разлагалась водой; водный слой отделялся и сушился на сульфате натрия. Перегонкой в вакууме под азотом в присутствии дитизона получена фракция 86—87°/2 мм, 41,6 г (выход 80% от теорет.). Найдено: n<sub>D</sub><sup>20</sup> 1,4703; d<sub>4</sub><sup>20</sup> 0,9038, MR<sub>D</sub> 85,08. Вычислено: MR<sub>D</sub> 83,02. Найдено, %: C 69,51; 69,61; H 9,09; 10,05; Si 9,80; 9,71. C<sub>16</sub>H<sub>24</sub>O<sub>2</sub>Si. Вычислено, %: C 69,56; H 8,70; Si 10,14.

Получение бис(диметилвинилэтинилокси)метилфенилсилана. Реакция проводилась аналогично предыдущей. Бралось 14 г карбинала, 9,5 г пиридина и 12 г метилфенилдиалхлорсилана. Получена фракция 130—132°/1 мм, 10 г (выход 48% от теорет.). Найдено: n<sub>D</sub><sup>20</sup> 1,5137; d<sub>4</sub><sup>20</sup> 0,9724; MR<sub>D</sub> 104,44. Вычислено: MR<sub>D</sub> 103,05. Найдено, %: C 74,07; 74,23; H 8,00; 7,93; Si 8,46; 8,64. C<sub>21</sub>H<sub>26</sub>O<sub>2</sub>Si. Вычислено, %: C 74,55; H 7,69; Si 8,28.

Получение (диметилвинилэтинилокси)дифенилсиланола. Реакцию проводили аналогично предыдущей. На 11 г карбинала бралось 7,9 г пиридина и 12,6 г дифенилдиалхлорсилана. Перегонкой в вакууме получена фракция 176—177°/2 мм, 7,3 г (выход 45,8% от теорет.). Найдено: n<sub>D</sub><sup>20</sup> 1,5582; d<sub>4</sub><sup>20</sup> 1,0582; MR<sub>D</sub> 93,84; OH % 5,58; 5,66. Вычислено: MR<sub>D</sub> 92,41; OH % 5,53. Найдено, %: C 74,49; 74,24; H 6,90; 7,04; Si 9,17; 9,20. C<sub>19</sub>H<sub>26</sub>O<sub>2</sub>Si. Вычислено, %: C 74,00; H 6,49; Si 9,09.

Полное гидрирование бис(диметилвинилэтинилокси)диметилсилана. В колбу для гидрирования помещалось 3,5 г вещества, растворенного в 50 мл этилацетата, и 0,8 г Pd/CaCO<sub>3</sub>. После присоединения 1800 мл водорода гидрирование прекращалось. Смесь отфильтровывались, отгонялся этилацетат. Перегонкой в вакууме получена фракция 92—93°/2 мм, 1,8 г (выход 51% от теорет.). Найдено: n<sub>D</sub><sup>20</sup> 1,4305; d<sub>4</sub><sup>20</sup> 0,8514; MR<sub>D</sub> 87,52. Вычислено: MR<sub>D</sub> 87,46. Найдено, %:

C 66,98; 67,20; H 12,74; 12,91; Si 9,67; 9,61.  $C_{16}H_{36}O_2Si$ . Вычислено, %: C 66,67; H 12,50; Si 9,72.

Полное гидрирование бис(диметилвинилэтинилокси)метилфенилсилана. Гидрирование проводилось аналогично предыдущему. Бралось 3,5 г вещества, растворенного в 50 мл этилацетата, и 0,8 г Pd/CaCO<sub>3</sub>. Присоединялось 1600 мл водорода. Выделена фракция 173—174°/8 мм, 2 г (выход 55,5% от теорет.). Найдено: n<sub>D</sub><sup>20</sup> 1,4811; d<sub>20</sub> 0,9313; MR<sub>D</sub> 106,86. Вычислено: MR<sub>D</sub> 107,54. Найдено, %: C 71,56; 71,84; H 11,08; 10,71; Si 8,73; 8,46;  $C_{21}H_{38}O_2Si$ . Вычислено, %: C 72,00; H 10,85; Si 8,00.

Полное гидрирование (диметилвинилэтинилокси)дифенилсиланола. Гидрирование проводилось аналогично предыдущим. Бралось 0,6 г вещества, растворенного в 50 мл этилацетата и 0,1 г Pd/CaCO<sub>3</sub>. Присоединялось 140 мл водорода. Выделена фракция 170—171°/2 мм, 0,4 г (выход 65,5% от теорет.) Найдено: n<sub>D</sub><sup>20</sup> 1,5273; d<sub>20</sub> 1,0261; MR<sub>D</sub> 94,10; OH % 4,94; 5,2. Вычислено MR<sub>D</sub> 94,65; OH % 5,43. Найдено, %: C 72,40; 72,32; H 8,48; 8,33; Si 8,46; 8,40.  $C_{19}H_{28}O_2Si$ . Вычислено, %: C 72,61; H 8,28; Si 8,91.

Тбилисский государственный университет

(Поступило 22.6.1972)

ორგანული ქიმია

ა. ჩერკეზიშვილი, მ. გვერდიშვილი

ზოგიერთი დიალკენინოქსილაცის სინთეზი და მათი ჰიდრირება  
რეზიუმე

შესწავლით დიმეთილვინილეთინილკარბინოლის ურთიერთქმედება შემდეგ დიქლორსილანებთან — დიმეთილ-, მეთილფენილ- და დიფენილქლორსილებთან. პირველი ორი სილანის შემთხვევაში გამოყოფილია შესაბამისი ლინეარული ბის (დიმეთილვინილეთინილოქსი) დიმეთილსილანი, ბის (დიმეთილვინილეთინილოქსი) მეთილფენილსილანი, ხოლო ლინეარული დიქლორსილანის ფროს დიფენილ (დიმეთილვინილეთინილოქსი) სილანი. სინთეზირებული ნაერთების სრული ჰიდრირებით გამოყოფილია შესაბამისი ნაფერი ნაერთები.

ORGANIC CHEMISTRY

K. I. CHERKEZISHVILI, M. I. GVERDTSITELI

## SYNTHESIS AND HYDROGENATION OF SOME DIALKENINOXYSILANES

Summary

The reaction of dimethylvinylethylnylcarbinol with the following dichlorosilanes: dimethyl-, methylphenyl- and diphenyldichlorosilanes has been studied. In the case of the first two silanes corresponding dialkeninoxysilanes

have been obtained: *bis* (dimethylvinylethyloxy) dimethylsilane, *bis* (dimethylvinylethyloxy) methylphenylsilane. In the case of diphenylsilane, diphenyl (dimethylvinylethyloxy) silanol has been obtained.

By full hydrogenation of the synthesized compounds corresponding saturated compounds have been isolated.

ლიტერატურა — REFERENCES

1. И. М. Гвердцители, К. И. Черкезишили, III. А. Самсония. Труды Тбилисского гос. ун-та, т. 104, сер. хим. наук, 1964, 307.

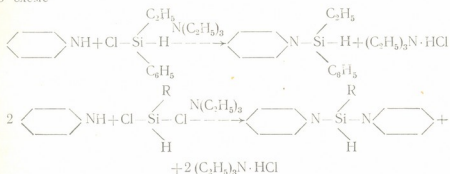


А. И. НОГАИДЕЛИ, Д. Ш. АХОБАДЗЕ, Г. А. НОГАИДЕЛИ

ВЗАИМОДЕЙСТВИЕ ПИПЕРИДИНА С АЛКИЛ(АРИЛ)-  
 ГИДРИДХЛОРСИЛАНАМИ, МОНО- И БИС-ДИАЛКИЛ(АРИЛ)-  
 АМИНОСИЛАНАМИ

(Представлено академиком Х. И. Арешидзе 23.6.1972)

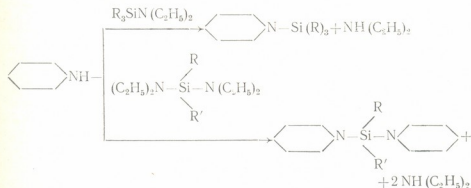
Описано действие первичных аминов с органическими аминосиланами [II]. Нам представлялось интересным исследовать реакции циклических вторичных аминов с хлорсиланами и гидридхлоросиланами. Оказалось, что реакция взаимодействия пиперидина с этилфеныхлор-, метил- и этилхлорсиланами в среде акцептора триэтиламина протекает по схеме



где (II) R=CH<sub>3</sub>; (III) R=C<sub>2</sub>H<sub>5</sub>.

Известно, что кремнийорганические производные пиперидина не получаются методом катализитической дегидроконденсации [2].

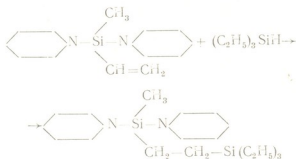
Нам удалось методом реакции переаминирования из пиперидина и третичных аминосиланов синтезировать соответствующие органические производные аминосиланов:





где (IV)  $R=CH_3$ ; (V)  $R=C_2H_5$ ; (VI)  $R=CH_3$ ,  $R'=CH=CH_2$ ; (VII)  $R=CH_3$ ,  $R'=C_6H_5$ .

Бис-пиперидинметилвинилсилан в присутствии катализатора Спейера в ТГФ присоединяет молекулу триэтилсилана с образованием соответствующего производного:



Изучение этих реакций показало, что взаимодействие пиперидина с органическими третичными силиламинами протекает легко и энергично. Однако следует отметить, что характер органического радикала у атома кремния влияет на выход и скорость реакции.

Все синтезированные соединения представляют собой перегоняющиеся в вакууме бесцветные вязкие жидкости, растворимые в органических растворителях, легко гидролизующиеся влагой воздуха.

Строение синтезированных нами веществ было изучено ИК-спектрами. В спектре всех соединений видны характерные полосы поглощения в области  $835-940 \text{ см}^{-1}$ , соответствующие валентным колебаниям Si—N-связи. Для соединений I, II, III наблюдается интенсивная полоса в области  $2100-2200 \text{ см}^{-1}$ , обусловленная валентными колебаниями Si—H-группы, для соединений I, III, V, VIII — полосы поглощения в области  $1249, 749 \text{ см}^{-1}$ , соответствующие Si—C<sub>2</sub>H<sub>5</sub>-связи. Соединения II, IV, VI, VII, VIII имеют ярко выраженную полосу поглощения в области  $1262-1282 \text{ см}^{-1}$ , соответствующую деформационным колебаниям Si—CH<sub>3</sub>-связей, соединения I, VII — полосы поглощения  $1130-1100, 1460 \text{ см}^{-1}$ , соответствующие Si—C<sub>6</sub>H<sub>5</sub>-связи. Кроме того, в спектре VI обнаруживаются полосы поглощения в области  $1600 \text{ см}^{-1}$ , соответствующие колебаниям Si—CH=CH<sub>2</sub>-группы, в соединении VIII эти полосы исчезают. Все исходные соединения подвергались предварительной очистке.

**Синтез этилфенилсилилпиперидина (I).** В четырехгорную колбу, снабженную обратным холодильником, механической мешалкой, газоотводной трубкой для продувки азота и капельной воронкой, помещали 25 г пиперидина, 30 г триэтиламина и 300 мл сухого эфира. При температуре 40—45°C в течение 1 часа приливали эфирный раствор (1:1) 50 г этилфенилхлорсилана. Постепенно выпадал белый осадок. После введения всего количества хлорсилана перемешивание продолжали еще 1 час. Разгонкой в вакууме выделена фракция 160—161° (13 мм, 94,6 г). Выход 45%;  $d_4^{20}$  0,9799;  $n_D^{20}$  1,5271. Найдено, %:

C<sub>7</sub>0,94; H 10,02; Si 12,50; N 6,03; MR<sub>D</sub> 68,70; M 200. C<sub>13</sub>H<sub>21</sub>SiN. Вычислено, %: C 71,23; H 9,59; Si 12,79; N 6,39; MR<sub>D</sub> 69,65; M 219.

**Синтез метилсилил-бис-пиперидина (II).** В аналогичных условиях из 25 г пиперидина, 30,1 г триэтиламина и 17 г метилдихлорсилана перегонкой в вакууме выделена фракция 118—119° (3 мм, 10,4 г). Выход 49%; d<sub>4</sub><sup>20</sup> 0,9409, n<sub>D</sub><sup>20</sup> 1,4825. Найдено, %: C 62,85; H 10,43; Si 13,18; N 12,85; MR<sub>D</sub> 64,17; M 148. C<sub>11</sub>H<sub>17</sub>SiN<sub>2</sub>. Вычислено, %: C 62,26; H 11,32; Si 13,21; N 13,21; MR<sub>D</sub> 64,33; M 212.

**Синтез этилсилил-бис-пиперидина (III).** Из 25 г пиперидина, 30,1 г триэтиламина и 19,0 г этилхлорсилана перегоняна фракция 110—111° (13 мм, 11,16 г). Выход 45%; d<sub>4</sub><sup>20</sup> 0,9212; n<sub>D</sub><sup>20</sup> 1,4787. Найдено, %: C 63,14; H 11,89; Si 11,76; N 11,21; MR<sub>D</sub> 69,53; M 215. C<sub>12</sub>H<sub>26</sub>SiN<sub>2</sub>. Вычислено, %: C 63,72; H 11,53; Si 12,39; N 12,39; MR<sub>D</sub> 70,49; M 226.

**Синтез триметилсилилпиперидина (IV).** В колбу, снабженную термометром, прямым холодильником и приемником с хлоркальциевой трубкой, помещали 5 г пиперидина и 8,5 г диэтиламино-триметилсилана. Реакционную смесь нагревали при температуре 100°C в течение 1 часа. Конверсия диэтиламина достигала 4,1 г (98%). Много-кратной перегонкой выделена фракция 59—60° (2 мм, 9,06 г). Выход 97,4%; d<sub>4</sub><sup>20</sup> 0,8536; n<sub>D</sub><sup>20</sup> 1,4430. Найдено, %: C 62,04; H 11,90; Si 17,01; N 9,02; MR<sub>D</sub> 48,76; M 130. C<sub>8</sub>H<sub>19</sub>SiN. Вычислено, %: C 61,15; H 12,10; Si 17,83; N 8,91; MR<sub>D</sub> 49,69; M 157.

**Синтез триэтилсилилпиперидина (V).** Методика синтеза аналогична предыдущей. Смесь 5 г пиперидина и 11 г диэтиламино-триэтилсилана нагревали в течение 1 часа. Конверсия диэтиламина достигала 4 г (97%). В вакууме выделена фракция 75—76° (2 мм, 11,28 г). Выход 96,4%; d<sub>4</sub><sup>20</sup> 0,8348; n<sub>D</sub><sup>20</sup> 1,4596. Найдено, %: C 65,55; H 11,87; Si 14,51; N 8,0; MR<sub>D</sub> 64,00; M 210. C<sub>11</sub>H<sub>25</sub>SiN. Вычислено, %: C 66,33; H 12,56; Si 14,07; N 7,03; MR<sub>D</sub> 63,01; M 199.

**Синтез метилвинилилсилил-бис-пиперидина (VI).** Из 5 г пиперидина и 8,7 г бис-диэтиламинометилвинилсилана выделено 4,2 г (98%) диэтиламина. При перегонке в вакууме выделена фракция 72—73° (2 мм, 2,12 г). Выход 55,8%; d<sub>4</sub><sup>20</sup> 0,8618; n<sub>D</sub><sup>20</sup> 1,4496. Найдено, %: C 65,10; H 11,12; Si 12,01; N 10,12; MR<sub>D</sub> 73,79; M 220. C<sub>13</sub>H<sub>26</sub>SiN<sub>2</sub>. Вычислено, %: C 65,55; H 10,92; Si 11,76; N 11,76; MR<sub>D</sub> 72,86; M 238.

**Синтез метилфенилсилил-бис-пиперидина (VII).** Из 5 г пиперидина и 7,7 г бис-(диэтиламино)-метилфенилсилана выделено 3,8 г (90%) диэтиламина. При перегонке в вакууме выделена фракция 110—112° (12 мм, 4,42 г). Выход 95,7%; d<sub>4</sub><sup>20</sup> 0,9920; n<sub>D</sub><sup>20</sup> 1,5240. Найдено, %: C 70,19; H 10,12; Si 10,48; N 8,26; MR<sub>D</sub> 88,83; M 280. C<sub>17</sub>H<sub>29</sub>SiN<sub>2</sub>. Вычислено, %: C 70,83; H 9,13; Si 9,72; N 9,72; MR<sub>D</sub> 88,52; M 288.

**Синтез метилэтилсилил-бис-пиперидинила (VIII).** В трехгорлую колбу, снабженную механической мешалкой, обратным холодильником и трубкой для продувки азота, помещали 3 г метилви-

милсилан-бис-пиперидина и 1,4 г триэтилсилана. Добавляли  $\text{H}_2\text{PtCl}_6$  в ТГФ (0,05—01%) и нагревали в течение 6 часов при температуре 100°C. При перегонке в вакууме выделена фракция 142° (2 мм, 3,86 г.) Выход 80,5%;  $d_4^{20}$  0,9879;  $n_D^{20}$  1,4600. Найдено, %: С 64,86; Н 10,99; Si 15,30; N 8,75; MR<sub>D</sub> 98,15; M 320. C<sub>19</sub>H<sub>42</sub>Si<sub>2</sub>N<sub>2</sub>. Вычислено, %: С 64,11; Н 11,86; Si 15,88; N 7,91; MR<sub>D</sub> 99,07; M 354.

Тбилисский государственный университет

(Поступило 23.6.1972)

თბილისის  
შოთა რუსთაველის  
სახელმწიფო  
უნივერსიტეტი

ა. ნოგაიდელი, დ. ახობაძე, გ. ნოგაიდელი

პიპერიдинის ურთიერთობის ალკილ(არილ)ჰიდრიდლორსილა-  
ნის და გირე-ალკილ(არილ)ამინოსილანის მიზანის

რეზიუმე

ალკილ(არილ) დიქლორსილანების პიპერიდინზე მოქმედებით პირველა-  
და სინთეზირებული მესამეული მონო- და დიამინოსილანები. დადგენი-  
ლია, რომ გადაამნირების რეაქციები შეიძლება წარმატებით იქნეს გამოყე-  
ნებული პიპერიდინის რიგის ალკილ(არილ)სილანების მისაღებად.

ORGANIC CHEMISTRY

A. I. NOGAIDELI, D. Sh. AKHOBADZE, G. A. NOGAIDELI

THE INTERACTION OF PIPERIDINE WITH ALKYL(ARYL)-HYDRIDE  
CHLOROSILANES AND MONO- AND BIS-DIALKYL(ARYL)  
AMINOCHLOROSILANES

Summary

Under the action of alkyl(aryl)dichlorosilanes on piperidine tertiary mono- and diaminosilanes have been synthesized for the first time. It has been found that transamination reactions can be successfully applied in the preparation of alkyl(aryl)silanes of the piperidine series.

ლიტერატურა — ЛИТЕРАТУРА — REFERENCES

1. К. А. Андрианов, Г. А. Кураков и др. ЖОХ, 4, 1963, 4294.
2. К. А. Андрианов, Х. С. Сырщова, В. М. Копылев, М. Н. Филимонова. ЖОХ, т. XII, 1972, 220.



ОРГАНИЧЕСКАЯ ХИМИЯ

Л. И. КАХНИШВИЛИ, Т. Ш. ГВАЛИЯ, Д. Ш. ИОРДИШВИЛИ

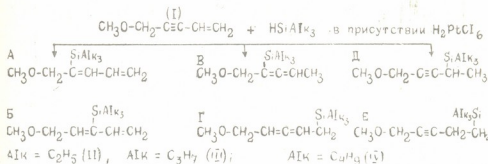
ВЗАИМОДЕЙСТВИЕ МЕТИЛОВОГО ЭФИРА  
ВИНИЛЭТИНИЛКАРБИНОЛА С ТРИАЛКИЛСИЛАНАМИ

(Представлено академиком Х. И. Арешидзе 28.6.1972)

Гидросилилирование эфиров винилэтинилкарбина до настоящего времени не исследовано. Мы изучили взаимодействие триэтилсилана, трипропилсилана, трибутилсилана с метиловым эфиром винилэтинилкарбинала в присутствии каталитических количеств  $H_2PtCl_6$  при 25, 50, 100, 150°. При 25, 50, 150° реакции полимеризации превалируют над реакциями присоединения, а при 100° продукты гидросилилирования получаются с максимальными выходами.

5-Метоксипентен-1-ин-3 содержит богатую реакционными центрами винилацетеновую сопряженную систему. Реакция присоединения может протекать как по тройной или по двойной связи, так и в положении 1,4 с образованием изомерных диенов, алленов и ацетиленов.

Для установления строения полученных продуктов, наряду с элементарным анализом и изучением физико-химических констант, проведено ИК, ЯМР и УФ-спектральное исследование.



Для изомеров Д и Е из-за асимметрии молекулы поглощение, соответствующее валентным колебаниям тройной связи, должно быть интенсивным. В ИК-спектрах выделенных продуктов поглощение при  $2200 \text{ см}^{-1}$  не наблюдается, что говорит об отсутствии в продуктах гидросилилирования кремнезамещенных ацетиленовых эфиров Д и Е.

Интенсивное поглощение должно соответствовать и алленовым двойным связям. В исследованных ИК-спектрах наблюдается слабое поглощение с частотой  $1880 \text{ см}^{-1}$ , что указывает на присутствие не более 39. „მთაბეჭ“, ტ. 68, № 3, 1972

5–10% алленового изомера. В ЯМР-спектрах продуктов в области 1,55 м. д. наблюдается дублет, который может принадлежать только соседним с алленовой системой метильным протоном В изомера. Сравнением интегральных интенсивностей данных дублетов с интегральными интенсивностями метоксильной группы установлено процентное содержание алленового изомера в продуктах гидросилирирования.

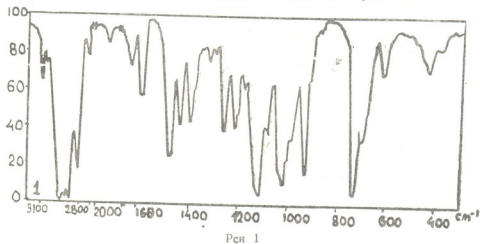


Рис. 1

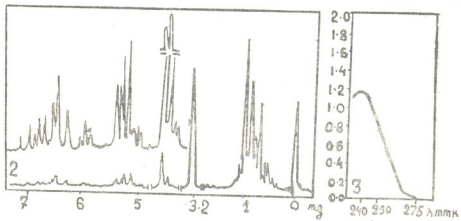


Рис. 2

ИК, ЯМР и УФ-спектральное исследование показало, что в основном полученные продукты представляют собой конъюгированные диены (см. рис. 1, 2). Наличие в УФ-спектрах продуктов максимума в области 237 ммк указывает на сопряжение. В ИК-спектрах в области поглощения валентных колебаний двойных связей наблюдается характерный конъюгированному диену спектр — два пика с частотами 1610, 1632 см<sup>-1</sup> средней интенсивности, а поглощение средней интенсивности при частоте 3095 см<sup>-1</sup> однозначно характеризует концевую винильную группу  $-\text{CH}=\text{CH}_2$  диеновых продуктов. Элементарный анализ и физико-химические константы указывают на образование моноаддукта.

Итак, элементарный анализ, физико-химические константы, ИК, УФ и ЯМР-спектральное исследование показали, что в основном образуются диеновые аддукты. В малом количестве образуется и алленовый изомер В.

Установление строения диенового продукта возможно только на основе детального рассмотрения ЯМР-спектра в области протонов, связанных двойной связью, и протонов метиленовой группы, связанной с диеновой системой.

Метиленовой группе соответствует три сигнала: дублет с константой спин-спинового взаимодействия 2,6 Гц (б 4,1 м. д.), дублет  $J=2,5$  Гб. 3,9 м. д.) и дублет с константой спин-спинового взаимодействия 5,2 Гц (4,05 м. д.). Данные сигналы принадлежат изомерам Б, В и А соответственно.

На основе сравнения интегральных интенсивностей данных сигналов установлено процентное содержание в продуктах изомеров А, Б, В.

5-Гидроксипентен-1-ин-3 получен по И. Н. Назарову [1].

Метилирование 5-гидроксипентен-1-ин-3. В трехгорлую колбу с механической мешалкой, капельной воронкой и обратным ходильником помещали 40 г карбинала и 200 мл 30% едкого натра. При постоянном перемешивании постепенно добавляли 100 мл диметилсульфата. Наблюдалось саморазогревание реакционной массы. После охлаждения продукт метилирования экстрагировали эфиrom. Эфирный раствор сушили на безводом  $\text{Na}_2\text{SO}_4$ . После отгонки эфира реакционную массу перегоняли в вакууме. Получен 5-метоксипентен-1-ин-3. Выходы и физико-химические константы здесь и далее синтезированных продуктов приведены в таблице.

Выходы, процентный состав и физико-химические константы продуктов реакций

№	Выход %, Состав, %	T, кип. (р/мм)	$d_4^{20}$	$n_D^{20}$	MR <sub>D</sub>		Найдено, %			Формула	Вычислено, %		
					найдено	вычи- слено	C	H	Si		C	H	Si
I	85	45—41 13	0,8743	1,4624	30,2	29,49	74,47	8,50		$\text{C}_6\text{H}_8\text{O}$	75	8,3	
II	A 58												
	B 72	82—83	0,8693	1,4786	69,1	68,20	67,77	11,46	13,56	$\text{C}_{12}\text{H}_{24}\text{OSi}$	67,9	11,3	13,2
	B 9	(1)											
III	A 60												
	B 70	113—114	0,8576	1,4747	83,35	82,14	70,26	11,81	11,07	$\text{C}_{15}\text{H}_{30}\text{OSi}$	70,8	11,8	11,02
	B 10	(2)											
IV	A 59												
	B 69	115	0,8535	1,4730	97,25	96,09	72,71	11,89	9,01	$\text{C}_{18}\text{H}_{36}\text{OSi}$	72,9	12,16	9,44
	B 9	(3)											

Действие триэтилсилана на 5-метоксипентен-1-ин-3 в присутствии  $\text{H}_2\text{PtCl}_6 \cdot 6\text{H}_2\text{O}$ . С целью выбора оптимальных условий реакции проводили по различным методикам.

а) В трехгорлую колбу емкостью 10 мл, снаженную механической мешалкой и термометром, помещали 1,92 г (0,02 г мол) 5-метоксипентена-1-ин-3, 2,12 г (0,02 г-мол) триэтилсилана и 0,2 мл 0,1 н. раствора  $\text{H}_2\text{PtCl}_6 \cdot 6\text{H}_2\text{O}$  в абсолютном изопропиловом спирте. Выделение тепла не наблюдалось. Реакцию проводили при 100° с постоянным перемешиванием. Периодично реакционную массу контролировали тонкослойной

хроматографией на адсорбенте  $\text{Al}_2\text{O}_3$  (активность по Брокману II) в системе растворителей гексан-бензол 50:1. Реакция заканчивалась через 2 часа. Реакционную массу перегоняли в вакууме. Выход продукта 71%. Получена бесцветная, подвижная жидкость.

б) 1,92 г (0,02 г-мол) эфира, 2,12 г (0,02 г-мол) триэтилсилана и 0,2 мл катализатора помещали в пробирку с притертой пробкой. Пробирку ставили на термостатированный вибратор при 100°. Катализат перегоняли через 2 часа. Выделен продукт присоединения. Выход 72%.

в) В пробирку с притертой пробкой помещали реагенты в вышеуказанных количествах. Пробирку ставили в термостат при 100°. Периодично реакционную массу контролировали тонкослойной хроматографией. Через 2 часа по окончании реакции катализат перегоняли в вакууме. Получен продукт присоединения. Выход 72%.

В дальнейшем все реакции гидросилирования проводили по методике в.

Действие трипропилсилана на 5-метоксиpentene-1-in-3. Реакцию 1,92 г эфира и 3,16 г трипропилсилана в присутствии  $\text{H}_2\text{PtCl}_6$  проводили по методике в. При 100° реакция заканчивалась через 2 часа.

Действие трибутилсилана на 5-метоксиpentene-1-in-3. Реакция 1,92 г эфира и 4 г трибутилсилана в присутствии  $\text{H}_2\text{PtCl}_6$  по методике в закончилась через 3 часа.

ИК-спектры сняты на спектрофотометре «Перкин-Эльмер 257». ЯМР-спектры сняты на спектрометре высокого разрешения с рабочей частотой 60 мгц («Перкин-Эльмер R-12»). УФ-спектры сняты на спектрометре UNICAM SP. 800.

Тбилисский государственный университет

(Поступило 29.6.1972)

ორგანული ქიმია

ა. კახნიაშვილი, თ. გვალია, დ. იორამაშვილი  
ვინილეთინილკარბინოლის ეთილის ეთიორის ურთიერთობები  
ტრიალკილსილაციაზე

რეზიუმე

შესწავლით ტრიეთილსილანის, ტრიპროპილსილანისა, ტრიბუტილსილანის ურთიერთობები 5-მეთოქსიპენტენ-1-ინ-3-თან  $\text{H}_2\text{PtCl}_6$ -ის თანასწერებით. მიღებული სილიციუმორგანული დიენებისა და ალენების აგებულება დამტკიცებული ინფრაწითელი, ბირთულ-მაგნიტურ რეზონანსული და ულტრაინისფერი სპექტრებით.

ORGANIC CHEMISTRY

A. I. KAKHNIA SHVILI, T. Sh. GVALIA, D. Sh. IORAMASHVILI

REACTION OF VINYLACETYLENIC CARBINOL ETHER  
WITH TRIALKYLSILANES

Summary

The reaction of triethyl silane, tripropyl silane and tributyl silane with 5-methoxypentene-1-in-3 has been studied in the presence of  $\text{H}_2\text{PtCl}_6$ . The structure of the obtained organosilicon dienes and allenes has been established by IR-, PMR- and UV-spectral investigation.

ლიტერატურა — ЛИТЕРАТУРА — REFERENCES

1. И. Н. Назаров, И. В. Торгов. Изв. АН СССР, ОХН, № 1, 1947, 495.



## ОРГАНИЧЕСКАЯ ХИМИЯ

Л. Д. МЕЛИКАДЗЕ (член-корреспондент АН ГССР), Э. А. УШАРАУЛИ,  
Э. Г. ЛЕКВЕИШВИЛИ

### ГАЗ-ХРОМАТОГРАФИЧЕСКОЕ ИССЛЕДОВАНИЕ ПРОДУКТОВ ФОТОКОНДЕНСАЦИИ 9-БУТИЛФЕНАНТРЕНА С МАЛЕИНОВЫМ АНГИДРИДОМ

Ранее изучением реакции фотоконденсации алкилфенантреновых углеводородов с малеиновым ангидридом в присутствии сенсибилизатора—бензофенона было показано, что, наряду с аддуктами алкилфенантренов с малеиновым ангидридом, образуются весьма близкие к ним по природе, но отличающиеся по свойствам низкоплавящиеся соединения с двойной температурой плавления [1—3]. Указанные соединения условно называем высокоплавкими ( $Ad$ ) и низкоплавкими ( $Ad'$ ) аддуктами.

Настоящая работа посвящена изучению природы указанных аддуктов 9-бутилфенантрена методом газо-жидкостной хроматографии.

Ввиду того что оба аддукта легко подвергаются термическому разложению, необходимо было исследовать качественный состав продуктов их термического распада.

Исследование проводилось на хроматографе «ЦВЕТ 1-64». Для предварительной термической обработки и разложения исследуемых аддуктов в указанный хроматограф были внесены следующие конструктивные изменения. Инжектор хроматографа был заменен новым, в который, наряду с жидкими пробами, можно было вносить твердые образцы, помещенные в стеклянные ампулы (под вакуумом). Ампула с исследуемым веществом выдерживалась в инжекторе при соответствующей температуре в продолжение 5—10 минут, после чего механически взламывалась и продукты распада поступали в хроматографическую колонку. Указанный инжектор имеет и то преимущество, что осмоленные продукты остаются в ампуле и тем самым исключается возможность загрязнения колонки и детектора хроматографа.

Для хроматографического анализа использовалась стальная колонка длиной 2 м и диаметром 4 мм. Твердый носитель—хроматон N, жидккая фаза — селективный эластомер Se-30 (5%), температура в инжекторе 305°C, в термостате 280°C, газ-носитель — водород, входное давление 1,2 атм, расход 60 мл/мин, детектор пламенно-ионизационный. В результате анализа оказалось, что хроматограммы высокоплавкого и низкоплавкого аддуктов 9-бутилфенантрена идентичны и состоят из трех пиков. Первый по времени удерживания соответствует малеиновому ангидриду, второй—9-бутилфенантрену. Третий, размытый пик, по всей вероятности, соответствует продуктам осмоления аддукта (рис. 1, 2).

Таким образом, установлено, что исследуемые аддукты при 305°C разлагаются на исходные компоненты — 9-бутилфенантрен и малеиновый ангидрид, причем разложение сопровождается образованием смолообразных продуктов.

Ввиду того что в условиях указанного эксперимента не исключалась возможность отщепления бокового алкильного заместителя в виде низкомолекулярных углеводородов или распада карбоксильных групп с выделением окислов углерода или воды, нами в вышеуказанных условиях был проведен также газ-хроматографический анализ продуктов термического разложения исследуемых аддуктов на стальной колонке длиной 2 м и диаметром 4 мм, заполненной цеолитом типа X калиевой формы, рекомендуемым для анализа низкомолекулярных углеводородов и окислов углерода [4]. Несмотря на то что в контрольных опытах указанный адсорбент проявил достаточно высокую чувствительность к разделению низкомолекулярных модельных углеводородов и окислов углерода, в хроматограммах продуктов распада аддуктов пик, соответствующие этим соединениям, не обнаружены.

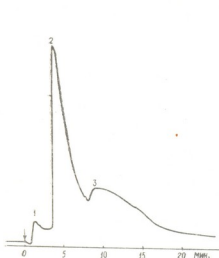


Рис. 1. Хроматограмма продуктов термического распада высокоплавкого аддукта 9-бутилфенантрена при 305°C: 1—малениновый ангидрид; 2—9-бутилфенантрен; 3—продукты осмоления

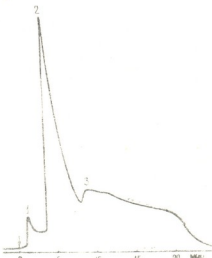


Рис. 2. Хроматограмма продуктов термического распада низкоплавкого аддукта 9-бутилфенантрена при 305°C: 1—малениновый ангидрид; 2—9-бутилфенантрен; 3—продукты осмоления

Исходя из результатов термографического анализа высокоплавкого и низкоплавкого аддуктов, согласно которым низкоплавкий аддукт при температуре 150—190°C превращается в высокоплавкий, причем этот переход сопровождается потерей веса исходного низкоплавкого аддукта, было проведено исследование указанных аддуктов методом газожидкостной хроматографии в следующих условиях: длина колонки 2 м, диаметр 4 мм, твердый носитель — хезасорб, жидккая фаза — силикон DC-550 (15%), газ-носитель — гелий, входное давление 0,8 атм, расход газ-носителя 50 мл.

В результате газ-хроматографического анализа было показано, что превращение низкоплавкого аддукта в высокоплавкий при указанной температуре происходит с выделением воды (рис. 3). Незначительный

пик, наблюдаемый в хроматограмме высокоплавкого аддукта, соответствует следам пиргроскопической воды (рис. 4).



Рис. 3. Хроматографический анализ низкоплавкого аддукта 9-бутилфенантрена на содержание воды: 1—воздух 2—вода



Рис. 4. Хроматографический анализ высокоплавкого аддукта 9-бутилфенантрена на содержание воды:  
1—воздух; 2—вода

Таким образом, идентичность хроматограмм продуктов распада при 305°C высокоплавкого и низкоплавкого аддуктов 9-бутилфенантрена, а также выделение воды, сопровождающее переход низкоплавкого аддукта в высокоплавкий при 190°C, дает основание утверждать, что низкоплавкий аддукт 9-бутилфенантрена отличается от высокоплавкого аддукта содержанием воды, ассоциированной с последним.

Академия наук Грузинской ССР  
Институт физической и органической химии  
им. П. Г. Меликишвили

(Поступило 30.6.1972)

ორგანიზაცია კიბია

ლ. გლეიძე (საქართველოს სსრ მეცნ. აკადემიის წევრ-კორესპონდენტი), მ. უშარაული,  
ი. ლიხვიავაძე

9-ბუტილფენანტრენის გალენის ანეიზიდთან ფოტოფონდენსაციის  
რეაციის შედეგად მიღიბული პროდუქტების კვლევა აირ-თენიაზი  
ქრომატოგრაფიის გეთოდით

რეზიუმე

აირ-თხევადი ქრომატოგრაფიული მეთოდით დადგენილია, რომ ფოტო-  
ფონდენსაციის შედეგად მიღიბული დაბალდნობადი ადუქტი მაღალდნობადი  
აღუქტისაგან განსხვავდება მხოლოდ წყლის შემცველობით.

ORGANIC CHEMISTRY

L. D. MELIKADZE, E. A. USHARAUЛИ, E. G. LEKVEISHVILI

GAS-LIQUID CHROMATOGRAPHIC STUDY OF THE PRODUCTS  
OBTAINED BY THE PHOTOCONDENSATION REACTION OF  
9-BUTYLPHENANTHRENE WITH MALEIC ANHYDRIDE

Summary

It has been established by the gas-liquid chromatographic method that the low-melting adduct obtained by the photocondensation reaction differs from the high-melting one only in its water content.

СПИСОК СЧАСТЬЯ — ЛИТЕРАТУРА — REFERENCES

1. Л. Д. Меликадзе, Э. Г. Леквенишвили. Сообщения АН ГССР, 50, № 3, 1968, 605.
2. Л. Д. Меликадзе, Э. Г. Леквенишвили. Сб. «Газоконденсаты и нефти». Анхабад, 1968, 304.
3. Л. Д. Меликадзе, Э. Г. Леквенишвили, М. Н. Тевдорашвили. Сообщения АН ГССР, 54, 2, 1969, 317.
4. Г. В. Цицишвили, Т. Г. Андроникашвили, Ш. Д. Сабелашвили, С. С. Чхеидзе. Нефтехимия, 7, № 2, 1967, 305.

ФИЗИЧЕСКАЯ ХИМИЯ

Т. Г. АНДРОНИКЛШВИЛИ, Л. Я. ЛАПЕРАШВИЛИ, С. С. ЧХЕИДЗЕ

ИССЛЕДОВАНИЕ СВОЙСТВ СТРОНЦИЙСОДЕРЖАЩИХ ЦЕОЛИТОВ ТИПА Y МЕТОДОМ ГАЗОВОЙ ХРОМАТОГРАФИИ

(Представлено академиком Г. В. Цицишвили 30.6.1972)

По сравнению с цеолитами типа X, хроматографические свойства цеолитов типа Y изучены мало [1], в то время как более детально выявить роль катиона в процессах хроматографических разделений на цеолитах позволяет изучение именно этого типа цеолита.

Цеолит Y по своей структурной характеристике практически аналогичен цеолиту X, но отличается плотностью заселения отдельных катионных позиций в элементарной ячейке. Высказано предположение, что в стронцийсодержащих цеолитах возникает фаза, богатая катионами стронция, что не имеет места в цеолитах, замещенных катионами других щелочно-земельных металлов [2].

В качестве исходной формы был использован цеолит NaY с отношением  $\text{SiO}_2/\text{Al}_2\text{O}_3 = 4,2$ .

Введение катиона стронция в алюмосиликатный каркас цеолита осуществлялось ионообменным методом путем обработки образцов раствором хлористого стронция.

Испытание образцов производилось на хроматографе ХТ-7. Длина хроматографической колонки 230 см, внутренний диаметр 4 мм, зернистое цеолит 0,5—1 мм. Перед загрузкой в колонку образцы нагревались при температуре 450°C в течение 5—6 часов. После загрузки в колонку цеолиты подвергались термической активации как умеренной, так и глубокой.

Умеренная активация заключалась в нагревании образцов в хроматографической колонке при температуре 300°C в потоке газа-носителя (гелия). Глубокая активация осуществлялась нагреванием цеолитов при температуре 500°C в течение 10—12 часов.

В качестве модельной системы использовалась смесь кислорода, азота, окиси углерода и углеводородных газов C<sub>1</sub>—C<sub>4</sub>. Скорость газа-носителя была равна 50 мл/мин.

Как было показано нашим исследованием, определенное влияние на величины удерживаемых объемов всех исследованных соединений оказывает степень замещения Na<sup>+</sup> на Sr<sup>2+</sup>, увеличение которой на цеолитах вызывает возрастание удерживаемых объемов как насыщенных, так и иенасыщенных углеводородов, окиси углерода, азота и кислорода. Особенно заметно это на образцах с высоким содержанием катионов стронция (табл. 1).

Глубокая активация в еще большей степени способствует возрастанию удерживаемых объемов исследованных соединений, т. е. усилинию эффекта межмолекулярных взаимодействий.

По своим хроматографическим свойствам образцы с низким содержанием стронция (8 и 14%) близки к исходным натриевым цеолитам. Более глубокое замещение натрия на стронций (выше 40%) в цеолите

вызывает резкое возрастание удерживаемых объемов всех исследованных соединений. Это, по-видимому, вызвано образованием в цеолите фазы, богатой катионами стронция [2]. Однако последнее не вызывает увеличения коэффициента разделения отдельных бинарных смесей, так

Таблица 1  
Удерживаемые объемы  $V_g$  для некоторых компонентов при различной степени активации цеолитов

Компоненты	Температура колонки, °C	Температура активации, °C	Степень замещения $\text{Na}^+$ на $\text{Sr}^{2+}(\alpha)$ , %					
			0	8	14	40	58	71
$\text{CH}_4$	60	300	2,6	3,0	2,8	2,7	3,4	4,7
		500	2,8	3,0	2,8	3,0	5,5	9,4
$\text{C}_2\text{H}_6$	80	300	16,3	19,5	20,6	21,8	27,4	45,4
		500	20,6	19,6	21,1	22,6	46,8	97,7
$\text{C}_3\text{H}_8$	180	300	12,1	14,8	14,8	14,8	15,1	19,8
		500	13,2	14,9	15,0	15,8	22,9	40,7
$\text{C}_4\text{H}_{10}$	200	300	30,3	36,5	37,5	37,4	43,4	53,3
		500	33,7	39,4	40,5	44,9	68,9	126,2
CO	40	300	7,8	8,5	8,5	10,0	19,9	28,6
		500	9,2	8,9	8,7	11,8	38,6	87,4
$\text{C}_2\text{H}_4$	180	300	9,0	12,9	12,7	16,9	30,2	52,9
		500	12,4	14,1	15,0	19,6	73,0	153,4
$\text{C}_2\text{H}_6$	200	300	31,1	40,6	39,1	68,8	—	—
		500	33,5	43,0	44,9	89,6	—	—

как, наряду с увеличением расстояния между отдельными пиками, происходит сильное размывание хроматографических зон (полос), что указывает на сильное адсорбционное взаимодействие между молекулами

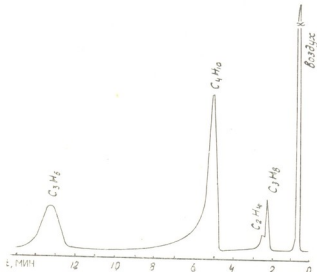


Рис. 1. Хроматограмма катализитического превращения пропилена при температуре 260°C

адсорбата и поверхностью адсорбента. Разделение смеси пропан-этilen на образце со степенью замещения  $\text{Na}^+$  на  $\text{Sr}^{2+}$  равной 40% и выше, независимо от режима активации не характеризуется инверсионным вымыванием пропана-этилена, и при любой температуре нагрева ко-

лонки пропан вымывается ранее этилена. Образцы, богатые катионами стронция, характеризуются ярко выраженной селективностью по отношению к иенасыщенным соединениям.

Для смеси углеводородов бутан-пропилен на образцах со степенью замещения выше 40% независимо от глубины активации, нагрева колонки бутан элюируется ранее пропилена. Цеолиты с высокой степенью замещения натрия на стронций проявляют каталитическую активность. Так, на таком образце при температуре колонки 260°C пропилен претерпевает каталитическое превращение и вместо одного пика на хроматограмме, соответствующего чистому пропилену, появляются пики, соответствующие пропану, пропилену, этилену и бутану (рис. 1).

Таблица 2  
Теплоты адсорбции (ккал/мол)

Компоненты	Температура активации, °C	Степень замещения $\text{Na}^+$ на $\text{Sr}^{2+}$ (%)					
		0	8	14	40	58	71
$\text{N}_2$	300	4,9	4,4	4,0	4,9	5,4	6,4
	500	4,9	4,4	4,2	4,9	6,4	6,7
$\text{CH}_4$	300	4,4	4,5	4,2	4,6	5,3	5,4
	500	4,4	4,9	4,4	4,7	5,5	6,1
$\text{C}_2\text{H}_6$	300	5,5	5,9	5,7	5,8	6,7	7,8
	500	5,5	5,9	5,9	6,1	7,4	8,1
$\text{C}_3\text{H}_8$	300	6,9	6,9	7,2	7,3	7,3	8,1
	500	6,9	6,9	7,3	8,3	8,5	9,1
$\text{C}_4\text{H}_{10}$	300	8,5	8,7	8,6	8,6	9,9	10,5
	500	8,6	8,8	8,9	9,1	10,9	11,1
$\text{CO}$	300	5,7	5,4	5,0	6,0	7,0	7,1
	500	5,7	5,9	5,5	6,3	7,4	8,7
$\text{C}_2\text{H}_4$	300	8,0	8,1	8,7	9,9	10,7	10,9
	500	8,3	8,3	8,7	10,7	11,3	12,3
$\text{C}_5\text{H}_6$	300	9,3	11,0	9,9	11,9	—	—
	500	9,9	11,0	10,7	13,3	—	—

На основании хроматографических данных были вычислены теплоты адсорбции азота, окси углерода и углеводородов  $\text{C}_1$ — $\text{C}_4$  (табл. 2). Как видно из табличных данных, теплоты адсорбции этих соединений увеличены на цеолитах с высоким содержанием катионов стронция.

Академия наук Грузинской ССР

Институт физической и  
органической химии  
им. П. Г. Меликишивили

(Поступило 30.6.1972)

ვიზუალური მიმია

თ. ადერონიძეავალი, ლ. ლაცარაშვილი, ხ. ჩხიძე

გაზერი პროგამოგრაფის მითოდით სტრონციუმანაცვლებული

Y ტიპის ცოლითობის თვისებაბის კვლევა

რეზიუმე

სტრონციუმანაცვლებული Y ტიპის ცოლითობის ქრომატოგრაფიული კვლევის შედეგები გვიჩვენებს, რომ სტრონციუმის იონებს ჩანაცვლების ხარისხი და ქრომატოგრაფიის რეզიტი გავლენას ახდენს აზოტის, უანგბადის, ნან-ჟირეანგის და  $\text{C}_1$ — $\text{C}_4$  ნანჟირეალბადური აირების შეკავებით მოცულობებზე, ღისორბციის სითბოსა და ამ ნარევის დაყოფის ხარისხზე.

T. G. ANDRONIKASHVILI, L. Ya. LAPERASHVILI, S. S. CHKHEIDZE

### GAS-CHROMATOGRAPHIC CHARACTERIZATION OF STRONTIUM-CONTAINING Y-TYPE ZEOLITES

#### Summary

Chromatographic study of strontium-containing Y-type zeolites has shown that the degree of replacement of strontium ions and the activation regime affects the retention volumes of nitrogen, oxygen, carbon monoxide and C<sub>1</sub>—C<sub>4</sub> hydrocarbon gases, adsorption heats and the extent of mixture separation.

#### ლიტერატურა — REFERENCES

1. Г. В. Цицишвили, Т. Г. Андроникашвили, Т. А. Чумбуридзе, З. И. Коридзе. Сообщения АН ГССР, 42, № 1, 1966, 65.
2. D. H. Olson, H. S. Sherry. J. Phys. Chem., 72, 12, 1968, 4095.



ХИМИЧЕСКАЯ ТЕХНОЛОГИЯ

К. С. КУТАТЕЛАДЗЕ (член-корреспондент АН ГССР),

Р. Д. ВЕРУЛASHVILI, Г. М. КАКАБАЗДЕ

ВЛИЯНИЕ ТЕРМООБРАБОТКИ НА ПРИРОДУ  
ЭЛЕКТРОПРОВОДИМОСТИ СЛОЖНЫХ ЖЕЛЕЗОСОДЕРЖАЩИХ  
СТЕКОЛ

Наряду с условиями варки, термическая обработка является одним из основных факторов в процессе формирования структуры стекла [1, 2].

Цель настоящей работы заключалась в исследовании влияния термической обработки на природу электропроводимости стекол, полученных на основе горных пород (базальтов серии Б) и модельных им синтезированных (серии БС), обнаруживающих по электрофизическим показателям значительную разницу между собой [3, 4].

Элементы, образующие ионы переменной валентности (железо, марганец и др.), оказывают специфическое влияние на электрические свойства стекла. При определенном соотношении отдельных форм окислов наблюдается сдвиг равновесия от ионной проводимости к электронной и наоборот. Природа проводимости определялась путем установления зависимости  $1/T - \lg \sigma$ . Стекла варились в кварцевых тиглях при  $1460^{\circ}\text{C}$ .

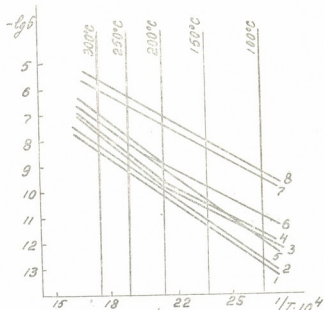


Рис. 1. Зависимость  $1/T - \lg \sigma$  базальтовых стекол (выдержка 30 минут): 1,3—БС и Б без термической обработки; 2,4—БС и Б, обработанные при  $700^{\circ}\text{C}$ ; 5,6—при  $800^{\circ}\text{C}$ ; 7,8—при  $900^{\circ}\text{C}$ .

Для экспериментов подбирались как отожженные (не прошедшие термическую обработку) стекла, так и выдержаные в температурном интервале  $700-900^{\circ}\text{C}$ . Для этого образцы помещались в одном муфеле и при динамическом режиме температуры извлекались поочередно при  $700$ ,  $800$  и  $900^{\circ}\text{C}$ . Длительность выдержки на каждой ступени составляла  $0,5-6,0$  час.

Таким образом, одновременно исследовались влияние отдельных фаз на природу проводимости и изменение характера переноса тока по мере нарастания кристаллической фазы.

Кривые температуры зависимости электропроводимости, полученные при длительности выдержки на каждой ступени термообработки (700, 800 и 900°C) 30, 75 и 360 минут соответственно, приведены на рис. 1, 2, 3.

Ввиду одновременного присутствия окислов железа, марганца, титана, натрия и калия в стеклах надо полагать, существуют оба механизма проводимости тока.

Сказанное не исключает возможности установления как динамического равновесия между электронной и ионной проводимостью, так и преобладания одного вида механизма переноса электричества над другим.

Графическое изображение зависимости  $1/T - \lg \sigma$  является доказательством неподчиненности одинаковым закономерностям стекол серии Б и БС.

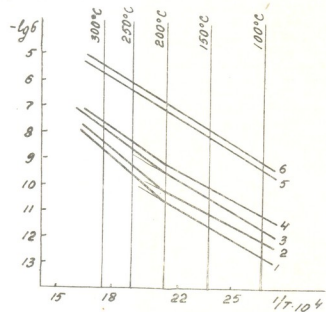


Рис. 2. Зависимость  $1/T - \lg \sigma$  базальтовых стекол (выдержка 75 минут): 1, 2—БС и Б, обработанные при 700°C; 3, 4—при 800°C; 5, 6—при 900°C

Прямолинейность кривых стекол серии БС на рис. 1 указывает на преобладание в синтезированных стеклах (в интервале 100—350°C) определенного механизма проводимости. Исходя из данных, полученных установлением взаимосвязи между величинами  $\lg \rho_0 - E_0$ , можно утверждать о нарушении в синтезированных стеклах равновесия в пользу ионного механизма переноса тока.

Противоположная картина получается при измерении электропроводимости у образцов серии Б. В отличие от серии БС, стекла, полученные на основе магм, дают изломы даже без термической обработки (угол преломления 12°). По мере повышения температуры обработки степень преломления у образцов серии Б уменьшается, а при 900°C наблюдается прямолинейная зависимость. Все изломы зафиксированы в температурном интервале, близком к 200°C.

Длительная выдержка образцов в процессе термообработки коренным образом изменяет характер зависимости  $\lg \rho_0 - E_0$ . С увеличением времени экспозиции кривые стекол серии Б становятся более пологими,

в результате чего углы преломления постепенно уменьшаются и при экспозиции 1 час. 30 минут не обнаруживаются даже в образцах, выдержанных при 700°C.

К совершенно противоположным результатам приводит увеличение времени термообработки в стеклах серии БС. Первые изломы обнаруживаются вследствие повышения экспозиции (температуры 700 и 800°C) до 1 часа 15 минут. Интересно отметить, что указанная величина экспозиции является как бы «золотой серединой», при которой в обеих сериях одновременно обнаруживаются изломы (рис. 2). Повышение или уменьшение длительности обработки приводит к исчезновению изломов в одной из рассмотренных систем (рис. 1 и 3).

Принципиальная разница в характере зависимости  $1/T - \lg \sigma$  между стеклами, полученными на основе магм и модельных им синтезированных, указывает на то, что окислительно-восстановительные процессы, а также очередьность и интенсивность выделения фаз в синтезированных стеклах происходит не со строгим соблюдением той последовательности, которая имеет место в образцах на основе магм.

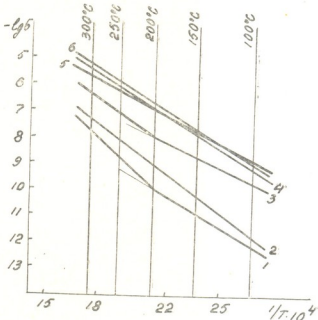


Рис. 3. Зависимость  $1/T - \lg \sigma$  базальтовых стекол (выдержка 300 минут): 1,2—БС и Б, обработанные при 700°C; 3,4—при 800°C; 5,6—при 900°C

Принимая за основу известные положения [5], касающиеся механизма переноса электричества в железосодержащих стеклах, наличие изломов в необработанных стеклах серии Б, видимо, можно объяснить условиями варки, выработки и студки, способствующими сохранению в стеклах шестикоординированной формы железа и установлению динамического равновесия между  $\text{Fe}^{2+} \rightleftharpoons \text{Fe}^{3+} + e^-$ . В таких случаях по всей вероятности, длительность термообработки (кристаллизация) образца должна привести к нарушению установленного равновесия, что и прослеживается на тех же стеклах, длительно обрабатываемых при заданных температурах (рис. 3).

Отсутствие изломов в необработанных стеклах серии БС, видимо, объясняются так называемым явлением «разбавления» ионов железа ионами  $\text{Al}^{3+}$ , приводящим к уменьшению чисел  $\text{Fe}^{3+}$ , принимающих участие в электронной переразрядке [6].

По мере повышения температуры в результате выделения алюмосодержащих пиниделей и формирования минералов ряда широксенов должно наблюдаться постепенное истощение матрицы ионами алюминия.

Таким образом, кристаллизация стекла должна сопутствовать процессу уменьшения степени «разбавленности» содержащихся в матрице окислов железа и тем самым увеличению количества  $\text{Fe}^{3+}$ , принимающих участие в электронной переразрядке.

Тбилисский институт  
строительных материалов

(Поступило 22.6.1972)

ЗАСЛУЖЕННЫЙ УЧЕНЫЙ АВТОР

К. СЕРГАМОВИЧ (САКУРТВЕДЕНИЕ ССР 89 Г. № 100).  
Р. Д. ВЕРУЛАШВИЛИ, Г. М. КАКАБАДЗЕ

ОБРАЗЦОВЫХ АЛЮМИНОВЫХ СТЕКЛ СО СЛОЖНЫМ СОСТАВОМ ПОЛНОСТЬЮ  
ПОЛУЧЕНЫ ИЗ БАСАЛА

#### РУКОВОДСТВО

«ШЕСТЬДЕСЯТЫЕ ГОДЫ ТЕХНОЛОГИИ ИЗГОТОВЛЕНИЯ АЛЮМИНОВЫХ СТЕКЛ И ИХ ПРИМЕНЕНИЯ»  
М. М. Павлушкин, И. И. Китайгородский, Э. Н. Шалимо, Н. Н. Ермоленко  
Издательство «Наука», Москва, 1970.

#### CHEMICAL TECHNOLOGY

K. S. KUTATELADZE, R. D. VERULASHVILI, G. M. KAKABADZE

#### THE EFFECT OF HEAT TREATMENT ON THE NATURE OF THE ELECTRIC CONDUCTIVITY OF COMPLEX FERRUGINOUS GLASSES

##### Summary

The electric nature of the conductivity of ferruginous glasses has been studied. The paper deals with the effect of the conditions of melting, cooling and heat treatment on the electric properties of complex ferruginous glasses obtained from rocks (basalt) as well as of those synthesized from chemical reagents.

##### ЛИТЕРАТУРА — REFERENCES

1. Н. М. Павлушкин. Основы технологии ситаллов. М., 1970.
2. И. И. Китайгородский, Э. Н. Шалимо, Н. Н. Ермоленко. Новые стекла и стекломатериалы. Минск, 1965.
3. К. С. Кутателадзе, Р. Д. Верулашвили, Г. М. Карабадзе. Сообщения АН ГССР, т. 52, № 3, 1968.
4. К. С. Кутателадзе, Р. Д. Верулашвили, Г. М. Карабадзе. Сообщения АН ГССР, т. 62, № 3, 1971.
5. В. А. Цехомский. Полупроводниковые стекла на основе окислов железа и титана. Автореферат, Л., 1966.
6. H. I. Trap, J. M. Stevens. VI Intern. Congress on Glass. New York. Part 2, 70, 1963.



ლ. ჩუხავაძე

ვაზის ანასხლავის გამოცხვისა თეოლოგიაზოგი პრისცეპილების  
მისაღებად

(წარმოადგინა ექიმის წევრ-კრებასონლენტა ი. გვერდზე 11.5.1972)

სახალხო მეურნეობის სწრაფმა ზრდამ და განსაკუთრებით ელექტროტექნიკური მშენებელობის აღმდევობის მოითხოვები მოითხოვები ფუნდოფორმულების მისი ფინანსურობის წარმოება, ამიტომ საგრძნობლად გადიდა ფეხობლასტების წარმოება. მიუხედავად ამის, სახალხო მეურნეობის მზარდი მოთხოვნილების ამ მხრივ ჯერ კიდევ ვერ კმაყოფილდება.

ფეხობლასტების სწრაფი განვითარება ლიმიტირებულია ძირითადად ფინანსით, ამიტომ საძიებო გამოცხვევები ფეხობლის ხარჯის შემცირების შესახებ და მისი შეცვლა შედარებით უფრო იაფი მასალით მეტად ატერიალური პრობლემაა.

ჩერნ შევისწავლეთ ვაზის ანასხლავის გამოყენების საკითხი უკნოლექტოლდების მიღების ფინანსურობის მიღების შემდგომი გადამუშავებით პრესტაციულებისა და პლასტიკური მასის მიღების მიზნით. გავითვალისწინეთ, რომ ვაზის ანასხლავი შეიცავს პენტოზებს, ცელულოზასა და ლიგნინს.

ლიტერატურული მონაცემებით ცნობილია, რომ მერქნილან შესაძლებელია ფისოვანი ხიფიტირებების მიღება [1—5]. როგორც ლიტერატურული მოხაცემითან ჩანს, კონდენსაციის პროცესს შეაური კატალიზტორების თანდასწრებით, წინ უსწრებს პენტოზებიდან ფურფუროლის წარმოქმნა და ცელულოზადან მისი დახლევების პროცესშების (კლეიოზამდე) წარმოქმნა. ამ უკანასკენით კონდენსაცია ფეხობლით იძლევა ფის, რაც უახლოვდება ფინანსურობის მიღების ტიპს.

აღრე მიღებული იყო ფეხობლით მალებიდან ტიპის პრესტაციულები მხესუმზირას ჩენწოსა და ტუნგოს კოპტონისაგან [6, 7]. აღმოჩნდა, რომ მიღებული პრესტაციულებით დაწესებილი პლასტიკური მასა, განსაკუთრებით მაშინ, როდესაც კონდენსაცია ტარდება ტუტე კატალიზტორების თანდასწრებით, არამცუ ჩამოუვარდება კლასიკური მეთოდით ფეხობლით მონაცემით ფისიდან მიღებული პრესტაციიდან დაწესებილ პლასტიკურ მასას, არამედ შრავალი მახენებლით მათზე უფრო მაღლა დგას [8].

ჩერნ კვლევის მოცანას შეადგენდა ვაზის ლერწის ანასხლავის გამოყენების შესაძლებლობა პრესტაციისაგან [6, 7]. აღმოჩნდა, როგორც ცნობილია, საქართველოში ვაზის კულტურა კველაზე მეტადაა გავრცელებული და თუ მხედველობაში მივიღებთ იმას, რომ მე-9 ხუთწლედში საქართველოში კენანის ფართობი გადაეჭარდება 120 ათას ჰექტარს და რომ ერთ ჰექტარზე შეიძლება შეგროვდეს 1—2 ტონა ანასხლავი, მაშინ ნათელი გახდება, თუ სოფლის მეურნეობის ამ ნარჩენის გამოყენებას დიდი პრაქტიკული მნიშვნელობა აქვს.

ვაზის ანასხლავიდნ პრესტაციის მიღებას ვაწარმოებდით ტუტე კატალიზატორების თანდასწრებით, ცნობილი [6, 8] მეთოდის მიხედვით. ზედამირულად ეტიური ნაწილების მისაღებად ვაზის ლერწის დატექსა ფანდებით ვიბროსისებილზე. პრესტაციის მიღებისათვის გამომუშავებული იყო ორი რეცეპტურა, რაც მოცემულია 1 ცხრილში.

ეხი 1

№	№ 1 ରୁହାସ୍‌ତୀର୍ତ୍ତା	ନେପାଲୀର୍ଗବିଳେ ରୂପାଲ୍ୟନୋଦ୍ଧା	№	№ 2 ରୁହାସ୍‌ତୀର୍ତ୍ତା	ନେପାଲୀର୍ଗବିଳେ ରୂପାଲ୍ୟନୋଦ୍ଧା
1	ଗ୍ରାମୀନ ଜ୍ଞାନିକାରୀ	100 ଟଙ୍କା	1	ଗ୍ରାମୀନ ଜ୍ଞାନିକାରୀ	100 ଟଙ୍କା
2	ଯୁଗମଳୀ	75 ଟଙ୍କା	2	ଯୁଗମଳୀ	75 ଟଙ୍କା
3	ଯୁଗମଳୀନି (36.7%)	60 ଟଙ୍କା	3	ଯୁଗମଳୀନି (36.7%)	60 ଟଙ୍କା
4	ଅନ୍ତର୍ବିଦ୍ୟୁତି	8 ଟଙ୍କା (36 ମୀଟ୍)	4	ଅନ୍ତର୍ବିଦ୍ୟୁତି	8 ଟଙ୍କା (36 ମୀଟ୍)
5	ଶୈଖିକୀୟବ୍ୟୁଦ୍ଧା—ବୀଷ ଫ୍ରେଶର୍	80 ଟଙ୍କା	5	ଶୈଖିକୀୟବ୍ୟୁଦ୍ଧା—ବୀଷ ଫ୍ରେଶର୍	100 ଟଙ୍କା
6	କ୍ଷେତ୍ରବିନିର୍ମାଣ ମେଡିଆ	2 ଟଙ୍କା	6	କ୍ଷେତ୍ରବିନିର୍ମାଣ ମେଡିଆ	2 ଟଙ୍କା
7	କାଲ୍‌ପାଇସି ସ୍ରୀରାତାରୀ	2 ଟଙ୍କା	7	କାଲ୍‌ପାଇସି ସ୍ରୀରାତାରୀ	2 ଟଙ୍କା

ეპროგრამი 2

ဒာရိုးလျှော်စွဲလွင် မြတ်ဖြူလေ အကြောင်းဖြစ်ပေါ်လောင်း စူးစွဲပြုပုံးဆွဲပုံး တော်သွေ့ပေါ်  
လွှာကြပ်လေဆါးပို့ စာရွှေ့မြှို့နယ် ပြည်ထောင်စုရဲ့ မြတ်ဆောင်လွှာပေါ် ဖြော်လွှာပေါ်

ଲୋକରୁଗୁଡ଼ିକରୀଙ୍କ ହାତରୁକୁଣ୍ଡଳ ପରେ ଦେଖିଲୁ ମିଥିତାପରେ ମିଳିବାକୁ ନାହିଁ ।

მასა, რომლის წარმოებაში დანერგვა მოგვცემს საკმაოდ დიდ ექონომიას. გარდა ამისა, ვაზის ფქვილი შესაძლებელია გამოყენებულ იქნეს ხის ფქვილის მავივრად, როგორც შეკვესებელი, და სამხრეთის რესტრანტის აღარ დასტირდება ხის ფქვილის შორეული რაონებიდან შემოტანა.

გამოყვლევა ჩატარდა პროფ. ი. გვერდშითელის კონსულტაციით, რის-თვისაც მას დიდ მაღლობას მოვასხენებთ.

თბილისის სახელმწიფო უნივერსიტეტი

(შემოვიდა 11.5.1972)

## ХИМИЧЕСКАЯ ТЕХНОЛОГИЯ

Л. А. ХУСКИВАДЗЕ

### ИСПОЛЬЗОВАНИЕ ОТХОДОВ ВИНОГРАДНОЙ ЛОЗЫ ДЛЯ ПОЛУЧЕНИЯ ТЕРМОРЕАКТИВНЫХ ПРЕССПОРОШКОВ

#### Резюме

Изучено использование отходов виноградной лозы для получения термореактивных пресспорошков. Установлена возможность получения из этих пресспорошков пластических масс. Физико-механические константы полученных пластических изделий превышают данных государственного стандарта. Установлено также, что виноградная мука может быть использована как наполнитель вместо древесной муки.

#### CHEMICAL TECHNOLOGY

L. A. KHUSKIVADZE

### UTILIZATION OF GRAPEVINE WASTES TO OBTAIN THERMOREACTIVE PRESSPOWDERS

#### Summary

The utilization of grapevine wastes to obtain thermoreactive presspowders has been studied. The feasibility of obtaining plastics from these presspowders has been ascertained. The physicomechanical constants of the obtained plastic articles exceed those laid down by the state standard. Vine flour may be used as a filling material instead of lignous powder.

#### ლიტერატურა — REFERENCES

1. П. Г. Семихренко и др. Культура подсолнечника. М., 1960.
2. А. И. Барг. Технология синтетических пластических масс. М., 1954.
3. С. Н. Ушаков, Е. Н. Фрейдберг. Сб. «Пластические массы». М., 1937.
4. В. М. Никитин. Химия древесины и целлюлозы. М., 1951.
5. И. П. Лосев, В. И. Каминский. Лесохимическая промышл., 4, 7, 1939.
6. И. М. Гвердцители, Х. Н. Фидлер. Пластические массы, 11, 1960, 14—18.
7. И. М. Гвердцители, Х. Н. Фидлер. Пластические массы, 11, 1961, 22—25.
8. ი. გვერდშითელი, ხ. ფიდლერი, გ. ჯაფარიძე, ხ. გადაბაძე. ტექნიკური ინ-ფორმაცია, 6, თბილისი, 1963.



## ХИМИЧЕСКАЯ ТЕХНОЛОГИЯ

Р. И. АГЛАДЗЕ (академик АН ГССР), Дж. Г. ШЕНГЕЛИЯ,  
Н. В. ДЕМУРИЯ

### ЭКСТРАКЦИОННЫЙ СПОСОБ ОЧИСТКИ РАСТВОРОВ ОТ ЖЕЛЕЗА В ПРОЦЕССЕ ПОЛУЧЕНИЯ МАРГАНЦЕВЫХ КОНЦЕНТРАТОВ

В работе [1] был предложен и изучен способ экстракционной очистки марганцевого электролита от железа с применением в качестве экстрагента жирных кислот промышленной фракции C<sub>7</sub>—C<sub>9</sub>. Основное преимущество этого способа, по сравнению с другими способами очистки, составляют минимальные потери основных компонентов электролита при полном отделении железа от раствора.

Жирные кислоты впервые были применены в процессе разделения катионов разных металлов обменно-экстракционным способом [2]. С целью уменьшения вязкости и расхода в процессе экстракции в качестве экстрагента брался раствор жирных кислот в каком-нибудь инертном растворителе, например керосине.

В работе [1] использование в качестве экстрагента жирных кислот без разбавления их керосином было обосновано тем, что при наличии керосина в электролите отрицательное влияние органических примесей на электролиз марганца сильно усиливается и получение электролитического марганца становилось невозможным.

Однако, когда в процессе гидрометаллургической переработки марганцевых руд конечным продуктом является не электролитический марганец, а высококачественные концентраты марганца в виде его разных соединений, естественно, ставится вопрос о применении для экстракционной очистки растворов от железа смеси жирной кислоты и керосина.

В данном сообщении рассмотрены результаты исследования по применению способа экстракционной очистки растворов от железа в процессе электрохимического обогащения марганцевых руд с использованием в качестве экстрагента смеси жирных кислот и керосина. Суть процесса электрохимического обогащения марганцевых руд изложена в работе [3].

Раствор, из которого проводилась экстракция железа, по своему составу соответствовал получаемому в процессе электрохимического обогащения марганцевых руд и содержал: MnSO<sub>4</sub> 80—100 г/л, Na<sub>2</sub>SO<sub>4</sub> 150 г/л, Fe<sup>3+</sup> 5—10 г/л. Концентрация жирных кислот промышленной фракции C<sub>7</sub>—C<sub>9</sub> в керосине, равнялась 400 г/л, pH раствора доводился до нужного значения добавлением NaOH и H<sub>2</sub>SO<sub>4</sub> и измерялся прибором ЛПМ-60М. Остальная методика эксперимента аналогична описанной в работе III.

В табл. 1 показана зависимость степени экстракции железа от начального pH водной фазы (pH<sub>нач</sub>) и от pH водной фазы после окончания процесса экстракции и наступления равновесия между обеими

фазами ( $\text{pH}_{\text{равн}}$ ). Как и следовало ожидать, с увеличением  $\text{pH}$  водной фазы степень экстракции железа увеличивается. Выше  $\text{pH}_{\text{нач}}$  5,6, которому соответствует  $\text{pH}_{\text{равн}}$  3,2, наблюдается практически полное извлечение железа из водной фазы и концентрация его в растворе становится ниже 0,1 г/л. Требуемая степень очистки раствора от железа достигается при полнейшем отсутствии перехода марганца в органическую фазу. Таким образом, в процессе экстракции происходит полное разделение ионов  $\text{Mn}^{2+}$  и  $\text{Fe}^{3+}$ . После окончания процесса экстракции в течение 2—3 минут происходит четкое разделение водной и органической фаз.

Таблица 1

Зависимость процесса экстракции железа от  $\text{pH}$  водной фазы.  
Объем экстрагента 30 мл, объем водной фазы 50 мл, продолжительность  
экстракции 2 часа

№ п/п	$\text{pH}_{\text{нач}}$	$\text{pH}_{\text{равн}}$	Равновесная концентрация железа, г/л		Коэффициент распределения D	$\lg D$
			в водной фазе	в органической фазе		
1	2,50	2,20	4,26	2,23	0,52	-0,28
2	2,90	2,30	3,20	3,99	1,25	0,11
3	4,35	2,60	0,84	7,99	9,51	0,98
4	4,86	2,80	0,54	8,53	15,42	1,19
5	4,91	2,85	0,40	8,66	21,63	1,34
6	5,30	2,98	0,20	8,99	49,95	1,70
7	5,62	3,20	0,10	9,17	91,70	1,96
8	5,85	3,40	0,04	9,30	2,2,50	2,37
9	6,00	3,50	следы	—	—	—

Разбавление экстрагента керосином приводит к смещению кривых зависимости логарифма равновесной концентрации железа от  $\text{pH}_{\text{равн}}$  прямее на оси ординат (рис. 1). Однако характер этой зависимости не

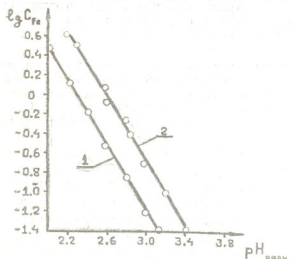


Рис. 1. Зависимость равновесной концентрации железа ( $C$ , г/л) от  $\text{pH}_{\text{равн}}$  в процессе экстракции. Экстрагенты: 1—жирная кислота, 2—раствор жирной кислоты и керосина

изменяется, по сравнению с тем, который наблюдался при применении неразбавленных жирных кислот. Наклоны прямых зависимости  $\lg C_{\text{Fe}} = f(\text{pH}_{\text{равн}})$  в обоих случаях одинаковы и равняются —1,7.

В условиях опытов время, необходимое для достижения равновесия между обеими фазами, составляло примерно 60 мин.

Сравнение приведенных результатов с полученными ранее [1] дает основание заключить, что разбавление жирных кислот керосином не оказывает существенного влияния на процесс экстракции железа из марганцевых растворов. Без изменения каких-либо технологических параметров достигается высокая степень очистки растворов от железа, а потери основных компонентов раствора при этом минимальны.

Удовлетворительные результаты были получены также при опробовании на электролиз растворов, очищенных от железа, экстракционным способом и содержащих примеси жирных кислот и керосина. Выход по току и состав основных продуктов электролиза —  $MnO_2$  на аноде и марганцевого концентрата в католите не отличаются от получаемых при электролизе растворов, не содержащих органических примесей (табл. 2).

Таблица 2

Выход по току и состав MnO<sub>2</sub> (1) и марганцевого концентраты (2), %

Содержание органических примесей в растворе	Mn	MnO <sub>2</sub>	Na	SO <sub>4</sub> <sup>2-</sup>	C	Модификация	Выход по току
Содержится	59,75 69,86	89,61 —	0,02 0,03	0,17 0,25	0,16 0,25	γ —	95,0 91,6
Не содержится	58,46 69,91	89,17 —	0,05 0,04	0,55 0,43	— —	γ —	95,4 92,8

Наличие углерода в  $MnO_2$  и в марганцевом концентрате в том количестве, которое указано в табл. 2, не должно оказывать отрицательного влияния на использование этих продуктов в промышленности. Эту точку зрения подтверждают данные, приведенные в [4].

Таким образом, способ экстракционной очистки марганцевых растворов от железа с применением в качестве экстрагента раствора жирных кислот в керосине можно успешно использовать в процессе электротехнического обогащения марганцевых руд.

Академия наук Грузинской ССР

## Институт неорганической химии и электрохимии

(Поступило 7.9.1972)

๔๙๘

R. I. AGLADZE, J. G. SHENGELIA, N. V. DEMURIA

**USE OF THE EXTRACTION METHOD OF PURIFICATION  
OF SOLUTIONS FROM IRON IN THE PRODUCTION OF  
MANGANESE CONCENTRATES**

**Summary**

The feasibility of the application of the method of extraction purification of solutions from iron during electrochemical dressing of manganese ores has been studied, using as the extraction agent fatty acids of the C<sub>7</sub>—C<sub>9</sub> commercial fraction dissolved in kerosene.

**СПОСОБЫ ОЧИСТКИ — ЛИТЕРАТУРА — REFERENCES**

1. Дж. Г. Шенгелия, Р. И. Агладзе. Сб. «Электрохимия марганца», т. III. Тбилиси, 1967, 440—445.
2. Л. М. Гиадин, П. И. Бобиков, Г. М. Патюков, А. М. Розен, Э. Ф. Коуба, А. В. Бугаева. Сб. «Экстракция», вып. II. М., 1962, 87.
3. Р. И. Агладзе. Тезисы докладов Всесоюзной конференции по электрохимии. Тбилиси, 1969, 19—21.
4. Л. Н. Джапаридзе, Д. Г. Отиашвили, Р. В. Чагуанава, А. Г. Шакакришвили. Исследования по переработке марганцевого и топливного сырья Грузии. Тбилиси, 1967, 15—19.



ГЕОЛОГИЯ

В. Р. НАДИРАДЗЕ, А. Л. ЦАГАРЕЛИ (академик АН ГССР)

О ГЛУБИНЕ ФОРМИРОВАНИЯ ЭНДОГЕННЫХ  
МЕСТОРОЖДЕНИЙ СУРЬЯНО-РТУТНО-МЫШЬЯКОВОЙ  
ФОРМАЦИИ БОЛЬШОГО КАВКАЗА (РАЧА-СВАНЕТИЯ)

Проблема глубины образования месторождений эндогенных руд постоянно привлекает внимание ученых. Ей посвящены ценные исследования Д. С. Коржинского [1], И. П. Кушнарева [2], В. И. Смирнова [3], Г. Борхерта [4] и др. Однако критерии глубинности все еще недостаточно разработаны.

Новые данные, полученные нами при исследованиях сурьмяно-рутно-мышьякового оруденения высокогорной части Южного склона Большого Кавказа могут пополнить сведения о глубине формирования гидротермальных месторождений низкотемпературной формации.

В строении Главного хребта и Южного склона Большого Кавказа участвуют древний докембрий (?) - палеозойский кристаллический комплекс, геосинклинальные, частично метаморфизованные, осадки дислокской серии (девон-триас), сланцево-песчанистые отложения нижней и средней юры с жилами диабазов, вулканогенический (порфиритовый) байос и флишевые отложения верхней юры-нижнего мела (рис. 1). Они образуют вытянутые в общекавказском направлении, опрокинутые на юг складчатые структуры, усложненные разрывами. Среди них выделяется так называемый Главный надвиг — нарушение глубокого заложения, вдоль которого кристаллический фундамент Главного хребта надвинут на юг на юру. Параллельные Главному надвигу крупные разрывы, проходящие внутри сланцевой юры и на границе последней с карбонатным флишем, контролируют проявления малых интрузий и жил гранит-порфиров, дацитов и альбитофиров и связанного с ними редкометального оруденения.

Месторождения подразделяются на ряд рудных формаций, расположенных линейно-зонально по убывающему температурному ряду от Главного надвига — структуры, рассматриваемой как подводящий канал для рудоносных растворов.

Вблизи надвига развита сурьмяно-вольфрамовая формация ксенотермальных руд типа Боулдер-Каунти, представленная двумя морфогенетическими разновидностями — минерализованными зонами, приуроченными к крутопадающим на север взбросам, прослеживающимся в осадках лейаса на сотни метров (реже километров) по простиранию и на 150—200 м по падению при общей мощности зон дробления 50—70 м, и секущими жилами мощностью 0,3—0,5 м, прослеженными на 150—200 м по простиранию и 50—80 м по падению.

Сурьмяно-полиметаллическая формация обособлена среди гранитоидов фундамента в виде минерализованной, крутопадающей на северо-восток зоны, прослеженной в милонитах более чем на 1 км, и в виде секущих жил, прослеживающихся на сотни метров при мощности от 0,1 до 1,5 м. Оруденение представлено сульфидами свинца и цинка с наложенной антимонитовой минерализацией.

Сурьмяная формация локализована в отложениях нижней юры, в зоне повышенной трещиноватости, идущей параллельно Главному надвигу в 1–2 км к югу от него. Она представлена кварц-антимонитовыми жилами, приуроченными к трещинам скола и частично отрыва. Боль-

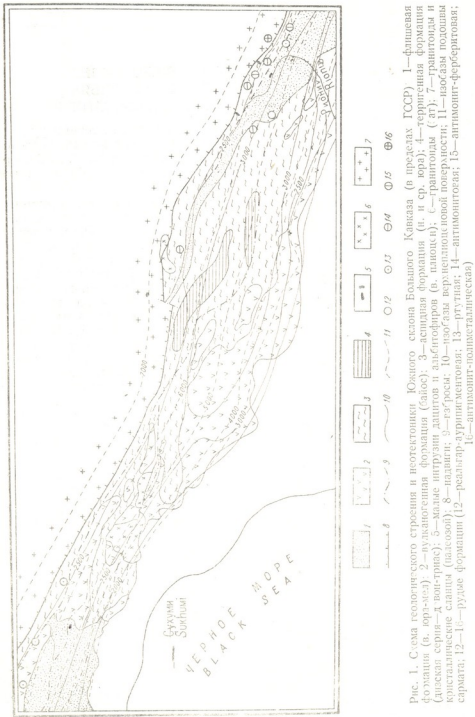


Рис. 1. Схема геологического строения и неотектоника Южного склона Большого Кавказа (в пределах ГССР). 1—флишевая фация (в. юр-мел); 2—вулканогенная формация (балос); 3—асидная формация (и. и ср. юра); 4—территория формации Гиезская серия—дюн-триас; 5—малые интрузии дацитов и альбитофиров (в. плюноци); 6—гранитоиды (ст); 7—изобазы подошвы кристаллических сланцев (палеозой); 9—газогазы; 10—изогазы верхнепалеоценовой поверхности; 11—изобазы подошвы сарматы; 12—16—рудные формации (12—реальгар-аруригентитовая; 13—рутная; 14—антимонит-ферберитовая; 15—антимонит-полиметаллическая)

шинство жил прослеживается по простианию на сотни метров, по падению на 100—200 м, в двух случаях на 500—800 м, что является уникальным для данного типа. Средняя мощность жил 0,3—0,5 м.

Ртутная формация в сланцево-песчанистой юре образует пластовые структуры на крыльях антиклиналей, линейные зоны минерализации вдоль пластовых нарушений и жильные тела в извилистых тектонических трещинах. Линейные зоны отличаются большим вертикальным размахом оруденения (до 1 км).

Уникальная ртутьно-мышьяковая формация увязывается с субширотными разрывами на границе терригенной юры и карбонатного флиша верхней юры-нижнего мела. Оруденение локализовано в окварцованных и карбонатизированных зонах дробления вдоль крупной (4,5—5 км) субширотной жилы альбитофира в виде линзообразных тел и рудных столбов. Реальгар-аурипигментовая формация локализована среди пород карбонатного флиша, в окварцованных песчанистых известняках, образуя зону мощностью до 20 м, прослеженную более чем на 500 м по простианию и около 200 м по падению. Рудная зона приурочена к разрыву с серией межпластиных и внутривмещающих трещин.

Отмеченные формации формировались на одном этапе гидротермального процесса стадийно (пять стадий). По морфогенетическим признакам, минеральному составу, текстурно-структурным особенностям руд и характеру изменения вмещающих пород месторождения типичны для конечных стадий развития складчатых систем и субвуликанических глубин. В формировании оруденения большую роль играл структурный фактор. Основные рудоконтролирующие структуры увязываются с заключительными движениями альпийского орогенеза. Возраст складок аттический, разрывные нарушения, контролирующие магматические образования и оруденение, увязываются с роданской фазой [5]. Молодой возраст малых гранитоидных интрузий подтверждается и данными абсолютного возраста (3—5 млн. лет) [6].

С учетом средне(верхне?)плиоценового возраста месторождений и наблюдаемого вертикального диапазона оруденений (рудоносного интервала [3]) глубина формирования редкометального комплекса устанавливается в пределах субвуликанической области по Борхерту [4]. Современное гипсометрическое положение рудных тел колеблется в пределах 1500—3000 м, при этом протяженность отдельных рудных тел по вертикали обычно 100—200 м, за исключением сурьмяного месторождения Золхито, где отдельные жилы прослежены на 500—800 м. Такой значительный вертикальный диапазон показывает, что формирование рудных тел кварц-антимонитовой формации происходило на относительно глубоких (1,5—2 км) горизонтах намечающегося рудоносного интервала, чем обусловлена сравнительно полная дифференциация рудоносных растворов, выраженная в простом минералогическом составе руд. Почти на аналогичных глубинах формировались, по-видимому, месторождения сложной кварц-сульфидной формации.

Таким образом, вертикальный диапазон или рудоносный интервал варьирует в пределах 1,5—2 км для кварц-сурьмяной, 0,1—1,5 км для диккит-киноварной и 0,5—1 км для реальгар-аурипигментовой формации.

Согласно А. Л. Цагарели [7—10], молодые интрузивы и рудные тела срезаны верхнеплиоценовым рельефом. Рельеф сарматского возраста, обычно принимаемый за неотектонический репер, реконструируется на высоте 7 км в осевой зоне хребта. Слой пород между сарматским и верхнеплиоценовым рельефом (рис. 1) размывался в течение нижнего и среднего плиоцена, и некоторая часть пород уже была удалена перед

формированием месторождений — до роданской фазы, что согласуется с представлением о субвуликанических глубинах. Эти данные позволяют достоверно определить глубину формирования сурьмяно-ртутно-мышьяковых руд в пределах 0,5—2,5 км (минимальная глубина на Лухумском месторождении мышьяка, максимальная на Зопхитском месторождении сурьмы).

Изложенное показывает, что требуется внести корректив в схему Борхерта, увеличив нижний предел субвуликанической глубины до 2,5 км.

Академия наук Грузинской ССР

Геологический институт

(Поступило 23.6.1972)

800408000

3. ნადირაძე, ა. ცაგარელი (საქართველოს სსრ მეცნ. ეკოლოგიის აკადემიუსი)

კავკასიონის ანთიმონ-ვარდისფუძვალ-დარიუშანის ფორმაციის  
მნიშვნელობის საბაზობის ფორმირების სიღრმის შესახებ  
(რაჭა-სვანეთი)

რეზიუმე

განხილულია ქავკასიონის დამალტებერუსურული იშვიათმეტალური მაღალული ფორმაციების წარმოშობის სიღრმის საკითხი გეომორფოლოგიურ-ნეოტექტონიკური მონაცემების გამოყენებით.

GEOLOGY

V. R. NADIRADZE, A. L. TSAGARELI

## ON THE DEPTH OF FORMATION OF ANTIMONY-MERCURY-ARSENIC ENDOGENIC DEPOSITS OF THE GREATER CAUCASUS (RACHA-SVANETI)

Summary

The question of the depth of formation of low-temperature rare-metal ore deposits of the Greater Caucasus is examined with regard to geomorphic and neotectonic data.

### СПИСОК СОВЕРШЕННОСТИ — ЛИТЕРАТУРА — REFERENCES

- Д. С. Коржинский. ДАН СССР, т. 133, № 5, 1960.
- И. П. Кушнарев. Глубины образования эндогенных рудных месторождений. М., 1969.
- В. И. Смирнов. Геология полезных ископаемых. М., 1969.
- Н. Воргерт. Geol. Rundsch., 33, № 1, 1951.
- П. Д. Гамкрелидзе, А. Л. Цагарели. Сб. «Основные черты и этапы структурного развития Кавказского перешейка в альпийском цикле». МГК, XXIII сессия, докл. сов. геологов, проблема З. М., 1968.
- М. М. Рубинштейн, А. Л. Хуцандзе и др. Труды XIII сессии Ком. опр. абр. возвр. геол. формаций. М., 1966.
- А. Л. Цагарели. Сб. «Четвертичная тектоника Грузии». МГК, XXII сессия, докл. сов. геологов, проблема II. М., 1969.
- А. Л. Цагарели. Тезисы докладов выездной сессии на Кавказе, АН СССР, М-во геол. СССР. М., 1966.
- А. Л. Цагарели. Сб. «О возрасте рельефа Кавказа». АН ГССР, Геол. ин-т, научная сессия, посв. 100-летию со дня рождения В. И. Ленина. Тезисы докладов. Тбилиси, 1970.
- А. Л. Цагарели, М. Г. Агаджев, Ф. С. Ахмедбейли, А. В. Мамедов. Тезисы докладов Комиссии по междунар. текст. картам АН СССР. Тбилиси, 1965.



ГЕОЛОГИЯ

Н. А. ЯСАМАНОВ

ЮРСКИЕ И ПАЛЕОГЕНОВЫЕ ПАЛЕОТЕМПЕРАТУРЫ МОРСКИХ  
БАССЕЙНОВ ЗАПАДНОГО ЗАКАВКАЗЬЯ

(Представлено академиком А. Л. Цагарели 5.5.1972)

Установление температурного режима древних бассейнов осадконакопления является одной из важных задач палеогеографии и, в частности, палеоклиматологии. Как известно, относительные температуры древних бассейнов определяются по литологическим признакам и составу морских организмов. Впервые методика определения абсолютных значений температур по изотопному составу органогенного кальцита была предложена Г. Юри и применена Г. Лоузистамом, а затем и Р. Буэном [1]. В Советском Союзе определение абсолютных значений температур по рострам позднемеловых белемнитов Европейской части СССР начали проводить Д. П. Найдин, Р. В. Тейс и др. [2, 3]. А. В. Хабаков и Т. С. Берлин [4] разработали палеотемпературную шкалу по величине отношения  $\text{Ca}/\text{Mg}$ . В [5] была предпринята попытка установить температуры по величине отношения  $\text{Ca}/\text{Mg}$  в рострах раннемеловых белемнитов и в раковинах брахиопод и устриц Западного Закавказья с обязательным контролем изотопными температурами. Оказалось, что температурный режим бассейна можно установить не только по свободно-плавающим (белемниты), но и по прикрепленным (брахиоподы) и свободнолежащим (устрицы) организмам, обитавшим в мелководных участках моря.

Автором настоящего сообщения определены палеотемпературы методом отношений  $\text{Ca}/\text{Mg}$  в рострах раннеюрских белемнитов, позднеюрских белемнитов (коллекция Т. А. Пайчадзе), в раковинах орбитоидов эоцен (коллекция Н. Ш. Салуквадзе) и в раковинах нуммулитов и дискоциклин (коллекция З. Д. Качарава). Раковинное вещество орбитоидов, нуммулитов и дискоциклин, а также ростры белемнитов состоят из органогенного кальцита. Отсутствие в них арагонита и доломита позволило заключить, что раковины после захоронения не подверглись вторичным изменениям. Для анализа отбирались образцы, состоящие из компактной раковины с плотной кальцитовой структурой и с отсутствием следов перекристаллизации (см. таблицу).

В раннеюрскую эпоху на территории Западного Закавказья располагался мелководный бассейн, в котором накапливались глинистые осадки. Начиная с каррика в осадках южной периферии Дзирульского массива увеличивалось количество карбоната и железа, а в Северной Абхазии (верховья рр. Бзыби, Гумиста, Келасури и Адане) на подводных кордильерах формировались известковые осадки. В домере на перифериях Дзирульского массива в мелководных условиях накапливались известковые осадки. К северо-западу и к северу от Дзирульского массива известковые фации сменились более глубоководной глинистой, в которой остатки ископаемых организмов очень редки.

Состав фауны домера позволил К. Ш. Нуцубидзе [6] сделать вывод о том, что в бассейне Западного Закавказья обитали исключительно теплолюбивые средиземноморские организмы. Эти данные хорошо согласуются с полученными температурами. Так, по раковинам брахиопод домера Северной Абхазии температура оказалась равной 24—24,5°. Близкие значения температур (около 23—23,6°) были получены по рострам домерских белемнитов рода *Passaloteuthis* Дзирульского массива.

№ п/п	Видовое или родовое название	Местона- хождение	Возраст	Число образцов	Отноше- ние Ca/Mg	Средняя температура, град
1	<i>Passaloteuthis</i> sp.	с. Шроша	домер	2	70	23,3
2	<i>Zeilleria</i> sp.	р. Чхалта	"	1	52	24,3
3	<i>Mesoteuthis ex gr. sulcata</i> Que. st.	с. Шроша	н. тоар	2	100	21,6
4	<i>Mesoteuthis tripartita</i> Sclotri.	"	в. тоар	3	190	15,4
5	<i>Homaloteuthis</i> sp.	"	н. аален	2	387	7,0
6	<i>Mesoteuthis</i> sp.	"	"	1	384	7,2
7	Белемнит	оз. Эрио	келловей	1	161	17,2
8	Белемнит	с. Пс у	"	1	111	20,6
9	Белемнит	р. Кварила	"	1	165	17,0
10	<i>Pectunculus</i> sp.	р. Джампала	н. палеоцен	2	35	25,8
11	<i>Discocyclina</i> sp.	с. Гум ати	н. эоцен	4	61	24,0
12	<i>Nummulites conicus</i> Katsch.	Лечхуми	ср. эоцен	2	28	26,2
13	<i>Orbitoides</i>	Н. Афон	"	10	106	21,0
14	<i>Discocyclina</i> sp.	Ахалкалаки	"	4	36	25,6
15	<i>Nummulites laevigatus</i> Brug.	Ахалсонели	"	5	42	25,2
16	<i>N. murchisoniformis</i> Katsch.	Лечхуми	в. эоцен	4	29	26,0
17	<i>Discocyclina sella</i> Sci. lumb.	Цагери	"	6	79	22,7
18	<i>Nummulites katscharavaei</i> Mrevl.	с. Дзегви	"	4	40	25,4
19	<i>Discocyclina obchasicus</i> Katsch.	Сулави	"	4	45	25,0
20	<i>Orbitoides</i>	р. Бзыби	"	2	109	20,8

В раннем тоаре на перифериях Дзирульского массива обитали как среднеевропейские, так и средиземноморские организмы, но к концу тоара средиземноморские формы исчезли, уступив место среднеевропейским [6]. Одной из причин изменения в составе органического мира, по-видимому, являлось резкое снижение температурных условий. По данным палеотермометрии установлено, что в раннем тоаре температуры среди обитания белемнитов колебались в пределах 21—22°, но в позднем тоаре они понизились до 15—16°.

Дальнейшее понижение температуры отмечается в раннем аалене. По рострам *Homaloteuthis* она снизилась до 7—7,2°, а по *Mesoteuthis* — до 7,2°. Резкое изменение отношения кальция и магния в рострах белемнитов было связано с изменением температурного режима, а не с опреснением морской воды. В раннем аалене опреснение не могло иметь места, так как, несмотря на начало регрессии морского бассейна, фауна оставалась стеногалинной, в которой преобладали относительно холоднолюбивые формы.

В байосе и в бате на территории Западного Закавказья господствовали влажные и теплые условия. Об этом свидетельствуют широкое распространение средиземноморских теплолюбивых организмов в морских бассейнах байоса, развитие влаголюбивой и теплолюбивой растительности и процессы угленакопления в бате.

В позднеюрскую эпоху началась аридизация климата, которая с течением времени усиливалась. В позднеюрских лагунах накапливались гипсонасные и доломитовые осадки, а в ряде районов — и соли. Лагунно-континентальные бассейны с севера ограничивались рифовыми массивами, за которыми располагались моря нормальной солености (Западно-Абхазский и Рачинский бассейны). В обоих бассейнах обитали стено-галинные и теплолюбивые организмы — головоногие и двустворчатые моллюски, а также кораллы.

Палеотемпературы для позднеюрской эпохи были определены лишь по келловейским белемнитам, согласно которым в Западно-Абхазском бассейне температура среди обитания колебалась в пределах 20—21°, а в Рачинском — в пределах 17—18°. Несомненно, что в более поздние века позднеюрской эпохи температуры были более высокими, чем в келловее, так как начиная примерно с середины окефорда начали формироваться рифогенные, эвапоритовые и доломитовые эсадки в морских бассейнах и слабокарбонатные красноцветы на суше.

На протяжении мелового периода климат в Западном Закавказье периодически изменялся то в сторону похолодания, то, наоборот, в сторону потепления [5].

В палеогене на территории Западного Закавказья установился жаркий тропический климат. В палеоцене мелководный бассейн был населен теплолюбивыми двустворчатыми моллюсками. Для палеоцена имеются лишь два определения температур по раковинам *Pectunculus*, которые обитали на северо-западе бассейна Западного Закавказья. Температуры среди их обитания колебались в пределах 25—26°.

В раннем и в среднем эоцене в бассейне Западного Закавказья продолжалось накопление известковых осадков, а море было населено организмами средиземноморского типа, главная роль среди которых принадлежала южным видам брахиопод, морским ежам, орбитоидам, нуммулитам и дискоциклинам. Нижне- и среднеэоценовые температуры, установленные по нуммулитам и дискоциклинам, колебались в пределах 24—26°.

В позднем эоцене в море с нормальной соленостью обитали главным образом тропические организмы — орбитоиды нуммулиты, дискоциклины. Температуры позднего эоцена, полученные по перечисленным организмам, колебались в пределах 21—26°.

Приведенные данные по распределению температур среди обитания в юрском и палеогеновом морях Западного Закавказья, установленные методом кальций-магниевых отношений в рострах белемнитов, в раковинах некоторых двустворчатых моллюсков и крупных фораминифер, довольно хорошо согласуются с выводами по палеоклиматологии юрского и палеогенового периодов, основанными на литологических и палеонтологических признаках.

Всесоюзный институт минерального сырья  
 Москва

(Поступило 5.5.1972)

## Б. იასამანოვი

დასავლეთ აშიერებადებასის იურული და პალეოგენური ზღვიური  
აუზების პალეოორგენური გეოცენტრი

## რეზიუმე

პალეოტემპერატურები დალგენილია იურული ბელემნიტების როსტრები, პალეოცენური ორსაგლულიანებისა და ეოცენური ორბიტოდების, ნუმულიტების და დისკოციკლინების ნიუარებში  $\text{Ca/Mg}$  შეფარდების მეთოდით. მიღებულია შემდეგი ტემპერატურები: დომერულში  $23-24,5^\circ$ , ადრეტოარსულში  $21-22^\circ$ , გვიანტარსულში  $16-17^\circ$ , ალევალენურში  $7-7,2^\circ$ , კალვიურში  $17-20,6^\circ$ , პალეოცენში  $25,8^\circ$  და ეოცენში  $21-26^\circ$ .

## GEOLOGY

N. A. YASAMANOV

JURASSIC AND PALEOGENE PALEOTEMPERATURES OF  
MARINE BASINS OF WESTERN TRANSCAUCASIA

## Summary

On the basis of the determination of the  $\text{Ca/Mg}$  ratio in the shells of Paleocene molluscs, Eocene orbitoids, nummulites and discocyclines, and in Jurassic belemnite rostrums the following average paleotemperature conditions of the environment of these organisms have been determined:  $23-24.5^\circ$  in the Domerian;  $21^\circ-22^\circ$  in the Early Toarcian;  $15^\circ-16^\circ$  in the Late Toarcian;  $7^\circ-7.2^\circ$  in the Early Aalenian;  $17^\circ-21^\circ$  in the Callovian and  $21^\circ-27^\circ$  in the Paleogene.

## ლიტერატურა — REFERENCES

1. Р. Буэз. Палеотемпературный анализ. М., 1969.
2. Д. П. Найдин, Р. В. Тейс, М. С. Чупахин. Геохимия, № 8, 1956.
3. Р. В. Тейс, Д. П. Найдин, И. К. Задорожный, С. С. Столярова. Геохимия, № 8, 1956.
4. Т. С. Берлин, А. В. Хабаков. Геохимия, № 11, 1966.
5. Н. А. Ясаманов. Изв. АН СССР, сер. геол., № 3, 1969.
6. К. Ш. Нуцубидзе. Нижнеюрская фауна Кавказа. Тбилиси, 1966.

Г. Я. СИХАРУЛИДЗЕ

НОВЫЙ РОД *PARETALLONIA (HEXACORALLA)*  
ИЗ НИЖНЕМЕЛОВЫХ ОТЛОЖЕНИЙ ЗАПАДНОЙ  
ГРУЗИИ

(Представлено академиком А. Л. Цагарели 20.4.1972)

Настоящая статья написана по материалам, собранным в ургонских известняках хребта Потхреви на северном крыле Шкмерской синклинали. Ургонская фация в Грузии до недавнего времени относилась к баррему. Э. В. Котетишвили (III, стр. 35) на основе изучения ряда разрезов по нижнему мелу пришла к выводу, что «в одних разрезах ургон охватывает часть верхнего баррема, а в других не поднимается выше нижнего баррема и может быть и более древним».

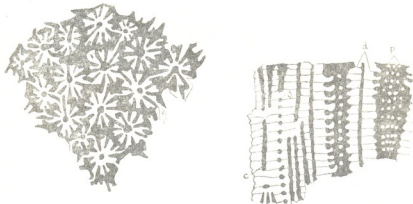


Рис. 1 *Paretallonia bendukidzeae* sp. nov.: а—поперечное сечение ( $\times 5$ );  
б—продольное сечение ( $\times 5$ ). Условные обозначения: с—синаптикулы,  
д—диссипименты, с—столбик, р—поры

Последнее подтверждается нами находкой в ургонских известняках с. Шкмери готеривских кораллов *Styliina elegans* Eichw., *Ellipsocoenia taurica* Kar. Вместе с ними найдены представители нового рода *Paretallonia*, описание которых приводится ниже.

Подотряд *Eupsammicina* Alloiteau, 1952

Семейство *Acroporidae* Verrill, 1901

Род *Paretallonia* Sikharulidze gen. nov.

Название рода от гр—соответствующий (лат.) и рода *Etallonia*.

Типовой вид—*Paretallonia bendukidzeae* sp. nov., Западная Грузия, с. Шкмери, готерив.

41. „მთამბე“, ტ. 68, № 3, 1972

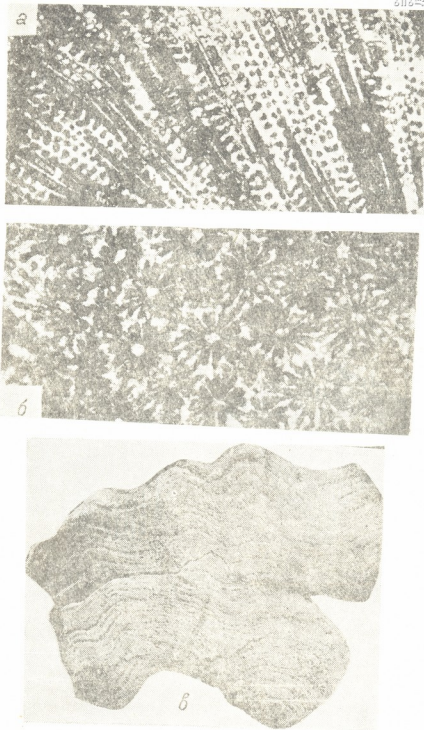


Рис. 2. *Parellonia bendukidzeae* sp. nov. (голотип № 36/77). а—продольное сечение ( $\times 10$ ), б—поперечное сечение ( $\times 15$ ), в—вид сбоку (нат. вел.) (с. Шкмери, готерив)

**Диагноз.** Субциркоидная массивная колония с бугорчатой поверхностью. Радиальные элементы компактные, сливающиеся или несливающиеся. Их боковая поверхность покрыта мелкими зернами. На периферических краях чашек находятся многочисленные синаптикулы, внутри чашек они отсутствуют. Эндотека обильная, состоит из днищ. Стенка — регулярно-пористая синаптикулотека. Столбик грифелевидный. Почекование внечашечное. Перитекаrudиментарна.

Видовой состав — типовой вид.

Сравнение и замечания. Род очень близок к *Etallonia* Reniewicz [3], стр. 246), отличается от него лишь наличием грифелевидного столбика. Э. Ронегич, заного неясен, в своей материала, помещает *Etallonia* в семейство *Acroporidae* Verrill (Cleavelier [4], стр. 498). В отличие от представителей этого семейства и *Etallonia* и *Paretallonia* имеютrudиментарную перитеку.

Распространение: Западная Грузия, готеривские отложения.

*Paretallonia bendukidzeae*, sp. nov.

Рис. 1, 2

Название вида по имени Н. С. Бендукидзе.

Голотип № 36/77. ГИН АН ГССР, Западная Грузия, с. Шкмери, готеривские отложения.

Материал: одна целая колония и пять обломков хорошей сохранности.

Размеры: диаметр кораллитов — 1—1,3 мм, расстояние между центрами кораллитов 1—1,3 мм, количество септ — 20, количество днищ на 2 мм — 6—7, диаметр колонии — 100×60 мм, высота колонии — 150 мм.

**Описание.** Массивная, субциркоидная колония. Кораллиты расходятся от основания колонии пучками. На боковой поверхности видны волнообразные линии роста, а сверху расположены бугорки. Чашки субполигональные. Радиальные элементы компактные, двух порядков, представлены как бисептальными пластинками, так и соединенными под углом септами. 10 септ первого порядка достигают центра чашки. Септы второго порядкаrudиментарны. Септам первого порядка в соседней чашке соответствуют септы второго порядка. Стенка — сильно пористая синаптикулотека. Поры расположены на разных расстояниях. В продольном сечении видны многочисленные субгоризонтальные днища. Столбик грифелевидный. Почекование внечашечное. Перитека —rudиментарна, представлена горизонтальными синаптикулярными перегородками.

**Замечания.** Так как в роду *Paretallonia* имеется лишь один типовой вид, считаем целесообразным сравнить его с представителем близкородственного рода *Etallonia minima* (Etalloni) ([2], стр. 247), стр. 247), от которого он отличается присутствием столбика (различие родового ранга), маленькими чашками и большим количеством септ. Внешним видом — бугорчатой поверхностью, очертанием чашек и расположением септ — описываемый вид похож на *Actinastreae collig-*

*losa* (Tr.), но внутренним строением они настолько отличаются друг от друга, что принадлежат к разным отрядам.

Распространение: с. Шкмери, готеривские отложения.

Академия наук Грузинской ССР

Геологический институт

(Поступило 4.5.1972)

ЗАЛІЗОБІЧНІ ПОДІЛЫ

8. СІХАРУЛІДЗЕ

ახალი გვარი *PARETALLONIA* (*HEXACORALLA*)  
 დასავალი საქართველოს ქვედაცარცული ნალექებიდან  
 65 % მ მ მ

ოჯებ *Acroporidae* Verrill-ის გამოყოფილია ახალი ქვედაცარცული გვარი *Paretallonia* Sikharulidze. აღწერილია ტიპობრივი სახე *Paretallonia bendukidzeae* sp. nov.

PALAEONTOLOGY

G. I. SIKHARULIDZE

A NEW GENUS *PARETALLONIA* (*HEXACORALLA*) FROM  
 THE LOWER CRETACEOUS DEPOSITS OF WESTERN  
 GEORGIA

Summary

A new Lower Cretaceous genus *Paretallonia* Sikharulidze of the family *Acroporidae* Verrill has been established. It differs from other genera of this family by imperforate septa (with the exception of *Etallonia* Roniewicz) and from *Etallonia* only by a styliform columella. A new type-species *Paretallonia bendukidzeae*, is described.

ЛІТЕРАТУРА — REFERENCES

1. Э. В. Котетишвили. Стратиграфия и фауна колхидитового и смежных горизонтов Западной Грузии. Тбилиси, 1970.
2. Н. С. Бендукидзе, А. А. Чиковани. Основы палеонтологии. М., 1962.
3. E. Roniewicz. Acta Palaeontologica Polonica. Warszawa, 1966.
4. J. P. Chevalier. Mem. Soc. Géol. France, 1961.



УДК 552.52(479.22)

## ЛИТОЛОГИЯ

А. И. МАХАРАДЗЕ, З. И. КИЛАСОНИЯ

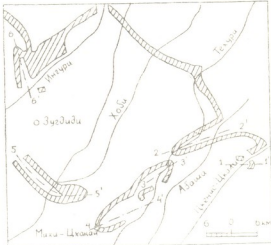
### К ЛИТОЛОГИИ МАЙКОПСКОЙ СЕРИИ МЕГРЕЛИИ

(Представлено членом-корреспондентом Академии Г. А. Тваличелидзе 4.5.1972)

Отложения майкопской серии на территории Мегрелии перспективны на нефтегазоносность. Помимо этого, в междуречье Цхенисцкали-Абаша выделяется горизонт кремнисто-цеолитовых туфов и туффитов раннего олигоцена, аналогичный развитому на Дзирульском массиве и в Квирильской депрессии, где к нему приурочены марганцевые месторождения. Все это обуславливает прикладное значение исследований майкопской серии Мегрелии.

Майкопская серия здесь обнажается в виде непрерывной узкой полосы по северо-восточной периферии Центральной Мегрельской депрессии и в крыльях окаймляющих ее антиклиналей (см. схему). Наибольшей мощности она достигает в центральной части северо-восточной периферии депрессии ( $O_1$  до 105 м,  $O_{1+2}$  до 400 м,  $N^1$  до 550 м), наименьшей — в крыльях антиклиналей ( $O_1$  до 10 м,  $O_{1+2}$  до 45 м,  $N^1$  до

Схема обнажений (штрихованные) майкопской серии Мегрелии —— ось антиклиналии: 1—1'—Хунци-Матходжская; 2—2'—Агадатская; 3—3'—Накалакевская; 4—4'—Экская; 5—5'—Цаишская; 6—6'—Сатаанджойская



50 м), где местами, в районах несогласного залегания олигоценовых отложений на более древние (Сатаанджойская антиклиналь, северо-западное окончание Цаишской и юго-западная периклиналь Экской антиклиналии) нижняя часть отложений (хадумский горизонт) отсутствует. На юго-западной периклинали Экской антиклиналии нами установлен постепенный переход глауконитовых мергелей позднего эоценена в карбонатные глины хадума. Поэтому несогласие между этими отложениями, имеющее место в западной части Экской антиклиналии, по-видимому, обусловлено тектоникой.

Раннеолигоценовые образования Центральной Мегрельской депрессии, за исключением междуречья Цхенисцкали-Абаша, представлены карбонатными глинами (хадум). В последних снизу вверх карбонатность постепенно уменьшается, и они сменяются некарбонатными майкопскими глинами среднего олигоцена. Соответственно меняется и цвет пород — от коричневого до темно-серого. В нижней части хадума глины обладают тонкокллитчатой, а в верхней — тонкослоистой до листовой отдельностью. На поверхности выветривания наблюдаются присыпки ярозита и гипса. Под микроскопом эти глины буровато-коричневого цвета и представляют собой тонкочешуйчатую массу с примесью равномерно распределенного пелитоморфного карбоната. Присутствуют также растительный дегритус и тонкорассийный пирит, образующий иногда крупные агрегаты. Содержание алевритовых частиц не превышает 1—1,5%. Они представлены кварцем, средним, реже кислым плагиоклазом и редко калишпатом.

В междуречье Цхенисцкали-Абаша к раннему олигоцену относится горизонт кремнисто-цеолитовых туфов и туффитов мощностью 12—14 м, содержащих клиноптиолит и опал, часто перекристаллизованный в халцедон. Горизонт сложен разнообразными породами, в которых содержание пирокластического и терригенного материала, опала, клиноптиолита и монтмориллонита, образовавшегося за счет замещения витрического лепла, варьирует в широких пределах. В нижней части горизонта распространены опаловые туфоаргиллиты, в средней — опалолиты и опаловые туфы и туффиты. Последние обладают клочковой текстурой и пелитовой структурой, реже развита псаммо-алевро-пелитовая структура. Здесь же встречаются спонголиты, как чистые, так и туфоспонголиты и спонголитовые туффиты. В верхней части горизонта распространены опаловые туффиры пелитовой, реже алевро-пелитовой структуры, которые через опалистые туфоаргиллиты переходят в майкопские глины. В нижней части олигоцена, как в горизонте кремнисто-цеолитовых туфов и туффитов, так и за его пределами встречаются редкие, тонкие (до 2—3 см) прослои бентонизированного витрического лепла зеленовато-серого цвета, которые на поверхности выветривания приобретают кремовую окраску.

В восточной части горизонта кремнисто-цеолитовых туфов и туффитов породы слабокарбонатные, а карбонатное вещество представлено доломитом. К западу карбонатность возрастает, доломит сменяется кальцитом, и в районе р. Абаша кремнисто-цеолитовые туфы и туффиты замещаются карбонатными глинами.

Тяжелая фракция кремнисто-цеолитовых туфов и туффитов представлена пиритом, глауконитом, фосфатизированными костными остатками рыб, апатитом и редкими зернами циркона, легкая — обломками опала, спикулами губок, клиноптиолитом, кварцем и средним плагиоклазом, глинистые минералы — глауконитом, монтмориллонитом и неупорядоченно-смешаннослоистым глауконит-монтмориллонитом.

Раннеолигоценовые образования согласно сменяются однообразными майкопскими глинами среднего и позднего олигоцена. Они тонкослоистые, битуминозные, темно-серого до черного цвета, под микроскопом обнаруживают массивную или слоистую текстуру, структура тонкочешуйчатая. В нижней части майкопских глин содержание псаммо-алевритовых частиц незначительно (до 2%), прослои песчаников отсутствуют. В верхней части к глинам примешивается существенное количество псаммо-алевритового материала и появляются прослои песчаников.

К майкопским глинам верхов позднего олигоцена северо-восточной периферии Центральной Мегрельской депрессии приурочены пропластики, линзы и прожилки гипергенных железо-марганцевых руд [3].

Терригенный комплекс олигоцена характеризуется постоянством минерального состава. Он граувакко-кварцевый с незначительной примесью аркозового материала, представленный кварцем, измененным средним плагиоклазом, обломками эфузивов и редкими зернами сильно измененного калишпата и кислого плагиоклаза. Выход тяжелой фракции менее 1%. Состоит она из пирита, образующего зернистые агрегаты, сложенные отдельными сферолитами, редко кубическими кристаллами. Присутствуют также апатит, преобладающий над остальными прозрачными минералами, циркон, турмалин, рутил, эпидот, глауконит, хлорит и франклит, замещающий костные остатки рыб. Легкая фракция состоит из агрегатов глин, кварца и плагиоклаза. Породообразующим глинистым минералом является монтмориллонит, к которому в незначительном количестве примешивается гидрослюдя, неупорядоченно-смешаннослойный гидрослюдя-монтмориллонит, а в верхах позднего олигоцена — каолинит.

Между поздним олиоценом и ранним миоценом граница проводится условно ниже пачки, в которой, наряду с майкопскими глинами, заметную роль играют прослои алевролитов и песчаников. В раннем миоцене снизу вверх количество песчаников и алевролитов возрастает и они становятся доминирующими.

В раннемиоценовых образованиях, в отличие от олиоценовых, присутствуют карбонатное вещество (кальцит) и в существенном количестве аркозовый материал (калишпат, кислый плагиоклаз, слюда, обломки кислых эфузивов). Терригенный комплекс имеет аркозово-граувакково-кварцевый состав. Тяжелая фракция состоит из пирита, магнетита, рутила, апатита, циркона, хлорита, редко зеленого турмалина, роговой обманки и авгита. В легкой фракции содержатся кварц, калишпат, кислый и средний плагиоклазы и кальцит. Глинистые минералы представлены монтмориллонитом, неупорядоченно-смешаннослойным гидрослюдой-монтмориллонитом и в незначительном количестве гидрослюдой, хлоритом и каолинитом.

В майкопской серии Мегрелии присутствуют линзы и конкреции карбонатов и мергелей. Карбонатное вещество представлено кальцитом, а в нижней части серии — также сидеритом и анкеритом.

История геологического развития Мегрелии в олиоцен-раннемиоценовое время представляется в следующем виде. В предолиоценовое время на территории Грузии проявилась тектоническая фаза, обусловившая рецессию позднеэоценового моря [2], которое, однако, полностью не покинуло Центральную Мегрельскую депрессию. Здесь Абедатская, Накалакевская и Эксская антиклинали представляли собой подводные поднятия, а Цаишская и Сатанджийская вздымались над морем в виде островных гряд.

В раннеолиоценовое время в бассейн, наряду с терригенным привносился и вулканогенный материал дакитового состава и поступали гидротермальные растворы, обусловившие образование кремнистых пород (горизонт кремнисто-цеолитовых туфов и туффитов). Гидротермальные растворы, проявившиеся в аналогичной обстановке на Дзирульском массиве и в Квирильской депрессии, содержали марганец, что позволяет предполагать потенциальную перспективность территории Мегрелии на этот металл.

С наступлением олиоценовой эпохи восходящее движение сменяет сисходящим, и раннеолиоценовое море покрывает прибрежные



участки и антиклинальные острова, обнажавшиеся в период поздне-эоценовой регрессии.

Верхи раннего олигоцена, средний олигоцен и низы позднего в тектоническом отношении характеризуются относительным покоем. В конце позднего олигоцена начинается регрессия, которая в конце раннего миоцена достигает максимума, в результате чего площадь бассейна резко сокращается и глинистые осадки смениются песчаниками.

Кавказский институт  
минерального сырья  
им. А. А. Твалирелидзе

(Поступило 5.5.1972)

၁၀

Digitized by srujanika@gmail.com

სამაგრელოს გაიკონის სირის ლიტოლოგიისათვის

Հայոց Յա

სამეცნიერო მაკიატის სკრიპტის ნალექები ქვედა ოლიგოცენში წარმოდგენილია კარბონატული თიხებითა და კაფინ-ცენოლითინი ტუფებით, აგრეთვე ტუფიტებით, შუა და ზედა ოლიგოცენში — ტიპიური მაკიატის თიხებით, ხოლო ქვედა მიოცენში — თიხებისა და ქვიშაქვების მორიგეობით.

## LITHOLOGY

A. I. MAKHARADZE, Z. N. KILASONIA

## TOWARDS THE LITHOLOGY OF THE MAIKOPIAN SERIES OF MEGRELIA

## Summary

The Lower Oligocene sediments in the Maikopian series of Megrelia are represented by clays, siliceous-zeolitic tuffs and tuffites; the Middle and Upper Oligocene by typical Maikopian clays, and the Lower Miocene by alternation of clays and sandstones.

БИБЛИОГРАФИЯ — ЛИТЕРАТУРА — REFERENCES



ГЕОХИМИЯ

Д. М. ШЕНГЕЛИА, Д. Н. КЕЦХОВЕЛИ, А. В. МИЛОВСКИЙ

ФТОР В БИОТИТАХ ИЗ ПАЛЕОЗОЙСКИХ ГРАНITOИДОВ  
СЕВЕРНОГО КАВКАЗА

(Представлено членом-корреспондентом Академии Г. М. Заридзе 30.6.1972)

В предлагаемой статье излагается материал, основанный на результатах определения фтора в 89 образцах биотита из различных генетических типов палеозойских гранитоидов, мигматитов и пегматитов Северного Кавказа<sup>(1)</sup>.

Биотит — наиболее широко распространенный темноцветный минерал в гранитоидах Северного Кавказа. Однако вопрос о распространении фтора в биотитах этих пород ранее определялся только в 13 анализах [1].

Одним из авторов данной статьи [2] среди палеозойских гранитоидов Северного Кавказа выделены метасоматические и палингенные типы гранитоидов, освещен вопрос их генезиса и показано, что различные генетические типы гранитоидов характеризуются определенными геологическими, петрохимическими, минералогическими и геохимическими признаками.

Среднее содержание фтора в биотите из метасоматических гранитоидов 0,297% (51 определение). На рис. 1 сопоставляются частоты встречаемости фтора в биотитах из немикроклинизированных и микроклинизированных метасоматических гранитоидов, сравниваются эти разновидности гранитоидов, так как в процессе микроклинизации гранитоидов в подавляющем большинстве случаев происходит сорбирательная перекристаллизация биотита, а в мусковитизированных и альбитизированных разновидностях гранитоидов биотит либо замещается мусковитом и хлоритом, либо выступает в роли релектового неравновесного минерала. Статистическая обработка материала (вычисление средних составов и расчеты стандартного отклонения и критерия Стьюдента) показала, что биотиты из микроклинизированных метасоматических гранитоидов значительно отличаются по содержанию фтора от биотитов из немикроклинизированных гранитоидов (см. таблицу). По-видимому, ограниченное вхождение фтора в состав биотита в процессе микроклинизации, протекающей в низкотемпературных условиях и при низком парциальном давлении воды [2] обусловлено поведением фтора в щелочной среде.

Содержание фтора в биотите из палингенных плагиогранодиоритов низкое и стабильное (среднее содержание 0,215%, четыре определения). Низкотемпературная переработка палингенных плагиогранодиоритов, выражаящаяся в мусковитизации, микроклинизации, альбитизации и скварцевании пород [2, 3], протекает в различных условиях щелочности-

(1) Фотометрические определения фтора в торий-арсеназо выполнены в химической лаборатории Центральной геохимической экспедиции ИМГРЭ Министерства геологии СССР (аналитик З. В. Вихрова) и в химико-аналитической лаборатории КИМСа (аналитик Л. Д. Арешидзе).

кислотности среды. При этом либо биотит замещается мусковитом, микроклином и хлоритом, либо путем собирательной кристаллизации образуется биотит новой генерации. Данные таблицы и рис. 1 показывают, что в перекристаллизованном в низкотемпературных условиях биотите отчетливо заметно повышение содержания фтора, что, видимо, объясняется высокой концентрацией минерализаторов в растворах, вызывающих преобразование гранитоидов. Имеется непрерывный ряд частоты встречаемости содержания фтора (рис. 1) в биотите от 0,15 до 0,60% (17 определений); среднее же его содержание (0,383%) значительно больше, чем в биотите непереработанного палингенного плагиогранодиорита и других гранитоидов.

Среднее содержание ( $\bar{x}$ ) в % и стандартное отклонение (s) фтора в биотитах из палеозойских гранитоидов Северного Кавказа

Типы гранитоидов	I	II	III	IV	V	VI	VII	VIII
Кол-во анализов	23	28	4	17	3	5	6	3
Фтор	$\bar{x}$	0,34	0,26	0,215	0,38	0,19	0,36	0,20
	s	0,112	0,075	0,021	0,154	0,019	0,171	0,041

Примечание. Генетические типы гранитоидов I—VIII те же, что на рис. 1.

Роль гибридизма в формировании состава продуктов кристаллизации палингенной магмы выражается в обогащении их биотитом и в меньшей степени альбитом [2]. Содержание фтора в биотите из гибридных гранитоидов (среднее 0,19%) стабильное и наиболее низкое сравнительно с биотитами из других генетических типов гранитоидов. Видимо, низкое содержание фтора в биотите из гибридных гранитоидов является следствием потери минерализаторов палингенной магмы в процессе взаимодействия с вмещающими породами. Однако следует указать, что имеющийся аналитический материал (три определения) недостаточен для надежной оценки содержания фтора в биотите из этих пород.

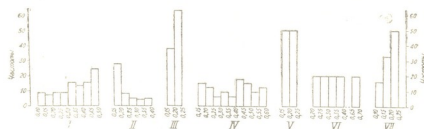


Рис. 1. Частоты встречаемости фтора (в вес. %) в биотитах из гранитоидов. I—немикроклинизированные метасоматические гранитоиды; II—микроклинизированные метасоматические гранитоиды; III—палингенные гранитоиды; IV—палингенные гранитоиды, интенсивно микроклинизированные, альбитизированные и мусковитизированные; V—гибридные гранитоиды; VI—гибридные гранитоиды, интенсивно микроклинизированные, мусковитизированные и альбитизированные; VII—магматиты (реститы)

Постмагматические процессы в гибридных гранитоидах аналогичны таковым в палингенных гранитоидах. Следовательно, можно ожидать, что фтор в биотитах из гибридных гранитоидов, претерпевших низкотем-

пературную переработку, будет распределен так же, как в биотитах из преобразованных палингенных гранитоидов. И действительно, содержание фтора в биотитах из микроклинизированных, мусковитизированных и альбитизированных палингенных и гибридных гранитоидов примерно одинаково (соответственно  $\bar{x} = 0,38\%$ ,  $S = 0,134\%$  и  $\bar{x} = 0,36\%$ ,  $S = 0,171\%$ ). Отсюда следует, что увеличение содержания фтора в биотитах интрузивных гранитоидов связано с постмагматическими процессами.

Содержание фтора в биотитах палеозойских гранитоидов Северного Кавказа ( $0,10$ — $0,68\%$ , среднее содержание  $0,31\%$ , 80 определений) в 2 раза ниже, чем констатированное К. У. Корренсом [4] в биотитах из гранитоидов Северной Америки ( $0,26$ — $2,38\%$ , среднее содержание  $0,62\%$ ). Умеренное и низкое содержание фтора в биотите из гранитоидов Северного Кавказа, по мнению Г. Л. Одикаձե III, является общей геохимической особенностью гранитоидов Большого Кавказа.

Низкое содержание фтора зафиксировано также в биотите из мигматитов (реститов) — от  $0,14$  до  $0,25\%$  (среднее содержание  $0,20\%$  шесть определений). Содержание фтора в биотитах из пегматитов — ( $0,25$ — $0,42\%$ ) значительно ниже, чем в биотитах из пегматитов Северной Америки ( $0,95$ — $5,0\%$  [4]).

Таким образом, содержание фтора в биотитах из гранитоидов разных генетических типов Северного Кавказа различно и определяется термодинамическими условиями и режимом кислотности-щелочности среды при гранитообразовании. В общем биотиты из гранитоидов всех генетических типов Северного Кавказа характеризуются низким содержанием фтора.

Академия наук Грузинской ССР

Геологический институт

Московский государственный

университет

им. М. В. Ломоносова

(Поступило 30.6.1972)

ЗЕЛЕНЫЙ  
СВЕЧА

Р. ШЕНГЕЛЯ, Д. КЕТСХОВЕЛИ, А. МИЛОВСКИ

ФОТОГРАФИИ ГАЛАКТИКИ ПАЛЕОЗОИЧЕСКИХ ГРАНИТОИДОВ СЕВЕРНОГО КАВКАЗА

БИОТИТЫ ГРАНИТОИДОВ

ФТОР В БИОТИТАХ

Шესწავლითი ფტორის განაწილების კანონობრივება სხვადასხვა გენერირი ტაბას გრანიტოიდების ბიოტიტებში. დადგუნილია, რომ სხვადასხვა გენერისის გრანიტოიდებში განვითარებული ბიოტიტები ფტორის ნაირგვარი შემცველობით ხასიათდება, რაც გამრთობებული გრანიტიარმობის გარემოს თერმოდინამიური რეკიმით. საერთაოდ შესწავლილი ბიოტიტები ფტორის დაბალი შემცველობით ხასიათდება.

GEOCHEMISTRY

D. M. SHENGELIA, D. N. KETSKHOVELI, A. V. MILOVSKI

FLUORINE IN THE BIOTITES FROM THE PALEOZOIC GRANITOIDS  
OF THE NORTHERN CAUCASUS

Summary

The paper presents the material based on the results of fluorine determination in the Paleozoic granitoids (89 figures), migmatites-restites (6 figures) and pegmatites (3 figures) of the Northern Caucasus.

It is shown that fluorine content in biotites from granitoids of various genetic types differs considerably and depends on the thermodynamic conditions and on the acidity-alkalinity of the environments of a granite formation. In general the biotites of all Paleozoic granitoids of the Northern Caucasus are characterized by a relatively low fluorine content.

СПИСОК СЧУДОВ — ЛИТЕРАТУРА — REFERENCES

1. Г. Л. Одикадзе. Геохимия, № 5, 1971.
2. Д. М. Шенгелиа. Труды Геол. ин-та АН ГССР, новая серия, вып. 34, 1972.
3. Г. М. Заридзе, Н. Ф. Татришвили. Труды Геол. ин-та АН ГССР, новая серия, вып. 12, 1967.
4. К. У. Корренс. Сб. «Физика и химия Земли». М., 1958.



СТРОИТЕЛЬНАЯ МЕХАНИКА

Б. М. ГРИГОЛАШВИЛИ

ВЛИЯНИЕ ПОВЫШЕННЫХ ТЕМПЕРАТУР НА ДОЛГОВЕЧНОСТЬ  
СТЕКЛОТЕКСТОЛИТА КАСТ-В ПРИ РАЗЛИЧНЫХ РЕЖИМАХ  
НГРУЖЕНИЯ И «ОТДЫХА»

(Представлено академиком К. С. Завриевым 7.6.1972)

Исследование влияния повторных с «отдыхом» режимов нагружения на долговечность пластмасс при нормальной температуре посвящены работы [1—6]. В настоящей статье приводятся результаты экспериментальных исследований, в которых ставилась цель проверить, сохраняется ли обнаруженное при нормальной температуре II—III различие между величинами долговечности стеклотекстолита при постоянных и повторных с периодами «отдыха» нагрузках при повышенных температурах; выявить влияние времени нагружения в каждом цикле и времени «отдыха» на долговечность при повышенных температурах; определить характер влияния повышенных температур на указанное различие.

Длительные испытания при постоянных и повторных с периодами «отдыха» нагрузках проводились на стандартных образцах стеклотекстолита толщиной 0,5 мм при температурах 24, 26 и 90°. По повторным режимам нагружения были проведены две серии испытаний.

В I серии повторные нагружения осуществлялись по трем режимам. Время нагружения  $t_n$  изменялось в этих режимах, составляя в цикле 15, 30 и 60 сек, а периоды «отдыха»  $t_0$  были приняты равными 150,

300 и 600 сек, т. е. отношение  $\frac{t_n}{t_0}$  оставалось постоянным. Поэтому

при принятых режимах нагружения имелась возможность выявить характер изменения долговечности в зависимости от времени нагрузки в каждом цикле. Образцы испытывались в интервале напряжений 0,60—0,80 от среднего значения пределов прочности контрольных образцов, подвергнутых температурной обработке (в течение 168 часов при 90°C) и затем испытанных при 24°.

Во II серии испытаний при фиксированном времени нагружения, равном в каждом цикле 60 сек, время «отдыха» принималось равным 15, 30 и 60 сек. Эти испытания были связаны с изучением влияния времени «отдыха» на долговечность. Все испытания в этой серии проводились при одном уровне напряжения — 3000 кг/см<sup>2</sup>.

Длительные испытания как при постоянных, так и при повторных с периодами «отдыха» режимах нагружения проводились в специально созданных для этой цели камерах [7, 8], дающих возможность автоматического регулирования температуры и режимов нагружения.

Результаты испытаний образцов при постоянных и повторных нагрузках (I серия) приведены в табл. 1. В исследованном диапазоне температур значения долговечности при повторных с «отдыхом» нагрузках меньше, чем при постоянных. Кроме того, по мере уменьшения врем-

мени действия нагрузки в каждом цикле наблюдается уменьшение долговечности. Так, например, долговечность при времени действия нагрузки в цикле 15 сек ( $t_0=150$  сек и  $\sigma=3000$  кг/см<sup>2</sup>) и при температуре 24°C в 5 раз меньше, чем при времени действия нагрузки в цикле 60 сек ( $t_0=600$  сек). Отмеченное явление, установленное ранее для нормальных температурных условий [1—3], сохраняется и при повышенных температурах.

Таблица 1

Влияние температуры испытания и времени нагружения и «отдыха» на долговечность

Действующее напряжение, кг/см <sup>2</sup>	Долговечность $\tau$ , сек											
	$\sigma(t)=\text{const}, t_0=0$			$t_n=15$ сек, $t_0=150$ сек			$t_n=30$ сек, $t_0=300$ сек			$t_n=60$ сек, $t_0=600$ сек		
	24°C	60°C	90°C	24°C	60°C	90°C	24°C	60°C	90°C	24°C	60°C	90°C
3690	232	30	5	43	—	—	69	—	—	144	—	—
3460	765	157	23	124	46	—	185	99	—	250	154	—
3230	6950	1240	153	206	130	56	520	222	83	1111	702	184
3000	8700	10000	4640	337	192	89	1200	730	283	1665	815	372
2770	—	—	91600	—	—	175	—	—	390	—	—	305

С повышением температуры долговечность при прочих равных условиях снижается. На рис. 1 в качестве примера приводится зависимость долговечности стеклотекстолита от температуры при режиме наг-

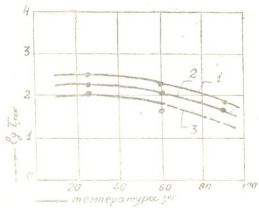


Рис. 1. Зависимость долговечности образцов стеклотекстолита КАСТ-В от температуры при режиме нагружения  $t_n=15$  сек,  $t_0=150$  сек: 1—при действующем напряжении 3000 кг/см<sup>2</sup>; 2—3230 кг/см<sup>2</sup>; 3—3460 кг/см<sup>2</sup>

ружения  $t_n=15$  сек,  $t_0=150$  сек. При остальных двух режимах нагружения указанный зависимость имеет аналогичный вид. Можно заметить, что с уменьшением температуры ниже 20°C долговечность стабилизируется.

Результаты испытаний стеклотекстолита при повторных нагрузках (II серия) приводятся в табл. 2. Как видно из таблицы, увеличение времени «отдыха» при постоянном времени действия нагрузки в каждом цикле ведет к снижению долговечности. Так, при 90°C и  $t_0=15$  и

Таблица 2  
Долговечность при различных режимах нагружения и «отдыха» и  
температурах испытания

Режим испытаний $t$	$\frac{t_n}{t_n + t_0}$	Долговечность $\tau$ , сек		
		24°C	60°C	90°C
$\sigma(t) = \text{const}$	1,00	87600	16000	440
$t_n=60$ сек	0,80	3240	1700	238
$t_0=15$ сек				
$t_n=60$ сек	0,66	2220	1010	191
$t_0=30$ сек				
$t_n=60$ сек	0,50	1520	1000	141
$t_0=60$ сек				

60 сек долговечность снижается в 19 и в 33 раза соответственно, по сравнению с долговечностью при постоянном режиме нагружения (при прочих равных условиях).

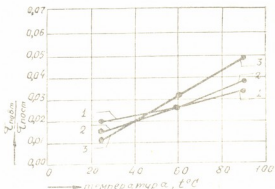


Рис. 2. Зависимость долговечности образцов стеклотекстолита КАСТ-В при различных режимах нагружения и «отдыха»:  
1— $t_n=60$  сек,  $t_0=15$  сек; 2— $t_n=60$  сек,  $t_0=30$  сек; 3— $t_n=60$  сек,  $t_0=60$  сек

Для оценки влияния повышенных температур на различие в долговечности, полученной при постоянных и повторных с периодами «отдыха» режимах нагружения, на рис. 2 приводится зависимость отно-

шения  $\frac{\tau_{\text{повт}}}{\tau_{\text{пост}}}$  от температуры. Увеличение значений отношения  $\frac{\tau_{\text{новт}}}{\tau_{\text{пост}}}$  с повышением температуры свидетельствует об уменьшении различия между средними значениями долговечности, полученной при постоянных и повторных режимах нагружения. Аналогичное положение отмечается и в результатах испытаний при повторных нагрузках (I серия): если при 24°C (см. табл. 1) долговечность при режиме  $t_n=60$  сек,  $t_0=600$  сек,  $\sigma=3000$  кг/см<sup>2</sup> в 52 раза меньше, чем при постоянном режиме, то при 60 и 90°C эта величина соответственно в 19 и 12 раз меньше.

Влияние температуры при прочих равных условиях испытаний проявляется в том, что с ее увеличением долговечность уменьшается при всех режимах статического нагружения и «отдыха».

Академия наук Грузинской ССР

Институт строительной механики  
и сейсмостойкости

(Поступило 8.6.1972)

## 3. გრიგოლაშვილი

მაღალი ტემპერატურის გავლენა მინატიპსტოლიტ KAST-B-ს ხან-  
გამძლეობაზე დატვირთვისა და „დასვენების“ სხვადასხვა  
რეზისის დროს

## რეზისმა

მიღებულია, რომ ტემპერატურის ინტერვალში 24—90°C მინატექსტოლიტის ხანგამძლეობა განმეორებითი დატვირთვების დროს, როცა დატვირთვას ენაცვლება „დასვენების“ პერიოდი, ხაკლებია, ვიდრე დატვირთვის შედგინების წეროებებისას. ამასთან, ციკლში დატვირთვის დროს შემცირებასა და „დასვენების“ დროის გაზრდასთან ერთად მასალის ხანგამძლეობა მცირდება. ტემპერატურის გაზრდა გამოყდის სხვა ერთნაირი პირობების შემთხვევაში იწვევს მასალის ხანგამძლეობის შემცირებას. განსხვავება ხანგამძლეობის სიღრიფებს შორის შედგინოვი და განმეორებითი დატვირთვის დროს ტემპერატურის ზრდასთან ერთად მცირდება.

## STRUCTURAL MECHANICS

B. M. GRIGOLASHVILI

THE INFLUENCE OF HIGH TEMPERATURE ON THE  
LONGEVITY OF FIBRE-GLASS LAMINATE UNDER  
DIFFERENT CONDITIONS OF LOADING AND "REST"

## Summary

It has been found that in the interval of 24—90°C the longevity of fibre-glass laminate under repeated loadings with "rest" is smaller than under a constant load. In cycle with a decrease of loading time and an increase of "resting" time the longevity of the material decreases. Increase of the temperature under other identical test conditions results in a decrease of the material longevity. With an increase of temperature the difference between the longevity values under constant and repeated loading with "rest" decreases.

## ლიტერატურა — REFERENCES

- Ю. Г. Корабельников. Исследование долговечности конструкционных пластмасс при различных режимах статического нагружения и «отдыха». Автореферат, М., 1967.
- К. В. Панферов, Ю. Г. Корабельников. Высокомолекулярные соединения, 10, 1965.
- К. В. Панферов, Ю. Г. Корабельников. Заводская лаборатория, 10, 1965.
- Н. В. Разумовская, Ю. Г. Корабельников, Г. М. Бартенев, К. В. Панферов. Механика полимеров, 4, 1969.
- М. Натов, М. Глушков. Механика полимеров, 6, 1970.
- М. Натов, М. Глушков. Механика полимеров, 5, 1971.
- О. И. Квициаридзе, С. М. Гулиев, Л. О. Гвелесиани, Б. М. Григолашвили. Сообщения АН ГССР, XLIV, № 1, 1966.
- О. И. Квициаридзе, С. М. Гулиев, Б. М. Григолашвили. Сб. трудов ИСМиС АН ГССР, II, 1968.



## РАЗРАБОТКА МЕСТОРОЖДЕНИЙ И ОБОГАЩЕНИЕ

А. А. ДЗИДЗИГУРИ (академик АН ГССР), А. Д. СЕПИАШВИЛИ,  
Г. Г. КАСРАДЗЕ, Б. Р. БАНДЗЕЛАДЗЕ<sup>\*</sup>

### К ИССЛЕДОВАНИЮ ГАШЕНИЯ КОЛЕБАНИЙ ТРАНСМИССИИ ДОБЫЧНЫХ КОМБАЙНОВ

Одним из основных условий повышения эффективности работы добывчих комбайнов является их защита от вредного воздействия вибраций, возникающих при разрушении угольного пласта. Анализ способов виброзащиты показывает, что в применении к трансмиссиям добывчих комбайнов целесообразным является гашение колебаний в узлах, наиболее приближенных к источнику возмущений. Исходя из этого в трансмиссиях добывчих комбайнов должны быть сдемпфированы режущие зубья или режущие диски.

Исследуем систему, состоящую из валопровода, режущих дисков и виброгасящих устройств, встроенных в местах посадки дисков. Целью настоящей работы является подбор параметров виброгасителей, обеспечивающих максимальное гашение колебаний.

Изображение момента Лапласа на валу добывчего комбайна при нулевых начальных условиях имеет вид

$$M_a(P) = \frac{\left( PJ + R + \frac{K}{P} \right) + Zth\gamma l}{1 + \frac{1}{Z} \left( PJ + R + \frac{K}{P} \right) th\gamma l} \cdot \frac{1}{PJ + R + \frac{K}{P}} M_c(P), \quad (1)$$

где

$M_a(P)$ —крутящий момент;

$M_c(P)$ —приложенная к режущему диску динамическая составляющая момента сопротивления;

$J$ —момент инерции диска относительно оси вала;

$K$ —жесткость гасителя на кручение;

$R$ —коэффициент демпфирования виброгасителя;

$Z = \theta_0 a_k \sqrt{1 + \frac{R_0}{\theta_0 P}}$ —полновое сопротивление вала;

$\gamma = \sqrt{(P\theta_0 + R_0) \frac{P}{\theta_0 a_k^2}}$ —коэффициент распространения;

$\theta_0$ —погонный момент инерции относительно оси вала;

$a_k$ —скорость распространения крутильных волн;

$l$ —расстояние между дисками.

Прямой метод предполагает переход от операторной зависимости (1) во временнную плоскость по формуле обращения. Для этого требуется нахождение корней характеристического уравнения, получаемого приведением к нулю знаменателя выражения (1). Однако это связано с трудностями алгебраического характера, обусловленными трансцендентностью исследуемого выражения. Поэтому более экономичным является анализ в частичной плоскости. Подставляя в уравнение (1)  $P = i\omega$ , строим амплитудно-частотные характеристики исследуемой системы при различных значениях  $R$  и  $K$ .

Рассмотрим численный пример. Параметры трансмиссии угольного комбайна «Донбасс-1Г» имеют значения:  $\theta_0 = 0,076$  рад $\cdot$ сек $^2$ ;  $a_k = 3270$  м/сек;  $J = 3,376$  кг $\cdot$ сек $^2 \cdot$ м;  $e = 0,6$  м. Параметры виброгасителя  $R$  и  $K$  изменились в пределах:  $R = 300 \div 600$  кг/сек/м и  $K = 4 \cdot 10^4$  Нм.

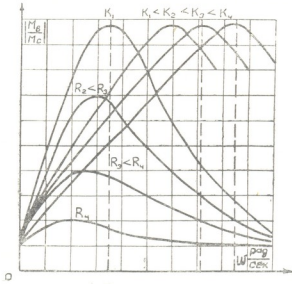


Рис. 1

На рис. 1 представлены амплитудно-частотные характеристики исследуемой системы. Анализ кривых показывает, что с увеличением демпфирующей способности виброгасителя амплитуда уменьшается; при увеличении  $K$  резонансная частота увеличивается, что дает возможность отстройки системы от резонанса.

Из вышеуказанного можно заключить, что для эффективного гашения колебаний виброгаситель должен иметь высокую демпфирующую способность и возможность изменения жесткости в широких пределах.

Согласно результатам работы [1], из известных упруго-демпфирующих элементов предъявляемым требованиям наилучшим образом удовлетворяет металлическая резина (МР), демпфирующую способность и жесткость которой можно варьировать в широких пределах, в зависимости от исходного материала и технологии изготовления. К преимуществам МР относятся также стойкость при работе в агрессивных средах и практически неограниченный срок хранения.

Нахождение конкретных значений жесткости гасителя, удовлетворяющих требованиям, при которых система не попадает в область резонансных режимов, является многовариантной задачей, требующей многократного решения уравнения (1). Для облегчения расчета предлагаются упрощенная методика подбора жесткости виброгасителя.

Аналогично колебательным системам с одной степенью свободы резонансные частоты соответствующих гармоник волновой системы могут быть выражены через собственные частоты по формуле

$$\omega_{\text{рез}} = \omega_0 \sqrt{1 - 2\delta^2}, \quad (2)$$

где  $\omega_{\text{рез}}$  — резонансная частота соответствующей гармоники;  
 $\delta$  — коэффициент затухания.

В системах, имеющих явно выраженные резонансные пики на амплитудно-частотной характеристике, ввиду малости формула (2) может быть заменена приближенным равенством

$$\omega_{\text{рез}} \approx \omega_0.$$

Для нахождения собственных частот исследуемой системы пишем характеристическое уравнение

$$\left( P J + R + \frac{K}{P} \right) \left[ 1 + \frac{1}{Z} \left( P J + R + \frac{K}{P} \right) \operatorname{th} \gamma l \right] = 0. \quad (4)$$

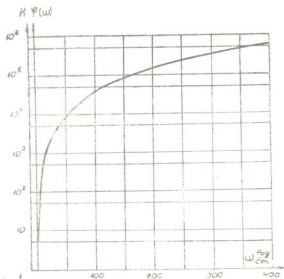


Рис. 2

Правый сомножитель левой части уравнения (4) полностью описывает распределенную часть системы:

$$1 + \frac{1}{Z} \left( P J + R + \frac{K}{P} \right) \operatorname{th} \gamma l = 0. \quad (5)$$

Допустим, что потери в виброгасителе и валопроводе равны нулю:  $R = 0$ ,  $R_0 = 0$ . Тогда волновое сопротивление и коэффициент распространения будут соответственно  $Z = \theta_0 a_h$ ,  $\gamma = i \frac{\omega}{a_h}$ . Внося в уравнение (5) значение  $Z$ ,  $\gamma$  и решая относительно  $K$ , получаем

$$K = \theta_0 a_h \operatorname{ctg} \frac{\omega l}{a_h} + \omega^2 J = \varphi(\omega). \quad (6)$$

Строим графически правую часть уравнения (6). Проводя прямые, параллельные оси абсцисс, которые соответствуют различным значениям  $K$ , находим приближенные значения резонансных частот системы как абсциссы точек пересечения соответствующих кривых.

На рис. 2 дано графическое решение уравнения (6) для приведенного выше примера при  $R = 400$  нсек/м.

Если известен частотный спектр приложенных к системе возмущений, с помощью предлагаемой методики можно подбирать значения  $K$  таким образом, чтобы колебания происходили в дорезонансной или в пререзонансной областях.

Академия наук Грузинской ССР  
 Институт горной механики  
 им. Г. А. Цулукидзе

(Поступило 30.6.1972)

### საბაჭოთა დამუშავება და გამჭიდრება

ქ. თბილისი საქართველოს სსრ მეცნ. ეკონомიკის ეკონომიკური, პ. სიციაჟისტი, გ. კასრაძე, პ. ბანძელაძე

მომავალი კომბაინის ტრანსმისის რეზონანსის ძრობის  
 გამოვალის მიზანისთვის

რეზონანსი

განხილულია ვიბრომექრობის საშუალებით მომპოვებელი კომბაინის ტრანსმისის რეზონანსის ქრონიკული საკითხები. მიღებულია ვიბრომექრობის თანამდებობის პარამეტრები და მოცუმულია მისი სიხისტის შეჩრჩევის გრაფიკული მეთოდი.

### EXPLOITATION OF DEPOSITS AND CONCENTRATION

A. A. DZIDZIGURI, A. D. SEPIASHVILI, G. G. KASRADZE, B. R. BANDZELADZE  
 TOWARDS THE STUDY OF VIBRATION DAMPING OF THE  
 MINING COMBINE TRANSMISSIONS

#### Summary

The problems of vibration damping of the mining combine transmissions by means of the vibrodamper are considered, the optimum parameters of the damper are obtained and a graphic method for selecting its hardness is given.

#### ЛІТЕРАТУРА — REFERENCES

1. А. А. Дзидзигури, Г. М. Дилянов, Г. Г. Касрадзе, А. Д. Сепиашвили. Сообщения АН ГССР, 60, № 2, 1970.

АВТОМАТИЧЕСКОЕ УПРАВЛЕНИЕ И ВЫЧИСЛИТ. ТЕХНИКА

М. В. ЧХЕИДЗЕ, Ш. Ю. ИСМАИЛОВ, Г. Б. ЧХЕИДЗЕ,  
Г. И. ДАВАРАШВИЛИ

БЫСТРОДЕЙСТВУЮЩИЙ ЦИФРОВОЙ ИЗМЕРИТЕЛЬ  
ЭФФЕКТИВНОГО ЗНАЧЕНИЯ НЕСИНУСОИДАЛЬНОГО  
ПЕРИОДИЧЕСКОГО НАПРЯЖЕНИЯ

(Представлено членом-корреспондентом академии Н. В. Габашвили 22.6.1972)

На практике часто возникает необходимость определения мощности или эффективного значения несинусоидального периодического сигнала промышленной частоты согласно алгоритму

$$I_{\text{эфф}} = \sqrt{\frac{1}{T} \int_0^T I^2 dt}. \quad (1)$$

Существующие цифровые приборы (ВК-10, ВЗ-20 и др.), реализующие алгоритм (1), основаны на измерении только синусоидального сигнала или периодического сигнала с пренебрежимо малым составом высших гармоник [1]. Однако на практике уровни высших гармоник в измеряемом напряжении достигают, как правило, существенной величины и поэтому указанные приборы могут быть использованы только в ограниченных случаях [2].

Предлагаемое цифровое устройство, измеряющее эффективное значение напряжения, основанное на методах функционального времязадающего развертывающего уравновешивания, позволяет измерять определенный класс несинусоидального периодического входного сигнала промышленной частоты с высокой степенью точности (0,5—1,0%) и высоким быстродействием (два периода входного сигнала) с такими же аппаратурыми показателями, какими обладают вышеперечисленные устройства.

Представленное на рис. 1 устройство для определения эффективного значения напряжения работает в двух режимах. В первом режиме работы определяется модуль входного несинусоидального периодического сигнала — выпрямителем, который состоит из усилителя-ограничителя (1), дифференцирующей цепочки (2), управляющего триггера (3), инвертора (4) и измерительных ключей (5, 6).

Тактовый импульс, соответствующий началу первого периода входного сигнала  $I_x$ , устанавливает триггер (3) в единичное положение и подпирает измерительный ключ (6), на второй вход которого поступает инвертированная отрицательная полуволна входного сигнала через (4). При поступлении положительной полуволны импульс с выхода триггера (3) подпирает измерительный ключ (5) и, следовательно, положительная полуволна поступает на выход выпрямителя. Выпрямленный сигнал подается на квадратор (9), где осуществляется развертывающее функциональное время-импульсное преобразование. При этом мгновенные значения  $I_{x_i}$  преобразуются в интервалы времени  $T_{x_1}, T_{x_2}, \dots, T_{x_n}$ .

При строгом подчинении компенсирующего напряжения  $I_k$  квадратичному закону значения  $I_x$  в моменты компенсации будут

$$I_{x_i}^2 = V_{I_k^2} (B'_i - t A'_i) = V_{I_k^2} T'_{x_i}, \quad (2)$$

где

$$T'_{x_i} = I_{x_i}^2 / V_{I_k^2};$$

$$i = 0, 1, \dots, n = 2\pi$$

$B'_i$  — момент нелинейной компенсации;

$A'_i$  — начало квадратичной развертки;

$V_{I_k^2} = \frac{I_{k_{\text{ном}}}^2}{T_{\text{н}}}$  — скорость нарастания компенсирующего напряжения.

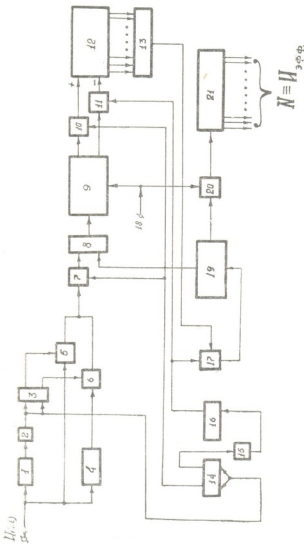


Рис. 1

При постоянстве  $V_{I_k^2}$  интервалы времени  $T'_{x_1}, T'_{x_2}, \dots, T'_{x_n}$  строго пропорциональны мгновенным значениям квадрата входного сигнала  $I_{x_1}^2, I_{x_2}^2, \dots, I_{x_n}^2$ .

Интервалы времени  $T_{x_l}$  измеряются методом счета квантующих импульсов, вырабатываемых генератором импульсов (18) с частотой  $f_0$ , которые поступают на суммирующий вход реверсивного счетчика (12), где записывается код, пропорциональный квадрату мгновенного значения  $I_{x_l}^2$  в момент времени  $B'_l$ :

$$N_{x_l} = \frac{T_{x_l}}{f_0} = \frac{I_{x_l}^2}{V I_k^2 f_0}. \quad (3)$$

В результате  $n$  циклов измерения мгновенных значений  $I_{x_l}^2$  показание реверсивного счетчика в определенном масштабе  $\left(\frac{1}{K_m} = \frac{1}{T_{\text{пер}}} = \frac{1}{2\pi}\right)$  равно сумме квадратов мгновенных значений  $I_{x_l}^2$ :

$$N^+ = \sum_{i=0}^{i=2\pi} N_{x_i} = \frac{1}{K_m} \left\{ \sum_{i=0}^{i=2\pi} \frac{T_{x_i}}{f_0} \right\} = \frac{1}{K_m} \left\{ \sum_{i=0}^{i=2\pi} \frac{I_{x_i}^2}{V I_k^2 f_0} \right\}. \quad (4)$$

На этом заканчивается первый режим работы устройства, длившейся в течение первого периода  $(0-2\pi)$ .

В начале второго периода напряжения импульсом от схемы управления триггеры (14), (16) и дифференциальная цепочка (15) запирается вентиль (7) и отпирается вентиль (17), на второй вход которого от схемы ИЛИ (13) постоянно поступают импульсы, кроме момента, когда содержимое реверсивного счетчика (12) равно нулю.

Импульсом от схемы (17) запускается генератор ступенчатого нарастающего напряжения (19), выходное напряжение которого  $I_{\text{сни}}$  (максимальный размах  $I_{\text{сни}_{\max}} \geq I_{x_{\max}}$ , а полный период нарастания  $I_{\text{сни}}$  равен периоду  $I_x$ ) через схему ИЛИ (8) поступает из входа квадратора (9) и одновременно управляет проходом импульсов на счетчик (21). Далее процесс протекает аналогично первому режиму с той лишь разницей, что импульсы от (9) уже проходят на вычитающий вход (12), где хранится код  $N^-$ .

Аналитически процесс преобразования напряжения  $I_{\text{сни}}$  можно выразить следующим образом:

$$I_{\text{сни}_l}^2 = V I_k^2 (t_{B'_l} - t_{A'_l}) = V I_k^2 T''_{\text{сни}_l}, \quad (5)$$

$$N^- = \sum_{i=2\pi}^{i=4\pi} N_{\text{сни}_i} = \frac{1}{K_m} \left\{ \sum_{i=2\pi}^{i=4\pi} \frac{T''_{\text{сни}_i}}{f_0} \right\} = \frac{1}{K_m} \left\{ \sum_{i=2\pi}^{i=4\pi} \frac{I_{\text{сни}_i}^2}{V I_k^2 f_0} \right\}. \quad (6)$$

Поскольку  $I_{\text{сни}_{\max}} > I_{x_{\max}}$ , то наступит момент, когда содержимое реверсивного счетчика (12) будет равно нулю, т. е. выполняется условие

$$\{N^+ - N^-\}_j = \frac{1}{K_m} \left\{ \sum_{i=0}^{i=2\pi} \frac{I_{x_i}^2}{V I_k^2 f_0} - \sum_{i=2\pi}^{i=4\pi} \frac{I_{\text{сни}_i}^2}{V I_k^2 f_0} \right\}_j = 0. \quad (7)$$

Если считать, что индекс  $j$  означает момент равенства квадратов входного и эталонного напряжений, т. е. выполняется условие (7), то содержимое  $N$  счетчика (21) будет пропорциональным эффективному значению входного несинусоидального напряжения, т. е.

$$N = \frac{1}{K_m} \left\{ \sum_{i=2\pi}^{i=j} \frac{I_{\text{син}}}{V_{\text{син}} f_0} \right\}_{j=0} \equiv I_{\text{эфф}}, \quad (8)$$

Следует отметить, что в рассмотренном устройстве исключается специальный этап извлечения квадратного корня, а эффективное значение несинусоидального периодического сигнала измеряется в промежутке времени, равном лишь двум периодам входного сигнала, что выгодно отличает его от существующих устройств.

Всесоюзный институт метрологии  
Тбилисский филиал  
им. Д. И. Менделеева

(Поступило 22.6.1972)

Всесоюзный институт метрологии  
и измерительной техники

А. Н. Митрофанов, А. П. Савицкий, В. А. Смирнов, В. А. Григорьев

Быстро действующий цифровой измерительный прибор для измерения эффективных значений несинусоидальных периодических напряжений и токов с преобразованием в цифровую форму

### Резюме

Задача построения быстродействующего измерителя эффективных значений несинусоидальных периодических напряжений и токов решена на основе функционального преобразователя сканирующего баланса. Алгоритм определения эффективного значения несинусоидального сигнала не содержит операции извлечения квадратного корня и выполняется за время, равное двум периодам входного сигнала.

### AUTOMATIC CONTROL AND COMPUTER ENGINEERING

M. V. CHKHEIDZE, Sh. Yu. ISMAILOV, G. B. CHKHEIDZE,  
G. I. DAVARASHVILI

### QUICK-OPERATING DIGITAL METER OF NONSINUSOIDAL PERIODIC VOLTAGE EFFECTIVE VALUE

#### Summary

A digital device for an effective value determination of nonsinusoidal periodic voltage is considered on the basis of a functional transducer of scanning balancing. The signal power algorithm determination is performed without the additional operation of extraction of root and with a quick operation and high degree of accuracy.

#### Литература — REFERENCES

1. Б. И. Швецкий. Электронные измерительные приборы с цифровым отсчетом. Киев, 1970.
2. Ю. Кончаловский и др. Электронные измерительные преобразователи. М.-Л., 1967.

ლ. ჩავავა

შავრების მიზანილობა ზოგიერთი ბოსტნეულის გადაზისადგენი

(წარმოადგინა ფიზიოლოგია, 6, კეცხველი 26.1972)

მცნარის გადაზისამორებისათვის ერთ-ერთ მნიშვნელოვან ფაქტორს წარმოადგენს საკედი ნივთიერების (ნაძმირწყლები, ცხმები, ცილები, გლობონილები და სხვ.) დაგროვება და მათი გადამომრავება მცნარეში. ცნობილია, რომ მოხამორე მცნარეებში შემოღომა-ზამთრის პერიოდში მიმდინარეობს სახამებლის დაშლა და გროვდება შაქრები [1—3].

შეკლევარები შაქრებილან მნიშვნელოვან როლს მცნარის ზამთრისადმი მომზადებასა და გადაზისამორებაში აკუთვნებენ მნიშვნელოვან დისახარიდებს (გლუკოზა, ფრუქტოზა, სათაროზა) და ოლიგოსახარიდებს (რაფინზა) [4—7]. ამ სტატიაში მოცემულია შაქრების შემცველობის ღიანიმება ზამთრის ვეგეტაციის მქონე ზოგიერთ ბოსტნეულ მცნარეში, როგორიცაა კომბოსტო—თეთრი და წითელი (*Brassica oleracea* L.), ისპანახი (*Spinacia oleracea* L.), სალათა (*Lactuca sativa* L.) და ხახვი (*Allium cepa* L.).

ჩვენ განვსაზღვრეთ შაქრების შემცველობა და მათი ცვალებადობის ხასიათი საცდელ მიმდინარებში შემოღომა-ზამთრის თვეებში (X, XI XII, I, II, IV). შაქრებს კლიველობდით ქალალის დაღმავალი ქრომატოგრაფიის მეთოდით, მასალას ვიღებდით 2 გ-ს. ხსნას ვაწვეობდით 0,2 მლ რაოდენობით. მიღებული შედეგები მოცემულია ცხრილში.

როგორც ცხრილიდან ჩანს, აუთირ კომბოსტოში და ისპანახში ოქტომბრის თვეში შაქრების ალტენბობა მცირეა (4 დასახელება), ზამთრისაკენ (XI, XII, I) შაქრების ანაწყობის რიცხვი მატულობს, ის უდრის 6—7-ს რაფინზას, მალტოზასა და უცნობი შაქრის ხარჯზე. ეს უკანასკნელი ქრომატოგრამაზე მოთავსებულია რაფინზას ქვევით. თეთრ კომბოსტოში იანერის თვეში და ისპანახში დეკომპინაციის შაქრების შემცველობა იმდენად დიდი აღმოჩნდა, რომ ჩვეულებრივი რაოდენობა (0,2 მლ), რასაც ვაწვეოთ დიდი ქრომატოგრამაზე, ბევრი აღმოჩნდა და არ მოხერხდა მისი დაშლა, რის შედეგად დაუწვევოთ შემცირებული (0,05 მლ) რაოდენობით. ამდენად, თუ ამ შემთხვევას გავითვალისწინებთ, შაქრების მეტი შემცველობით საკლევი მიმდინარების გამოიჩინება ისპანახი და თეთრი კომბოსტო. იგივე მცნარეები ჩვენი მიმდინარებიდან გავითვალისწინებთ, შაქრების მეტი გამდლობით საკლევი მცნარეები ჩვენი მიმდინარებიდან გავითვალისწინებთ, ხასიათდება.

შაქრების ანაწყობის დიდი რიცხვით გამოიჩინება ხახვი (7 დასახელება) ნოემბერში; დეკომპინაციაში მათი რიცხვი აღწევს 8—9-ს, ხოლო აპრილში 5-ია. ხახვი გავრცელება 3 უცნობი შაქრი, იქნება თრი მოთავსებულია არაბინზას ზემოთ, ხოლო ერთი — ლაქტოზას ქვევით. ასევე მატულობს შაქრების რიცხვი ზამთრისაკენ წითელ კომბოსტოში. ექვემდებარება არ უცნობი შაქრი, რომელიც არაბინზას ზემოთაა განლაგებული.

შემოღომიდან ზამთრისაკენ გროვდება შაქრების სხვადასხვა ფორმა და იცვლება მათი შემაღვენლობა, რაც, როგორც ჩანს, ამ მცნარეების გადაზისამორებას უწყობს ხელს. ზემოთ მოყვანილი მიმდინარებისაგან განსხვავებით, სალათაში არსებითი სხვაობა შაქრების ანაწყობის მატების მიხედვით არ შეიმჩნევა და ეს ბუნებრივიცა, რაღანაც ჩვენი საცდელი მცნარეებიდან სა-



შეკრების შემცველობას დინამიკა მოზამთრებს პოსტნეულში

კომბინატორ წითელი, ხახვი და სალათა, ისპანიაზთან და თეთრ კომბინატორ-თან შედარებით, შაქრების უფრო ნაკლები შემცველობით გამოირჩევა, რაც აგრძელებულ მათს გამოიყონას შეისატყვევისგა.

амнигода, Шафхурбеков Қолғазыр და თოთოეული მათგანის რაოდენობა (რაზეც ლაქების შეფერვის ინტენსივობით ვმსჯელობთ) ჩვენ საკვლევ ღბუჟერების მატერიალს ზამთრისაკენ. ძირითად როლს ჩვენი შეცნობების გადაწყვეტილებაში ასრულებს როგორც სახარიზა, გლუკოზა, ფრუქტოზა, ისე თლიგონ-სახარიზი რაფინიზა და უცნობი შაქრები. შაქრების დაცვითი როლი ზამთარში აშკარადაა გამოხატული ყველა შესწავლილ ბოსტნეულ მცენარეში.

საქართველოს სსრ მეცნიერებათა ეკადემია  
ბოტანიკის ინსტიტუტი

(შემოვიდა 2. 6. 1972)

## ФИЗИОЛОГИЯ РАСТЕНИЙ

Л. П. РАПАВА

### ЗНАЧЕНИЕ САХАРОВ В ПЕРЕЗИМОВКЕ НЕКОТОРЫХ ОВОЩНЫХ РАСТЕНИЙ

Резюме

У зимневегетирующих овощных растений — капуста белокочанная и красная, шпинат, лук зеленый и салат — изучалась динамика содержания сахаров в связи с их морозоустойчивостью. Методом хроматографии на бумаге было установлено, что в осенне-зимнее время в листьях накапливаются защитные формы сахаров — глюкоза, фруктоза, сахароза, олигосахарид рафиноза и 2—3 неизвестных сахара. По содержанию форм и количеству сахаров в зимнее время опытные растения отличались друг от друга в соответствии с их морозоустойчивостью: капуста белокочанная и шпинат имели наибольшее содержание сахаров, салат — наименьшее, капуста красная и лук занимали промежуточное между ними положение.

По-видимому, содержание сахаров играет значительную роль также и в осуществлении зимней вегетации изучаемых растений.

## PLANT PHYSIOLOGY

L. P. RAPAVA

### SIGNIFICANCE OF SUGARS FOR THE HIBERNATION OF SOME VEGETABLES

Summary

The dynamics of sugar content of the winter-vegetative vegetables: white- and red-head cabbage, spinach, green onion and lettuce was studied in respect of their frost-resistance. A study by the method of paper chromatography has revealed that protective forms of sugars (glucose, fructose, saccharose, raffinose and two or three unknown sugars) are accumulated in the leaves during the autumn and winter period. In winter the experimental plants differed from one another in the content of forms and amount of sugars according to their frost-resistance: white-head cabbage and spinach had the highest content of sugars, lettuce the least and red-head cabbage and onion

occupied an intermediate position between them. Apparently the content of sugars also plays a significant role in the realization of winter vegetation of the plants under study.

#### ՀԱՅՈՒԹՅՈՒՆ — ЛИТЕРАТУРА — REFERENCES

1. Н. А. Максимов. Изв. Лесного ин-та, 25, 1952.
2. И. И. Туманов, Т. И. Трунова. Физиол. раст., т. 4, в. 5, 1957.
3. П. А. Генкель, Е. З. Окинина. Состояние покоя и морозоустойчивость плодовых растений. М., 1964.
4. Т. С. Сулакадзе. Физиологические основы морозоустойчивости цитрусовых растений. Тбилиси, 1967.
5. И. И. Туманов, Т. И. Трунова. Физиол. раст., т. 10, в. 2, 1963.
6. Л. И. Сергеев. Сб. «Физиология устойчивых растений». М., 1959.
7. В. И. Бабенко, А. М. Геворкян. Биол. ж. Армении, 22, № 10, 1969, 50—57.
8. В. И. Бабенко, А. М. Геворкян. Физиол. раст., т. 14, в. 4, 1967.



ФИЗИОЛОГИЯ РАСТЕНИЙ

Э. И. КЕЦХОВЕЛИ, И. Г. ДЖАПАРИДЗЕ

**ДЫХАНИЕ ЗЕЛЕНЫХ И КРАСНЫХ ЛИСТЬЕВ НЕКОТОРЫХ ВЕЧНОЗЕЛЕНЫХ РАСТЕНИЙ**

(Представлено академиком И. И. Кецховели 1.6.1972)

В сообщении [1] говорилось об определенности закономерности в содержании антоцианов и интенсивности дыхания у антоциансодержащих и зеленых форм листопадных растений. Осенью, зимой и весной 1969 и 1970 гг. было проведено манометрическое исследование дыхания и спектрофотометрическое исследование пигментов клеточного сока красных и зеленых листьев некоторых вечнозеленых растений магонии (*Mahonia aquifolium* Nutt.), плюща обыкновенного (*Hedera caucasigena* Pojark.) и фотинии (*Photinia serrulata* Lindl.), у которых поздно осенью с постепенным снижением температуры появляются антоциановые пигменты [1, 2]. Полученные данные обрабатывались статистически, достоверность различий определялась *t*-критерием Стьюдента [3].

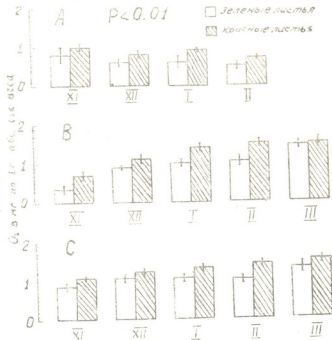


Рис. 1. Интенсивность дыхания антоциансодержащих и зеленых листьев фотинии (A), магонии (B) и плюща обыкновенного (C). (Поглощение O<sub>2</sub> в мл на 1 г абсолютного сухого веса за 1 час при +30°C) (1969–1970 гг.).

Оказалось, что у фотинии (рис. 1) максимум интенсивности дыхания красных и зеленых листьев отмечается в декабре. Позже как у зеленых, так и у красных листьев интенсивность дыхания постепенно снижается до опадения красных листьев, однако если у красных ли-

стьев разница в интенсивности дыхания в осенне-зимнем периоде достоверна, то у зеленых листьев она статистически недостоверна.

У красных и зеленых листьев магонии (рис. 1) интенсивность дыхания постепенно нарастает. Максимум отмечается в январе. Интересно отметить, что начиная с января интенсивность дыхания красных листьев магонии стоит на одном уровне, что статистически достоверно, а у зеленых листьев, хотя она стоит на одном уровне еще с декабря, однако заметно повышается к весне. Весной у зеленых и красных листьев магонии почти не наблюдается разницы в интенсивности дыхания.

У плюща обыкновенного (рис. 1) уровень интенсивности дыхания зеленых листьев с декабря по февраль не меняется, но заметно повышается к весне. А видимая разница в интенсивности дыхания красных листьев, которая отмечается с декабря по март, статистически недостоверна. Весной разница между интенсивностью дыхания красных и зеленых листьев почти сглаживается.

Таким образом, красные листья всех исследованных нами вечнозеленых растений дышат интенсивнее, по сравнению с зелеными. Полученные данные высоко достоверны.

Изучение динамики антициановых пигментов красных листьев вечнозеленых растений в осенне-зимне-весенний период года, наряду с интенсивностью дыхания, показало следующую картину (табл. 1).

Таблица 1  
 Содержание антицианов в красных листьях у некоторых вечнозеленых  
 растений (мг на 100 г живого веса)  
 (1969—1970 гг.)

Объекты	M ± m				
	Ноябрь	Декабрь	Январь	Февраль	Март
<i>Photinia serrulata</i> Lindl.	128 ± 2,7	116 ± 0,6	165 ± 3,6	205 ± 2,8	
<i>Mahonia aquifolium</i> Nutt.	98 ± 2,7	97 ± 2,0	193 ± 2,0	220 ± 1,6	138 ± 2,7
<i>Hedera caucasica</i> Pojark	136 ± 4,2	146 ± 3,8	145 ± 0,7	151 ± 2,4	159 ± 2,7

Антициановые пигменты с ноября начинают постепенно накапливаться в листьях фотинии и магонии и достигают своего максимума в феврале, к концу февраля фотиния теряет антицианосодержащие листья, а у магонии к весне количество антициановых пигментов резко падает; у плюща обыкновенного с ноября по март пигменты клеточного сока почти не подвергаются изменению.

Следует подчеркнуть, что существует определенная коррелятивная связь между накоплением антициановых пигментов и интенсивностью дыхания у красных листьев вечнозеленых растений.

Для выяснения роли антициановых пигментов в процессе дыхания мы сочли нужным изучить также окислительно-восстановительный потенциал, так как известно, что существует определенная связь между окислительно-восстановительным потенциалом и процессом дыхания. Такая постановка вопроса была обусловлена тем, что окислительно-вос-

становительный потенциал в связи с участием антицианов в процессе дыхания у красных листьев вообще не исследовался.

Таблица 2

Определение pH в красных и зеленых листьях некоторых вечнозеленых растений (1969—1970 гг.)

Объекты	Листья	RH				
		Ноябрь	Декабрь	Январь	Февраль	Март
<i>Photinia serrulata</i> Lindl.	Зеленые	225	215	230	245	
	Красные	225	230	285	260	
<i>Mahonia aquifolium</i> Nutt.	Зеленые	340	400	370	340	370
	Красные	350	430	330	350	380
<i>Hedera caucasicana</i> Pojark.	Зеленые	220	250	230	200	230
	Красные	230	270	245	215	240

Величина RH определялась на pH-метре ЛП-5. Листья брались в количестве 3 г и растирались в 50 см<sup>3</sup> дистиллированной воды [4].

Как видно из табл. 2, окислительно-восстановительный потенциал в осенне-зимне-весенний период года подвергается заметному изменению.

Следует подчеркнуть два обстоятельства: во-первых, красные листья, по сравнению с зелеными, характеризуются высоким окислительно-восстановительным потенциалом; во-вторых, интенсивность дыхания также выше у красных листьев. Параллельно изменению интенсивности дыхания красных листьев меняется показатель окислительно-восстановительного потенциала.

На основе полученных данных мы предполагаем, что антициановые пигменты могут активно участвовать в окислительно-восстановительных процессах, протекающих в растениях, тем более что антицианы являются активаторами ферментов класса оксидоредуктаз и стимулируют дыхательный процесс, увеличивая дыхательный коэффициент [5].

Академия наук Грузинской ССР  
Институт ботаники

(Поступило 2.6.1972)

აცხადეთა უზიოლობა

ი. კოხემიშვილი, ი. ჯაფარიძე

“ხოგიძლი გარაფაზანი მცენარის ზოთელი და მფანე ვოთ-ლების ცენტრი

რეზიუმე

უანგვა-აღდგენის პროცესებში ანთოციანების როლის დადგენისათვის შევისწავლეთ ფოტინიის, მაკებიისა და ჩვეულებრივის სურს წითელი და შვერელი ფოთლების სუბტექტის ინტენსივობა, ანთოციანური პიგმენტების რაოდენობრივი შეცველობა და უანგვა-აღდგენის პოტენციალი. აღმოჩნდა, რომ წითელი ფოთლები ხასიათდება როგორც სუნთქვის მაღალი ინტენსივობით, ისე უანგვა-აღდგენითი პოტენციალის მაღალი მაჩვენებლებით მწვანე ფოთ-

ლებანი შედარებით. გარდა ამისა, წითელი ფოთლების სუნთქვის ცალებადობის პარალელურად იცვლება უანგვა-ალდგენითი პოტენციალის მაჩვენებლებიც. შეიმჩნევა გარკვეული კორელაციური კავშირი წითელი ფოთლების ახორციანური პიგმენტების დაგროვებასა და სუნთქვის ინტენსივობას შორის. ყოველივე ზემოთქმული გვაფიქრებინებს, რომ ახორციანური პიგმენტები მონაწილეობას უნდა ლებულობდეს უანგვა-ალდგენით პროცესებში.

## PLANT PHYSIOLOGY

E. N. KETSKHOVELI, I. G. JAPARIDZE

## RESPIRATION OF GREEN AND RED LEAVES OF SOME SEMPERVIRENT PLANTS

## Summary

The respiration intensity, oxidation-reduction potential, quantitative change of anthocyan of red and green leaves of cyclamen (*Pholinina serrulata* Lindl.), mahonia (*Mahonia aquifolium* Nutt.) and English ivy (*Hedera caucasicana* Pojark.) were studied over the period of autumn, winter and spring in 1969 and 1970 with a view to determining the role of anthocyan pigments in the oxidation-reduction processes. Red leaves were found to be characterized not only by a high respiration intensity but also by high indices of oxidation-reduction potential in comparison with green ones. Furthermore, the index of the oxidation-reduction potential changes in parallel to the change of the respiration intensity of red leaves. A certain correlative relation between the accumulation of anthocyan pigments and the respiration intensity of red leaves of sempervirent plants is observable. It is suggested that anthocyan pigments may be participating in oxidation-reduction processes.

## ლიტერატურა — ЛИТЕРАТУРА — REFERENCES

1. Э. Н. Кецховели, И. Г. Джапаридзе. Сообщения АН ГССР, 62, № 3, 1971.
2. Э. Н. Кецховели, И. Г. Джапаридзе. Сообщения АН ГССР, 67, № 1, 1972.
3. Е. Ф. Лакин. Биометрия. М., 1968.
4. О. А. Вальтер, Л. М. Пиневич, А. И. Варасова. Практикум по физиологии растений. М., 1957.
5. Р. В. Нагорная. Сб. «Физиологические основы питания растений», вып. 4. Киев, 1968.



ც. ჯარიბიშვილი

რენტგენის ხეივების, მოლიბდენისა და მათი ერთობლივი  
 გავლენის გავლენა ლობიოს აღმონაცენსა და მოსაპლანი

(წარმოადგინა აქადემიის მას გელისაშვილმა 30.6.1972)

მოლიბდენითა და რენტგენის სხივებით თესლის თესვისწინა დამუშავება, ახდენს რა გავლენას თესლის ფიზიოლოგიურ და ბიოქიმიურ პროცესებზე, იწვევს მისი გამოიყების ენერგიისა და უნარის მატებას [1—5], მცენარეთა ზღვის სტიმულაციის, მწვანე მასისა და მოსავლის მომატებას [6—9]. ამ ორი ფაქტორის მცენარეზე ცალ-ცალკე მოქმედების შედეგი ფართოდ არის განხილული, ხოლო მათი კომბინირებული მოქმედების გავლენა ნაკლებადაა შესწავლით.

მიზანი იყო შეგვესწავლა რენტგენის სხივებითა და მიკროლემენტებით ცალ-ცალკე და ერთდროული დამუშავების გავლენა ლობიოს თან ჯიშის (ცანვა-3, საპარკე-75) თესლების გალივების ენერგიაზე, უნარისა და აღმონაცენის ზრდაზე.

საცდელი ავილეთ ლობიოს თესლი, დამუშავებული 4 ვარიანტად [10]:  
 1) საკონტროლო — დაუმუშავებელი, 2) 10 000 რენტგენით დასხივებული,  
 3) 0,025% -იანი მოლიბდენმერავა ამონიუმის წყალსხარში დამუშავებული,  
 4) რენტგენ + მოლიბდენით დამუშავებული (ჯერ რენტგენით დასხივებული). შემდეგ 0,025% მოლიბდენმერავა ამონიუმის წყალსხარში დამუშავებული) თითოეული ვარიანტის 100—100 ცალი თესლი დავთესეთ პეტრის ფინენებზე თითოეული განვითარებით. საცდელი და საკონტროლო თესლების გალივება დაიწყო დათვესვიდან მესამე დღეს.

ლობიოს თანივე ჯიშის რენტგენის სხივებით, მოლიბდენითა და მათი ერთობლივი მოქმედების შედეგად თესლების გალივების ენერგია საკონტროლოს-თობლივი მოქმედების შედეგად გაიზარდა ყველა აღნიშნულ ვარიანტში: განსაკუთრებით კითან შედარებით გაიზარდა ყველა აღნიშნულ ვარიანტში: განსაკუთრებით კითან შედარებით გაიზარდა რენტგენ + მოლიბდენით დამუშავების ფოქტი. შემჩნეულია ჯიგაძოირება რენტგენ + მოლიბდენით დამუშავების შედეგი (ცანვა-3: საკონტროლო — 15%, R+Mo — 38%; საპარკე-75: საკონტროლო — 14%, R+Mo — 35%).

ასევე შეიძლება ითვას, რომ ლობიოს თანივე ჯიშის თესლების დამუშავებამ გაელენა იქნინა მისი გალივების უნარზე და გამოიწვია საცდელი მცენების განსაკუთრებით რენტგენ + მოლიბდენით დამუშავებული თესლების გალივების უნარის მომატება საკონტროლოსთან შედარებით (ცანვა-3: საცდელი — 91%, R+Mo — 96%; საპარკე-75: საკონტროლო — 91%, R+Mo — 98%).

ჩვენ შევისწავლეთ აგრეთვე მიკროლემენტ მოლიბდენისა და რენტგენის სხივების ცალ-ცალკე და ერთდროული ზემოქმედების გავლენა ლობიოს აღმონაცენის ზრდაზე. ცდები ჩავატარეთ ლაბორატორიულ პირობებში, ნატაბრარის საცდელი სადვურის ტერიტორიიდან აღებულ ნიადაგში. თესლი დავა-მუშავეთ ზემოთ აღწერილი მეთოდით. დაკვირვებას ვახდენდით ლობიოს სამი კვირის აღმონაცენზე.

ცხობილია, რომ მცენარის გაძლიერებული ნივთიერებათა ცვლის პროცესი, მიწისმშეღა თრგვასრების ზრდა-განვითარება და მცენარის პროდუქტების მატება ბევრად არის დამოკიდებული ფესვთა სისტემის განვითარება-43. „მომზე“, ტ. 68, № 3, 1972



американский, лондонский, туринский, киевский и другие авторы [1-10] показали, что обработка семян рентгеновскими лучами и молибденом способствует ускорению прорастания семян, увеличению длины корней и урожая.

В нашей стране обработка семян рентгеновскими лучами и молибденом проводилась впервые в 1969 г. в Краснодарском крае [11].

(Принято 30. 6. 1972)

## ФИЗИОЛОГИЯ РАСТЕНИЙ

Ц. Г. ЦЕРЕТЕЛИ

### ВЛИЯНИЕ РЕНТГЕНОВЫХ ЛУЧЕЙ, МОЛИБДЕНА И ИХ СОВМЕСТНОГО ПРИМЕНЕНИЯ НА ПРОРОСТКИ И УРОЖАЙ ФАСОЛИ

#### Резюме

Предпосевная обработка семян фасоли (Цанава-3, Сапарке-75) молибденом и рентгеновскими лучами влияет на проростки. Полученные нами данные показали, что у обоих сортов фасоли энергия прорастания семян, рост проростков, и урожай семян особенно усиливается при одновременной обработке семян рентгеновскими лучами и молибденом.

#### PLANT PHYSIOLOGY

Ts. G. TSERETELI

### THE EFFECT OF X-RAYS, MOLYBDENUM AND THEIR COMBINED USE ON THE RADICLES AND YIELD OF HARICOT BEAN

#### Summary

Presowing treatment of the seeds of haricot bean (*Tsanava-3* and *Saparka-75*) with molybdenum and X-rays has an effect on the radicles. The data obtained indicate that the energy of seed germination, radicle growth and yield increase markedly as a result of simultaneous treatment of the seeds with molybdenum and X-rays.

#### ЛІТЕРАТУРА — REFERENCES

1. К. Е. Чхакая. Сб. «Микроэлементы и естественная радиоактивность», ч. II. Петрозаводск, 1965, 113—114.
2. А. Антанайтис. Труды Литовской с.-х. акад., 12, 1, 1956, 23—29.
3. Б. Б. Беда. Дальневосточная и дальневосточная физиология растений. Улан-Удэ, 1966.
4. Л. А. Шкуренков. Труды Калуж. Гос. обл. с.-х. опыт. ст., 7, 1970, 72—77.
5. И. М. Васильев. Действие ионизирующих излучений на растения. М., 1962.

- Б. Б. Борисов. Святочное облучение семян зерновых культур. Докторская диссертация на соискание ученой степени кандидата наук. Казань, 1969.
  - В. А. Григорьев. Святочное облучение семян зерновых культур. Труды института селекции и генетики растений АН СССР, № 2, 1972, 401—404.
  - К. К. Розе, В. Т. Киеце. Сб. «Предпосевное облучение семян сельскохозяйственных культур». М., 1963, 131—140.
  - Л. П. Бреславец. Рост растений. Львов, 1969, 361—370.
  - В. Н. Батыгин. Святочное облучение семян зерновых культур. Ученые записки Казанского университета, № 1, 1971, 157—159.
  - Н. Н. Ф. Батыгин, В. Н. Савин. Использование ионизирующих излучений в растениеводстве. Л., 1966.



## ФИЗИОЛОГИЯ ЧЕЛОВЕКА И ЖИВОТНЫХ

Т. Ш. ЛАБАХУА

### ОТРИЦАТЕЛЬНЫЕ КОМПОНЕНТЫ ПРЯМОГО ОТВЕТА КОРЫ ПРИ ГИПОТЕРМИИ В УСЛОВИЯХ НЕМБУТАЛОВОГО НАРКОЗА

(Представлено членом-корреспондентом Академии А. Н. Бакурадзе 11.5.1972)

В настоящее время для решения ряда теоретических вопросов в физиологических экспериментах широко применяется метод охлаждения больших полушарий головного мозга [1—3].

Лишь в нескольких исследованиях [4, 5] анализ прямого ответа коры производится при гипотермии. Задачей настоящей работы являлось изучение изменений двух отрицательных компонентов прямого ответа коры при охлаждении животного.

Как известно, прямой ответ коры на стимулы, приложенные к поверхности коры, состоит из начального отрицательного потенциала или дендритного потенциала (ДП) длительностью 15—30 мсек, отражающего ВПСП верхушечных дендритов, который развивается в ответ на импульсы, поступающие из волокон I слоя. При усилении стимула амплитуда ДП возрастает до определенной величины, и затем появляется положительный потенциал меньшей величины. При сильных стимулах возникает второй отрицательный компонент (МОП) длительностью более 250 мсек, происхождение которого еще окончательно не выяснено [6, 7].

Опыты проводились на кошках при неглубоком нембуталовом наркозе (60 мг/кг подкожно). Общее охлаждение производилось путем приложения льда в целлофановых мешках к большей части тела животного. Температура поверхности коры измерялась электротермометром с термисторным наконечником. Контролировались дыхание и кровяное давление. Животное охлаждалось с 37—36 до 20°C. Раздражающие и отводящие электроды были вмонтированы в плексигласовую пластинку, которая опускалась на поверхность супрасильвиеевой извилины, а противовесом обеспечивалось легкое прижатие пластиинки. Вся эта система свободно вращалась вокруг оси и, таким образом, сопровождала и пульсацию, и опадение мозга, наступающее при гипотермии. Раздражение вызывалось биполярным электродом с межполюсным расстоянием около 100 мк. Интенсивность стимулов 10 в для вызова ДП и 50 в для вызова МОП. Длительность прямоугольных импульсов 0,05 мсек. Активный отводящий электрод—серебряная проволока с шариком диаметром 0,5 мм на конце — располагался на расстоянии 1,5 мм от раздражающего электрода; индифферентный электрод устанавливался на отсепарированной мышце или на кости черепа. Потенциалы усиливались усилителем переменного тока с постоянной времени 0,7 сек и регистрировались катодным осциллографом С1—19А. Параллельно на бумаге электроэнцефалографа «Альвар» записывалась ЭКоГ. После полного исчезновения отрицательных компонентов животное согревали до их появления.

На основании полученных данных можно выделить три стадии изменения прямого ответа коры мозга при гипотермии.

1. В ранней стадии охлаждения с 37 до 32°C в ЭКоГ регистрируются нерегулярные медленные и быстрые волны разной амплитуды (рис. 1, А). Все компоненты прямого ответа — ДП, МОП, положительная фаза после ДП, а также отношение ДП2 к ДП1 изменялись незначительно (рис. 1, А), ослабевая или увеличиваясь в среднем на 20—30%. МОП испытывала одностороннее изменение с ДП, хотя его изменения по амплитуде могли быть больше. Если отсутствовала положительная фаза, то она могла появиться, а если она была, то незначительно увеличивалась.

2. Значительные изменения наблюдались при температурах мозга в пределах 32—24°C. Сначала наступало резкое изменение в ЭКоГ, которая приобретала конвульсивный характер за счет увеличения частоты высоковольтных и особенно быстрых низкоамплитудных компонентов. Эта критическая температура расположена в пределах 31—28°C; при дальнейшем охлаждении резко уменьшались частота и амплитуда волн ЭКоГ, что приводило к появлению медленных волн (рис. 1, А). Дендрит-

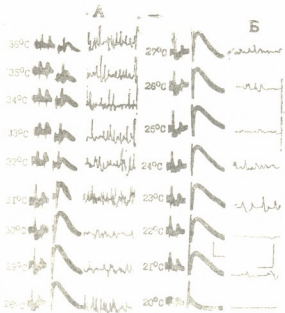


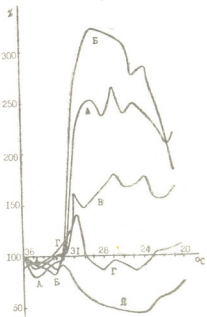
Рис. 1. Изменения ДП, МОП и ЭКоГ. Потенциалы отводятся от средней супрасильвийской извилины при охлаждении. Интенсивность стимулов 10 в для ДП (два стимула с интервалом 80 мсек) и 50 в для МОП. Длительность прямоугольных импульсов 0,05 мсек. Калибровка: 1 мв и 100 мсек для осциллографа; 500 мкв и 1 сек для ЭКоГ. Цифры слева — температура коры

ные потенциалы, МОП и положительная фаза резко возрастили (рис. 1, А) и имели односторонний характер (рис. 2). Возрастание начиналось непосредственно после указанной критической температуры. Положительная фаза, МОП и ДП1 нарастали равномерно, хотя существовала значительная разница в процентном отношении. Наибольшего значения достигала положительная фаза, значительно превосходя в процентном отношении оба компонента. ДП1 возрастал в среднем на 150—170%, а МОП — на 240—270%, а в одном случае даже на 450%. В пределах критической температуры (31—28°C) оба компонента достигали своего максимального значения, ДП2 также незначительно возрастал, уступая в амплитуде ДП1, и, естественно, кривая, характеризующая отношение ДП2 к ДП1, имеет на графике противоположное направление (рис. 2), оставаясь почти всегда ниже 100%. Такое динамическое равновесие

компонентов сохранялось до 24°C, испытывая лишь незначительные колебания.

3. Последняя стадия (24—20°C) характеризовалась прогрессивным уменьшением активности в ЭКоГ вплоть до ее полного исчезновения. Уменьшение всех компонентов прямого ответа начиналось почти одновременно (рис. 1,Б, рис. 2) и шло равномерно и односторонне. Ответы резко исчезали при 21—20°C. В этой стадии амплитуда ДП2 возрастила незначительно, и так как КП1 уменьшалась, то их отношение приближалось к 100%.

Рис. 2. Изменения компонентов прямого ответа коры при ее охлаждении с 35 до 20°C. Графики составлены на основании записей, приведенных из рис. 1. А—МОП, Б—положительная фаза, В—ДП1, Г—ДП2, Д—отношение ДП2 к ДП1 в абсолютных величинах (%)



Данные литературы свидетельствуют о развитии состояния повышенной возбудимости при температурах мозга в диапазоне 34—28°C III.

Хорошо известна зависимость метаболизма от температуры. В начале охлаждения скорость метаболизма остается высокой. В это время ЭКоГ и все компоненты прямого ответа незначительно изменяются. При «средних» температурах низкая метаболическая активность приводит к депрессии ретикулярной формации, которая имеет высокую чувствительность к метаболическим изменениям. В ЭКоГ начинают доминировать медленные волны [8]. В этой стадии резко возрастают все компоненты прямого ответа. Известно, что в это время увеличивается и частота разрядов клеток коры [2]. При исследовании импульсной активности нейронов коры кошки при ее охлаждении [2, 9] выделены стадии, очень сходные с теми, какие мы выделили в наших экспериментах при изучении прямых ответов коры. Вначале наблюдались незначительные изменения, затем (при 31—27°C) увеличивалась частота пиковых разрядов с последующим уменьшением их в амплитуде без изменения частоты (25—22°C) и, наконец, полностью исчезала активность нейронов (21—18°C). Можно думать, что увеличение амплитуды и продолжительности ДП должно происходить из-за возникновения добавочных отрицательных колебаний, которые обусловлены деятельностью промежуточных нейронов [6], а увеличение МОП связано также с усилением импульсной активности [6].

Скорость большинства метаболических реакций уменьшается приблизительно на 50% при понижении на каждые 10°C [5]. Видимо, «спонтанная» электрическая активность коры и прямые ответы исчезают в результате прямого угнетающего действия этих низких температур на метаболизм нейронов.

Академия наук Грузинской ССР  
 Институт физиологии

(Поступило 12.5.1972)

კატეგორია და ცენტრული მუნიციპალიტეტი

თ. ლაბახუა

შერჩის პირდაპირი პასუხის ზარყოფითი გოგონებითი პიკოტენიტის ნებაზოთაღის ნარკოზის პირობებში

რეზიუმე

შევავე ცდის პირობებში კატებზე შეისწავლებოდა ქერქის ელექტრული გაღიზახებით გაძოშვეული პირდაპირი პასუხის უარყოფითი კომპონენტებისა და ელექტროკორტიკოგრამის ცენტრალურ ხელუაზე ცხოველის ზოგადი გაცვების დროს და გამოყოფილ იქნა ამ ცენტრალურ დინამიკის 3 სტადია.

#### HUMAN AND ANIMAL PHYSIOLOGY

T. Sh. LABAKHUA

#### NEGATIVE COMPONENTS OF DIRECT CORTICAL RESPONSE UNDER HYPOTHERMIA IN NEMBUTALIZED CATS

##### Summary

The changes of negative components of direct cortical response (DCR) and ECoG in the middle suprasylvian gyrus in response to electrical stimulation were studied in highly narcotized (nembutal, 60 mg/kg) cats under conditions of general cooling. Three stages of the dynamics of these changes have been distinguished.

##### ლიტერატურა — REFERENCES

1. А. И. Ройтбах, Г. Л. Бекая. Сб. «Проблемы современной неврологии». Тбилиси, 1967, 334—344.
2. В. А. Сосенков, В. Д. Чирков. Нейрофизиология, № 1, 1970, 59—63.
3. W. Weinstein, J. H. Kendig, S. Goldring, J. L. O'Leary, H. Lourie. Arch. Neurol., 4, 1961, 441—449.
4. H. T. Chang. Gold Spring Harbor Symp., vol. 17, 1952, 189—202.
5. H. Lourie, J. G. Holmes, W. Weinstein, H. G. Schwartz, J. L. O'Leary. Arch. Neurol., 3, 1960, 163—176.
6. А. И. Ройтбах. Сб. «Современные проблемы деятельности и строения центральной нервной системы». Тбилиси, 1965, 67—87.
7. S. Goldring, J. L. O'Leary, M. J. Jerva. J. Neurophysiol., 24, 1961.
8. N. Gochan, E. T. Angelakos. J. Appl. Physiol., 18, 1963, 69—72.
9. J. B. Gartside, O. C. Lippold. J. Physiol., 189, 3, 1967, 475—487.



## ФИЗИОЛОГИЯ ЧЕЛОВЕКА И ЖИВОТНЫХ

Т. Н. ОНИАНИ  
(член-корреспондент АН ГССР)

### ДИНАМИКА ЭЛЕКТРИЧЕСКОЙ АКТИВНОСТИ НОВОЙ КОРЫ И ГИППОКАМПА ПРИ УДОВЛЕТВОРЕНИИ ПОТРЕБНОСТИ

Известно, что при развитии мотивированного эмоционального поведения электрическая активность новой коры и гиппокампа млекопитающих может претерпевать изменения разного характера, что выражается в десинхронизации электреноокортикограммы и синхронизации электрогиппокампограммы II—III. Если считать, что мотивацией поведения является развитие той или иной потребности, то при удовлетворении потребности можно было бы ожидать наступления обратной картины. На самом деле было замечено, что в процессе удовлетворения пищевой, питьевой и сексуальной потребностей в новой коре развиваются синхронизация медленной электрической активности в диапазоне альфа-ритма [4] и угнетение гиппокампального тета-ритма [5, 6]. Систематического исследования этих феноменов с одновременной регистрацией электреноокортикограммы и электрогиппокампограммы проведено не было. Кроме того, метод регистрации суммарной электроэнцефалограммы не дает возможности количественной оценки этих изменений. В плане дальнейшего изучения определенный интерес вызывает динамика не только альфа-ритма новой коры и тета-ритма гиппокампа, но и других компонентов электроэнцефалограммы. В данном сообщении приводятся факты, анализ которых позволяет ответить на вышепоставленные вопросы.

Опыты ставились на кошках с хронически вживленными металлическими электродами. Записывалась электрическая активность различных областей новой коры и дорсального гиппокампа. При помощи двухканального анализатора-интегратора фирмы «Sanei» производились спектральный анализ и интегрирование ритмов, составляющих электрическую активность новой коры и гиппокампа. Данные обрабатывались статистически и достоверность изменений определялась Т-критерием Стьюдента [7].

На рис. 1, А иллюстрирована электрическая активность зрительной области новой коры и дорсального гиппокампа кошки, у которой была произведена 48-часовая депривация пищи и питья. В подобном состоянии кошки в экспериментальной камере ведут себя обычно беспокойно, производят искательные движения и мякают. При этом в зрительной коре отмечается десинхронизация электрической активности, на фоне которой возникают нерегулярные медленные потенциалы по типу pointo-гиппокампальных спайков, подобно наблюдаемым в той же области новой коры в парадоксальной фазе сна. В гиппокампе же у голодающих и жаждущих кошек развивается гиперсинхронизация электрической активности, в которой превалирует тета-ритм. На фоне питья молока электрическая активность меняется прежде всего в гиппокампе,

что выражается в угнетении тета-ритма и возрастании дельта- и альфа-ритмов (рис. 1,Б). Спустя несколько секунд характерно меняется и электронеокортексограмма: усиливаются все медленные ритмы, особенно альфа-ритм (рис. 1,Б). Если до утоления жажды и голода у кошек отнимается молоко, то в новой коре восстанавливается десинхронизация, а в гиппокампе — гиперсинхронизация. Синхронизация медленной электрической активности на фоне питья наблюдается также в слуховой области новой коры.

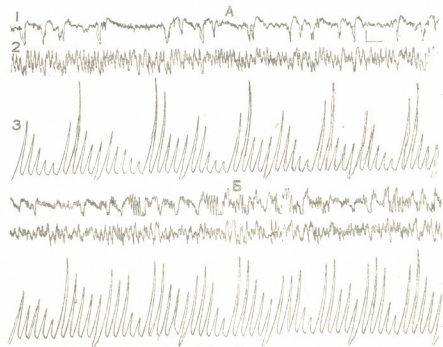


Рис. 1. Динамика электрической активности зрительной коры (1) и дорсального гиппокампа (2) кошки при жажде (А) и на фоне питья молока (Б). 3—интегрированные величины  $\delta$ -,  $\theta$ -,  $\alpha$ -,  $\beta_1$ - и  $\beta_2$ -ритмов зрительной коры (первые пять отклонений) и гиппокампа (следующие пять отклонений) за 5-секундные эпохи. Калибровка 1 сек, 200 мкв

Результаты статистической обработки большого числа записей по динамике  $\delta$ -(2—4 Гц),  $\theta$ -(4—8 Гц),  $\alpha$ -(8—13 Гц),  $\beta_1$ -(13—20 Гц) и  $\beta_2$ -(20—30 Гц) ритмов новой коры и гиппокампа на фоне жажды и питья молока представлены на рис. 2. Как видно, по сравнению с жаждущим состоянием, на фоне питья молока в зрительной коре увеличиваются все пять ритмов, но особенно сильно альфа-ритм. В гиппокампе же на фоне питья усиливаются дельта-, альфа- и бета- первый ритмы. Статистически недостоверно меняется бета-второй ритм и резко угнетается тета-ритм.

Сравнение изменений электрической активности новой коры и гиппокампа на фоне питья показало в первую очередь усиление альфа-ритма в зрительных и слуховых областях неокортикса и угнетение гиппокампального тета-ритма. Эти изменения должны быть электроэнцефалографическим коррелятом удовлетворения потребностей. Если считать правильным положение о том, что при развитии потребностей из-за воз-

буждения соответствующих гипоталамических центров развивается, с одной стороны, десинхронизация электреноекортиковограммы, а с другой, усиление гиппокампального тета-ритма [3], то синхронизация электроноекортиковограммы и угнетение гиппокампального тета-ритма на фоне

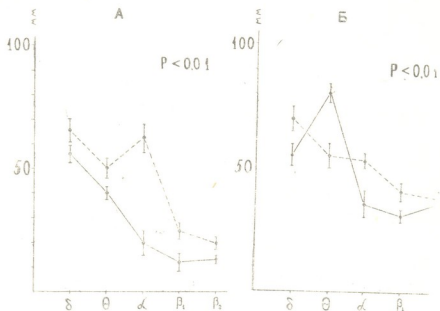


Рис. 2. Изменение  $\delta$ -,  $\theta$ -,  $\alpha$ -,  $\beta_1$ - и  $\beta_2$ -ритмов зрительной коры (А) и гиппокампа (Б) у кормящей (●—●) кошки на фоне питья молока (●—●—●)

удовлетворения потребностей, видимо, обусловлены возбуждением других центров гипоталамуса или вообще лимбической системы. Они по принципу решетчатого взаимоотношения вызывают торможение центров, возбуждение которых вызывает развитие потребности, в результате чего снимается их активирующее влияние на кортикальные структуры [8].

Академия наук Грузинской ССР  
Институт физиологии

(Поступило 16.6.1972)

ადამიანისა და ცენტრული სისტემის

#### თ. ონიანი

(საქართველოს სსრ მეცნ. კაფედის წევერ-კორესპონდენტი)

ახალი კირიცხვა და პიროვნების მღებრიზე ართივობა დინამიკა მოთხოვნილი დაგენერირების დონის

#### რ. ზეგებაძე

შეისწავლებოდა ახალი ქერქისა და ჰიპოკამპის ელექტრული აქტივობის ლინაბიგა მშეირ და მყურვალ კატებში რძის სმის გავლენით. აღმოჩნდა, რომ ამ დროს აღილი აქტების ახალი ქერქის ელექტრული აქტივობის სინქრონიზაციას უკეთა რიტმის დიაპაზონში და პიპლაზის თეტა-რიტმის დაკნინე-

Ցան. Հայ Շեշեքեծա Ֆոթոյամենս քանարհից նել հոգմեծեն, օսոնո առ առ առ մըրորդեցեան, օնրուցեան կոճեց. Ամհոցալ, մոտեղոցնուլցեատա գայմապոցուլցեանսա յըլլյէթրուույուրույոցրամա ուլցլեծա օսց, հոցորուց յը ելցեծա ժոլուս քորուցու զանոն, — ուլցլեմոն, զանցուարցեցեանս. Ամ մոցլենաս լոնդա զանաձունցեցլու տացոն, բայոնոն մշուա դա մշամցեծարց նաֆուլցեցնո առևեծուլո սթրույիթուրցեանս հուպուրույուլո շրտույրունա.

## HUMAN AND ANIMAL PHYSIOLOGY

T. N. ONIANI

### DYNAMICS OF THE NEOCORTICAL AND HIPPOCAMPAL ELECTRICAL ACTIVITY DURING SATISFACTION OF NEEDS

#### Summary

The dynamics of the neocortical and hippocampal electrical activity during milk drinking behavior was studied in thirsty and hungry cats. In this case, synchronization of all rhythms in the neocortical electrical activity and decrease in the hippocampal theta rhythm occur. As to other hippocampal slow rhythms, they undergo augmentation. Thus, during satisfaction of the animal's needs the electroencephalogram shows changes similar to those occurring in a drowsy state during the first phase of sleep. The reciprocal relationship between the midbrain and diencephalic structures seems to account for this phenomenon.

#### ՀԱՅՈՒԹԱԳՐԱ — ЛИТЕРАТУРА — REFERENCES

1. G. Moruzzi, H. W. Magoun. *Electroenceph. Clin. Neurophysiol.*, 1, 1949, 455.
2. J. Green, A. Ardunini. *J. Neurophysiol.*, 17, 1954, 533.
3. Т. Н. Ониани, А. А. Угиадзе, Е. В. Абзианидзе. *Нейрофизиология*, 2, 1970, 497.
4. C. D. Clement, M. B. Sterman, W. Wyrtwicka. *Electroenceph. Clin. Neurophysiol.*, 18, 1964, 355.
5. A. Routhenberg. *Physiol. Behav.*, 3, 1968, 533.
6. Т. Н. Ониани, М. Г. Коридзе, Е. В. Абзианидзе. Сб.: «Структурная, функциональная и нейрохимическая организация эмоций». Л., 1971, 113.
7. Г. Ф. Лакин. *Биометрия*, 1968.
8. P. K. Anokhin. *Ann. N. Y. Acad. Sci.*, 92, 1961, 809.



## ФИЗИОЛОГИЯ ЧЕЛОВЕКА И ЖИВОТНЫХ

Э. С. МОНИАВА, Т. Г. ТАТЕВОСЯН

### ВЗАИМОДЕЙСТВИЕ ЭЛЕКТРИЧЕСКИХ ОТВЕТОВ ЯДЕР ШВА СТВОЛА МОЗГА, ВОЗНИКАЮЩИХ НА РАЗДРАЖЕНИЕ КОЖИ И ЧРЕВНОГО НЕРВА

(Представлено членом-корреспондентом Академии С. П. Нарикашвили 23.6.1972)

Ранее было изучено представительство разных экстерорецепторов в ядрах шва (ЯШ) ствола мозга [1]. Как показали опыты, в этой структуре представлена главным образом соматосенсорная чувствительность. Далее было проведено сравнительное изучение нейронной активности ЯШ и ретикулярной формации (РФ) ствола [2]. В настоящей работе приведены результаты исследования ответной активности ЯШ на раздражение чревного нерва и ее взаимодействия с ответами, возникающими на кожную стимуляцию.

Опыты проводились на наркотизированных хлоралозой (40—50 мг/кг) кошках. Регистрация подкорковых потенциалов производилась монополярно константными электродами (диаметр кончика 0,2 мм), ориентированными по атласу Бермана [3]: координаты для бульбарных участков ЯШ и РФ Р 12—9; L 0; Н 8 и Р 12—9, L 2, Н 8 соответственно, а для мезэнцефалических А 2—3, L 0, Н 3, 5 и А 2—3, L 3, Н 3. Индифферентный электрод помещался в любой kosti. После опыта точки отведения коагулировались пропусканием постоянного тока (3 мА в течение 20 мсек) и на срезах проверялась локализация кончика электрода.

Одиночное раздражение чревного нерва вызывает как в ростральных, так и в каудальных частях ЯШ и РФ позитивно-негативные ответы (с преобладанием того или другого компонента в разных опытах). Обычно амплитуда ответов бывает больше, когда чревный нерв раздражается пачкой импульсов, но, как правило, она бывает меньше амплитуды кожных ответов, вызванных стимуляцией кожи. Видимо,afferents из внутренних органов представлены в ЯШ в меньшем количестве, чем соматосенсорные. Латентный период ответов на раздражение чревного нерва в бульбарной (около 20 мсек) и мезэнцефалической части (22—23 мсек) был в среднем на 5—8 мсек больше, чем латентный период кожных ответов. Это, видимо, свидетельствует о том, что передача висцеральной импульсации происходит через большее количество синапсов.

При парных раздражениях чревного нерва с уменьшением интервала между раздражениями от 1000 до 320 мсек (рис. 1, осц. 1—4) ответы на тестирующие стимулы ни в МЯШ (средние отведения), ни в МРФ (нижние отведения) заметно не меняются в амплитуде. Но при интервалах 220—200 мсек (осц. 5—7) амплитуды тестируемых ответов в МЯШ и МРФ возрастают, по сравнению с амплитудой кондиционирующих ответов. Этого не видно в ответах соматосенсорной коры (верхние отведения). При дальнейшем уменьшении интервала ответы как под-

корковых образований, так и коры полностью пропадают (осц. 8,9). При еще меньших интервалах (20—5 мсек, осц. 10, 11) амплитуда ответов не меняется.

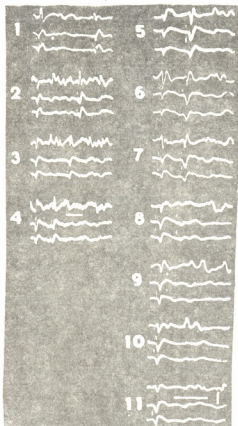


Рис. 1. Взаимодействие ответов в ЯШ и РД при парном раздражении чревного нерва. В каждой осциллограмме (1—11) отводятся (здесь и на последующих рисунках): верхний луч—соматосенсорная кора; средний луч—МЯШ; нижний луч—МРД. Интервал между стимулами: 1—1000 мсек; 2—650 мсек; 3—510 мсек; 4—280 мсек; 5—240 мсек; 6—220 мсек; 7—200 мсек; 8—180 мсек; 9—100 мсек; 10—20 мсек; 11—15 мсек. Калиброка: 0,2 мв; 300 мсек

В тех случаях, когда раздражение чревного нерва следует за кожным раздражением (рис. 2), ответ на тестирующий стимул и в МЯШ, и в МРД начинает уменьшаться в амплитуде при интервале 200 мсек (осц. 3) и полностью блокируется при интервале 140 мсек между стимулами (осц. 5). В качестве контроля амплитуды только тестируемых ответов даны справа от предыдущих осциллограмм. При малых интервалах между стимулами (20—5 мсек, осц. 7, 8) ответы МЯШ и МРД незначительно возрастают в амплитуде.

На рис. 3 представлены результаты обратного сочетания стимулов, когда кондиционирующими стимулами раздражается чревный нерв, а тестирующими — кожа. Хорошо видно, что ответ на кожное раздражение совершенно не меняется с уменьшением интервала (до 80 мсек) между раздражениями (осц. 1—7). И только при интервале 20—5 мсек (осц. 8, 9) наблюдается незначительное облегчение ответа. Как и на рис. 2, для контроля справа приведены ответы, возникающие только на тестирующие стимулы.

Взаимодействие ответов чревных афферентов с кожными ответами свидетельствует о возможной конвергенции их на одних и тех же элементах ЯШ. В спинном мозге и РД это показали П. Г. Костюк и др.

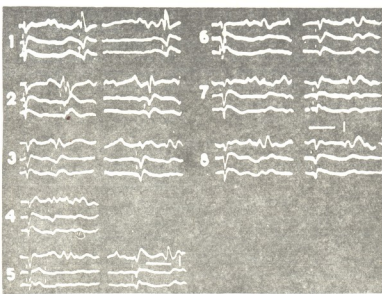


Рис. 2. Взаимодействие ответов в ЯШ и РФ при кондиционирующем раздражении кожи передней лапы и тестирующей стимуляции чревного нерва. Интервалы между стимулами: 1—480 мсек; 2—280 мсек; 3—220 мсек; 4—180 мсек; 5—150 мсек; 6—50 мсек; 7—5 мсек; 8—1 мсек; Калибровка: 0,2 мв; 200 мсек

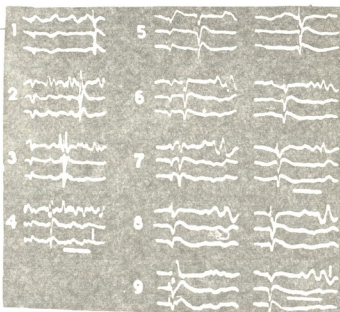


Рис. 3. Взаимодействие ответов в ЯШ и РФ при кондиционирующем раздражении чревного нерва и тестирующей стимуляции кожи передней лапы. Интервалы между стимулами: 1—750 мсек; 2—600 мсек; 3—450 мсек; 4—230 мсек; 5—220 мсек; 6—130 мсек; 7—80 мсек; 8—10 мсек; 9—5 мсек; Калибровка: 0,2 мв; 300 мсек (осц. 1—4) и 200 мсек (осц. 5—9)

[4], Н. П. Преображенский и Ю. П. Лиманский [5]. Более сильное действие кожных ответов на чревные, чем чревных на кожные, видимо, свидетельствует о количественной разнице поступающих афферентов из одного и другого источника. Но это не специфическая особенность ЯШ, ибо одновременное отведение соседней РФ ствола показало аналогичное изменение ответов и в этой структуре.

Академия наук Грузинской ССР  
 Институт физиологии

(Поступило 23.6.1972)

კანონისა და ცოდვებისა ფიზიოლოგია

ე. მონიავა, ტ. თათევოსიანი

კანონისა და ცოდვების ნირვის გაღიზიანებით აღძრული ტვინის  
 დეროს ნაკერის ბირთვების ელექტრული პასუხისმის

ურთიერთობებიდან

რეზიუმე

კანის წინაშორბედი სტიმულაციისას შეგნეულობის ნერვის გაღიზიანებით გამოწვეული პასუხი გერ ტერდება და 150 msec ინტერვალის ღრუს ის- პობა. გაღიზიანებათ პიოლუკ შეულლებისას კანის სტიმულაციით გამოწვეული პასუხი სრულებით არ იცვლება. ამრიგად, წინაშორბედი კანის გაღიზიანების ძლიერი მოქმედება, როგორც ჩანს, მიუთითებს იმავე, რომ ნაკერის ბირთვებში კანის აფერენტული უფრო ძლიერადაა წარმოდგენილი, ვიდრე ინტერიორული ტორებისა.

HUMAN AND ANIMAL PHYSIOLOGY

E. S. MONIAVA, T. G. TATEVOSIAN

INTERACTION OF ELECTRICAL RESPONSES OF THE BRAIN  
 STEM-RAPHE NUCLEI EVOKED BY THE SKIN AND  
 SPLANCHNIC STIMULATIONS

*Summary*

When the interval between the paired stimuli delivered to the splanchnic nerve ranged from 200 to 240 msec, the testing response was augmented. Further decrease in the interval led to its suppression and complete blockage. In the case of conditioned skin stimuli, the testing response to splanchnic stimulation was suppressed and completely blocked with 150 msec interval. Conditioning splanchnic stimulation had no effect on the testing skin response.

Лიტერატურა — ЛИТЕРАТУРА — REFERENCES

1. Т. Г. Татевосян. Сообщения АН ГССР, 57, № 3, 1970, 673.
2. С. П. Нарикашвили, В. С. Арутюнов, Т. Г. Татевосян, Нейрофизиология, 3, № 1, 1971, 32.
3. А. L. Bergman. The Brain Stem of the Cat. A Cytoarchitectonic Atlas with Stereotaxic Coordinates. The Univ. Wisconsin Press, Milwaukee and London, 1968.
4. П. Г. Костюк, Ю. П. Лиманский. Интегративная деятельность нервной системы в норме и патологии. М., 1968.
5. Н. П. Преображенский, Ю. П. Лимановский. Нейрофизиология, 2, 1969, 177.



## ФИЗИОЛОГИЯ ЧЕЛОВЕКА И ЖИВОТНЫХ

В. А. КУРЦХАНИЯ, Э. К. МОДЕБАДЗЕ

### ВЛИЯНИЕ АУТОМАММИНИЗАЦИИ НА СВЕРТЫВАЮЩУЮ СИСТЕМУ КРОВИ ПРИ ДИСФУНКЦИОНАЛЬНЫХ МАТОЧНЫХ КРОВОТЕЧЕНИЯХ

(Представлено членом-корреспондентом Академии И. К. Пагава 28.6.1972)

Расстройства менструального цикла, в частности так называемые дисфункциональные маточные кровотечения, занимают одно из ведущих мест в структуре гинекологической заболеваемости. В патогенезе кровотечений определенную роль играет нарушение функционального состояния свертывающей и антисвертывающей систем крови, развивающееся на почве нервно-эндокринных расстройств.

Известно, что электрическое раздражение нейрорецепторов шейки матки приводит к гемостатическому эффекту. В литературе имеются также указания на то, что при маточных кровотечениях маммии и автомамминализация с хлористым кальцием оказывают благоприятное действие [1—4].

Целью данной работы является изучение влияния автомамминализации на свертывающую систему крови при функциональных маточных кровотечениях, так как автомамминализация с хлористым кальцием при лечении функциональных маточных кровотечений применяется широко, а свертывающая система крови под ее влиянием не изучена.

Нами обследованы 35 больных с дисфункциональными маточными кровотечениями, которым проводилась автомамминализация с 10% раствором хлористого кальция при силе тока 5—6 в продолжительностью 15—20 минут (по 10—20 сеансов). У всех больных до и после лечения исследовалось функциональное состояние свертывающей системы крови, характеризующее все три фазы гемостаза, по М. С. Мачабели.

Больные независимо от характера заболевания были распределены на группы по коагуляционным данным (нормокоагулемическое, гиперкоагулемическое и гипокоагулемическое состояние крови). В первой группе были объединены 9 больных, из них в чадородном возрасте 5 и в климактерическом 4, во второй группе — 10 больных, из них 7 в чадородном возрасте и 3 в климактерическом, в третьей группе — 16 больных, из них 10 в чадородном и 6 в климактерическом. Все больные после полного курса лечения выписались выздоровевшими. После прекращения кровотечения повторно изучалось состояние свертывающей системы крови и полученные данные сравнивались с данными до лечения.

Нормокоагулемическое состояние крови при функциональных маточных кровотечениях. Время спонтанного свертывания цельной крови у этих больных до лечения составляло  $5,33 \pm 0,3$  мин, после лечения укоротилось до  $4,96 \pm 0,53$  мин ( $P < 0,01$ ). Количество тромбоцитов с  $1 \text{ mm}^3$  в среднем составляло  $231 \pm 23,56$  тыс., после лечения увеличилось до  $283 \pm 13,14$  тыс. ( $P < 0,001$ ). Показатели тромботеста во всех случаях в период кровотечения „Зембба“, б. 68, № 3, 1972

чения и после него находились в пределах нормокоагулемии. Время рекальцификации плазмы до лечения составляло  $128 \pm 7,96$  сек, после лечения существенных изменений не наблюдалось ( $P > 0,5$ ). Потребление протромбина в сыворотке до и после лечения не изменялось, оставаясь в пределах нормальных величин ( $P < 0,2$ ). Протромбиновый комплекс плазмы по индексу до лечения равнялся  $96,44 \pm 0,99\%$ , после лечения изменился незначительно и составлял  $98,89 \pm 0,47\%$  ( $P > 0,1$ ). Тромбиновое время до и после лечения не изменялось ( $P > 0,5$ ). Время свободного гепарина до и после лечения также не выходило за пределы нормы ( $P > 0,2$ ). Количество фибриногена до лечения было равно  $4,44 \pm 0,17$  мг/мл, после лечения возросло до  $5,11 \pm 0,1$  мг/мл ( $P < 0,001$ ). Проба на наличие фибриногена Б во всех случаях как до, так и после лечения была отрицательной.

Таким образом, наши данные свидетельствуют о том, что у больных с функциональными маточными кровотечениями, объединенными в этой группе, до лечения в системе свертывания крови существенных изменений не наблюдалось. После лечения гемостатический процесс оставался в пределах нормы, отмечалось только незначительное укорочение времени спонтанного свертывания цельной крови и увеличение количества фибриногена.

Гиперкоагулемическое состояние крови при функциональных маточных кровотечениях. В этой группе время спонтанного свертывания цельной крови до лечения равнялось  $4,7 \pm$  мин, после лечения оно не претерпело изменений ( $P > 0,5$ ). Не наблюдалось изменений также в тромботесте. Количество тромбоцитов в  $1 \text{ мм}^3$  крови до лечения составляло  $254 \pm 17,5$  тыс., после лечения —  $262 \pm 5,44$  тыс. ( $P < 0,5$ ). До лечения время рекальцификации плазмы во всех случаях было укорочено до  $84,5 \pm 3,16$  сек, после лечения во всех случаях оно сравнительно удлинялось и приближалось к нормальной величине —  $118,4 \pm 2,47$  сек ( $P > 0,02$ ). Потребление протромбина в сыворотке до лечения было равно  $47,9 \pm 3,16$  сек, после лечения не изменилось ( $P > 0,5$ ). Протромбиновый комплекс плазмы по индексу до лечения составлял  $96,9 \pm 0,9\%$ , после лечения —  $99,5 \pm 0,46\%$  ( $P < 0,01$ ), что указывает на незначительное увеличение протромбинового комплекса. Тромбиновое время, по сравнению с исходным уровнем, также не изменилось: до лечения —  $38,3 \pm 0,5$  сек, после лечения —  $36,5 \pm 0,5$  сек ( $P > 0,05$ ). Не отмечалось изменений и во времени свободного гепарина до и после лечения ( $P < 0,5$ ). Количество фибриногена до лечения равнялось  $4,65 \pm 0,2$  мг/мл, после лечения увеличилось до  $10,1 \pm 1,68$  мг/мл ( $P < 0,05$ ). Проба на наличие фибриногена Б во всех случаях до и после лечения была отрицательной.

Итак, у всех больных, входящих в эту группу, до лечения отмечалось выраженное укорочение времени рекальцификации плазмы, а другие показатели не претерпевали существенных изменений. После лечения удлинялось время рекальцификации, по сравнению с исходным уровнем, незначительно увеличивались протромбиновый индекс и количество фибриногена.

Гипокоагулемическое состояние при функциональных маточных кровотечениях. В данной группе время спонтанного свертывания цельной крови до лечения составляло  $5,4 \pm 0,85$  мин, после лечения —  $4,58 \pm 0,22$  сек ( $P < 0,001$ ). Тромботест как до лечения, так и после него показывали нормокоагулемию. Количество тромбоцитов в  $1 \text{ мм}^3$  до лечения равнялось  $223 \pm 9,74$  тыс., после лечения —  $281 \pm 4,3$  тыс. ( $P < 0,5$ ). Время рекальцификации плазмы до лечения составляло  $115 \pm 1,7$  сек, после лечения почти не изменилось —  $119,9 \pm 1,0$  сек ( $P > 0,1$ ). Потребление протромбина в сыворотке в пе-

риод кровотечения — не превышало  $37,3 \pm 0,83$  сек, после лечения повысилось до  $46,2 > 1,46$  сек ( $P < 0,2$ ). Протромбиновый комплекс плазмы до лечения был снижен до  $75 \pm 1,7\%$ , а после лечения повысился до  $91,8 \pm 0,83\%$  ( $P < 0,001$ ). Тромбиновое время до лечения было в пределах нормы —  $36 \pm 0,63$  сек, а после лечения снизилось до  $35 \pm 0,42$  сек ( $P < 0,02$ ). Время свободного гепарина до лечения было равно  $5,76 \pm 0,4$  сек, а после лечения —  $4,94 \pm 0,3$  сек ( $P < 0,001$ ). Количество фибриногена до лечения составляло  $4,6 \pm 0,25$  мг/мл, а после лечения возросло до  $5,09 \pm 0,12$  мг/мл ( $P < 0,001$ ). Во всех случаях тест на наличие фибриногена Б до и после лечения был отрицательным.

Таким образом, у больных этой группы до лечения наблюдалось явления гипокоагулемии, которая в основном протекала на фоне снижения уровня протромбинового комплекса. После лечения отмечалось укорочение гепаринового времени и повышение количества фибриногена.

Надо полагать, что при автомамминизации грудные железы производят вещества, благоприятно действующие на гемостаз. Эти вещества оказывают как миотоническое, так и вазопрессивное воздействие. Под их влиянием происходит, с одной стороны, сокращение матки, а с другой — сужение сосудов, что, несомненно, должно воздействовать на гемостаз.

Однако эффект автомамминизации обусловлен не только влиянием инкрементов из грудной железы, но и введением хлористого кальция путем электрофореза. Что касается свертывающей системы крови, то, как показали наши наблюдения, при функциональных маточных кровотечениях у больных со стороны свертывающей системы крови отмечается неоднородная картина в виде нормо-, гипо- и гиперкоагулемии, однако под влиянием лечения она нормализуется.

Институт акушерства и гинекологии  
МЗ ГССР

(Поступило 29.6.1972)

ადამიანისა და ცოცვილთა ფიზიოლოგია

ა. კურტსხალია, ე. მოდებაძე

აუტომამინიზაციის გავლენა სისხლის ზემადიდების დისტანაზი  
ცენტრი სისხლის დინის ღრმე

6 წ 10 გ 3 გ

შესწავლით ფუნქციური სისხლის დენის 35 შემთხვევა. საფიქტობეჭლია, რომ აუტომამინიზაციის გავლენით სარძეო გირკვლები პროცეციურებების ნივთიერებას, რომელსაც საპერმოსტაზო მოქმედება აქვს. სარძეო გირკვლის პროცეციის ინტენსიურობა აქვს როგორც მიოტონური, ისე ვაზომოტორული მოქმედების უარის. ამ ნივთიერების მოქმედებით ხდება სისხლძარღვების შევიწროვება და სრული პერსტაზი.

HUMAN AND ANIMAL PHYSIOLOGY

V. A. KURTSKHALIA, E. K. MODEBADZE

THE INFLUENCE OF AUTOMAMMINIZATION ON THE COAGULATION SYSTEM IN DYSFUNCTIONAL UTERINE HEMORRHAGE

Summary

35 patients with so-called dysfunctional uterine hemorrhage, who had been subjected to automamminization by electrophoresis with calcium chloride,

were studied. It is suggested that in automamminization the mammary glands produce some substances favouring hemostasis. The produced substances are characterized by both myotonic and vasoconstrictor action. Some vasoconstriction takes place under the influence of these substances, undoubtedly exerting some influence on hemostasis. However, the effect of automamminization is due not only to the influence of mammary gland secretions, but also on the injection of calcium chloride by means of electrophoresis.

#### ЛІТЕРАТУРА — REFERENCES

1. А. М. Мыкретчян, Г. А. Келлат. Гинекология и акушерство, № 1, 1926.
2. К. Ф. Гришина и др. Акушерство и гинекология, № 8, 1936, 97—974.
3. И. И. Бенедиктов. Акушерство и гинекология, № 1, 1954, 21—26.
4. А. Б. Прейсман. Акушерство и гинекология, № 8, 1956, 975—978.

ФИЗИОЛОГИЯ ЧЕЛОВЕКА И ЖИВОТНЫХ

М. А. МАИСУРАДЗЕ

К ИЗУЧЕНИЮ РОЛИ ПЕРЕДНЕГО МОЗГА В ПОВЕДЕНИИ  
АМФИБИЙ

(Представлено академиком И. С. Бериташвили 27.6.1972)

Корковые субстраты, которые у высших позвоночных легли в основу развития главных отделов головного мозга, впервые стали возникать у амфибий. Этими формациями являются: архипаллиарная область — гомолог будущей гиппокампальной формации, палеополлярная область, которая соответствует пириформной доле млекопитающих, и находящаяся между ними дорсальная зона, соответствующая примордиуму новой коры млекопитающих. Интересно отметить, что в примордиальном гиппокампе амфибии обнаружено присутствие клеток двух типов: звездчатых и ассоциационных колбовидной формы III.

Ряд электрографических исследований показывает, что некоторые структуры переднего мозга уже приобрели значительное функциональное значение [2].

Определенная роль в осуществлении условнорефлекторного поведения приписывается переднему мозгу амфибий. У лягушек с удаленными полушариями переднего мозга условные рефлексы на свет и звонокрабатываются с большей трудностью, чем у интактных [3].

В филогенетическом развитии животных у амфибий уже хорошо намечается психонервное поведение, т. е. поведение, направляемое образом воспринятого жизненно важного объекта [4].

Роль полушарий переднего мозга амфибий в осуществлении психонервного поведения пока не изучена. В настоящей работе мы попытались выяснить этот вопрос.

Опыты проводили в двух сериях на жабах и лягушках. В одной серии опытов сначала исследовали психонервное поведение, потом проводили операцию и наблюдали за изменением поведения. В другой серии заранее удаляли передний мозг и после этого ставили опыты. Операцию проводили без наркоза; черепную кость открывали так, что после удаления переднего мозга снова закрывали рану той же черепной костью.

Опыты ставили методом свободного передвижения животных и с помощью отсроченных реакций определяли максимум запоминания места нахождения пищи и электрического раздражителя. Запоминание жабами и лягушками места нахождения пищи изучали в специальном террариуме, как при комплексном (всеми органами чувств), так и при изолированном зрительном восприятии пищи.

При изучении комплексного восприятия лягушек и жаб, сидящих в террариуме на пластинке за перегородкой, отводили на расстояние 40 см к ширмке, давали часть живой пищи (хлебных червей), затем отводили обратно за перегородку, через разные промежутки времени давали свободу (открывали перегородку) и определяли максимум отсрочки, при которой животные правильно шли к месту пищи.

В опытах с изучением изолированного зрительного восприятия через прозрачную перегородку показывали пищу и клади ее за ширмой и вышеописанным методом определяли время запоминания местонахождения пищи.

Из наших опытов выяснилось, что интактные лягушки при комплексном восприятии запоминают местонахождение пищи в течение 1—2', а при изолированном зрительном восприятии — в течение 40"—1'30". У жаб запоминание местонахождения пищи при комплексном восприятии равно 1"—2'30", а при изолированном зрительном восприятии — 1"—2'10".

Запоминание местонахождения электрического раздражителя изучалось в экспериментальном аквариуме, в конце которого были два отделения — А и В. В них были помещены электроды для раздражения. Сначала животных приучали быть в одном из этих отделений. Они скоро привыкали и сидели там целыми часами, иногда выходили, но при прикосновении палкой без всякого сопротивления возвращались обратно в то же отделение. После привыкания к отделению лягушек раздражали электрическим током 5—7 в, а жаб — 10—12 в. При раздражении животные быстро выбегали из отделения. Через разные промежутки времени их заводили обратно. Тот промежуток времени, при котором животные сопротивлялись экспериментатору или же выявляли реакцию страха, мы считаем максимумом запоминания местонахождения электрического раздражения. Обнаружено, что местонахождение электрического раздражения лягушки запоминают в течение 2"—2'30", а жабы — в течение 2"—2'50".

После удаления переднего мозга в поведении лягушек и жаб отмечаются общие изменения. В течение 2—4 дней они сидят на одном месте без движения. При прикосновении палкой еле передвигаются, не принимают пищу. Лягушки на 5-й день, а жабы на 7-й начинают кушать, но едят мало, медленно и поздно хватают пищу. Через 2—4 недели после операции они хорошо двигаются, особенно лягушки, и как будто совсем не отличаются от интактных, однако кушают все еще мало и медленно.

Из опытов на оперированных животных выяснилось, что у них, по сравнению с интактными, значительно изменяется психонервное поведение. Они не запоминают местонахождения пищи ни при изолированном зрительном восприятии, ни при комплексном восприятии его, после открытия перегородки не выходят, а при отталкивании палкой или не выходят из обычного места, или же направляются в другую сторону.

При исследовании психонервного поведения, направляемого образом местонахождения электрического раздражителя, установлено, что в первые дни после операции на электрическое раздражение лягушки и жабы двигаются на месте, лезут на стену аквариума и не находят дверь для выхода. Через месяц они активно начинают двигаться, но все-таки, по сравнению с интактными, трудно находят дверь. Они не запоминают местонахождение электрического раздражителя и не выявляют никаких эмоциональных реакций страха.

Таким образом, из проведенной работы видно, что передний мозг у амфибии является субстратом психонервного поведения. После удаления переднего мозга они не запоминают местонахождения воспринято го жизненно важного объекта.

Тбилисский государственный университет

(Поступило 29.6.1972)

ა. მაისურაძე

## ამფიბიების მცირებაში ზინა ტენის როლის გადაცემისათვის

რეზიუმე

შესწავლითა წინა ტვინის გავლენა ამფიბიების (ბაყაყები და გომბეშოები) ფსიქონერვულ ანუ აღქმული ობიექტის ხატით განპირობებულ ქვევაზე. ცდები ტარდებოდა თავისუფალი მოძრაობის მეთოდით და დაყოვნებული რექციების საშუალებით ისაზღვრებოდა აღქმული ობიექტის აღგილდებარეობის დამახსოვრების დრო. გარკვა, რომ ბაყაყებსა და გომბეშოებს წინა ტვინის მოცილების შემდეგ ექარგებათ აღქმული ობიექტის აღგილდებარეობის დამახსოვრების უნარი. ისინი ვეღარ იმახსოვრებენ საკვების აღგილდებარეობას, როგორც მისი კომპლექსური (ყველა გრძნობის ორგანოებით), ისე ძნოლოდ შეძლებელობითი აღქმისა. ასევე ვერ იმახსოვრებენ ელექტრული გალიზიანების აღგილდებარეობას.

HUMAN AND ANIMAL PHYSIOLOGY

M. A. MAISURADZE

## CONCERNING THE ROLE OF THE FOREBRAIN IN THE BEHAVIOUR OF AMPHIBIANS

Summary

The influence of the forebrain on the psychoneurological behaviour of amphibians (toads and frogs) i. e., behaviour directed by the image of a perceived vitally-important object has been studied. Tests were carried out by the method of free movement, and the duration of the retention of the location of a perceived object was determined with the help of delayed reactions. Frogs and toads were found to lose the ability for remembering the location of perceived objects after removal of the forebrain. They fail to remember the location of food either by its complex(i. e., all sense organs) or by visual perception alone. Neither do they remember the location of electric stimuli.

## ლიტერატურა — ЛИТЕРАТУРА — REFERENCES

1. Н. Н. Hoffmann. Compar. Neurol., 1963, 120.
2. А. И. Карапян. Функциональная эволюция мозга позвоночных. М., 1970.
3. А. В. Бару. Сб. «Вопросы сравнительной физиологии и патологии высшей нервной деятельности». М., 1955.
4. ა. მაისურაძე. საქართველოს სსრ მეცნიერებათა აკადემიის მომსახური, 58, № 2, 1970.

აღაშვილისა და ცხოვლითა ფიზიოლოგია

6. სიხარულის, ა. ჩადაგიავილი

ცვეჭარმავლიგში ემოციური მეხსიერების შესახებ

(წარმოადგინა აკადემიკოს ა. ბერიტაშვილმა 30.6.1972)

ქვეწარმავალთა ქცევა და მისი თავისებურებანი ქერ კიდევ არაა საქმიანდ შესწავლილი. ქვეწარმავლების ქცევის შესწავლა ძირითადად იყარგლებოდა მათი პირობითო ეფუძნებური რეაქციების შესწავლით [1—4]. ცნობილი მონაცემების შიხედვით, ხმელეთისა და ჭაობის კუზე პირობითი რეფლექსების გაცნებუშვებას ბევრითს შედევლობითსა და ყნოსკითს გამოიზიანებელზე პიროდება საქმიანობ დიდი რიცხვით პირობითი გამოიზიანებლის შეულლებისა უპიროდება ბოსთან (200—300). ჩვენს ლაბორატორიაში ჩატარებული ცდებით გამოიჩინა, რომ კუს აქვს აღმული საკვები ობიექტისა და მტკიცნეული გალიზიანების დაბასოვრების უნარი [5, 6]. ძუძუმწოვარ ცხოველებზე ჩატარებული იქნის გრძელი მენტიდან ცხობილია, რომ „შიშის“ რეაქციის შენახვის ხანგრძლივობა (რასაც იწევს ელექტრული გალიზიანება) დამოკიდებულია გამოიზიანებელი ძალის სიძლიერესა და მოქმედების დროზე [7—10].

ჩვენი მიზანი იყო შეგვესწავლა ქვეწარმავალთა კლასიდან ხვლიკებისა და კუს ქცევა მტკიცნეულ გალიზიანებაზე. ერთოდ, გვანტერესებდა გავერცია კუს ქცევის მტკიცნებულ ცხოველებზე (წინა ტვინისა და ნათებმის ამოკვეინტერც და ოპერიოდებულ ცხოველებზე) ელექტრულ გალიზიანებათა მოქმედების დამახსოვრება და შესიერების ზღვარის ცვლილება სხვადასხვა ძალის გალიზიანებაზე.

ცდები ჩავატარეთ ჭაობის კუზე (*Emys orbicularis, Clemmys caspica*) სპეციალურ საცდელ ყუთში ზომით  $60 \times 60$  სმ. ყუთი ტიხრით გაყოფილი იყო თანაბაზ ნაწილად. ერთი ნაწილის ფსკერზე დაგებული იყო მავთულის ქსელი, რომლის საშუალებითაც ხდებოდა გალიზიანება. ცხოველს გალიზიანებულ განვითარებაში, ან უწყვეტად მანამდე, სანამ იგი არ ნებდით 10—12 წამის განმავლობაში, ან უწყვეტად მანამდე, სანამ იგი არ დატოვებდა მავთულებიან უბანს. გამოიზიანებული ძალა უდრიდა ცდების დატოვებდა მავთულებიან უბანს. გამოიზიანებული ძალა უდრიდა ცდების ერთ სერიაში 10—15 ვოლტს (სუსტი), მეორე სერიაში — 25—30 ვოლტს (საშუალო) და მესამე შემთხვევაში — 50—60 ვოლტს (ძლიერი). ცხოველი წინასწარ შევაჩვენეთ ერთ-ერთ განყოფილებაში ყოფნას. ეს შევამოწმეთ იმით, რომ მეორე განყოფილებაში გადაუკანის შემთხვევაში იგი კლავ სწრაფად შეჩვეულ განყოფილებაში. შეჩვეულ უბანში ყოფნისას კუს ვალიზიანებდით ელექტროდენით, რის გამო ცხოველი გადადიოდა მეორე განყოფილებაში. გალიზიანების ძალის მიხედვით მისი რეაქცია განსხვავებული იყო. სუსტი გალიზიანებისას კუ ნელა იწყებდა მოძრაობას მავთულებიან განყოფილებაში და წყნარად გადადიოდა მეორეში. როდესაც ვალიზიანებდით 25—30 ვოლტის ძალით, ცხოველი იწყებდა მოძრაობას, ქშენასა და სწრაფად გადადიოდა მეორე განყოფილებაში: ძლიერი გალიზიანების დროს კი (50—60 ვოლტი) ცხოველი სწრაფად მოძრაობდა და სწრაფად გადადიოდა მეორე განყოფილებაში. აქ იგი 2—3 წუთის განმავლობაში მოძრაობდა და ქშენადა.

როგორც ჩვენი ცდებიდან გაირკვა, სუსტი გალიზიანებისას კუ იმახსოვრებდა მტკიცნეული გალიზიანების აღგილმდებარეობას მისი ერთჯერადი აღძმისას 2,5—3 წუთის განმავლობაში. საშუალო ძალით გალიზიანებისას კუ იმახსოვრებდა მტკიცნეული გალიზიანების აღგილმდებარეობას 4—5 წუთის

гаңшоўлікі ашы. Ам პеўріопада 10 градусаў да 15 градусаў плюс паўднёвага ветру, які ўпраўляе сяроднімі вітрамі ўздоўж берага, але ён не ўзмоўляе ўспышкі на ўзгорку. У залежнасці ад погоды і відзеўскіх умоваў, вітры ўпраўляюць сяроднімі вітрамі ўздоўж берага, але ён не ўзмоўляе ўспышкі на ўзгорку.

Вітры ўпраўляюць сяроднімі вітрамі ўздоўж берага, але ён не ўзмоўляе ўспышкі на ўзгорку. У залежнасці ад погоды і відзеўскіх умоваў, вітры ўпраўляюць сяроднімі вітрамі ўздоўж берага, але ён не ўзмоўляе ўспышкі на ўзгорку.

Гаўсянічныя ўспышкі ўзнікаюць у залежнасці ад погоды і відзеўскіх умоваў, вітры ўпраўляюць сяроднімі вітрамі ўздоўж берага, але ён не ўзмоўляе ўспышкі на ўзгорку. У залежнасці ад погоды і відзеўскіх умоваў, вітры ўпраўляюць сяроднімі вітрамі ўздоўж берага, але ён не ўзмоўляе ўспышкі на ўзгорку.

Вітры ўпраўляюць сяроднімі вітрамі ўздоўж берага, але ён не ўзмоўляе ўспышкі на ўзгорку.

Вітры ўпраўляюць сяроднімі вітрамі ўздоўж берага, але ён не ўзмоўляе ўспышкі на ўзгорку.

Вітры ўпраўляюць сяроднімі вітрамі ўздоўж берага, але ён не ўзмоўляе ўспышкі на ўзгорку.

Вітры ўпраўляюць сяроднімі вітрамі ўздоўж берага, але ён не ўзмоўляе ўспышкі на ўзгорку.

დევ იმახსოვრებდა შტკივნეული გამღიზიანებლის ადგილმდებარებას 2,5—3 წუთის განვლობაში, საშუალო ძალით გაღიზიანებისას — 3,5—5 წუთის განვლობაში, ხოლო ძლიერი ძალით გაღიზიანებისას — 6—8 წუთის განვლობაში.

ჩვენი ცდებიდან ჩანს, რომ შიშის ემოციური რეაქციების ხანგრძლივობა ძტკივნეული გაღიზიანების ერთფერადი აღმდის ქვეწარმავლებში, ისე როგორც ძუძუმწოვრებში [10, 11], იცვლება გამღიზიანებელი ძალის შესაბამისად. ქვეწარმავლებში, ისე როგორც ძუძუმწოვრებში, სუსტი ძალით გაღიზიანებისას „შიშის“ ემოციური რეაქციები არ აღინიშნება. საშუალო ძალით გაღიზიანებისას ქვეწარმავლებში უკვე ვლინდება „შიშის“ რეაქციები, რაც 3—5 წუთს ინახება, ხოლო ძლიერი გაღიზიანებისას აღინიშნება ცხოველთა აგრძელება (ქშენა, ქტენა და სხვა), რაც 6—8 წუთის განვლობაში გრძელდება. ქვეწარმავლებში ემოციური მეხსიერების ფორმირებაში, ისე როგორც სხვა სახის მეხსიერებაში [12, 13], ძირითად როლს ასრულებს წინა ტვინი, რომელშიც უკვე აღინიშნება ნეკორტიკალური სუბსტანციის არსებობა [14].

რაც შეეხება ნათემს, მისი ძმოევეთის ცდებმა გვიჩვენა, რომ იგი ხვლიერებში არ ასრულებს რამე როლს აღმჭული ობიექტების დამახსოვრებაში.

თბილისის სახელმწიფო უნივერსიტეტი

(შემოვიდა 30.6.1972)

## ФИЗИОЛОГИЯ ЧЕЛОВЕКА И ЖИВОТНЫХ

Н. И. СИХАРУЛИДЗЕ, А. Я. КАДАГИШВИЛИ

### К ИЗУЧЕНИЮ ЭМОЦИОНАЛЬНОЙ ПАМЯТИ У ПРЕСМЫКАЮЩИХСЯ

#### Резюме

Эмоциональная память на болевое раздражение изучалась при раздражении черепах и ящериц сильной (50—60 в), средней (25—30 в) и слабой (10—15 в) силами тока электрического раздражения. При сильном раздражении животные помнят место электрического раздражения в продолжение 6—8 минут, при раздражении средней силой — в течение 4—5 минут, а при слабом раздражении — только в течение 2,5—3 минут. Оперированные животные (удаление переднего мозга) избегали места раздражения лишь в продолжение 20—25 секунд, независимо от силы раздражения.

HUMAN AND ANIMAL PHYSIOLOGY

N. I. SIKHARULIDZE, A. Ya. KADAGISHVILI

### TOWARDS THE STUDY OF EMOTIONAL MEMORY IN REPTILES

#### Summary

Emotional memory of tortoises and lizards to painful stimulation was studied by electrical stimulation of the following intensities: 50—60 v (heavy), 25—30 v (intermediate) and 10—15 v (weak). Memory for the site of heavy intensity stimulation persists for 6—8 min., of intermediate 4—5 min. and only 2.5—3 min. of weak intensity. Operated animals (with removed forebrain) avoided the sites of stimulation only for 20—25 seconds irrespective of the intensity of stimulation.

ՀԱՅԵՐԱՅԻՆ — ЛИТЕРАТУРА — REFERENCES

1. Э. Л. Асратян, Н. С. Алексанян, А. Л. Барсегян. Труды Всесоюзного съезда физиологов. М., 1930.
2. К. Л. Поляков. Русский физиол. журн., 13, 2, 1930.
3. Б. Ф. Сергеев. Эволюция ассоциативных временных связей. Л., 1967.
4. А. И. Карапетян. Функциональная эволюция мозга позвоночных. Л., 1970.
5. Ե. ՆԵԽԱՐԾ Ռ Օ Ժ. Հայֆուլութեան (ՀՊ) յնչպատճեան շեմազգութեան վեհաբերութեան սեմ թէցի. այօթ. Յումբ, 43, № 3, 1966.
6. А. Л. Эльдаров, Н. И. Сихарулидзе. К изучению поведения черепах.. ДАН СССР, 182, 1968.
7. В. А. Кряжев. Физиол. журн. СССР, т. 31, 5—6, 1945.
8. А. Н. Брегадзе. Тезисы первого закавказского съезда физиол. биохимиков, фармакологов. Тбилиси, 1948.
9. И. С. Беритов. Труды Ин-та физиологии АН ГССР, 12, 1961.
10. И. М. Айвазашвили. Сб. «Современ. пробл. деят. и строения ЦНС». М., 1968.
11. Հ. ՀՅՈՒՅՅԱԼՈՅ. Խայերացութեան վիճակը և անդամական համակարգը յոնքութեան մասնաւուն. Պատմագործութեան այլապատճեան, II Խամբարութեան այլապատճեան մասնաւուն. Պատմագործութեան այլապատճեան, II Խամբարութեան այլապատճեան, 1971.
12. И. С. Бериташвили. Память позвоночных животных, ее характеристика и происхождение. Тбилиси, 1968.
13. Н. И. Сихарулидзе, А. Я. Кадагишвили. Сообщения АН ГССР, 57, № 1, 1970.
14. М. Ф. Никитенко. Эволюция и мозг. Минск, 1969.

აფარისობისა და ცენტრალური ფინანსობრივი

১০২০১০০৩০৩৮

კიდეონის ტრანზისტორისა და ანილინონიკის (ფენიცილინი, სტრიპტრომი-ცინი) კომპიუტერებში მოქმედება სავაილონსერს მიღების კუმულაციაზე.

როგორც ცნობილია, კორტიკოსტეროიდებსა და ანტიპილტიკებს ფართოდ იყენებენ გინეკოლოგიურ პრაქტიკაში — როგორც ზოვალად — ანთებების სამ-კურხალოდ, ისე ადგილობრივ — დახშული მიღების გამავლობის აღდგენის შესხივთ 11, 21. კორტიკოსტეროიდების შემცელება საშვილოსნოს კუშვადობაზე ცნობილია [3, 4], მაგრამ მათ შოქმედების აღწერა საშვილოსნოს მიღების მოტორულ ძეტივობაზე ჩვენ არ უვაკვედრია საშედელი ლიტერატურაში. შესწავლილა პენიცილინისა და სტრეპტომიცინის შემცელება საშვილოსნოს მიღების კუშვადობაზე (ცენტრული ი. როგორც უშვადობის გამაძლიერებელი და სტრეპტომიცინი, როგორც დამთრგუნველი [5]), მაგრამ აღნიშვნის ახტაბინორების კომპინირებული მოქმედება კორტიკოსტეროიდულ პრეპარატებთან საშვილოსნოს მიღების მოტორულ ფუნქციაზე არა შესწავლილი. მით შემცირეს შეუსწავლელია საკითხი: — კორტიკოსტეროიდები ინარჩუნებენ თავათნაზე შემცელებას ამ ორგანოზე, თუ ანტიპილტიკებთან კომპინირებაში წარმოშვება მათი ახალი თვისება.

Урваделъво архивиране на гама-изотопи се извършва във вид на изотопни маркери, които са възможни за използване във въздушните и водните системи на организма. Тези изотопни маркери са създадени от международни групи учени, като те са способни да определят концентрацията на различни химични елементи в организма. Тези изотопни маркери са създадени от международни групи учени, като те са способни да определят концентрацията на различни химични елементи в организма.

კურდლების კვერცხსაელებიც შევისწავლეთ *in vitro* მათ ამოქვეთის შემდეგ და *in situ* ნივთლავე—სუბორინის შეთობით. ამ ცხოველებზე ესტრუალური ციკლის დაფარვისათვის ვაწარმოებდით საკვერცხების ამოკევთას და მის შესწავლას პიტოლოგიურად. *In vitro* ცდები ჩავატარეთ ქალს 38 საჭ- მის შესწავლას პიტოლოგიურად. *In vitro* ცდები 17 მილწე, ხოლო ვილოსნის შილზე (მემსტრუალური ციკლის პირველ ფაზაში 17 მილწე, ხოლო შეორე ფაზაში 21 მილწე). მილის ამპულარულ და ისთმურ ნაწილებზე შე- ვისწავლეთ როგორც პიტორუორტიზონის, ისე ვენიცილინის ფონზე პიტორუ- ვისწავლეთ როგორც პიტორუორტიზონის, ისე ვენიცილინის, სტრეპტომიცინის კორტიზონის, პიტორუორტიზონის ფონზე პიტილინის, სტრეპტომიცინის ფონზე პიტორუორტიზონისა და პიტორუორტიზონის ფონზე სტრეპტომიცინის მოქმედება.



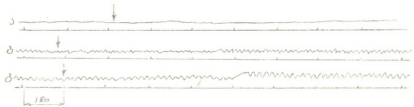
ტონუსის მხრივ რამდენ ცელილებებს, ხოლო ამპულარულ ნაწილში ამპლიტუდა ღრდნავ იმატებს. შესტრუალური ცილის მეორე ფაზაში როგორც ამპულარულ, ისე ისთმურ ნაწილში ამპლიტუდა საგრძნობლად იმატებს; ისთმურ ნაწილში სიხშირის დაკლებით.

პენიცილინის (500 ერთ.) ფონზე ჰიდროკორტიზონის მოქმედებისას მენსტრუალური ციკლის I ფაზაში ალინიშნება ამპლიტუდის მომატება მხოლოდ ამცულარულ ხაწილში სიხშირის მცირე დაკლებით, ტონუსი კი უცვლელი რჩება. ისთმური ნაწილი რამე ცვლლებებს აჩ განცდის. მენსტრუალური ციკლის II ფაზაში პენიცილინის ჰემოქმედებით მომატებული ტონუსი რთვორი ამცულარულ, ისე ისთმურ ნაწილებში უცვლელი რჩება, ხოლო ჟეკუშებათ ამპლიტუდა კიდევ უფრო იზრდება სიხშირის მცირე დაკლებით. ამ დროს ჰიდროკორტიზონის ჟელარებით ნაკლები ლოზა (2,5 მგ), იძლევა სასურაველ შედეგს, ე. ი. კუმშვევალობის გაძლიერებას.

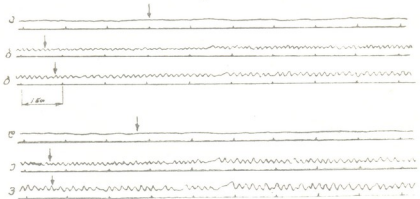
სტრეპტომიცინის (700 ერთ.) ფონზე ჰიდროკორტიზონის მოქმედების დროს მენტსტრუალური ციკლის ორივე ფაზაში საშეილოსნოს მიღების რაგორც ამპულარული, ისე ისთმური ნაწილების დაქვეითებული ტრონუსი აღვენილია. ამპულარულ ნაწილში ამპლიტუდის სიმაღლე მატულობს მენტსტრუალური ციკლის ორივე ფაზაში. ასევე მატულობს ამპლიტუდა მიღის ისთმური ნაწილში II ფაზის დროს, სიხშირი, კი ცვლლელი რჩება. სასურაველ შედეგს იძლევა ჰიდროკორტიზონის შედარებით შეტე ღოზა (3,3 მგ). ჰიდროკორტიზონის ფონზე სტრეპტომიცინის მოქმედების დროს მენტსტრუალური ციკლის ორივე ფაზაში რჩება ჰიდროკორტიზონისთვის დამახასიათებელი კუტშვალობა, მაგრამ იმისათვის, რომ მივიღოთ სტრეპტომიცინისთვის დამახასიათებელი შოქმედება, საჭიროა მისი ღოზის გადილება თითქმის ხუთჯერ.

ცდები *in vitro* ჩავტარეთ კურდლების კვერცხსავლებზე ესტროლური ციკლის სხვადასხვა ფანაში. დაკვირვება გაწარმოეთ კვერცხსავლებზე როგორც ჰიდროკორტიზონის მოქმედებით, ისე მისი კომბინაციით პენიცილინთან და სტრეპტომიცინთან (კურდლების 46 კვერცხსავლით; აქცანთ დივასტროლუსის ფაზაში — 11, ესტრუსის ფაზაში — 16, მაკეობის ღრძის — 19). გამოიყენეთ მილის ამცულარული და ისთმური ნაწილები, აქცანთ ამცულარული ნაწილი — 124, ისთმური — 92. სულ ჩავტარეთ 216 დაკვირვება, მიღებული შედეგები ემთხვევა ქალის კვერცხსავლებზე ჩატარებული ზემოსხენებული ცდების შედეგებს.

აღსანიშხავია, რომ ჰიდროკორტიზონისა და პენიცილინის კომპინირებული შოქშედების დროს კვერცხსავლებზე შედეგების მისალებად შედარებით ხაულები დოზებისა საჭირო როგორც ჰიდროკორტიზონის (ნაცვლად 2 მგ 1.5 მგ ცხოველის კგ წონაზე), ისე პენიცილინის (ნაცვლად 330 ერთ. — 300 ერთ.). ჰიდროკორტიზონისა და სტრეპტომიცინის (500 ერთ. კგ წონაზე) კომბინირებული შოქშედებით კვერცხსავლებზე (29 მილი) დიესტრუსის ფაზაში (7 მილი) ამპულარულსა და ისთმურ ნაწილებში რაიმე ცვლილებები არ დინიშება (სურ. 2: ა — ამპულარული ნაწილი, დ — ისთმური ნაწილი). ესტრუსის ფაზაში (10 კვერცხსავალი) მატულობს ამპლიტუდა როგორც ამპულარულ, ისე ისთმურ ნაწილში, ამ უკანასკნელში — სიხშირის შემცირებით. ტრნუსი კვერცხსავალის ორთავე ნაწილში უცვლელია (სურ. 2: ბ — ამპულა-



სურ. 1



სურ. 2

რული ნაწილი, ე — ისთმური ნაწილი). მაკეობის დროს (12 კვერცხსავალი) კი ამპლიტუდა მატულობს როგორც ამპულარულ, ისე ისთმურ ნაწილში. სიხშირე და ტოხუსი უცვლელია (სურ. 2: გ — ამპულარული ნაწილი, ვ — ისთმური ნაწილი). ჰიდროკორტიზონისა და სტრეპტომიცინის კომბინირებული შოქშედების დროს კვერცხსავლების კუმშვალობაზე ეფექტის მისალებად ჰიდროკორტიზონის შედარებით მეტი დოზაა საჭირო (2 მგ ნაცვლად 2.4 მგ ცხოველის კგ წონაზე), ვიდრე სტრეპტომიცინის გარეშე მისი შოქშედებისას.

შილებული დღების საფუძველზე შეიძლება დავასკვნათ: როგორც ჰიდროკორტიზონს, ისე მის კომბინაციას პენიცილინითან და სტრეპტომიცინით მასტრიმულირებელი შოქშედების უნარი აქვს კვერცხსავალის კუმშვალობაზე, რაც გახსაუთორებით კაოგადა გამოხატული საკვერცხეებში ყვითელი სხეულის არსებობის დროს.



უოველივე ზემოთ აღნიშნულის მიხედვით შესაძლებლად მიგვაჩინია ჰიდროკორტიზონის მიღებულება როგორც მიღების გაძლიერების აღდგენის, ისე მათი დაქვეითებული კუმშევითი ფუნქციის გაძლიერების მიზნით, რაც საჭირო ხდება განსაკუთრებით ქრონიკული ანგებით. პროცესების დროს, პენიცილინის ვიდროკორტიზონის კომბინირებული მოქმედების დროს უფრო ძაფითდა გამოხატული როგორც საშეილოსნოს მიღების ტონუსის, ისე კუმშევითი ამჰლიტულის შომატება.

თბილისის სახელმწიფო სამეცნიერო ინსტიტუტი

(შემუშავა 30.6.1972)

## ФИЗИОЛОГИЯ ЧЕЛОВЕКА И ЖИВОТНЫХ

Дж. Г. ИОСЕЛИАНИ

### ДЕЙСТВИЕ ГИДРОКОРТИЗОНА В КОМБИНАЦИИ С АНТИБИОТИКАМИ (ПЕНИЦИЛЛИН, СТРЕПТОМИЦИН) НА СОКРАТИТЕЛЬНУЮ ДЕЯТЕЛЬНОСТЬ МАТОЧНЫХ ТРУБ

Резюме

Наблюдения были проведены на маточных трубах женщин и яичниках крольчих *in vitro*, а также на яичниках крольчих *in situ*. Гидрокортизон усиливает амплитуды сокращений. Такое же действие оказывает гидрокортизон со стрептомицином, а гидрокортизон с пенициллином дает не только увеличение амплитуды сокращений, но и усиление тонуса яичников. Поэтому применение гидрокортизона в комбинации с пенициллином дает лучшие результаты при лечении, направленном как на восстановление проходимости труб, так и на усиление пониженной моторной функции маточных труб.

HUMAN AND ANIMAL PHYSIOLOGY

J. G. IOSELIANI

### THE ACTION OF HYDROCORTISONE IN COMBINATION WITH ANTIBIOTICS (PENICILLIN, STREPTOMYCIN) ON THE CONTRACTILE ACTIVITY OF THE FALLOPIAN TUBES

Summary

Observations have been carried out of the fallopian tubes of women and the oviducts of rabbits *in vitro* as well as of the oviducts of rabbits *in situ*. Hydrocortisone intensifies the contraction amplitudes. Hydrocortisone with streptomycin has the same effect, and hydrocortisone with penicillin leads not only to an increase of the contraction amplitude but also intensifies the tonus of the oviducts. Therefore, the use of hydrocortisone in combination with penicillin yields better results during treatment directed at restoring the patency of the fallopian tubes and at intensifying the reduced motor function.

### ლითერატურა — ЛИТЕРАТУРА — REFERENCES

1. Е. П. Мазель. Диагностика и лечение женского (трубного) бесплодия.. Автографат, Свердловск, 1964.
2. Зембиккая Акуш. и гинек., № 2, 1971, 43—45.
3. Анастасьева. Некоторые данные о применении кортикостероидов в акушерстве. Автореферат, Томск, 1968.
4. Л. Г. Воннова. Влияние АКТГ и кортикостероидов на сократительную деятельность матки. Автореферат, Воронеж, 1969.
5. Дж. М. Метревели. Сократительная деятельность маточных труб.. Автореферат, Тбилиси, 1970.



ФИЗИОЛОГИЯ ЧЕЛОВЕКА И ЖИВОТНЫХ

А. М. ЭЛЬНЕР, Г. В. МАМАСАХЛИСОВ

ОБ ОРГАНИЗАЦИИ НЕПРОИЗВОЛЬНОЙ АКТИВНОСТИ МЫШЦ ЧЕЛОВЕКА

(Представлено членом-корреспондентом Академии С. П. Нарикашвили 6.9.1972)

В сообщении [1] описан характер непроизвольной активации мыши человека в ответ на возмущение вертикальной позы. Активация антагониста растягиваемой мышцы в этих условиях расценивается нами [2] как составная часть рефлекса на растяжение.

При постановке задачи настоящего исследования мы исходили из данных об особенностях организации произвольного движения. Латентный период произвольной активации трехглавой мышцы голени продолжается 130—200 мсек. Из этого времени последние 60 мсек заняты подготовкой («настройкой» [3]) сегментарного аппарата спинного мозга к движению, которая состоит в увеличении возбудимости мотонейронов активируемой мышцы и угнетении деятельности связанного с ними тормозного аппарата [4]. Поскольку латентный период непроизвольного движения значительно меньше произвольного, можно было предположить, что характер организации этих двигательных актов различен.

Экспериментальная часть настоящей работы заключается в определении функционального состояния сегментарного аппарата спинного мозга перед началом рефлекторной активации мышцы в ответ на ее растяжение при возмущении позы.

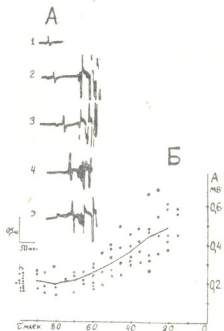
Функциональное состояние сегментарного аппарата спинного мозга тестировали при помощи сухожильного (ахиллова) рефлекса. Рефлекс вызывали ударом по сухожилию электромагнитным молоточком. Удар молоточком можно было наносить с помощью электронного устройства в любой момент от начала возмущения позы до начала непроизвольной активации мышцы в ответ на это возмущение. Амплитуду рефлекса определяли по суммарной электромиограмме (ЭМГ) камбаловидной мышцы.

Сухожильный рефлекс, вызванный в первые 20—40 мсек после начала движения платформы, т. е. после начала пассивного тыльного сгибания в голеностопном суставе, не отличается по амплитуде от контрольного. Приблизительно за 60 мсек до начала непроизвольной активации мышцы в ответ на возмущение позы амплитуда рефлекса начинает постепенно увеличиваться и к началу непроизвольной активации достигает своего максимального значения для каждого отдельного испытуемого (рис. 1). Такие же изменения претерпевает ахиллов рефлекс при падении испытуемого назад, когда происходит пассивное подошвенное сгибание в голеностопном суставе, передняя большеберцовая мышца растягивается, а камбаловидная укорачивается. Таким образом, изменение возбудимости дуги ахиллова рефлекса увеличивается за 60 мсек до начала непроизвольной активации, как во время удлинения камбаловидной мышцы, так и во время ее укорочения.

Подготовка сегментарного аппарата к исследованному нами непроизвольному движению такая же по продолжительности, как к произ-

вольному. Поэтому можно сделать вывод, что латентный период исследованного движения уменьшен, по сравнению с произвольным, за счет укорочения периода, предшествующего «настройке».

Рис. 1. Изменение амплитуды ахиллова рефлекса в латентный период перед непроизвольным движением: А—ЭМГ камбаловидной мышцы, электрический ответ мышцы на стандартный по силе удар по сухожилию в условиях обычной вертикальной позы—контрольный (1) и при ее возмущении, по мере приближения удара к началу непроизвольной физической активации (2—5); Б—график зависимости величины ахиллова рефлекса от времени до начала непроизвольной активации камбаловидной мышцы; ордината—амплитуда электрического ответа мышцы (мв); абсцисса—время (мсек) от начала электрического ответа на удар до начала физической активации при возмущении позы; К—контрольная величина рефлекса



Изменения функционального состояния сегментарного аппарата спинного мозга перед произвольным движением происходят под действием супраспинальных — пирамидных и экстрапирамидных влияний. Результаты наших исследований позволяют считать, что подготовка сегментарного аппарата может происходить под влиянием афферентных воздействий, причем это влияние может распространяться на мотонейроны (и связанный с ними интернейронный аппарат) как растягиваемой мышцы, так и ее антагонистов, подобно тому как афферентация от растягиваемой мышцы может способствовать активации мотонейронов ее антагониста [2]. Описанные эффекты можно было бы отнести за счет воздействия афферентации не только от растягиваемой мышцы, но и от других мышц и суставов тела или вестибулярных рецепторов. Однако, поскольку при использованном возмущении позы первыми начинаются, как показали наши наблюдения, движение в голеностопном суставе и растяжение мышц голени, можно предположить, что таким источником (по крайней мере в первое время после начала возмущения) могут быть рецепторы веретен растягиваемой мышцы.

Теперь рассмотрим условия, при которых возникает этот эффект. На рис. 2 изображены изменения угла голеностопного сустава, которое позволяет судить о величине и скорости растяжения мышцы, ответ камбаловидной мышцы на это растяжение и реконструкция электрического ответа мышцы на удар по ахиллову сухожилию. Согласно приведенным в этой статье данным, сухожильный рефлекс, больший контрольного, отстоит от начала ответа на возмущение позы приблизительно на 60 мсек. Значит, уже в этот момент возбудимость мышцы выше исходной. Если же учесть время проведения эfferентного импульса [5], то можно считать, что функциональное состояние сегментарного аппарата изменяется уже через 10—20 мсек после начала возмущения позы.

К этому времени угол голеностопного сустава изменяется только на  $0.1-0.2^\circ$ , что соответствует растяжению камбаловидной мышцы на  $0.08-0.15$  мм со скоростью 5—10 мм/сек.

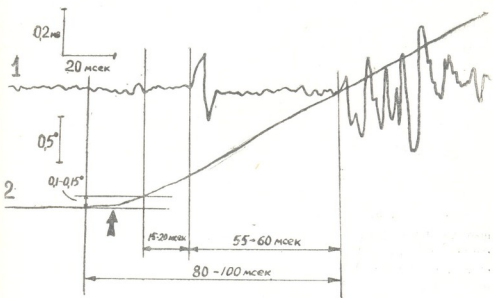


Рис. 2. Реконструкция ответа камбаловидной мышцы на ее растяжение во время возмущения позы и на ударающий удар по ахиллову сухожилию. 1—ЭМГ камбаловидной мышцы, 2—механограмма угла голеностопного сустава (отклонение линии вверх соответствует тыльному сгибанию). Стрелкой обозначен момент удара молоточком по сухожилию. Объяснения в тексте

Следовательно, такое по длине и скорости растяжение исходные напряженной мышцы в сочетании с другими аfferентными воздействиями, которые имеют место при возмущении позы, не только может быть воспринято соответствующими рецепторами но и оказывается эффективным для изменения функционального состояния сегментарного аппарата спинного мозга.

Академия наук ССР  
Институт проблем передачи информации

Тбилисский государственный  
университет

(Поступило 7.9.1972)

ადამიანისა და ცოცვლის ფიზიოლოგია

ა. მუნირი, ბ. მააასახლიშვილი

ადამიანის უნიგლიდი კუნიური აქტივობის თრგანიზაციის  
საპითებასათვის

რეზიუმე

შონისინაფსური ტესტირების შეთოდის გამოყენებით ნაჩვენებია ზურგის ტენის სეგმენტური აპარატის ფუნქციური ძლიერების ცვლილება, რომელიც აღინიშნება ადამიანის პოზის დარღვევის საპასუხოდ აღმრული კუნთის უნდღები მოქმედების დაწყებამდე. ეს ცვლილებები, როგორც მოძრაობის

შინაგამორბედი და მისი „მომამზადებელი“ გამოიხატება მოტონეირონთა ავტონომობის თახდათანობით მომატებაში და იწყება კუნთის რეფლექსური შეკუმშევის დაწყების დაახლოებით 60 მსეკ-ით უფრო ადრე, ე. ი. ისევე როგორც ნებით მოძრაობის დროს. გამოტანილია დასკვნა, რომ წონასწორობის დარღვევისას სპინალური სეგმენტური აპარატის ფუნქციური მდგომარეობის შეცვლა გამოწვეულია გაჭიმული კუნთიდან აფერენტული ნაკადის გავლენით.

### HUMAN AND ANIMAL PHYSIOLOGY

A. M. ELNER, G. V. MAMASAKHLISOV

### ON THE ORGANIZATION OF HUMAN INVOLUNTARY MUSCLE ACTIVITY

#### Summary

Changes of the functional state of the segmental apparatus of the human spinal cord (SASC) before the onset of involuntary muscle activity in response to a posture shift in the human being are demonstrated by the monosynaptic test method. These changes—preceding and “preparatory” to motion—consist in a gradual increase of motoneuron excitability which becomes evident 60 msec. prior to the beginning of the muscle's reflex activity, i. e. in the same manner as prior to a voluntary movement. It is concluded that the change of the functional state of the SASC during posture shifts is a result of the afferent influence from the distended muscle.

#### ЛІТЕРАТУРА — REFERENCES

1. А. М. Эльнер, Г. В. Мамасахлисов. Сообщения АН ГССР, 61, 1971, 173.
2. А. М. Эльнер, Г. В. Мамасахлисов. Сообщения АН ГССР, 64, 1971, 169.
3. В. С. Гурфинкель, Я. М. Коц. Нервные механизмы двигательной деятельности. М., 1966, 158.
4. В. С. Гурфинкель, Я. М. Коц, А. И. Кринский, Е. И. Пальцев, А. Г. Фельдман, М. Л. Цетлин, М. Л. Шик. Модели структурно-функциональной организации некоторых биологических систем. М., 1966, 292.
5. V. Skogrič. Rozpravy Českoslov. Akad. Ved. Ročník, 75, S. 2. Praha, 1965.

Н. Е. ЕНУКИДЗЕ, Г. А. ТЕДОРАДЗЕ

## АДСОРБЦИОННОЕ ПОВЕДЕНИЕ ДЕНАТУРИРОВАННОЙ ДНК НА ГРАНИЦЕ РАЗДЕЛА РТУТЬ/ЭЛЕКТРОЛИТ

(Представлено академиком С. В. Дурмизидзе 12.6.1972)

Изучение адсорбционных особенностей денатурированной ДНК, по сравнению с нативной, может дать еще один способ детектирования перехода спираль-клубок [1, 2]. Кроме широко распространенных оптического и гидродинамического методов, для исследования этого перехода применяются еще и электрохимические методы, а именно полярография на постоянном токе, полярография по Брайеру и осциллополярография, а также метод измерения дифференциальной емкости двойного электрического слоя [1—6].

Существующие экспериментальные результаты разными исследователями интерпретируются по-разному. Миллер [5] предполагает, что на анодной ветви кривой  $C-\phi$  ( $C$  — дифференциальная емкость двойного электрического слоя,  $\phi$  — потенциал электрода) происходит денатурация ДНК. Флеминг [4] придерживается противоположного мнения, а Палечек [7] наличие анодной впадины на осциллополярограммах приписывает электрохимическому процессу — разряду аминогруппы гуанина, что фактически означает денатурацию ДНК на одионой ветви кривой  $C-\phi$ .

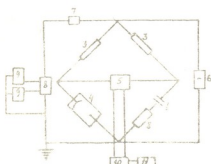


Рис. 1. Модифицированная схема для автоматической записи кривых дифференциальной емкости: 1—магазин емкостей, 2—магазин сопротивлений, 3—постоянные омические сопротивления, 4—ячейка, 5—нуль-индикатор, 6—3Г, 7—дрессель, 8—переключатель, 9—поляризующие схемы, 10—выпрямитель, 11—самописец

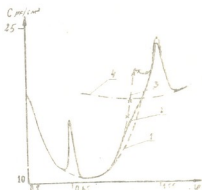


Рис. 2. Кривые дифференциальной емкости в присутствии денатурированной ДНК ( $C = 8 \cdot 10^{-5}$  г/мл): 1—кривая прямой поляризации, 2—кривая обратной поляризации, 3—кривая обратной поляризации частично денатурированной ДНК, 4—кривая фона ( $0.2N NaCl$ )

Нами была предпринята попытка внести ясность в этот вопрос. Для этого была модифицирована существующая [8] электрическая измерительная схема метода измерения дифференциальной емкости двойного электрического слоя. Модификация заключалась в применении двух независимых поляризующих схем (одна из которых была автоматической) и автоматической записи кривой С-φ. Переключение с одной поляризующей схемы на другую проводилось двухпозиционным переключателем. В схеме автоматической поляризации применяется полярограф LP-60, который дает возможность реверса потенциала (рис. 1).

Объектом исследования была выбрана ДНК из тимуса теленка  $M=2 \cdot 10^7$  дальтон с концентрацией  $c=8 \cdot 10^{-5}$  г/мл в 0,2 N NaCl. Измерения проводились следующим образом: электрод выдерживался при заранее выбранном потенциале  $\phi_0 = -10$  мин; с помощью переключателя включалась схема автоматической поляризации с заранее выбранным начальным потенциалом  $\phi_0$  и проводилась автоматическая запись кривой С-φ. Полученные таким образом кривые для полностью и частично денатурированной ДНК показаны на рис. 2. Кривая 1 получена при изменении поляризации электрода от  $-0,2$  в до  $-1,6$  в.

На кривой 2 наблюдается узкий, высокий пик при  $\phi = -0,65$ . В наших условиях (0,2 N NaCl, pH 7,  $c=8 \cdot 10^{-5}$  г/мл) на кривой С-φ прямой и обратной поляризации нативной ДНК этот пик отсутствует (рис. 3). Его появление можно связать только с присутствием денатурированной ДНК в двойном слое.

Кривая, соответствующая частично денатурированной ДНК, как видно из рис. 2, отличается от кривой, соответствующей полностью денатурированной ДНК, наличием двух катодных пиков (пиков нативной ДНК). Потенциал анодного пика на обеих кривых равен  $-0,65$  в. Особенность этого пика заключается в том, что он появляется только при обратном ходе поляризации.

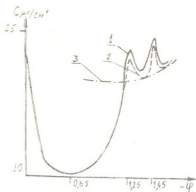


Рис. 3. Кривые дифференциальной емкости в присутствии нативной ДНК ( $C=8 \cdot 10^{-5}$  г/мл). 1—кривая прямой поляризации, 2—кривая обратной поляризации, 3—кривая фона (0,2 N NaCl)

Последующие эксперименты показали, что этот пик (но значительно меньшей высоты) можно получить и при прямом ходе поляризации, ес-

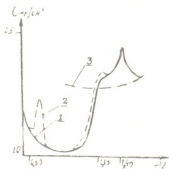


Рис. 4. Кривые дифференциальной емкости частично денатурированной ДНК с выдержкой при  $\phi = -1,5$  в (по и. к. 9); 1)— $\phi_0 = -0,5$  в, 2)— $\phi_0 = -0,57$  в

ли запись кривой С—φ проводить следующим образом: выдерживать электрод при потенциале  $-1,5 \div -1,7$  в и после выдерживания включать автоматическую поляризацию с начальным потенциалом  $\varphi_0 = -0,54$  в  $\div -0,57$  в. В этом случае пик хорошо наблюдается при  $-0,65$  (рис. 4, кривая 1). Если же начальный потенциал  $\varphi_0$  автоматической поляризации лежит аноднее  $-0,5$  в, то пик не наблюдается (рис. 4, кривая 2).

Объяснить природу этого пика нам не удалось, хотя его форма и положение указывают на какой-то процесс переориентации, происходящий в двойном слое. Вполне возможно, что на катодной ветви кривой С—φ денатурированная ДНК адсорбирована основаниями, а на анодной — остатками фосфорной кислоты, и изменение знака заряда (которое происходит в точке нулевого заряда, в данном случае при  $-0,65$  в по и. к. э.) вызывает изменение расположения на поверхности денатурированной ДНК, что и регистрируется в виде пика. Но такая интерпретация пока может служить только рабочей гипотезой для дальнейших исследований.

Как указывалось выше, пик при  $-0,65$  в при обратном ходе поляризации присущ только частично или полностью денатурированной ДНК. Это дает возможность проверить, денатурируется или нет ДНК на поверхности электрода. Если денатурация происходит на катодной ветви (из-за участия в процессе электрохимически активных центров ДНК), то, выдержав электрод при потенциале денатурации (разряда) некоторое время, можно накопить на поверхности молекулы денатурированной ДНК. Поэтому (даже после частичной денатурации), записав кривую С—φ обратной поляризации после выдерживания электрода при потенциале денатурации, должны получить пик при  $-0,65$  в. В наших экспериментах нативная ДНК выдерживалась при  $\varphi = -1,6 \div -1,7$  в и записывались кривые обратной поляризации, но пика при  $-0,65$  в не наблюдалось. Поэтому мы предполагаем, что в катодной области денатурации ДНК не происходит. Появление второго катодного пика нативной ДНК, по-видимому, обусловлено не денатурацией, а переходом ДНК на поверхности электрода из формы В в форму А. Экспериментальное подтверждение этого предположения будет дано в последующих работах.

Академия наук Грузинской ССР

Институт биохимии растений

(Поступило 15.6.1972)

Биологические

6. 060600, 8. 0000000

დენატურირებული დნკ-ის აფსორბციული კვევა გამყოფ ჯერაბირზე  
ვირცელისებალი/ელექტროლიტი

რეზიუმე

ავტომატური თეითჩამწერი დნკ-ის საშუალებით მიღებულია ორმა-  
ვი ელექტრული შრის დიფერენციალური ტევადობის მრუდები ნატიური და  
დენატურირებული დნკ-ისათვის. ნაჩვენებია, რომ დენატურირებული დნკ,  
ხარისხისაგან განსხვავდით, პოლარიზაციის უკუსვლისას იძლევა პიქს პოტენ-  
ციალის მნიშვნელობისათვის  $\varphi = -0,65$  ვ. (ნ. კ. ე.).

N. E. ENUKIDZE, G. A. TEDORADZE

 ADSORPTION BEHAVIOUR OF DENATURATED DNA AT THE  
 INTERFACE OF MERCURY/ELECTROLYTE

## Summary

Curves of differential capacity of native and denatured DNA have been obtained by means of an automatic recording device. It is shown that denatured DNA—in contrast to native DNA—gives a narrow and high peak at  $\varphi = -0.65$  v on curves of reversed polarization.

## ЛІТЕРАТУРА — REFERENCES

1. E. Paleček, J. N. Davidson, W. A. Cohn. Progress in Nucleic Acid Research, v. 9. New York, 1959.
2. H. Berg. J. Chem. Phys. et Chem. Biol., v. 65, № 1, 1968.
3. V. Vetterl. Experientia, v. 21, 1955.
4. J. Flemming. Biopolymers, v. 6, 1968.
5. J. R. Miller. J. Mol. Biol., № 3, 1961.
6. J. Filipski, J. Chmielowski, M. Chorazy. Biochim. Biophys. Acta, v. 232, № 3, 1971.
7. E. Paleček. Nature, v. 188, № 455, 1960.
8. Б. Б. Дамаскин, О. А. Петров, В. В. Батраков. Адсорбция органических соединений на электродах. М., 1968.



БИОФИЗИКА

Г. А. СТЕФАНЕНКО, М. Ш. СИМОНИДЗЕ, М. М. ЗАЛИШВИЛИ

## ВЛИЯНИЕ $\alpha$ -АКТИНИНА НА КИНЕТИКУ Г—Ф-ПЕРЕХОДА АКТИНА

В настоящее время известно, что миофибрillлярный белок  $\alpha$ -актинин вызывает желатинизацию Ф-актина, связывая последний поперечными мостиками [1—3]. Поскольку *in vivo* филаменты Ф-актина связаны мостиками лишь в Z-линии, высказывалось предположение, что  $\alpha$ -актинин должен находиться в Z-линии. Действительно, иммунохимическое исследование [4], а также реконструирование Z-линии предварительно экстрагированных миофибрилл водным раствором  $\alpha$ -актинина [5] подтвердили это предположение.

По последним данным, мышца содержит  $\sim 20\%$  актина и  $\sim 0,8\%$   $\alpha$ -актинина от общего количества миофibrillлярного белка. Если допустить, что весь  $\alpha$ -актинин сосредоточен только в Z-линии, то можно подсчитать, что отношение  $\alpha$ -актинина к актину в мышце составляет 1:25. Поэтому изучение взаимодействия  $\alpha$ -актинина с актином в пределах этого соотношения является важным для выяснения биологической роли  $\alpha$ -актинина в структуре и функции мышцы.

В настоящей работе представлены результаты исследования кинетики Г-Ф-превращения актина в присутствии  $\alpha$ -актинина. Кинетику полимеризации исследовали методом вискозиметрии. Вязкость растворов белка определяли с помощью вискозиметра типа Эйгнера при 20°C (время протекания растворителя 165 сек). Результаты выражены в единицах приведенной вязкости:

$$\eta_{\text{up}} = \frac{t_{\tau-\Phi} - t_r}{t_\tau \cdot C},$$

Глобулярный актин получали по методу Риса и Янга [6], включая очистку белка с помощью гель-фильтрации на сефадексе G-200. Препарат  $\alpha$ -актина получали из миофибрilla скелетных мышц кролика по несколько видоизмененному методу Аракава и сотрудников [7]. Гомогенность препаратов проверяли методом аналитического линк-электрофореза на поликариламидном геле. Концентрацию белка определяли на интерферометре ИТР-2, предварительно откалиброванном по сухому весу белка.

Процесс полимеризации актина исследовали сразу же после добавления 0,1М KCl. В этот момент за счет преимущественного связывания катионов с отрицательными зарядами белка уменьшается отталкивание между глобулами актина и становится вероятным образование специфических связей между мономерами, т. е. начинается процесс Г—Ф-пре-

вращения актина. Кинетическая кривая полимеризации, представленная на рис. 1 (кривая 1), четко делится на три периода: медленный, или инкубационный, период быстрого роста и участок насыщения.

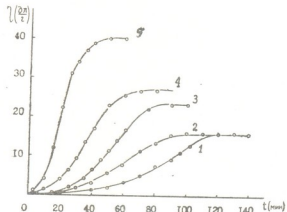
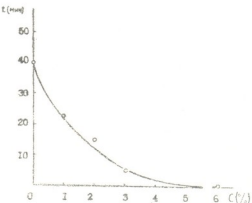


Рис. 1. Кинетические кривые изменения вязкости актина. Концентрация белка 0,3 мг/мл, 0,1М KCl, 0,05М трис-HCl буфер, pH 7,5, 20°C. Кривая 1—полимеризация Г-актина, кривые 2, 3, 4 и 5—полимеризация Г-актина в присутствии 1, 2, 3 и 6%  $\alpha$ -актинина соответственно

Г—Ф-превращение актина хорошо описывается теорией спиральной агрегации макромолекул, предложенной Оосава и Касаи [8]. Начальная скорость полимеризации (в нашем случае участок инкубационного периода) в соответствии с этой теорией характеризует процесс накопления тримеров, необходимых в качестве зародышей для дальнейшей полимеризации. Период быстрого роста явно зависит от числа таких зародышей. Кривые 2—5 рис. 1 показывают характер процесса полимеризации актина в присутствии 1, 2, 4 и 6%  $\alpha$ -актинина соответственно. Из этого же рисунка видно, что с увеличением примеси  $\alpha$ -актинина уменьшается время зародышеобразования, возрастает асимметрия частиц (значение вязкости на участке насыщения растет) и уменьшается полное время перехода.

Рис. 2. Зависимость длительности инкубационного периода Г—Ф-перехода от концентрации  $\alpha$ -актинина



На рис. 2 показано влияние  $\alpha$ -актинина на время зародышеобразования. Уже при концентрации 6% добавленного  $\alpha$ -актинина используемый метод вискозиметрии не был в состоянии зарегистрировать инкубационный период. При  $\sim 10\%$  добавленного  $\alpha$ -актинина процесс полимеризации актина был практически мгновенным, так как раствор переходил в гелеобразное состояние и дальнейшее перемешивание вызывало образование характерных хлопьев.

Для сравнения экспериментальных данных полимеризации актина в присутствии  $\alpha$ -актинина использовалась величина  $1/\tau$  — средняя скорость процесса, где  $\tau$  — полуperiод полимеризации. Из рис. 3 видно, что в области до 6% концентрации актинина пропорциональна концентрации  $\alpha$ -актинина.

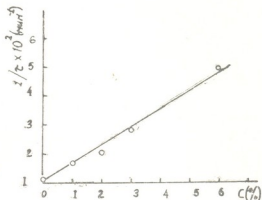


Рис. 3. зависимость скорости полимеризации актина от концентрации  $\alpha$ -актинина

Из приведенных экспериментальных данных видно, что даже 1%  $\alpha$ -актинина заметно влияет на скорость перехода глобулярного актина в фибрillлярный. Большее количество (2—3%) не только ускоряет процесс зародышеобразования и процесс фибрilloобразования, но и увеличивает асимметрию частиц, вследствие чего растет значение вязкости на участке насыщения. Трудно представить себе, что  $\alpha$ -актинин инициирует прост зародышей в растворе Г-актина без участия солей, так как исследование смеси Г-актина с  $\alpha$ -актинином в отсутствии 0,1М KCl методом аналитического ультрацентрифугирования показало наличие двух четких пиков с коэффициентами седиментации, соответствующими глобулярному актину и  $\alpha$ -актинину.

Как было показано ранее [9, 10], раствор глобулярного актина содержит ассоциаты димеров и тримеров, правда в ничтожном количестве. Вполне возможно, что эти ассоциаты и являются первоначальным источником зародышеобразования. Роль  $\alpha$ -актинина на этом этапе сводится, вероятно, к закреплению имеющихся и вновь образовавшихся зародышей, в результате чего тепловая флюктуация уже не может разрушить структуры, необходимые для процесса полимеризации. Этим можно объяснить уменьшение времени инкубационного периода с ростом концентрации  $\alpha$ -актинина. Тот факт, что  $\alpha$ -актинин способен образовывать поперечные мостики между нитями Ф-актина, может объяснить ускорение процесса полимеризации и наблюдаемое увеличение значения вязкости на участке насыщения.

Данные результаты позволяют предположить, что роль  $\alpha$ -актинина в мышце не ограничивается скреплением Ф-актиновых филаментов в Z-линиях; по-видимому,  $\alpha$ -актинин принимает непосредственное участие в регуляции роста и образования тонких актиновых филаментов.

Академия наук Грузинской ССР

Институт физиологии

(Поступило 29.6.1972)

გ. სტეფანენკო, მ. სიმონიძე, მ. მ. ზაალიშვილი

ა- აქტინის გაცვენა აქტინის ბ—ფ-გადასვლის პინეტიკაზე

#### რეზიუმე

ვისკოზიტეტიული მეთოდის გამოყენებით შესწავლილია აქტინისა და  $\alpha$ -აქტინის ურთიერთმოქმედება ცილათა და იმ შეფარდების საზღვრებში, რაც შეესაბამება მათს შეძლევობას ცოცხალ კუნთში. ჩატარებული კვლევის საფუძველზე დადგვინდილია, რომ  $\alpha$ -აქტინი ამცირებს აქტინის ბ—ფ-გადასვლის საინკუბაციო პერიოდის დროს, აჩვარებს პოლიმერიზაციის პროცესს და აღიდებს აქტინის ძაფების ასიმეტრიას.

#### BIOPHYSICS

G. A. STEFANENKO, M. SH. SIMONIDZE, M. M. ZAALISHVILI

#### THE INFLUENCE OF $\alpha$ -ACTININ ON THE KINETICS OF G-F-TRANSITION OF ACTIN

##### Summary

The influence of  $\alpha$ -actinin on the G-F-transition of actin within the protein ratio 1:25 has been studied by the method of viscosimetry. It is shown that within this ratio  $\alpha$ -actinin substantially decreases the time of the lag period of G-F-transition, speeds up the process of polymerization and increases the asymmetry of F-actin fibres.

##### ლიტერატურა — REFERENCES

1. K. Maruyama, S. Ebashi. J. Biochem., 58, 195.
2. W. Drabickowski, E. Nowak. Eur. J. Biochem., 5, 1968, 209.
3. M. Kawamura, T. Masaki, J. Nonomura. J. Biochem., 68, 1970, 577.
4. T. Masaki, M. Endo, S. Ebashi. J. Biochem., 62, 1967, 630.
5. R. M. Robson, D. E. Goli, N. Aracawa, M. H. Stromer. Biochim. Biophys. Acta, 209, 1970, 231.
6. M. K. Rees, M. Young. J. Biol. Chem., 212, 1957, 4449.
7. N. Aracawa, R. M. Robson, D. E. Goli. Biochim. Biophys. Acta, 200, 1970.
8. F. Oosawa, M. Kasai. J. Mol. Biol., 4, 1962, 10.
9. Y. Sakakibara, K. Yagi. Biochim. Biophys. Acta, 207, 1970, 178.
10. K. Maruyama. J. Biochem., 59, 1971, 3-9.



МИКРОБИОЛОГИЯ И ВИРУСОЛОГИЯ

Э. Ш. ВАРДОСАНИДЗЕ, В. В. МЕУНАРГИЯ, В. Ш. СЕРЕБРЯКОВ,  
Г. С. КОПИЛАШВИЛИ

ИЗУЧЕНИЕ СПОСОБНОСТИ ЭМБРИОНАЛЬНЫХ АНТИГЕНОВ  
СОЗДАВАТЬ ТРАНСПЛАНТАЦИОННУЮ РЕЗИСТЕНТНОСТЬ  
В ОТНОШЕНИИ ОПУХОЛИ, ИНДУЦИРОВАННОЙ  
АДЕНОВИРУСОМ ЧЕЛОВЕКА

(Представлено академиком И. Я. Татишвили 10.10.1972)

Присутствие в клетках опухолей вирусной этиологии специфических антигенов, ответственных за иммунитет, в настоящее время не вызывает сомнений [1—4], спорным, однако, является вопрос о природе и происхождении этого антигена. В этом плане представляет интерес изучение вопроса об отношении эмбриональных антигенов к трансплантационным для определения роли эмбриональных антигенов в иммунитете к опухолям. Попытки, предпринятые для индукции противоопухолевого иммунитета с помощью эмбриональных антигенов, до сих пор не давали определенных результатов [5]. Однако в 1970 г. Коггином с сотр. [6] было показано подавление роста опухоли, индуцированной вирусом OB-40 с помощью эмбриональных антигенов хомяков, и независимо от них в 1971 г. нам впервые удалось предотвратить рост трансплантированной аденоовирусной опухоли у хомяков путем иммунизации эмбриональными клетками хомяков.

В самых ранних опытах мы готовили иммунизирующй материал из эмбрионов последних дней развития и с этим материалом получили неопределенные результаты. По-видимому, на поздних стадиях эмбрионального развития количество антигена, обладающего иммунизирующей активностью в эмбриональных клетках, резко снижается или же его синтез полностью прекращается. В дальнейшем изучение возможности создания противоопухолевой резистентности у взрослых молодых хомяков проводили путем их иммунизации клетками 10—12-дневных эмбрионов.

В настоящей работе представлены данные этих исследований. Опыты проводили на модели опухоли, первоначально индуцированной аденоовирусом человека типа 12. Хомяков-самцов двухмесячного возраста иммунизировали внутрибрюшинно облученными (5000 р) эмбриональными клетками в количестве от  $5 \cdot 10^6$  до  $10 \cdot 10^6$  в 1 мл 3 раза с недельными интервалами. Контролем служили группы интактных хомяков, а также иммунизированных облученными почечными тканями взрослых животных. Проверку специфической резистентности различных групп хомяков к прививке опухолевых клеток проводили с использованием методики, отработанной Л. М. Мурка [7]. Через 7—10 дней после последней иммунизации животным вводили строго дозированное количество опухолевых клеток ( $10^4$ ,  $5 \cdot 10^3$ ,  $10^3$ ). Животных наблюдали в течение 6—7 месяцев. Полученные результаты приведены в таблице.

Как видно из таблицы, различия в частоте возникновения опухолей в группах иммунизированных эмбриональными клетками и контрольных

животных были значительными, статистически значимыми ( $P < 0,001$ ). Однако эти различия были еще более существенны при трансплантации малых доз аденоовирусной опухоли ( $10^3$ ), если сравнить количество животных с опухолями иммунизированных эмбриональными клетками (четыре случая), и контрольных животных, иммунизированных почечными тканями взрослых хомяков (у 19 из 20).

Резистентность к прививке опухоли, индуцированной адено-вирусом человека типа 12, у хомяков, иммунизированных эмбриональными клетками

Группы животных	Дозы привитых опухолевых клеток	Результаты прививки		Кол-во животных с опухолями	Величина Р
		Опыт 1	Опыт 2		
Интактные	$10^4$	10/10	10/10	96,6%	
	$5 \cdot 10^3$	10/10	10/10		
	$10^3$	9/10	9/10		
Иммунизированные клетками почечной ткани взрослых хомяков	$10^4$	9/10	10/10	95%	
	$5 \cdot 10^3$	9/10	10/10		
	$10^3$	10/10	9/10		
Иммунизированные клетками эмбриональной ткани хомяков	$10^4$	5/10	5/10	35,6%	<0,001
	$5 \cdot 10^3$	3/10	5/10		
	$10^3$	2/10	2/10		

Следует отметить, что результаты опытов зависят от возраста эмбрионов, использованных для иммунизации. Иммунизация хомяков клетками эмбрионов трехнедельного возраста, а также необлученными эмбриональными клетками не оказывала угнетающего действия на рост опухоли.

Таким образом, результаты исследований свидетельствуют о том, что с помощью эмбриональных антигенов (по-видимому, синтезировавшихся в клетках на самых ранних стадиях эмбрионального развития) может быть создан противоопухолевый иммунитет. Полученные результаты дают основание полагать, что эмбриональные клетки содержат антигены трансплантационного типа, которые могут играть роль специфических клеточных антигенов и принимать участие в иммунитете к опухолям.

Институт онкологии  
МЗ ГССР

(Поступило 13.10.1972)

ခေါက်ခြင်းများ၊ အောက်ဖော်လွှာများ၊ အောက်ဖော်လွှာများ

69803

შოთარდილი ზაჟუნების წინასწარი იმურიშაცია დასხივებული ემბრიონა-ლური უკრედებით იწვევს აღამიანის მე-12 ტიპის ადენოკარინუსით ინდუცი-რებული სიმსივნის ზრდის დათრგუნვეს 20—60%-მდე. საერთაულადა, რომ ცხოველთა ემბრიონალური უკრედები შეიძლება შეიცავდეს ტრანსპლანტაცი-

ური ტიპის ანტიგენებს, რომელთაც შეუძლიათ შეასრულონ უჯრედის სპეცი-  
ფიკური ახტიგენების როლი და მიღლონ მონაწილეობა სიმსივნის საწინააღ-  
მდევო იმუნიტეტში.

## MICROBIOLOGY AND VIROLOGY

E. Sh. VARDOSANIDZE, V. V. MEUNARGIA, V. Sh. SEREBRYAKOV,  
G. S. KOPILASHVILI

### STUDY OF EMBRYONAL CAPACITY TO CREATE TRANSPLANTATION RESISTANCE AGAINST TUMOURS INDUCED BY HUMAN ADENOVIRUS

#### Summary

Preliminary immunization of adult hamsters with irradiated foetal cells of hamsters leads to 20—60% inhibition of the growth of a tumour induced by type-12 adenovirus. It is possible that foetal cells contain specific transplantation-type antigens which can participate in the induction of transplantation immunity against tumour.

#### ЛІТЕРАТУРА — REFERENCES

1. K. Habel. Proc. Soc. Exp. Biol. Med., v. 106, 1, 1961, 722.
2. H. O. Sjögren, J. Hellström, G. Klein. Cancer Res., v. 21, 2, 1961, 323.
3. A. J. Girardi. Proc. Nat. Acad. Sci., v. 54, 2, 1965, 445.
4. S. Kit, T. Kurimura, D. R. Dubbs. Intern. J. Cancer., v. 4, 2, 1969, 384.
5. R. C. Ting. Nature., v. 217, 1968, 858.
6. J. H. Coggins, K. R. Ambrose, N. G. Anderson. Immunology, v. 105, 3, 1970, 524.
7. Л. М. Мурка. Бюлл. эксп. биол. и мед., № 12, 1965, 111.

И. И. ИБРАГИМОВ

ВЛИЯНИЕ НАГРУЗКИ ЖИВОТНЫХ СВОБОДНЫМИ  
АМИНОКИСЛОТАМИ И КОФАКТОРАМИ ИХ ОБМЕНА  
НА РАСПРЕДЕЛЕНИЕ РЕГИОНАЛЬНОГО ФОНДА БИОГЕННЫХ  
АМИНОВ В ГОЛОВНОМ МОЗГУ И В КРОВИ

(Представлено академиком П. А. Кометиани 15.6.1972)

Биогенные амины (адреналин, норадреналин, дофамин и серотонин) играют исключительно большую роль в нормальном функционировании центральной нервной системы. Как известно, свободные аминокислоты являются источниками биогенных аминов. Этому вопросу посвящено много работ.

Еще 1952 г. Вейл-Малхербом [1] было показано, что внутривенное введение глютаминовой кислоты приводит к увеличению количества адреналина в крови, а лейцин вызывает уменьшение серотонина в головном мозгу [2, 3]. Кормление крыс фенилаланином приводит к уменьшению количества серотонина в головном мозгу [4, 5] и к ухудшению его функции [6, 7]. Уменьшение в головном мозгу содержания катехоламинов, по данным одних авторов, вызывает снижение функциональной активности [8], а по данным других [9], наоборот, не снижение, а увеличение в мозгу уровня катехоламинов отрицательно влияет на поведение животных.

Показано, что нагрузка организма триптофаном или окситриптофаном вызывает увеличение в головном мозгу уровня серотонина, триптофана, триптамина и снижение количества катехоламинов [10, 13]. Одновременно с этим нагрузка нормальных животных триптофаном или окситриптофаном сопровождается, как правило, ухудшением памяти и поведения [12, 13].

Установлено, что парентеральное введение  $\gamma$ -аминомасляной кислоты (ГАМК) вызывает уменьшение количества норадреналина и увеличение серотонина в мозгу крыс [14, 15, 16].

Исходя из того факта, что кормление крыс аминокислотами (глютаминовая кислота, метионин) и кофакторами их обмена улучшает функциональное состояние крыс и их способность решать лабиринтные задачи [17], мы поставили цель выяснить, какое влияние оказывает дача крысам в продолжение длительного времени в малых дозах глютамата, метионина и кофакторов на региональное распределение свободных аминокислот и биогенных аминов в мозгу и в крови. Тема предложена проф. П. А. Кометиани и выполнена под его руководством.

Результаты исследования влияния нагрузки на региональное распределение фонда аминокислотами нами уже опубликованы [18]. В данной работе приводятся данные о влиянии нагрузки на региональное распределение биогенных аминов.

Опыты были поставлены на растущих белых крысах одного веса (150—200 г) и возраста. Подопытные животные вместе с обычной пищей в продолжение 15, 30 и 60 дней ежедневно получали 25 мг глюта-

мата, 25 мг метионина, 0,5 мг тиамина, 0,5 мг рибофлавина, 0,5 мг пиродоксина, 4 мг никотинамида и 1,0 мг пантотената кальция. Для определения биогенных аминов был применен метод тонкослойной хроматографии данзил-дерииватов, разработанный в нашей лаборатории [19]. Для анализа брали кровь и следующие региональные участки головного мозга: кора гемисфер, мозжечок, таламус и продолговатый мозг.

Таблица 1

Изменение содержания катехоламинов и серотонина в различных отделах головного мозга после 15, 30 и 60-дневного кормления белых крыс малыми дозами аминокислот и кофакторов. Среднее из шести опытов. Количество дано в мкг/г свежей ткани.

Биогенные амины	Кора гемисфер			Мозжечок			Таламус			Продолговатый мозг		
	Контроль	15 дней	30 дней	60 дней	Контроль	15 дней	30 дней	60 дней	Контроль	15 дней	30 дней	60 дней
Адреналин	0,37	0,44	2,60	2,56	0,56	0,60	3,90	4,02	0,38	0,52	2,71	2,04
Норадреналин	0,44	0,50	0,57	0,53	0,57	0,52	0,56	0,55	0,48	0,54	0,52	0,55
Серотонин	0,39	0,51	0,88	0,66	0,66	0,67	0,62	0,61	0,48	0,68	0,56	0,55
Дофамин	0,42	0,64	0,78	0,85	0,55	0,83	0,91	0,97	0,52	1,45	0,97	0,65

Степень вероятности различия колеблется в пределах

$$P < 0,05 - 0,001.$$

В табл. 1 приведены данные о распределении биогенных аминов в различных отделах головного мозга после 15, 30 и 60-дневного кормления белых крыс аминокислотами (глютамат, метионин) и кофакторами. Как видно из таблицы, 15-дневное кормление не вызывает каких-либо заметных изменений в распределении биогенных аминов в головном мозгу, по сравнению с контролем. Только количество дофамина увеличивается во всех региональных участках головного мозга. Нагрузка крыс аминокислотами и кофакторами их обмена в продолжение 30 дней оказывает уже значительное влияние на содержание адреналина. Его уровень повышается во всех участках головного мозга, по сравнению с контролем. Особенно сильное увеличение адреналина наблюдается в продолговатом мозгу. Что касается остальных аминов, то они не претерпевают особого изменения, за исключением коры гемисфер, где содержание дофамина и серотонина повышается, а норадреналина снижается ниже контрольного уровня. Нагрузка животных глютаматом, метионином и кофакторами в продолжение 60 дней оказывается прежде всего на содержании адреналина. Количество адреналина повышается во всех региональных участках, серотонина — в продолговатом мозгу и в коре мозга, дофамина — в коре мозга и в мозжечке, увеличения содержания норадреналина, по сравнению с контролем, не наблюдается.

В табл. 2 приведены данные о распределении адреналина, норадреналина и серотонина в крови белых крыс после 30 и 60-дневной нагрузки аминокислотами и кофакторами. Как видно из таблицы, 30-дневная нагрузка не вызывает значительных изменений в распределении биогенных аминов, за исключением серотонина, количество которого повышается очень заметно. Что касается 60-дневной нагрузки, то содержание всех биогенных аминов в крови повышается: адреналина в 2 раза и

больше, норадреналина значительно, количество серотонина держится на высоком уровне.

Таблица 2  
 Изменение содержания адреналина, норадреналина и серотонина в крови после 30 и 60-дневного кормления белых крыс малыми дозами аминокислот и кофакторов. Среднее из шести опытов. Количество дано  $\mu$  г/мл.

Биогенные амины	Контроль	30 дней	60 дней
Адреналин	0,13	0,19	—
Норадреналин	0,20	0,30	0,27
Серотонин	0,49	1,60	0,49 1,40

Степень вероятности различия колеблется в пределах

$$P < 0,05-0,001.$$

Во второй серии опытов животных в течение 15 дней нагружали ежедневно большими дозами аминокислот — по 125 мг метионина и глутамата. Отдельно были поставлены опыты, где в диете добавляли только аминокислоты без кофакторов и аминокислоты с большой дозой (25 мг) пиридоксина. Полученными данными выяснено, что нагрузка животных большими дозами аминокислот вызывает очень сильное увеличение всех биогенных аминов в мозгу и в крови, а присутствие в диете пиридоксина сильно снижает прирост всех аминов как в мозгу, так и в крови.

Таким образом, нагрузка животных малыми дозами аминокислот и кофакторов их обмена в течение длительного времени имеет следствием изменение регионального распределения биогенных аминов в головном мозгу. Это изменение наиболее выражено в содержании адреналина, которое особенно увеличивается в продолговатом мозгу. Чрезмерное увеличение нагрузки аминокислотами, в особенности без дачи пиридоксина вызывает значительное увеличение содержания не только адреналина, но и других аминов.

Тбилисский государственный университет

(Поступило 16.6.1972)

ЗИОНОВИДА

О. ОГАНЕЗОВИДА

გლუტამინის მშავას, მთიონინისა და მათი ცვლის პოვარობის  
 გაზღენა გიოგინური აგინის რაგოვნალურ განაწილებაზე  
 თავის ტვინსა და სისხლური

რეზიულებე

ჟესტავლილია გლუტამინის მევით, მეთიონინითა და მათი ცვლის ქოფაქტორებით დატვირთვის გავლენა ბიოგენური ამინების განაწილებაზე თეთრი ვირთაგვების თვის ტვინსა და სისხლური. ლმოჩნდა, რომ 15, 30 და 60-დღიანი დატვირთვა ზემოაღნიშნული ამინომეცვებით იწვევს ბიოგენური ამინების რეგიონალური განაწილების ცვლილებებს. ყველაზე შესამჩნევ ცვლებას განიცდის აღრენალინი, რაც მკვეთრად მატულობს მოგრძო ტვინში.

ამინდის გარეშე რაოდენობით დატვირთვა იწვევს არა მარტო აღრენა-ლისის, არამედ ყველა ბიოგენური ამინის შევეთრ შატებას თავის ტეინისა და სისხლში.

BIOCHEMISTRY

L. L. IBRAJIMOV

# THE EFFECT OF GLUTAMATE, METHIONINE AND COFACTORS OF THEIR METABOLISM ON THE DISTRIBUTION OF THE REGIONAL FUND OF BIOGENIC AMINES IN THE BRAIN AND BLOOD

## Summary

The effect of small doses of glutamate, methionine and cofactors of their metabolism on the distribution of biogenic amines in different brain regions and in blood has been studied in albino rats. It has been found that loading with the above amino acids for 15, 30 and 60 days results in changes of biogenic amine distribution in different brain regions. Adrenaline undergoes the most detectable change in the brain. Excessive amino-acid loading is accompanied by an increase of the content of all biogenic amines in the brain and blood.

ЛІТЕРАТУРА — REFERENCES

1. H. Weil-Malherbe. J. Ment. Sci., 98, 1952, 562.
  2. P. S. V. Pamananurthy, S. Srikantha. J. Neurochem., 17, 1970, 27—32.
  3. A. Yuwiler, E. Galler. Nature, 208, 83, 1965.
  4. R. S. De Ropp, A. Furst. Arch. Intern. Pharmacodyn., 163, 149, 1956.
  5. N. H. Yessayan, A. R. Armenian, H. Ca. Bunatian. J. Neurochem., 16, 1425—1433, 1969.
  6. R. T. Louttit. J. Comp. Physiol., 55, 425, 1962.
  7. N. A. Small, J. B. Halton, R. I. Ancill. Brain Research, 21, 55—62, 1970.
  8. S. Berl, D. P. Purpure, O. Goncalves-Monteagudo, H. Welsh. In: Inhibition in the Nervous System and Pergamon Press Lond., p. 445, 1950.
  9. H. A. Weissman. In: Ultrastructure and Metabolism of the Nervous System. USA, p. 30\*, 1952.
  10. M. H. Aprison, J. N. Hinglsey. J. Neurochem., 12, 969, 1965.
  11. M. Schmaeler. J. Lab. Clin. Med., 69, 313, 1967.
  12. S. M. Hess, W. Doeptner. Arch. Intern. Pharmacodyn. p. 134, 89, 1951.
  13. S. Udenfried, H. Weissbach, D. F. Bogdanski. J. Biol. Chem., 224, 803, 1957.
  14. Н. А. Есаян, А. Р. Арменян. Сб. «Вопросы биохимии мозга», № 5. Ереван, 1969, 153—158.
  15. Н. А. Есаян. Тезисы 2-го всесоюз. биохим. съезда (7-я секция). Ташкент, 1969, 174.
  16. Н. А. Есаян. Вопросы биохимии мозга, ч. 2. Ереван, 1966, 102.
  17. Г. А. Диасамидзе. Вопр. мед. хим., 16, 1970, 244.
  18. И. И. Ибрагимов. Сообщения АН ГССР, 66, 1972, 697—700.
  19. А. О. Чилингаров. Сообщения АН ГССР, 65, 1972, 461—463.



О. Т. ХАЧИДЗЕ

## ПРЕВРАЩЕНИЕ С<sup>14</sup>-ПЕПТИДОВ В ЛИСТЬЯХ И ЯГОДАХ ВИНОГРАДА

(Представлено академиком С. В. Дурмисидзе 30.6.1972)

Ранее было показано [1], что в разных органах виноградной лозы вместе с другими азотистыми веществами содержатся свободные пептиды. Однако разные органы лозы отличаются друг от друга как путями образования пептидов, так и их количественным содержанием и аминокислотным составом.

Цель настоящей работы — рассмотреть характер превращений отдельных пептидов в листьях и ягодах винограда.

Радиоактивные С<sup>14</sup>-пептиды мы получили путем неполного гидролиза радиоактивного белка, выделенного из листьев винограда следующим способом. Надземные органы виноградной лозы сорта Ркацители помещали в атмосферу радиоактивного углекислого газа на 96 часов при удельной радиоактивности С<sup>14</sup>O<sub>2</sub> в начале опыта 10 μC/l.

Радиоактивные листья после обработки спиртом экстрагировали раствором 0,3 N NaOH, белок осаждали трихлоруксусной кислотой (конечная концентрация 5%). Осадок белка вновь растворяли в щелочи и осаждали трихлоруксусной кислотой, после чего промывали трихлоруксусной кислотой, ацетоном, спиртом и эфиром и белок высушивали. Таким образом получали радиоактивный белок с удельной активностью 5100000 имк/мин/г. Радиоактивность измеряли на установке ПП-8 счетчиком БФЛ-25 с эффективностью 20%.

Неполный солянокислый гидролизат белка получали действием на него 6 N HCl при 37°C в течение 40 часов [2], HCl удаляли на роторном испарителе. К гидролизату добавляли этиловый спирт до конечной концентрации 70%. После центрифугирования раствор упаривали до малого объема под вакуумом.

Разделение пептидов на отдельные компоненты проводили с помощью бумажной хроматографии на препаративной бумаге «Ватман 3 мм», на бумагу гидролизат наносили в виде полос шириной 1 см и длиной 40 см. После шестикратного пропускания растворителя (n-бутиловый спирт-уксусная кислота-вода в соотношении 40:10:50) бумагу высушивали, вырезали по три двухсантиметровых полосы (с краев и из середины) и проявляли нингидрином. Полосы на непроявленных хроматограммах, соответствующие пятнам отдельных пептидов, вырезали, злюрировали 70% этиловым спиртом и упаривали при комнатной температуре на роторном испарителе. Препараты пептидов высушивали лиофильно.

Однородность веществ проверяли путем повторной хроматографии растворов отдельных пептидов. С целью установления их аминокислотного состава проводили гидролиз в запаянных ампулах с 6 N HCl при 110°C в течение 24 часов. Для хроматографирования применяли бумагу марки «М», предварительно промытую раствором трилона Б [3].

Из хроматограммы снимали радиоавтограмму на рентгеновские пленки, идентифицировали отдельные компоненты и измеряли радиоактивность каждого пятна.

Вышеописанным способом получили 14 радиоактивных пептидов. В данной работе приведены результаты опытов, проведенных с препаратами № 1, радиоактивность которого была распределена в лизине, гистидине, аргинине, глицине и треонине, и № 2, радиоактивность которого была распределена в гистидине, аспарагиновой кислоте, серине, глицине, глутаминовой кислоте, валине и лейцине.

Для опытов были взяты листья верхних (Х—XI) ярусов и старые листья нижних (II—III) ярусов, которые черешками помещали в водные растворы пептидов. Продолжительность опытов равнялась 1, 3, 5 и 24 часов.

С целью изучения превращения пептидов в ягодах винограда опыты проводили в периоде роста ягод и в фазе технической зрелости, для чего радиоактивные пептиды вводили в собранные ягоды в виде водных растворов. Продолжительность опытов была такая же, как с листьями.

Свободные аминокислоты и другие низкомолекулярные вещества экстрагировали 80% спиртом. Из нерастворимых в спирте остатков фракции белков получали вышеописанным способом. Фракцию свободных аминокислот выделяли методом Р. Я. Школьника, Н. Т. Домана и В. Н. Костылева [4]. Эти фракции освобождали от пептидов обработкой ацетоном по А. И. Асатову и К. Г. Иоффе [5].

Таблица 1  
Превращение С<sup>14</sup>-пептидов в листьях винограда

Листья	Внесенный С <sup>14</sup> -пептид			Экспозиция, час	Радиоактивность отдельных фракций, имп/мин	
	№ препарата	Вес, г	Радиоактивность 1000 имп/мин		Свободные аминокислоты	Белки
Старые	1	0,01	750	1	1870	4300
"	"	"	"	3	6300	10150
"	"	"	"	5	7450	33800
Молодые	"	"	"	24	9700	33330
"	"	"	"	1	2580	12740
"	"	"	"	3	4200	30500
"	"	"	"	5	530	58400
"	"	"	"	24	4870	63650

Как видно из табл. 1, в листьях винограда в результате усвоения радиоактивного пептида С<sup>14</sup> оказывается как в свободных аминокислотах, так и в белках. Вместе с этим радиоактивность преобладает в белках, что особенно заметно при длительных экспозициях.

При сопоставлении результатов опытов с молодыми и старыми листьями очевидно, что включение С<sup>14</sup>-пептидов в белки гораздо активнее в молодых листьях. Что касается свободных аминокислот, то в листьях нижних ярусов они оказались более высокорадиоактивными, чем аминокислоты молодых листьев. Это указывает на то, что процесс распада преобладает в старых листьях. При увеличении экспозиций в старых листьях радиоактивность свободных аминокислот постепенно увеличивается, в то время как в молодых листьях при 5-часовой экспозиции она оказалась выше, чем при 24-часовой экспозиции.

Аналогичные результаты мы получили в опытах с другими пептидами. Согласно полученным данным, в листьях виноградной лозы пептиды гидролизуются до свободных аминокислот и интенсивно включаются в молекулы белков, хотя имеются и данные о возможности прямой утилизации пептидов в синтезе белка без предварительного их гидролиза на аминокислоты [2].

По содержанию пептидов выделяется гроздь винограда. Как было показано ранее, в ягодах винограда количество как пептидов, так и свободных аминокислот увеличивается по мере созревания в результате гидролиза сложных белков [3]. Этот факт подтверждается и в настоящей работе.

Таблица 2

 Превращение С<sup>14</sup>-пептида в ягодах винограда

Период вегетации	Внесенный пептид			Экспозиция, час	Радиоактивность отдельных фракций, имп/мин	
	№ препарата	Вес, г	Радиоактивность 1000 имп/мин		Свободные аминокислоты	Белки
Рост ягод (21/VII)	2	0,01	900	1	6700	21550
"	"	"	"	3	19240	35870
"	"	"	"	5	32330	103200
"	"	"	"	24	23500	21000
Зрелость (14/X)	2	0,01	900	1	21000	11070
"	"	"	"	3	33730	19340
"	"	"	"	5	58800	38200
"	"	"	"	24	172900	17150

Из табл. 2 видно, что существует резкое различие в образовании свободных аминокислот и белков в ягодах винограда из внесенных пептидов в периодах горошения и технической зрелости. В фазе горошения радиоактивный углерод пептида оказывается в гораздо большем количестве в белках, по сравнению со свободными аминокислотами. В этой фазе при увеличении экспозиции наблюдается резкое увеличение радиоактивности белков, а радиоактивность свободных аминокислот при 24-часовой экспозиции даже меньше, чем при 5-часовой.

В периоде зрелости в результате превращения пептидов образование свободных аминокислот сильно преобладает над синтезом белка. При увеличении экспозиции резко увеличивается радиоактивность свободных аминокислот, а в белках такой закономерности не наблюдается.

Аналогичные результаты мы получили при применении других пептидов. Полученные данные указывают на то, что в листьях и ягодах винограда радиоактивный углерод пептидов распределяется как в свободных аминокислотах, так и белках и на этот процесс определенное влияние оказывает фаза вегетации растений.

Академия наук Грузинской ССР  
 Институт биохимии растений

(Поступило 30.6.1972)

ღ. გარები

## C<sup>14</sup>-პეპტიდების გარდაქმნა ვაზის ფოთლებასა და ნაყოფში

რეზიუმე.

ვაზის ფოთლებიდან ბიოსინთეზის გზით მიღებულია რადიაქტიური (C<sup>14</sup>) ცილა, რომლის ნაწილობრივი პიდროლიზის შემდეგ გამოყოფილ იქნა ცალკეული პეპტიდები. შესწავლილია ამ პეპტიდების გარდაქმნა ვაზის ფოთლებასა და ნაყოფებში სხვადასხვა ექსპოზიციის პირობებში. გამოკვლეულია, რომ ფოთლებასა და ნაყოფში შეტანილი პეპტიდების რადიაქტიური ნახშირბალი ნაწილება როგორც თავისუფალ ამინომჟავებში, ისე ცილებში; ამასთან ამ პროცესზე გარკვეული გავლენა აქვს ვეგეტაციის ფაზებს.

BIOCHEMISTRY

O. T. KHACHIDZE

## TRANSFORMATION OF C<sup>14</sup>-PEPTIDES IN GRAPEVINE LEAVES AND FRUIT

*Summary*

Radioactive protein was obtained from grapevine leaves by biosynthesis. Individual C<sup>14</sup>-peptides were isolated after partial hydrolysis of the protein. Transformation of these peptides has been studied in grapevine leaves and fruit under various conditions of exposure. Radioactive carbon of peptides administered to the leaves and fruit was found to be distributed both in free amino acids and in proteins. At the same time vegetation phases affect this process.

## ლიტერატურა — ЛИТЕРАТУРА — REFERENCES

1. О. Т. Хачидзе. Сб. трудов Ин-та биохимии растений АН ГССР, т. 1. 1972.
2. Ж. А. Медведев. Биохимия, т. 21, вып. 2, 1956, 288.
3. Ж. В. Успенская, Л. Л. Кретович. Сб. «Методика количественной бумажной хроматографии сахаров, органических кислот и аминокислот в растениях». М.—Л., 1962.
4. Р. Я. Школьник, Н. Т. Доман, В. Н. Костылев. Биохимия, т. 26, вып. 4, 1961, 621.
5. А. И. Асатов, К. Г. Ноффе. Химия природных соединений, № 1, 1966, 40.



Н. П. ГУМБАРИДЗЕ

## ХЛОРОГЕНОВАЯ КИСЛОТА ИЗ ПЛОДОВ АЙВЫ

(Представлено академиком С. В. Дурмишидзе 22.9.1972)

Как сообщалось ранее [1], из незрелых плодов грушевидной айвы был получен суммарный препарат фенольных соединений, который был разделен на несколько фракций методом адсорбционной хроматографии на колонке полиамидного сорбента капрона. Получили несколько фракций.

Фракция, элюирующая с колонки 30% этанолом, была получена в количестве 0,82 г. Путем использования метода двумерной хроматографии на бумаге (I растворитель — и-бутил-уксусная кислота-вода (4:1:5) (БУВ), (II растворитель — 2% уксусная кислота) и качественной реакции (в УФ-свете до и после проявления в парах аммиака) было установлено, что данная фракция в основном содержит три фенольных соединения кислотного характера.

Для выделения фенолкарбоновых кислот мы использовали препаративную хроматографию на бумаге. 200 мг суммарного препарата растворяли в 15 мл этанола, наносили в виде полос на бумагу FN-1 и проявляли в растворителе БУВ (4:1:5). Полосу с  $R_f=0,63$  вырезали и элюировали 80% эталоном несколько раз при комнатной температуре. Экстракты объединяли, фильтровали и упаривали в вакууме при 40°C до 10 мл. Водный остаток хроматографировали в 2% уксусной кислоте. Полосу с  $R_f=0,65$  вырезали и обрабатывали так же, как описано выше. После высыпивания в вакууме над  $P_2O_5$  получили 20 мг остатка светло-желтого цвета с т. пл. 200°C.

Изучение УФ-спектра этанольного раствора исследуемого вещества показало наличие двух максимумов поглощения при 240 и 326 нм. При добавлении раствора  $CH_3COONa$  наблюдалось характерное смещение с 326 до 332 нм ( $\Delta = +6$ ), при добавлении смеси  $CH_3COONa$  и  $H_3BO_3$  сдвиг первого максимума поглощения в длинноволновой области составил + 22 нм, а в коротковолновой + 10 нм. Эти батохромные сдвиги характерны для дипсидов [2].

Для дальнейшей идентификации этого вещества был проведен щелочного гидролиз [3]. Продуктами щелочного гидролиза изучаемого вещества оказались кофейная и хинная кислоты.

Результаты хроматографического изучения выделенного вещества в различных системах растворителей с аутентичным образцом приведены в таблице. На основании этих данных можно заключить, что выделенное вещество представляет собой хлорогеновую кислоту.

Были изучены также содержание хлорогеновой кислоты и его изменение в листьях и плодах айвы при вегетации. Хлорогеновая кислота определялась спектрофотометрическим методом после бумажно-хроматографического разделения на спектрофотометре СФ-4А по предварительно построенной стандартной кривой для хлорогеновой кислоты при  $\lambda=328$  нм [7].

Результаты количественного определения при вегетации растений приведены на рис. 1, из которого видно, что хлорогеновая кислота в

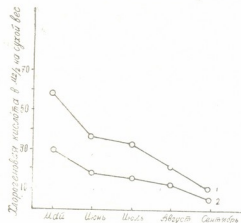


Рис. 1. Количественное изменение хлорогеновой кислоты при вегетации растений: 1—в листьях; 2—в плодах

значительных количествах содержится в листьях (57—10 мг/г на сухой вес) и плодах (30—5 мг/г на сухой вес). В процессе вегетации ее со-

#### Характеристика выделенного вещества

Свойства	Выделенное вещество	Хлорогеновая кислота
<b>Качественные реакции</b>		
Флуоресценция в УФ-свете	Голубая	Голубая
Флуоресценция в УФ-свете в парах аммиака	Зеленая	Зеленая
Окраска с хлорным железом* [4]	Зеленая	Зеленая
Окраска с диазотированным р-нитроанилином [5]	Светло-коричневая	Светло-коричневая
Окраска с 10% метанольным раствором KOH	Желтая	Желтая
<b>Значения Rf в системах:</b>		
БУВ (4 : 1 : 5)	0,63	0,63
2% уксусная кислота	0,65	0,66
0,1 соляная кислота	0,56	0,56
20% раствор KCl	0,52	0,52
п-бутиanol-этанол-вода (4 : 1 : 2,2) [6]	0,58	0,59

\*  $\text{FeCl}_3$ —2% водный раствор, подкисленный 1 мл 2 N HCl.

жение в листьях и плодах падает, резкое снижение наблюдается при созревании плодов и старении листьев.

Академия наук Грузинской ССР

Институт биохимии растений

(Поступило 22.9.1972)

ბიომასა

ნ. გუმբარიძე

ქლოროფიլის მაკავ პომაზის ნაყოფი

რეზიუმე

მსხლისებრი კომშის ნაყოფიდან გამოყოფილია ფენოლური ნაერთების გამური პრეპარატი. პრეპარატში შემავალი ფენოლური მეცნიერებიდან პოლი-

შიდის სეერზე ოდსორბციული ქრომატოგრაფიისა და ქალალზე პრეპარატიული ქრომატოგრაფიის მეთოდებით გამოყოფილი და იდენტიფიცირებულია ქლოროგენის მევა.

შესწავლილია ქლოროგენის მევას შემცველიბის ცვალებადობა ფოთოლსა და ნაყოფში ეეგეტაციის პერიოდებთან დაკავშირებით. შეიმჩნევა, რომ ქლოროგენის მევას მნიშვნელოვანი რაოდენობით უეიცავს ფოთოლი და ნაყოფი ვეგეტაციის დასაწყისში. მისი რაოდენობა შემცევ თანდათან შეიძლება და შევეთრად ეცემა ნაყოფების დამწიფებისა და ფოთლების სიბერის პერიოდებში.

## BIOCHEMISTRY

N. P. GUMBARIDZE

### CHLOROGENIC ACID FROM QUINCE FRUIT

#### Summary

A total preparation of phenol-compounds has been isolated from the unripe fruit of the pear-shaped quince. Chlorogenic acid has been isolated and identified from phenol-carboxylic acids involved in the total preparation by the methods of polyamide sorbent adsorption chromatography and of paper preparative chromatography. The dynamics of the content of chlorogenic acid in the leaves and fruit of quince has been studied. Chlorogenic acid is contained in quantity in the leaves (57—10 mg/g per dry weight) and in the fruit (30—5 mg/g per dry weight), but during vegetation its content decreases. A drastic decrease of chlorogenic acid is observable during the ripening of fruit and the ageing of leaves.

#### ЛІТЕРАТУРА — REFERENCES

1. Н. П. Гумбариձ. Сообщения АН ГССР, 65, № 3, 1972, 701.
2. Л. И. Драник. ХПС, № 5, 1966, 303.
3. В. И. Вавилов, Э. В. Гелла. Растительные ресурсы, 6, № 2, 1970, 235.
4. E. C. Bate-Smith, R. G. Westall. Biochim. Biophys. Acta, 4, 1950, 427.
5. T. Swain. Biochem. J., v. 53, 2, 1953, 200.
6. J. B. Harborne, J. J. Corner. Biochem. J., 81, 1961, 242.
7. В. В. Мжаванадзе, И. Л. Таргамадзе, Л. И. Драник. Сообщения АН ГССР, 63, № 1, 1971, 205.

ЭНТОМОЛОГИЯ

А. М. ГЕГЕЧКОРИ

НОВЫЕ ВИДЫ ПСИЛЛИД (*HOMOPTERA, PSYLLOIDEA*)  
ИЗ ПШАВ-ХЕВСУРЕТИИ

(Представлено академиком Л. А. Канчавели 8.6.1972)

*Psylla subklapaleki* Gegechk., sp. n. Пестрые, оранжево-коричневые, рисунок на спине хорошо выражен, полосы типичного рисунка, коричневые, темя и грудь между ними оранжевые; щечные конусы бледно-желтые; три первых членика усиков оранжевые, 4, 5 и 6-й более темно окрашены лишь в вершинной трети, остальные темно-коричневые; темно-коричневые и глаза; верхняя сторона склеритов брюшка темноватая, по бокам лимонно-желтая; ноги бледно-желтые, лапки коричневые. Передние крылья прозрачные, стекловидные, жилки коричневые. Аналый сегмент самки в суженной части темно-коричневый, как и генитальный сегмент, а в средней части бледно-желтый. Генитальный сегмент самца лимонно-желтый, параметры и анальная трубка грязно-желтые.

Голова резко, почти вертикально наклонена вниз, щечным конусом приближена к груди; грудь вышуклая. Длина темени примерно равна половине его ширины, щечные конусы короче темени, неузкие, расходящиеся, почти прямые внутри, загнутые снаружи, к концу заужены с притупленной вершиной. Передние крылья длинные, заметно расширяются к верхней трети длины крыла, далее закруглены и скошены к Cu<sub>2</sub>, группы маргинальных шипиков высокие, поверхность шипики покрывают все ячейки крыла, вдоль жилок оставляют широкие полосы.

Самка. Гениталии равны длине остальных сегментов брюшка (у сухих особей), анальный сегмент расширяется к основанию клюва (т. е. к суженной вершинной части), перед сужением кверху вздут. Генитальный сегмент широкотреугольный, явно короче его.

Самец. Анальная трубка спереди выпуклая, сзади почти прямая, наиболее широкая в середине, в густых щетинках. Параметры расширены посередине, сзади S-образные, впереди выпуклые, сужаются, к вершине имеют форму птичьей головы, составляют 2/3 высоты анальной трубки.

Дл. тела самки<sup>1</sup> 3,70—3,85; дл. передних крыльев 3,15—3,27, шир. 1,12—1,18; шир. головы 0,78—0,82; шир. темени 0,52—0,54, дл. 0,26—0,27; дл. щечных конусов 0,20—0,22; дл. усиков 1,10—1,14. Дл. тела самца 3,20—3,32; дл. передних крыльев 2,85—2,98, шир. 1,08—1,12; шир. головы 0,75—0,80; шир. темени 0,50—0,52; дл. 0,26; дл. щечных конусов 0,21; дл. усиков 1,05—1,08.

Кормовое растение *Salix kazbegensis* Skvortsov, *S. caprea* L.

Материал. Грузия, Пшави — с. Шуапхи 15.6.1970, Горшегма 17.6.1970. Хевсурети — с. Рошка (гора Дидгори) 20.6.1970, 27.7.1971, 16—17.8.1971; Ликокское ущелье 22.6.1970; с. Шатили 3.7.1970; с. Муцо 5.7.1970; Архоти (с. Ахиели) 11.7.1970; Архоти (Нетхихское ущелье) 31.7.1971. Всего около 40 ♂♀ из них голотип ♂ 20.6.1970 (Гегечкори).

<sup>1</sup> Размеры тела насекомых выражены в миллиметрах.

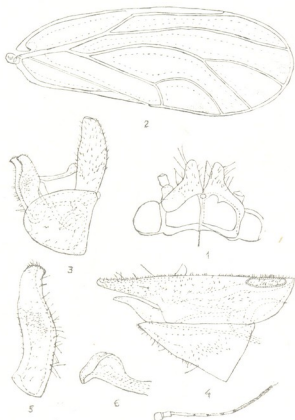


Рис. 1—7. *Psylla subklapaleki* Gegechk., sp. n.: 1—голова сверху и снизу; 2—переднее крыло; 3—гениталии ♂ сбоку; 4—гениталии ♀ сбоку; 5—парамеры изнутри; 6—вершина пениса; 7—усик

хранится в Государственном музее Грузии им. С. Н. Джанашия АН ГССР, паратипы — в коллекциях ЗИН АН СССР (Ленинград).

**Биотоп:** гумидные местности в высокогорных широколиственных лесах и в субальпийском криволесье.

Промежуточный вид между *Psylla klapaleki* Šulc и *P. intergerina* Log. Отличается от *P. klapaleki* деталями строения гениталий у самцов, в частности, у *P. subklapaleki* sp. n. выrostы парамер шире и ниже, лопастовидно расширены. Нагляднее отличия описываемого вида от *P. intergerina*. Новый вид отличается большими размерами тела, его окраской и деталями строения гениталий у самок.

*Psylla loginovae* Gegechk., sp. n. Вылетающие особи желтовато-оранжевые, после вылета у имаго происходит общее позеленение окраски. Брюшко от зеленого до желтого, рисунок, который может занимать все темя и среднегрудь, состоит из оранжевых полос и пятен. Грудь снизу оранжевая, бедра и лапки зеленоватые, щечные конусы ярко-зеленые, глаза темно-коричневые, первые пять члеников усиков желтоватые, 9 и 10-й коричневые, остальные окрашены в коричневый цвет только в верхней части.

Голова обычно прижата к груди, темя круто наклонено книзу под углом 45°, нередко несколько круче, щечные конусы обращены почти



Рис. 8—14. *Psylla loginova* Gegechk. sp. n.: 8—голова сверху и снизу; 9—переднее крыло; 10—гениталии ♂ сбоку; 11—гениталии ♀ сбоку; 12—паремеры изнутри; 13—вершина пениса; 14—усик

вертикально вниз, не массивные, слаборасходящиеся, внутри прямые, несколько короче темени. Передние крылья прозрачные, с желтоватыми, обычно слабо выраженным тенями в центрах ячеек, овальные, наиболее широкие в вершинной трети; по вершинному краю равномерно закруглены. Жилки коричневатые, костальный край и птеростигма бледные. Маргинальные шипики в виде низких споников в ячейках  $rs$ ,  $m_1$ ,  $m_2$  и  $Cu_1$ , коричневые, поверхность светлые, неравномерно, но густо покрывают мембранных всех ячеек крыла, хорошо просматриваемые, свободными оставляют лишь узкие полосы вдоль жилок;  $Rs$  посередине прогнут к птеростигме, волнообразный, ячейки  $m_1$  и  $Cu_1$  высокие. Вокруг  $Cu_2$  и вокруг вершин анального шва и клавуса коричневых пятен нет.

**Самка.** Гениталии длиннее остальных сегментов брюшка, клювовидные. Аналый сегмент сверху слегка вздут в основании клюва, конец клюва более или менее загибается вверху, негусто покрыт щетинками, значительно выступает за генитальный, в вершинной половине несет микроскопические шипики. Генитальный сегмент широкотреугольный, в основании вдвое выше анального сегмента.

**Самец.** Аналная трубка широкая, лишь на конце сужается, спереди выпуклая, сзади волнообразная, в густых щетинках. Паремеры немного ниже анальной трубки, сзади волнистые, спереди дважды дуговидно изогнутые, на вершине сужены и кончаются острым, сильно хитинизированным зубцом.

Дл. тела самки 2,80—3,20; дл. передних крыльев 2,40—2,70, шир. 1,05—1,15; шир. головы 0,69—0,72; шир. темени 0,38—0,43; дл. 0,15—0,17;



дл. щечных конусов 0,21; дл. усиков 0,82. Дл. тела самца 2,65—2,88, шир. передних крыльев 2,35—2,55, шир. головы 0,65; шир. темени 0,40, дл. 0,15; дл. щечных конусов 0,20.

### *Ha Salix ? elbursensis* Boiss.

Вид описан на большой серии сборов автора из Грузии, в частности из Хевсуретии, Главный Кавказский хребет, окрестности с. Шатили (Анатория), долина р. Ардот II, 12.VIII.1971, 21.VII.1972. Более 100 особей вместе с голотипом ♂ (Гегечкори) хранится в Государственном музее Грузии им. С. Н. Джанашия АН ГССР, параптипы — в коллекциях ЗИН АН СССР (Ленинград).

Биотоп: по берегам горных рек.

Морфологически обнаружен ряд сходных черт строения с *nigrita* Zett. отличается отсутствием коричневого пятна  $Cu_2$ , а также деталями строения гениталий у обоих полов.

Академия наук Грузинской ССР

Государственный музей Грузии

им. С. Н. Джанашиа

(Поступило 9.6.1972)

## ՑԱՅՆՈՒԹՅՈՒՆ (HOMOPTERA, PSYLLOIDEA) ՏԵՍԼՈ ԵՎ ԵՐԿՐՈՅՈՒԹՅՈՒՆ

ଓଡ଼ିଆ-ବୋଲିଆ ରେଟାର୍ଡ୍

ଲେଖକ

ENTOMOLOGY

A. M. GEGECHKORI

A. M. DEGEORGE  
NEW PLANT LICE (*HOMOPTERA, PSYLLOIDEA*) FROM  
PSHAV-KHEVSURETI

## Summary

Two new species—*Psylla loginovae* sp. n. and *Psylla subklapalekti* sp. n.—are described from Pshavi and Khevsureti in Georgia.

— ЛИТЕРАТУРА — REFERENCES

1. Н. С. Андрианова. Научно-методические записки Главного управления по заповедникам, т. XI. М., 1948.
  2. М. М. Логинова. Определитель насекомых Европейской части СССР, т. I. М.—Л., 1964а.
  3. М. М. Логинова. Труды ЗИН АН СССР, т. XXXVII. М.—Л., 1966.
  4. М. М. Логинова. Polska Akademia Nauk. Annales Zoologici, т. XXIV, № 7. Warszawa, 1967.
  5. K. Vondráček. Acta Faun. Ent., 5:1—14. Praha, 1959.
  6. E. Dobrea și C. Măiolache. Fauna R. P. R. 8, 3. Bucuresti, 1962.



ლ. ჩახავალი (საქართველოს სსრ მეცნიერებათა აკადემიის ექიმის ექიმის)

მინიმუმის სასუმაბის დოზის და მათი შეტანის პალიგის  
განვითარების ნაცრის (*ERYSIPHE GRAMINIS DC F. TRITICI*  
MARCHAL) განვითარებაზე

ჩვენ მიზანს შეადგენდა გაგვერცვია, თუ რა გავლენას მოახდენდა აზო-  
რის, ფოსფორისა და კალიუმის დოზებით გამოკვება ხორბლის ნაცრის განვი-  
თარებაზე სრულ მინიმუმურ განვითარებაში.

შესწავლითა აზორის (N) დოზები —  $N_{20, 40, 60}$  კგ/ჰა ფოსფორ-კალიუმის  
(PK) სამ —  $P_{20} K_{15}, P_{40} K_{30}, P_{60} K_{60}$  — ფოტები, P-ს დოზებიც —  $P_{60}$  ყოველ წელს, 120  
ორ და 240 კგ/ჰა ოთხ წელში ერთხელ — NK-ს სამ ფონზე  $N_{60} K_{30}, N_{80} K_{60},$   
 $N_{120} K_{90}$ , K-ის დოზები კი —  $K_{15, 30, 60}$  კგ/ჰა ყოველ წელს, 120 ორ და  
240 კგ/ჰა ოთხ წელში ერთხელ — NP-ს ორ ფონზე —  $N_{60} P_{60}$  და  $N_{80} P_{120}$ . სა-  
კონტროლოდ აღებული გვერცვა გაუნიყოფერებელი — უსასქი ვარიანტი. ივადმყო-  
ფობის განვითარების ინტენსივობას აღვრიცხავდით მიღებული მეთოდით [1]  
რძისებრ სიმწიფეში. ცლები დაკავენთ წერტვანში (მცენის რაობის) სარწყავ-  
პირობებში. დანაყოფის ფართობი შეადგენდა 150 კმ. მეტრს. შელეგები მოცემუ-  
ლია 1 ცხრილში.

როგორც ცხრილიდან ჩანს, N-ის დოზები გარკვეულ გავლენას ახდენს  
ხორბლის ნაცრის განვითარებაზე. პირველ მე-5 და მე-9 ვარიანტებში ( $P_{20} K_{15},$   
 $P_{40} K_{30}, P_{60} K_{60}$ ), როგორც N არ მონაწილეობს, აღინიშნა ხორბლის  
ნაცრის სუსტი განვითარება (21,6; 21,3; 21,8%). ამ ვარიანტებთან შედარე-  
ბით ხორბლის ნაცრის უფრო სუსტი განვითარება აღინიშნა საკონტროლო-  
ში (19,2%). მცენარეებს ახასიათებს ფოთლების ქლოროტიულობა, ლეროს  
გაწვრილება, სიდაბლე. თითქმის ასეთივე სახე აქვთ მცენარეებს უაზოტო ვა-  
რიანტებზე. როგორც კი ფონს N ემატება, მცენარეები ძლიერ ვითარდება,  
მსხვილერობით, მაღალი, ფოთლები მუქი მწვანეა, ნათესი ხშირია. ამას-  
თან ივადმყოფობის განვითარებაც საქმარე მაღალია. ამ მხრივ, განსაკუთ-  
რებით გამოიტარება მე-4, მე-8 და მე-12 ვარიანტები ( $P_{20} K_{15} + N_{60}, P_{40} K_{30} + N_{60},$   
 $P_{60} K_{60} + N_{60}$ ), როგორცშიც N ყველაზე მეტი რაოდენობითაა. ნაცრის პალიშა-  
კები უხვადა განვითარებული ქვედა, შეა და განსაკუთრებით ზედა იარუ-  
სის ფოთლებზე. ზედა 1—2 ფოთლებისა და თავთავების ღავადება, ძირი-  
თადად ცდის ამ ვარიანტებშია. ივადმყოფობის განვითარება შესაბამისად,  
33, 7; 33,0; 30,9 პროცენტს აღწევდა. რაც შეეხება მოსავალს, საკონტრო-  
ლოსთან შედარებით აქ მნიშვნელოვან მატებას აქვს ადგილი. მათგან გამო-  
ირჩევა შე-12 ვარიანტი (56,7 ც/ჰა). ცნობილია [2], რომ N-ის დოზების გა-  
დიდებისას მარცვალში გროვდება ცილები და მცირდება ნახშირწყლები, ე. ი.  
უარესდება ხორბლის ხარისხი.



მიწასუბანი სისტემის დოკუმენტის გვერდზე ხარისხის ნიშვნის გადამტკიცება  
(თუ მისა საჭირო მიმღებაა.)

No	N-ის გატება		P-ის გატება		K-ის გატება		მუნ. დოზირება	
	გამომცემი	მუნ. დოზირება	გამომცემი	მუნ. დოზირება	გამომცემი	მუნ. დოზირება		
1	P <sub>10</sub> K <sub>10</sub> -I კენტ.	20,6	23,0	N <sub>10</sub> K <sub>10</sub> -I კენტ.	27,0	41,6	N <sub>10</sub> P <sub>10</sub> -I კენტ.	33,8
2	კენტ. + K <sub>10</sub>	25,3	42,8	კენტ. + P <sub>10</sub> მეტან წილ.	38,5	47,9	კენტ. + K <sub>10</sub> მეტან წილ.	30,1
3	კენტ. + K <sub>10</sub>	25,9	49,7	კენტ. + P <sub>10</sub> 2 გვარი განა.	38,9	48,1	კენტ. + K <sub>10</sub>	27,5
4	კენტ. + K <sub>10</sub>	25,7	51,1	კენტ. + P <sub>10</sub> 4 გვარი განა.	39,5	49,1	კენტ. + K <sub>10</sub> 2 გვარი განა.	24,5
5	კენტ. + K <sub>10</sub>	25,7	51,1	N <sub>10</sub> K <sub>10</sub> -II კენტ.	39,5	49,5	კენტ. + K <sub>10</sub> 2 გვარი განა.	26,9
6	P <sub>10</sub> K <sub>10</sub> -II კენტ.	25,3	51,0	კენტ. + P <sub>10</sub> მეტან წილ.	31,0	34,3	კენტ. + K <sub>10</sub> 2 გვარი განა.	27,0
7	კენტ. + K <sub>10</sub>	24,1	41,7	კენტ. + P <sub>10</sub> 2 გვარი განა.	31,0	34,3	N <sub>10</sub> P <sub>10</sub> -II კენტ.	28,5
8	კენტ. + K <sub>10</sub>	24,5	50,3	კენტ. + P <sub>10</sub> 4 გვარი განა.	31,0	35,0	კენტ. + K <sub>10</sub> 2 გვარი განა.	29,0
9	კენტ. + K <sub>10</sub>	30,0	52,5	კენტ. + P <sub>10</sub> 4 გვარი განა.	31,0	35,7	კენტ. + K <sub>10</sub> 3 გვარი წილ.	24,0
10	P <sub>10</sub> K <sub>10</sub> -III კენტ.	21,8	25,2	N <sub>10</sub> P <sub>10</sub> -III კენტ.	22,0	35,7	კენტ. + K <sub>10</sub>	29,0
11	კენტ. + K <sub>10</sub>	23,6	43,6	კენტ. + P <sub>10</sub> მეტან წილ.	22,0	36,1	კენტ. + K <sub>10</sub> 2 გვარი განა.	29,7
12	კენტ. + K <sub>10</sub>	29,8	52,1	კენტ. + P <sub>10</sub> 2 გვარი განა.	23,0	34,6	კენტ. + K <sub>10</sub> 4 გვარი ზოგად.	30,7
13	კენტ. + K <sub>10</sub>	30,9	56,7	კენტ. + P <sub>10</sub> 4 გვარი განა.	24,1	34,6	საკუთრებულო—გაფინანს.	19,2
	საკუთრებულო—გაფინანს.	17,3	32,0	საკუთრებულო—გაფინ.	19,2	32,0	—	—



თავის მხრივ, ფონის (PK) დოზების მატებაც გავლენას ახდენს ავადყუთლობის განვითარებაზე. მაგალითად, თუ მე-4 გარიანტში ( $P_{90} K_{15} + N_{90}$ ) ავადყუთლობის განვითარება 33,7%-ს აღწევდა, მე-12 ვარიანტში ( $P_{90} K_{40} + N_{90}$ ) მან შეაღინა 30,9%. ეს შემცირება, ძირითადად  $K$ -ს მტკბათ უნდა იყოს გამოვლენული. ასეთი კახონხზომიერება აღინიშნა ყველა ვარიანტში.

К-ის დოზების ცდებში ხორბლის ნაცრის განვითარების ყველაზე მაღალი ინტენსივობა (32,8; 38,3%) პირველ და მე-7 ვარიანტებშია ( $N_{50}$   $P_{90}$ ,  $N_{50}P_{120}$ ), რომელგბშიც K არაა. K-ს რაოდენობის მატებასთან ერთად მცირდება ავალშეოფულობის განვითარების ინტენსივობა; მაგ.  $N_{50}P_{90}$ -ზე K<sub>15</sub>-ის დამატებისას იგი იღწევდა 30,1%-ს,  $K_{30}$  დამატებისას — 27,5%-ს, კედის დამატების ს კი — 24,5%-ს. ასეთივე მოვლენა აღნიშნულია მეორე ფონის ( $N_{50}P_{120}$ ) ანალოგიურ ვარიანტებშიც. ავალშეოფულობის განვითარების შეზღუდვისთვის საჭიროი არის K-ის ყოველწლიური შეტანა 60 კგ/ჰა რაოდენობით უფრო ეფექტურია, ვიდრე 120 და 240 კგ/ჰა რაოდენობით შეტანა, შესაბამისად ორ და ოთხ წელიწადში ერთხელ.

„შევისულებეთ სასუტების შეტანის ვადების გავლენა ხორბლის ნაცრის განვითარებაზე. ავილეთ ასეთი ვარიანტები:  $N_{60} P_{90} K_{30}$  — თესვის წინ;  $N_{60} P_{90} K_{30}$  — ხენის წინ;  $N_{30} P_{90} K_{30}$  — ხენის წინ +  $N_{30}$  გაზაფხულზე,  $N_{20} P_{90} K_{30}$  — თესვის წინ +  $N_{20}$  ზამორის პირის +  $N_{20} P_{90}$  გაზაფხულზე გამოკვება. კომტროლის: გაუნიყოერებელი, უსასუქო ავალმყოფობის განვითარების ინტენსივობა შესაბმისად 29,1; 31,9; 32,4; 32,6% აღწევდა. მოსავალზა კი 50,2; 48,2; 47,7; 48,3 ც/ჶა შეაღვინა. საკონტროლოზე კი შესაბმისად, 21,4% და 32,2 ც/ჶა.

როგორც ამ მონაცემებიდან ჩანს, სასუქების სხვადასხვა ვაღაში შეტანა ხორბლის ხაცრის განვითარებასა და მოსვალზე დიდ ვაკლებას აჩ იხდებს. ამრიგად, N-ის ღოზების მატება (30, 60, 90 კგ/ჰ��) ხორბლის ხაცრის განვითარების მატებას იწვევს. ავალყოფნის განვითარების უკლეაზე დაბალი ინტენსივობა (22,6%) მიღებულ იქნა მე-10 ვარიანტში ( $P_{90} K_{30} + N_{30}$ ), ხოლო ყველაზე მეტი (33,7%) — მე-4-ზი ( $P_{30} K_{15} + N_{30}$ ).

N-ის გარეშე P და K-ით განკუირება მოსაცლიანობის მატებაზე, ნაკლებ გავლენას ახდენს, ხოლო ავადმყოფობის განვითარების შემცირებაზე,

პირიქით. P-ს დოზების მატება ზრდის ავალშემოფონბის განვითარების ინტენ-  
სივობას 13—17%-ით, K-ის დოზების მატება კი იწევეს 23,6—25%-ით შემ-  
ცირქებას. სხვადასხვა ვადაში შეთანა ავალშემოფონბის განვითარებაზე  
გავლენას არ ახლევს.

საქართველოს სსრ მცენარეთა დაცვის ინსტიტუტი

(ექმნებია 8.9.1972)

ФИТОПАТОЛОГИЯ

Л. А. КАНЧАВЕЛИ (академик АН ГССР), А. В. МЖАВАНДЗЕ

## ВЛИЯНИЕ ДОЗ МИНЕРАЛЬНЫХ УДОБРЕНИЙ И СРОКОВ ИХ ВНЕСЕНИЯ НА РАЗВИТИЕ МУЧНИСТОЙ РОСЫ ПШЕНИЦЫ (*ERYSIPHE GRAMINIS DC F. TRITICI MARCHAL*)

Резюме

Проведенными опытами установлено, что увеличением количества азота (30, 60, 90 кг/га) в комплексе удобрений, увеличивается развитие мучнистой росы пшеницы. Из испытанных вариантов лучшим оказался Р<sub>90</sub>К<sub>60</sub>+N<sub>30</sub>. Дозы Р существенно не влияют на уменьшение интенсивности развития болезни, наоборот, в какой-то степени (13—17%) наблюдается ее повышение, а с увеличением дозы К [15, 30, 60 кг/га]—уменьшение на 23,6—25%. Сроки внесения минеральных удобрений на разные болезни не влияют.

PHYTOPATHOLOGY

L. A. KANCHAVELI, A. V. MZHAVANADZE

INFLUENCE OF DOSES OF MINERAL FERTILIZERS AND THE TIME  
OF THEIR APPLICATION ON THE DEVELOPMENT OF POWDERY  
MILDEW OF WHEAT (*ERYSIPHE GRAMINIS* DC. *F. TRITICI*  
MARCHAL)

## Summary

It has been experimentally established that by increasing the amount of N in fertilizers (30, 60, 90 kg/ha) the development of powdery mildew of wheat increases. Of the variants tested  $P_{90}K_{60}+N_{30}$  was found to be the best. Doses of P do not essentially decrease the intensity of the development of the disease; on the contrary, to some extent they increase (13–17%) it. With an increase of the K dose (15, 30, 60 kg/ha) a decrease of the disease by 23.6–25% is observable. The timing of mineral fertilization has no effect on the development of the disease.

## ლიტერატურა — ЛИТЕРАТУРА — REFERENCES

1. ა. მ ე ვ ა ნ ა ძ ე . მ ე თ ლ უ რ ი მ ი თ ი თ ვ ა ნ ს ხ ა რ ბ ლ ი ს ა დ ა ქ ე რ ი ს ნ ა ც ტ ი ს ... წ ი ნ ა ლ უ დ ე ბ ზ რ ი ს ა ფ რ ი თ ე ვ ნ ა კ უ რ ი დ ა ქ მ ი თ უ რ ი ლ ა ნ ი ს შ ე ბ ე ბ ი ს შ ე ს ა ხ ე ბ . თ ბ ი ლ ი ს , 1972.
  2. C. J. Jasinghani, U. S. Pokharna, K. M. Metha. Indian J. Agron. (1970), 15, № 3, 1971, 217—219.

ЗООЛОГИЯ

Т. С. МХЕИДЗЕ

НОВЫЕ ВИДЫ ПАУКОВ РОДА *HARPACTOCRATES*  
(*DYSDERIDAE*) ИЗ ГРУЗИИ

(Представлено членом-корреспондентом Академии Т. Н. Ониани 6.6.1972)

В работе Д. Е. Харитонова «Обзор пауков семейства *Dysderidae* фауны СССР» [1] изображены пальпусы самцов 31 вида этого семейства из разных районов СССР. Указано, что можно определять многие виды пауков и по самкам, руководствуясь вооружением ног и другими признаками. Там же говорится, что устройство эндогин, вероятно, должно служить основанием для разграничения форм самок пауков семейства *Dysderidae*. В работе итальянского арахнолога П. Аликата [2] даны изображения эндогин нескольких итальянских видов. В СССР этот вопрос поставлен впервые.

Нашей задачей является изображение эндогин некоторых видов самок семейства *Dysderidae*.

В данной статье описаны два вида рода *Harpactocrates* Sim. Из рода *Harpactocrates* в Советском Союзе известен только один вид (*Harpactocrates fedotovi* Charit., 1956) из Грузии (Лагодехский заповедник).

В собранном нами в 1962—1963 гг. материале оказалось три вида из рода *Harpactocrates*, среди них два новых и один *H. fedotovi* Charit., повторно зарегистрированный в Лагодехском заповеднике.

1. *Harpactocrates georgicus* Mcheidze sp. n.

Самка. Длина головогруди 3,1 мм, ширина 2,1 мм, ширина головного отдела 1,8 мм, длина хелицер 1,6 мм. Расстояние между передними глазами меньше их диаметра, расстояние между средним и боковым глазом заднего ряда меньше диаметра среднего глаза. Головогрудь шестиугольного очертания с прямым задним краем, темно-коричневая, почти черная, блестящая, с шагренированной поверхностью, углубленных точек очень мало, разбросаны с передней части. Головогрудь выпуклая, на поверхности видны продольная бороздка и расходящиеся от нее короткие радиальные мускульные линии. Высота клипеуса не превышает диаметра переднего глаза.

Стернум выпуклый, темно-коричневый. По краям едва заметны морщины, поверхность шагренированная, как и головогрудь, мелко-зернистая, по краям около ног зернышки реже, но более крупные, углубленные точки не заметны.

Хелицеры цвета головогруди, покрыты крупными зернышками, несущими длинные волоски. Губа и гнатококсы темно-коричневые, пальцы и бедра ног коричневые. Остальные членники ног немного светлее.

Вооружение ног: бедра I с внутренней стороны спереди на вершине с 2 щипами, II с внутренней стороны с 1, III сверху в середине с 2, IV сверху в середине с 2.1.1; колени II сверху на вершине с 1 щипом; голень III и IV спереди с 1.1.1 сзади с 1.1, снизу с 1.1.2.

Эндогина (рис. 1). Самец неизвестен.

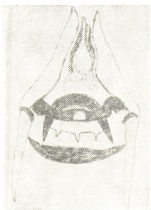


Рис. 1. Эндогина *Harpactocrates georgicus* Mcheidze sp. n.

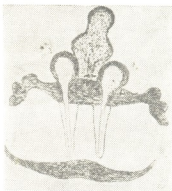


Рис. 2. Эндогина *Harpactocrates charitonowi* Mcheidze sp. n.

Вид приближается к *Harpactocrates ignavus* (Sim.) [3], известному в горах Корсики, количеством шипов на I и II бедрах и расположением глаз, но отличается вооружением III и IV бедер, размерами и окраской. Наш экземпляр темнее окрашен, почти с черной головогрудью.

Материал: одна самка (голотип), Коджори, Удзо (Грузия), 25.VII.1962 г., 1200 м н. у. м., под камнями.

## 2. *Harpactocrates charitonowi* Mcheidze sp. n.

Самка. Длина головогруди 5,9 мм, ширина 4 мм, ширина головного отдела 2,1 мм. Расстояние между передними глазами в 1,5 раза больше их диаметра, расстояние между боковым и средним глазом заднего ряда больше их диаметра. Головогрудь шестиугольного очертания, с прямым задним краем, оранжево-темно-коричневая, с матовой мелкозернистой поверхностью и мелкими углубленными точками. На головогруди видны короткая продольная бороздка и расходящиеся от нее радиальные мускульные линии. Клипеус высокий, высота его превышает диаметр переднего глаза. Стерnum блестящий оранжево-желтый, в середине желтый. Короткие морщины хорошо заметны около ног. Углубленные точки в середине реже, а по краям более густые.

Хелицеры цвета головогруди, с крупными и густыми зернышками, которые покрыты длинными волосками. Губа и гнатококсы коричневые. Пальцы и I пара бедер коричневые, остальные членики ног светлее.

Вооружение ног: бедра I спереди в дистальной половине с 7 или 8 щипами, II с 6, III сверху с 2—3, сверху спереди с 2, IV сверху у основ-

вания с 5; колени III спереди на вершине с 2 шипами, сверху с 2, сзади с 1 (у основания), IV сзади на вершине с 1; голени III и IV спереди и сзади с 2.2.2 шипами, сверху с 1.1, снизу с 1.1.2 или с 1.2.2.

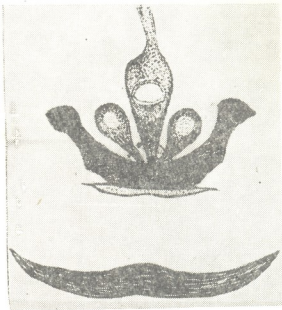


Рис. 3. Эндогина *Harpactocrates fedorovi* Charit. (Изображение эндогины *Harpactocrates fedorovi* Charit. нами дается впервые)

Брюшко серовато-желтое, покрыто короткими густыми волосками красного цвета, по бокам и на нижней стороне хорошо выражены поперечные морщины.

Эндогина (рис. 2). Самец неизвестен.

Материал: одна самка (голотип), Кикети (Грузия), 2.VIII.1963 г., в лесу под камнями.

Название вида посвящается известному арахнологу проф. Дмитрию Евстратьевичу Харитонову. Типы новых видов находятся на кафедре зоологии беспозвоночных Тбилисского государственного университета.

Тбилисский государственный университет

(Поступило 8.6.1972)

Журнал

ციფრული

8856 HARPACTOCRATES (DYSDERIDAЕ)-ს თბობის ახალი  
სახეობის საბაზო დანართი

რეზიუმე

*Harpactocrates* გვარიდან საბჭოთა კავშირში ცნობილია მხოლოდ 1 სახეობა (*Harpactocrates fedotovi* Charit., 1956, საქართველო, ლაგოდეხის ნაკრძალი). 1962—1963 წლებში საქართველოში ჩვენ მიერ შეგროვილი მასალების მაღალი დოკუმენტურობის მიზანით დაგენერირდა ეს სახეობის მასალები.

ხედვით ამ გვარიდან აღვწერეთ 2 ახალი სახეობა—*Harpactocrates georgicus* Mccheidze sp. n., *Harpactocrates charitonowi* Mcheidze sp. n. ახალი სახეობების აღწერისას, ჩვენში პირველად ვიძულეთ ენდოგინის აღნავობას, რაც ძირითად სისტემატიკურ ნიშად უნდა იქნეს მიღებული *Dysderidae*-სა და მათ შორის *Harpactocrates* გვარის მდედრების რევეზისას. თითოეული სახეობისათვის მოცუმულია პირველადი აღწერა, რომელიც ილუსტრირებულია ენდოგინის სურათებით.

## ZOОLOGY

T. S. MKHEIDZE

 NEW SPECIES OF SPIDERS OF THE GENUS *HARPACTOCRATES*  
 (*DYSDERIDAE*) IN GEORGIA

## Summary

Of the genus *Harpactocrates* only one species of spider is known in the Soviet Union (viz. *Harpactocrates fedotovi* Charit., 1956, the Lagodekhi Reservation in Georgia). According to the materials collected by the author in Georgia in 1962 and 1963 he has described 2 new species: *Harpactocrates georgicus* Mcheidze sp. n. and *Harpactocrates charitonowi* Mcheidze sp. n. In describing the new species the structure of endogin is presented for the first time in this country, for endogin should be considered the basic systematic trait of the family *Dysderidae*, in particular, in describing the females of the genus *Harpactocrates*. The primary description illustrated by endogin pictures is given for each species.

## ЛІТЕРАТУРА — REFERENCES

1. Д. Е. Харитонов. Уч. зап. Перм. гос. ун-та, т. X, вып. I, 1956.
2. P. Alicata. Le species italiane di *Harpactocrates* Sim. e di *Parachthes* n. den. (Ara-  
neae, Dysderidae). Ann. Mus. zool. univ. Neapoli, 1964.
3. E. Simon. Les Arachnides de France, 6, p. I. Paris, 1914.



ЦИТОЛОГИЯ

Р. М. МИКЕЛАДЗЕ, Р. Н. МАНДЖАЛАДЗЕ, Г. Е. КУЧУХИДЗЕ  
 Л. А. КАХИДЗЕ

**О КОЛЬПОЦИТОЛОГИЧЕСКОМ ИССЛЕДОВАНИИ  
 ГОРМОНАЛЬНЫХ НАРУШЕНИЙ ЯИЧНИКОВОЙ ФУНКЦИИ  
 У РАБОТНИЦ ЗАВОДОВ ХИМКОМБИНАТА И ХИМВОЛОКНА  
 г. РУСТАВИ**

(Представлено членом-корреспондентом Академии Н. А. Джавахишвили 15.8.1972)

В последнее время особое внимание уделяется цитологическим анализам клеточного состава слизистого влагалища как биологического теста определения гормонального состояния половых желез. Фундаментальными исследованиями Г. Н. Папаниколау и его сотр. установлено, что функциональная цикличность яичников сопровождается цикличностью не только эндометрия матки, но и влагалищного эпителия. Эта цикличность выражается в количественных и качественных изменениях клеточного состава этого эпителия. Поэтому влагалищный цикл считается биологическим тестом определения функциональной деятельности яичников.

Цель данной работы заключается в выявлении гормональных нарушений яичников у женщин, работающих под постоянным влиянием определенных химических факторов в цехах заводов химкомбината и химволокна г. Рустави. Применялся цитологический тест слизистого влагалища и «феномен кристаллизации» шеечной слизи.

Таблица 1

Цехи	Кол-во ис-следованных женщин	По стажу работы		Ведущие химические факторы производственной среды
		до 5 лет	свыше 5 лет	
Завод химкомбината				
Циклогексанона	36	26	10	Циклогексанол Циклогексанон
Капролактама	34	23	8	Капролактам Фенол
Завод химволокна				
Химический	72	60	12	Капролактам
Прядильный	38	28	10	Динил
			7	Капролактам
Крутильный	24	17	58	Аммиак
АТЗ химкомбината	258	200		
Всего	462	357	105	

В исследуемых цехах ведущим профессионально-гигиеническим фактором производственной среды является химический фактор. Рас-

пределение веществ, загрязняющих воздушную среду цехов, и количество исследуемых женщин по стажу работы представлены в табл. 1.

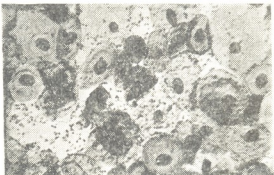


Рис. 1. Мазок с повышенной активностью (200 х)

Материал (влагалищные мазки) брался в динамике в течение двух менструальных циклов (по четыре мазка в каждом цикле). Препараторы красились в основном монохромным методом с применением метиленового синего; в отдельных случаях для подтверждения высоких показателей эстрогенной активности применялась полихромная окраска методом Шора [2]. Определение степени кристаллизации производилось трехбалльной визуальной системой, предложенной Бергманом (1950 г.). Сравнительным материалом (контроля) послужили общепринятые колы-поцитограммы, характерные для нормально менструирующих женщин. Влагалищная формула выражалась в виде индекса созревания, показывающего соотношение парабазальных, промежуточных и поверхностных клеток, с кариопикнозом. Всего проанализировано свыше 3700 мазков у 462 женщин, находящихся в чадородном возрасте (19—31 год).

Рис. 2. Андрогенный тип мазка

(400 х)



Полученные результаты подытожены в сводной табл. 2, из которой видно, что среди гормональных нарушений яичниковой функции у исследуемых женщин доминирующее положение занимает гиперэстрогения, особенно у женщин со стажем работы до 5 лет. Выше этого срока подобные нарушения встречаются редко. По-видимому, такое состояние яичниковых функций в первые годы работы является определенной реакцией организма на химические факторы производственной среды. С те-

чением времени организм как бы адаптируется и эти отклонения яичниковой функции постепенно нормализуются.

Таблица 2

Цели	Количество исследованных женщин	Типы гормональных нарушений	Кол-во нарушений по стажу работы, %		Общее кол-во отдельных нарушений, %	Общее кол-во всех видов нарушений, %	Ведущий химический фактор производственной среды
			до 5 лет	свыше 5 лет			
Завод химкомбината							
Циклогексанона	36	Гиперэстрогения Гипоэстрогения	30 4	10 10	25 6	31	Циклогексанон Циклогексанол
Капролактама	34	Гиперэстрогения Андрогения	35 7	12 25	32,5 14	46,5	Капролактам Фенол
Завод химволокна							
Химический	72	Гиперэстрогения Андрогения	36 9	16 25	33 12,5	45,5	Капролактам
Прядильный	38	Гиперэстрогения Андрогения	42,5 18	37 37	41,5 22	63,5	Динил Капролактам
Крутильный	24	Гиперэстрогения Гипоэстрогения	17,5 5	— 20	17,5 11	28,5	—
АТЗ химкомбината	258	Гипоэстрогения Андрогения	18 20	17,5 23	18,5 20,5	39	Аммиак

Повышение эстрогенной активности в ранней фолликулярной фазе отмечается особенно у работниц прядильного цеха. В норме для этой фазы индекс созревания выражается в следующих показателях: 0/70—85/15—30, т. е. колеблется от 15 до 30%, в то время как у ряда работниц (41%) прядильного цеха он составляет 0/55—75/25—50. На рис. 1 изображена картина повышенной эстрогенной активности сравнительно с высоким показателем индекса кариопикноза. Соответственно повышены и показатели феномена кристаллизации, в частности, отмечаются вполне сформулированные «листы папоротника».

Кроме гиперэстрогении, в исследуемом материале зарегистрированы гормональные нарушения типа гипоэстрогении (7%) и андрогении. Типичная картина повышения андрогенной активности дана на рис. 2. Этот тип нарушения более характерен для работниц прядильного цеха и АТЗ химкомбината, у которых андрогения отмечается почти в одинаковой степени независимо от стажа работы.

Таким образом, из исследованных 462 работниц указанных заводов значительная часть страдает явными нарушениями гормональной функции яичников. Сравнительно высокие показатели гормональных нарушений отмечаются в прядильном и затем в капролактамовом и химическом цехах, т. е. там, где применяются циклогексанон, капролактам и динил.

Вопрос о выяснении конкретных причинно-следственных механизмов воздействия химических факторов производственной среды на функции половых желез организма несомненно требует более обширных патофизиологических и биохимических подходов и анализов. В нашей же работе мы лишь констатировали факты наличия определенных связей гор-

иональных нарушений яичников с химическими факторами производственной среды и тем самым подготовили почву для всестороннего изучения данного вопроса.

Институт гигиены труда  
и профзаболеваний  
им. Н. И. Махвиладзе  
МЗ ГССР

(Поступило 8.9.1972)

#### ციტოლოგია

6. მიქელაძე, რ. მანჯგალაძე, გ. კუჭუხიძე, ლ. კახიძე

ქ. რუსთავის მიმდომაგნატისა და მიმდინარე ბოცქოს ძარღენიაში  
მომუშავი ჩატარების საკვერცხის ჰორმონის ფუნქციის მოვლა-მოვალეობის  
კოლეციონირების გარემონტინირების შესახებ

#### რეზიუმე

დადგენილია პროფესიონალურ-ჰიგიენური ფაქტორების გავლენა ქ. რუსთავის ქიმიკური ბოცქოს ქარხნებში მომუშავე ქალების საკვერცხის ფუნქციაზე. ჰორმონალური კოლეციონირების მეთოდით გამოვლეულთა საგრძნობ ნაწილს აღმოაჩნდა საკვერცხის ჰორმონალური ფუნქციის მყენობის მეთოდი მოშლა. მეტწილად აღილი ჰქონდა ჰიპერენერულ და ანდროგენულ დარღვევებს. დადგენილია ამ დარღვევათა რაოდენობრივი სურათი ცალკეულ სამქროთა მიხედვით და მათი კავშირი სამუშაო გარემოში მოქმედ ქიმიურ ფაქტორებთან.

#### CYTOTOLOGY

R. M. MIKELADZE, R. N. MANJGALADZE, G. E. KUCHUKHIDZE,  
L. A. KAKHIDZE

#### COLPOCYTODIAGNOSIS OF OVARIAN HORMONAL MALFUNCTION AMONG WOMEN-WORKERS AT THE GROUP OF CHEMICAL ENTERPRISES AND THE SYNTHETIC FIBRE PLANT IN RUSTAVI

##### Summary

At various shops of the above-mentioned plants 462 women-workers have been examined by the method of hormonal colpocytology. In the industrial environment, under the constant influence of certain chemical factors, main part of women-workers have been found to be suffering from evident ovarian hormonal malfunctions, in particular: hyperestrogynism, androgynism and hypoestrogynism. The relation of the hormonal malfunctions to the length of work for individual shops has been determined, with due account of the main chemical factors of the industrial environment.

##### ციტოლოგია — ЛИТЕРАТУРА — REFERENCES

1. G. N. Papanicolaou. Am. J. Anat., 3, 52, 1933, 519.
2. E. Shorr. Science, 94, 1941, 545.



ЦИТОЛОГИЯ

Ц. Я. ЖГЕНТИ

БЕЛОКСИНТЕЗИРУЮЩАЯ АКТИВНОСТЬ РНК В  
СУБКЛЕТОЧНЫХ ОБРАЗОВАНИЯХ РАЗЛИЧНЫХ  
ОРГАНОВ КРЫС

(Представлено академиком К. Д. Эристави 5.10.1972)

Согласно основному постулату биологии, специфическую структуру белка определяют ДНК и комплементарные им определенным цистронам мРНК, непосредственно осуществляющие в рибосоме белковый синтез в сложном комплексе с тРНК и с синтезирующими факторами разной природы. Ассоциированные РНК проявляют резистентность к действию экзогенных нуклеаз [1]. Следовательно, измерение неэкстрагируемых рибонуклеазой РНК определяет количество РНК, осуществляющих белковый синтез.

В ходе исследования определялись общие и неэкстрагируемые рибонуклеазой относительные количества РНК в цитоплазме, ядрах, ядрышках дифференцированных клеток сердца, мышцы, печени, почек, селезенки, легкого крыс линии Вистар. Фиксация материала проводилась по Карниуа, с заливкой в парафин. РНК в серийных срезах (5  $\mu$ ) после ацетилирования и ферментативной обработки (за исключением контрольных срезов) панкреатической кристаллической рибонуклеазой и дезоксирибонуклеазой (отдельных срезов) в концентрации 1 мг/мл физиологического раствора в течение 3 часов выявлялись красителями азуром II и галлоцианином с хромовыми квасцами [2]. Для определения достоверности фотометрических данных проверялась выполнимость законов Ламберта—Бера.

Измерения проводились на МУФ-5 при увеличении  $\times 500$  методом двухволновой фотометрии. Фотометрировалась по 100 ядер, ядрышек участков цитоплазмы в контрольных и обработанных нуклеазами препаратах в волне максимального (6170 Å для комплекса РНК—АИ; 6280 Å для комплекса РНК—ГХК) и половинного поглощения света (5300 Å для комплексов РНК—АИ и РНК—ГХК в цитоплазме и 5070 Å для комплекса РНК—ГХК в ядрах).

Результирующие средние величины относительного содержания РНК определялись по формуле Шерудило [3, 4]:  $m = S \left( 2D_1 - \frac{D_2}{2} \right)$ , где  $m$ —количество вещества;  $S$ —площадь зонда, равная 12,56  $\mu^2$  при измерении ядер и цитоплазмы и 3,14  $\mu^2$  при измерении ядрышек;  $D_1$ —оптическая плотность в полосе максимального поглощения;  $D_2 = \frac{1}{2} D_1$ —оптическая плотность в полосе половинного поглощения. Для определения доли РНК в неэкстрагируемом рибонуклеазой количестве ядерных НК предварительно вычислялось содержание ДНК в этих ядрах. Данные фотометрии представлены в таблице.

Вид клеток:		Мышечные клетки сердца		Мышечные клетки миокарда мышцы		Печеночные клетки		Эпителиальные клетки капсул почек		Лимфатические клетки малышиных телц селезенки		Зонтические клетки легочных альвеол ЦАРИССКОЙ ЗАЩИПЫЮ		
Вид субклеточного объекта		Цито-плазма	Ядро	Цито-плазма	Ядро	Цито-плазма	Ядро	Цито-плазма	Ядро	Цито-плазма	Ядро	Цито-плазма	Ядро	
Выявление Азуром II														
Общее количество РНК в усл. ед. и %	I	3,32	8,22	4,00	7,4	11,1	13,8	5,5	9,9	8,2	13,1	2,4	5,7	
	II	13,8	16,0	13,5	15,8	11,7	17,1	10,9	12,1	7,0	12,5	6,9	10,8	
	III	13,7	15,7	10,8	12,2	14,3	17,8	7,7	12,6	7,2	11,5	2,4	9,5	
Некстрагирующее количество	I	1,5—45%	1,8—21%	2,0—50%	1,1—17%	1,9—41%	1,6—12%	1,4—25%	1,8—19%	3,8—40%	1,3—12%	0,9—40%	1,0—18%	
	II	4,5—33%	2,3—10%	4,0—30%	2,3—14%	4,6—40%	2,9—17%	2,5—23%	3,6—30%	2,7—37%	2,8—22%	1,6—23%	1,3—15%	
	III	5,0—43%	5,2—30%	5,4—50%	3,1—25%	5,7—47%	3,6—22%	1,7—22%	2,4—20%	2,0—36%	1,5—13%	1,0—42%	1,2—13%	
Выявление галлоцианином с хромовыми красителями														
Общее количество	IV	1,07	4,39	0,96	2,45	1,63	0,28	2,0	4,82	3,39	6,5	1,3	4,0	
	V	2,15	4,91	2,6	3,13	2,81	7,10	2,4	5,16	3,10	7,0	2,0	4,7	
Некстрагирующее количество	IV	0,3—30%	0,5—12%	0,5—55%	0,5—20%	0,9—54%	1,1—19%	0,8—40%	1,1—23%	1,3—36%	1,4—21%	0,5—36%	1,2—28%	
	V	0,8—10%	0,9—18%	1,0—48%	0,7—21%	1,4—50%	1,4—20%	0,8—37%	1,0—20%	1,2—40%	1,2—16%	0,7—37%	0,9—21%	
Содержание РНК в ядрахах в контроле и после экстракции рибонукlease в усл. ед. и %														
Метод окрашивания	общее		некстрагируемое		общее		некстрагируемое		общее		некстрагируемое		общее	
	некстрагируемое		некстрагируемое		некстрагируемое		некстрагируемое		некстрагируемое		некстрагируемое		некстрагируемое	
Л-II	I	2,35	1,9—87%	2,3	2,0—90%	4,0	2,6—70%	2,1	2,2—91%	3,4	2,6—77%	3,2	1,7—53%	
	II	4,20	3,1—72%	4,0	3,2—80%	4,5	3,4—77%	3,27	2,7—83%	3,2	2,2—62%	3,0	2,1—60%	
	III	4,22	2,9—69%	3,35	2,5—74%	4,95	3,4—69%	3,22	2,4—73%	3,25	1,9—69%	3,62	1,4—50%	
ГЖК	IV	1,77	1,1—60%	1,6	1,1—60%	1,88	1,5—62%	1,62	0,9—57%	1,62	1,3—76%	1,57	1,1—71%	
	V	1,55	0,9—59%	1,3	0,8—61%	2,1	1,2—60%	2,8	1,8—67%	1,7	1,2—69%	1,4	0,9—66%	

Белоксинтезирующая активность РНК, определяемая по уровню нейкстрагируемых рибонуклеазой РНК, соотнесенному с контролльным уровнем РНК, и выраженная в процентах от него в среднем составляет в цитоплазме мышечных клеток сердца от 30 до 45%, в ядрах — от 12 до 30%; в цитоплазме мышечных клеток икроножной мышцы — от 29 до 50%; в ядрах — от 14 до 25%; в цитоплазме печеночных клеток — от 40 до 54%, в ядрах — от 12 до 20%; в цитоплазме почечных клеток от 22 до 40%, в ядрах — от 19 до 30%; в цитоплазме клеток селезенки — от 36 до 46%, в ядрах — от 12 до 22%; в цитоплазме клеток легочных альвеол — от 23 до 42%, в ядрах — от 13 до 28%. Можно заключить, что белоксинтезирующая активность ядерных РНК всегда меньше цитоплазматических. Цитоплазма печеночных клеток характеризуется постоянно интенсивным белковым синтезом при относительно заниженной интенсивности ядерного синтеза. Вариабильна, но высока активность белкового синтеза в цитоплазме и ядрах мышечных клеток, вариабильна и относительно низка активность белкового синтеза в цитоплазме почек и легких при сравнительно повышенной активности ядерного синтеза. Ядрышки обладают самой высокой белоксинтезирующей активностью своих РНК, которая в ядрышках цитологически разнотипных ядер варьирует от 57 до 90% и при этом всегда превосходит белоксинтезирующую активность РНК цитоплазмы и ядер тех же клеток, не коррелирует с ней и с общим количеством РНК в этих клетках. Определяемые величины являются самостоятельными переменными, требующими независимого определения. Отклонения от установленных и обычных для условий физиологической нормы показателей содержания РНК, осуществляющих синтез, могут считаться цитохимическим признаком патологии в цитодиагностике.

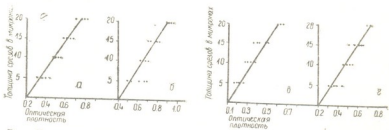


Рис. Проверка выполнимости закона ЛамBERTA: а, б—фотометрия участков цитоплазмы и ядер изучаемых объектов в срезах разной толщины (окраска красителем А II); в, г—то же (окраска ГХК)

Закономерности количественных соотношений, полученные при фотометрии выявленных разными методами РНК субклеточных образований, идентичны. Комплекс РНК—АII характеризуется более интенсивными базофилией и фотоадсорбией, чем комплекс РНК—ГХК. Цитохимическая ценность красителей равная. При обоих методах выявления РНК обнаружена линейная зависимость оптических плотностей от толщины слоя и концентрации вещества. Спектральные записи объектов с разной оптической плотностью совместились в полосе специфического поглощения, что указывает на постоянство характера химического взаимодействия молекул РНК и красителей, на стехиометричность связывания и на количественность реакции.

В доступной литературе определений белоксинтезирующей активности РНК не обнаружено. Процент резистентных к действию рибонуклеаз РНК в цитоплазме разнотипных клеток простейших, определенный В. Я. Бродским — в среднем порядке 25% — расценивается им как недо-

статок экстрагирующей способности фермента [5]. Вскрытие новых стороны взаимоотношений рибонуклеаз (обычно реагентов при структурных изучениях РНК или гистохимических индикаторов этих веществ) и РНК дают возможность определения также уровня этих кислот, занятых сборкой белковых молекул, что позволяет ввести понятия новых цитохимических параметров белкосинтезирующей активности РНК.

Институт экспериментальной и  
клинической хирургии  
МЗ СССР

(Поступило 12.10.1972)

### ОБОЗРЕВАНИЕ

С. ЧАДДЕЛО

Научно-исследовательский институт хирургии и гигиены им. Н. А. Семашко  
Советской Академии Наук СССР  
Министерства здравоохранения СССР

### Резюме

Формы промежуточного генома в ядре, цитоплазме и ядре нуклеола у крыс в норме и при различных состояниях определяются в количественном отношении к общему геному. Для определения количества РНК, неизвлекаемой рибонуклеазой, применяется метод дубль-волны спектрофотометрии. Показано, что в ядре и цитоплазме содержание РНК, неизвлекаемой рибонуклеазой, в норме и при различных состояниях определяется в количественном отношении к общему геному в одинаковых пропорциях. В то же время в ядре нуклеола в норме и при различных состояниях определяется в количественном отношении к общему геному в одинаковых пропорциях, но в отличие от ядра и цитоплазмы, в которых это соотношение определяется в количественном отношении к общему геному в одинаковых пропорциях, но в отличие от ядра и цитоплазмы, в которых это соотношение определяется в количественном отношении к общему геному в одинаковых пропорциях.

### CYTOTOLOGY

Ts. Ya. ZHGETNI

## THE PROTEIN-SYNTHESIZING ACTIVITY OF RNA OF SUBCELLULAR FORMATIONS OF VARIOUS ORGANS OF RATS

### Summary

Ratios between general relative amounts of RNA contained in subcellular formations (cytoplasm, nucleus and nucleolus) of various organs of rats under conditions of physiological norm and the shares of RNA performing their protein synthesis, the latter being related to the amount of RNA non-extracted by ribonuclease, have been determined by the method of double-wave cytospectrophotometry. The concepts of new cytochemical parameters of protein-synthesizing activity of RNA which may serve for diagnostic purposes are introduced.

### ЛITERATURA — REFERENCES

1. А. С. Спирин, Л. П. Гаврилова. Рибосома. М., 1971, 160.
2. Сб. «Введение в количественную цитохимию». М., 1969, 260, 279.
3. Л. Н. Либерман. Цитология, 11, 2, 1969, 260—263.
4. А. И. Шерудило. Биофизика, 13, 4, 1968, 741—744.
5. В. Я. Бродский. ДАН СССР, 123, 3, 1958, 546—549.



ГИСТОЛОГИЯ

М. А. БРЕГАДЗЕ, Т. П. ЛАГИДЗЕ

МОРФОЛОГИЧЕСКИЕ ИЗМЕНЕНИЯ СЕМЕНИКОВ МОРСКИХ СВИНОК ПРИ ТОТАЛЬНОМ И ЛОКАЛЬНОМ ОБЛУЧЕНИЯХ

(Представлено членом-корреспондентом Академии С. П. Нарикашвили 1.6.1972)

Многочисленными исследованиями установлены высокая чувствительность семеников к действию ионизирующей радиации [1—4] и последовательность развития структурно-функциональных нарушений в них [5—10]. Все исследования проводились в основном на различных животных при их тотальном и фракционированном облучениях, а также при локальном облучении гонад. Мы же исследовали морфологические изменения, происходящие в семениках морских свинок под действием ионизирующей радиации при их однократном тотальном и локальном (головы с защитой всего тела и всего тела с защитой головы) облучениях.

Облучение половозрелых морских свинок (весом 600—650 г) производили рентгеновскими лучами при напряжении 200 кв, силе тока 15 мА, фильтре 0,5 мм Си, расстоянии 10 и 20 см, дозе 728 и 1050 р. Через 1 и 24 часа, а также через 3, 5, 7, 9, 10, 15 суток после облучения извлекали семеники, фиксировали в жидкости Карнуга и заливали парафином. Срезы окрашивали гематоксилином и эозином. Состояние семеников оценивали по общей гистологической структуре. Степень нарушения сперматогенеза измеряли числом опустошенных канальцев и количеством нормальных и дегенерирующих клеток в функционирующих канальцах.

Полученные нами данные свидетельствуют о том, что половые железы претерпевают изменения как при тотальном, так и при локальном (отдельно головы и отдельно тела) облучениях. Степень нарушения сперматогенеза находится в прямой зависимости от дозы радиации: число опустошенных канальцев и снижение количества клеток в канальцах, вплоть до полного отсутствия сперматогенеза во всей массе семенных канальцев, увеличивается с увеличением дозы радиации. Но при тотальном облучении изменения в семениках выявляются гораздо раньше, чем при локальном.

Гистологический анализ семеников морских свинок показал, что при тотальном облучении (728 р) морфологические изменения клеток (сперматогонии) замечаются через 24 часа после облучения, а поражение клеток (сперматогонии и сперматоцитов) — на 5-й день: часть семенных канальцев резко сужена и в них, наряду с нормальными клетками, встречается большое количество сильно пораженных клеток сперматогонии и сперматоцитов с вакуолями и некротическими, пикнотизирующими ядрами. На 7-й день большинство клеток сперматогонии погибает, а число сперматоцитов с вакуолями увеличивается (рис. 1, б). На 10-й день изменения замечаются даже в сперматидах. На 15-й день животные погибают.

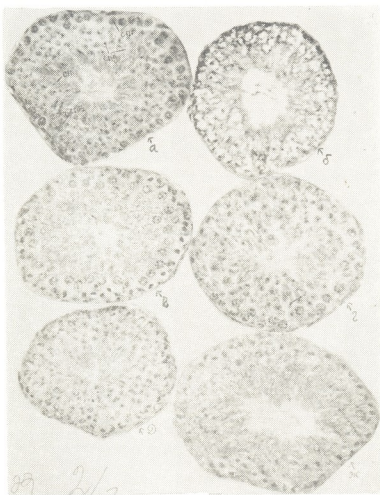


Рис. 1. Семениники морских звезд: необлученных (а) (Сп—зрелые спермии; Спд—сперматиды; Спц—сперматоциты; Спг—сперматогонии) и облученных (лозой 728 р) на 7-й день после тотального облучения (с), локального облучения головы (в), локального облучения тела (г); на 10-й день после локального облучения головы (д) и локального облучения тела (ж). Об. 40, Ок. 10

При локальном облучении, т. е. при облучении отдельно головы с защитой всего тела и отдельно всего тела с защитой головы, морфологические изменения замечаются лишь на 3-й день, а максимальное поражение клеток — на 10-й день.

Изучение препаратов показало, что при локальном облучении головы животного морфологические изменения в семенных канальцах обнаруживаются раньше, чем при локальном облучении всего тела (с защитой головы). Например, на 7-й день после локального облучения головы диаметр семенных канальцев уменьшен; во всех канальцах семениников отсутствуют делящиеся сперматогонии; уменьшено число нормальных клеток и встречаются сперматогонии и сперматоциты с вакуолями, пикнотическими и дегенерирующими ядрами (рис. 1, в). После же локального

облучения всего тела наблюдается внешне нормальный сперматогенез с менее измененными клетками. Лишь в некоторых канальцах число клеток сперматогонии уменьшается и отмечается пикноз и разрушение ядра (рис. I, г). Таким образом, на 7-й день при облучении головы (с защитой тела) получалось более отчетливое повреждение в семенниках животных, чем при облучении всего тела (без головы). Но на 10-й день при облучении тела (с защитой головы) морфологические изменения семенников (опустошение канальцев, вакуолизация, пикноз и деформирование как клеток, так и их ядер) были более глубокими, чем при локальном облучении головы животного (рис. I, д и I, ж).

Исходя из результатов наших экспериментов и литературных данных [11—13] можно предположить, что более ранние морфологические изменения семенников при локальном облучении головы происходят вследствие изменений в головном мозгу, влекущих за собой нарушения функции гипофиза. Более поздние, но глубокие изменения в семенниках при облучении всего тела (с защитой головы), видимо, обусловливаются прежде всего прямым действием облучения на гонады; к этому, вероятно, добавляется вторичное действие на них, исходящее из головного мозга, который, получая от различных органов патологические импульсы, возникающие при облучении тела, в свою очередь, усугубляет прямое действие облучения.

Академия наук Грузинской ССР  
 Институт физиологии

(Поступило 1.6.1972)

ЭПІСТМОЛІОГІЯ

В. БРЕГАДЗЕ, Т. ЛАГІДЗЕ

Член-корреспондент СОТЮМЕАН Грузинской Академии наук  
 Ордена Трудового Красного Знамени Т. П. Лагидзе

### Ключевые слова

Член-корреспондент Грузинской Академии наук В. Брегадзе, член-корреспондент Грузинской Академии наук Т. П. Лагидзе. Радиационные повреждения семенников морских свинок, облучение головы, облучение тела.

HISTOLOGY

M. A. BREGADZE, T. P. LAGIDZE

## MORPHOLOGICAL ALTERATIONS IN THE TESTICLES OF GUINEA PIGS DURING TOTAL LOCAL X-RADIATION

### Summary

Total as well as local (head and body separately) exposure of the animals to X-radiation results in morphological alterations in the testicles. Damage of the testicles manifests itself earlier during total rather than local exposure. The alterations are, however, evidenced earlier during local exposure of the head than that of the body.

## ლიტერატურა — REFERENCES

1. L. C. Fogg, R. F. Cowing. Exper. Cell. Res., 3, 1, 1952, 19.
2. S. L. Shaver. Am. J. Physiol., 92, 3, 1953, 439.
3. T. C. Carter, M. T. Lyon, J. S. Phillips. Brit. J. Radiol., 27, 1954.
4. R. L. Lowson. Radiation Res., 31, 1967, 273.
5. E. F. Oakberg. Radiation Res., 2, 1955, 369.
6. Wang and Wu. Science Res., 4, 1, 1960.
7. E. F. Oakberg, R. L. Di Minno. Intern. J. Radiat. Biology, 2, 2, 1960, 195.
8. Раф Робертс. Сб. «Механизмы радиобиологического эффекта», М., 1962.
9. Э. Д. Бакулина, Н. О. Орлова. Радиобиология, 3, 4, 1963, 570.
10. Б. А. Федоров, Э. К. Джикидзе. Радиобиология, 11, 4, 1971.
11. H. Wichmann, R. Ludwig. Strahlentherapie, 82, 2, 1952, 243.
12. К. В. Смирнов, В. В. Шихадыров. Сб. «Основы радиационной биологии», М., 1964.
13. А. Г. Свердлов. Опосредованное действие ионизирующего излучения. М., 1968.



## ГИСТОЛОГИЯ

А. Д. СИМОНИДЗЕ

### ГИСТОХИМИЧЕСКОЕ ИССЛЕДОВАНИЕ ПЛАЦЕНТЫ ПРИ НОРМАЛЬНОЙ БЕРЕМЕННОСТИ И НЕФРОПАТИИ БЕРЕМЕННЫХ

(Представлено членом-корреспондентом Академии В. М. Окуджава 29.6.1972)

Гистохимическое исследование плаценты при нефропатии беременных имеет важное значение для понимания сущности обменных и транспортных процессов между организмом матери и плода. Подобные исследования проводились рядом авторов. Однако в полной мере этот вопрос нельзя считать решенным.

Целью настоящей работы явилось изучение содержания и распределения нуклеиновых кислот, гликогена и мукополисахаридов в плаценте женщин с поздним токсикозом в сопоставлении с содержанием и распределением указанных биохимических компонентов в плаценте женщин, у которых беременность и роды протекали нормально.

В наших исследованиях были применены следующие методы: а) для определения гликогена и мукополисахаридов — Шик-реакция и окраска альциановым синим с предварительной обработкой части контрольных срезов амилазой и тестикулярной гиалуронидазой; б) для определения нуклеиновых кислот — окраска метиленовым зеленым — пиронином с контрольной обработкой части срезов рибонуклеазой по Браше, а для определения кислых мукополисахаридов (КМС) — способ Хейла.

В результате проведенных гистохимических исследований был установлен ряд особенностей в содержании и распределении гликогена, мукополисахаридов и нуклеиновых кислот в плаценте женщин, страдавших поздними токсикозами.

У большей части беременных, страдавших нефропатией, выявилось повышенное содержание в плаценте КМС (окраска по способу Хейла). КМС обнаруживались в стенке крупных сосудов, базальной мемbrane, строме различных стволовых ворсин, а также во многих концевых ворсинах, в отличие от плаценты при нормальном течении беременности (рис. 1).

Наш материал подтвердил наблюдения Л. Г. Вишневской и И. П. Иванова [1, 2] о диффузном распределении КМС в строме, коллагенизированных ворсинах и скоплении их под синцитием и вокруг сосудов.

При особо тяжелом позднем токсикозе беременных происходило избирательное накопление КМС в деструктивно измененных стенках сосудов, что наблюдали и другие авторы [3].

А. М. Дудина [4] при позднем токсикозе беременных обнаружила не увеличение, а, наоборот, уменьшение содержания КМС, а при окраске альциановым синим менее интенсивное окрашивание срезов, по сравнению с нормой.

Увеличение содержания КМС из-за их большой вязкости ведет к понижению проницаемости стенок капилляров и ухудшает условия обмена между кровью и тканью, в данном случае между матерью и плодом.

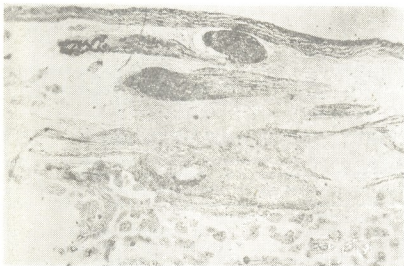


Рис. 1

При неосложненной беременности в плаценте количество КМС к концу беременности обычно снижалось. КМС выявлялись в стенах крупных сосудов и строме стволовых ворсин. Подобные факты констатированы и другими авторами [5].

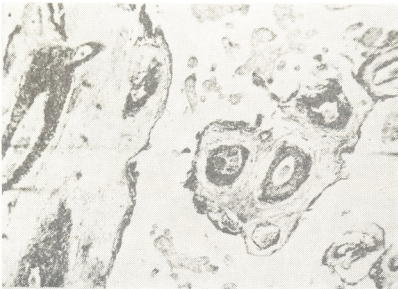


Рис. 2

При позднем токсикозе беременных в плаценте отмечалось увеличение количества ШИК-положительных веществ, устойчивых к воздействию амилазы и не окрашивавшихся альциановым синим. Эти веще-

ства обычно выявлялись в фибринолиде, в слое Нитабух, на периферии перегородок, у хориальной пластинки и вокруг ворсин, окруженных фибрином, что указывает на снижение функциональной активности перечисленных структур.

В зрелой плаценте РНК, участвующая в синтезе белка и делении клеток, содержится в небольшом количестве в протоплазме синцития, клетках перегородок и базальной мемbrane. При позднем токсикозе беременных количество РНК значительно снижается (рис. 2, 3). Это явление было установлено наблюдениями Л. И. Чернышевой [6]. В особенно малом количестве РНК содержалась в ворсинках с истощенным синцитием и синцитиальными узелках, что указывает на снижение функциональной активности синцития и стромы, особенно в концевых ворсинах, с хорошо сохранившимся синцитием и синцитиальными «почеками», а также клетках базальной мембраны и перегородок.

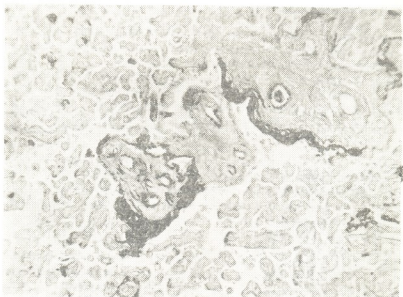


Рис. 3

Таким образом, гистохимическими исследованиями обнаружен ряд особенностей в содержании мукополисахаридов и нуклеиновых кислот в плаценте беременных женщин с нефропатией. Эти особенности обуславливают, в свою очередь, многообразие повреждающих внутриутробных влияний на плод, его развитие, рождение и постнатальное развитие.

Тбилисский государственный институт  
 усовершенствования врачей  
 МЗ СССР

(Поступило 30.6.1972)

## A. Симонидзе

პლაცენტის ჰისტოქიმიური გაცვლივა ნორმალური ორგანიზმისა  
და ორგანიზმის გაცვლივა

## რეზიუმე

პლაცენტის ჰისტოქიმიურმა გამოცვლევამ გვიჩვენა, რომ ორგანიზმის ნეფროპათიის დროს პლაცენტის მსხვილ სისხლძარღვთა კედლებზე, ბაზალურ მებბრანასა და სტრომაში არსებული ქორიონის ბესუსებში აღინიშნება რიბონუკლეინის მცავის ზემცირება. პლაცენტის ქორიონისა და სინტიციალურ კვანძებში ვლინდება მცავი მუკოპოლისაქარიდების დიდი რაოდენობა.

პლაცენტის ქსოვილებში განვითარებული ასეთი პათოლოგიური ცელიულებები იწვევებ დედასა და ნაყოფს შორის გაცვლითი და სატრანსპორტო პროცესების დარღვევას, რაც მოქმედებს ნაყოფის ზრდა-განვითარებაზე და ახალშობილი იძალება ჰიპერტროფიულ მდგომარეობაში.

## HISTOLOGY

A. D. SIMONIDZE

## A HISTOCHEMICAL STUDY OF THE PLACENTA DURING NORMAL PREGNANCY AND NEPHROPATHY OF PREGNANT WOMEN

## Summary

A histochemical study of the placenta has shown that during nephropathy an increase of nucleic acid is observable on the large vessel walls of the placenta, basal membrane and chorionic villi of the stroma. Acid mucopolysaccharides in quantity are observable in the chorion placenta and syncytial nodules. Such pathological state in the tissues of placenta causes a disturbance of metabolic and transport processes both in the woman's organism and in the foetus, this affecting the development of the foetus so that the neonate is born in hypotrophic state.

## ლიტერატურა — REFERENCES

1. Л. Г. Вишневская. Акушерство и гинекология, 8, 1966, 30—35.
2. И. П. Иванов. Вопросы патогенеза терапии и антепатальной охраны плода. Автореферат, М., 1969.
3. К. С. Бульбаков, Л. А. Барков. Тезисы докладов Межресп. конгресса патол. анат. по перинатал. патол. и тер. Минск, 1968, 112—114.
4. А. М. Дудина. Акушерство и гинекология, 8, 1967, 36—38.
5. С. С. Карабаян, О. М. Смирнова. Акушерство и гинекология, 3, 1967, 43—45.
6. Л. И. Чернышева. Сб. «Охрана материнства и плода». Чита, 1960, 80—81.



## ЭКСПЕРИМЕНТАЛЬНАЯ МОРФОЛОГИЯ

М. В. МШВИДОВАДЗЕ

### О ФУНКЦИОНАЛЬНОЙ МОРФОЛОГИИ МИТОХОНДРИИ КЛЕТОК РЕГЕНЕРИРУЮЩЕГО СУХОЖИЛИЯ ПРИ ТЕНДОПЛАСТИКЕ

(Представлено академиком И. К. Пиния 30.6.1972)

В настоящее время не вызывает сомнения то, что митохондрии активно участвуют во всех жизненных процессах, происходящих в живой клетке. Мы попытались выяснить функциональную морфологию митохондрий клеток регенерата при пластическом замещении дефектов сухожилий.

Эксперименты были поставлены на ахилловых сухожилиях 80 кроликов в четырех сериях: 40 экспериментов — ауто-, 60 — гомо-, 30 — гетеро- и 50 — аллопластика капроном. Животных забивали в различные сроки после операции (от 3 дней до 14 месяцев). Иссекали ахиллово сухожилие целиком. Для электронномикроскопических исследований маленькие кусочки материала фиксировали по Милонигу 2% раствором  $O_3O_4$  и после обезвоживания в спиртах заключали в аракалит. Ультратонкие срезы контрастировали ацетатом свинца и просматривали в электронном микроскопе УЭМБ-100 Б при ускоряющем напряжении 80—100 кв. Иммуноморфологически специфические белки выявляли методом флюоресцирующих антител. Люминесцентно-микроскопически изучали ДНК, РНК, КМПС и коллаген. Анализ мукополисахаридов осуществляли по схеме В. В. Виноградова и Б. Б. Фукса с учетом рекомендации Спицера. Применили и гистологические методы окраски.

В первые дни после пластики в клеточном пролиферате в концах перерезанного сухожилия преобладают клетки, находящиеся на различных фазах митотического деления. Эндоплазматическая сеть их развита слабо. Митохондрии единичные, округлой или овальной формы, малых размеров, с плотно упакованными и более или менее правильно расположенным кристами, что придает им электронноплотный вид. Эти структурные особенности митохондрий свидетельствуют о пониженной реактивности их в процессе митотического деления клеток.

В пятидневной регенерационной бластеме образовавшиеся в концах сухожилия и вокруг трансплантата тенобласти характеризуются высокоорганизованной цитоплазмой. Резко увеличиваются число и размеры митохондрий. Они отличаются полиморфностью. Некоторые из них имеют причудливую форму, и создается впечатление, будто они образовались слиянием нескольких митохондрий. Некоторые митохондрии сильно растянуты и достигают больших величин. Интерьер их представлен короткими кристами и гомогенной субстанцией средней электронной плотности.

Ультраструктура тенобластов говорит о напряженной синтетической деятельности цитоплазматических органелл, в том числе митохондрий. Это подтверждается усилением люминесцентно-цито- и цитохимических реакций на ДНК, РНК, гликогена, кислые и нейтральные мукополисахариды.

Тенобласти 6—8-дневной регенерационной бластемы отличаются хорошо развитой эндоплазматической сетью. Резко увеличивается количество ДНК, ядерной и рибосомальной РНК. Это значит, что тенобласти переключаются на интенсивный синтез специфических белков. В действительности в этот период в цистернах эргастоплазмы появляется мелкофибрillлярный или хлопьевидный коллаген. Вследствие склеивания последних полисахаридами формируются субфибрillы. На данном этапе развития регенерационной бластемы, в разгаре синтетической деятельности тенобластов митохондрий, как и остальные цитоплазматические органеллы, включаются в процесс биосинтеза коллагена. Судить об этом позволяют ультраструктурные особенности митохондрий. Последние развиваются прогрессивно, достигая гигантских величин. Кристы претерпевают дискомплексацию и разрушение, образуя свободные полости, заполненные электроннооптически более или менее светлой субстанцией, подобной белкам, синтезируемым в эргастоплазме. Образование коллагена в митохондриях, как и в цитоплазме, по всей вероятности, происходит с участием рибосом, содержащих РНК. Косвенным подтверждением этого можно считать обнаружение РНК в митохондриях в реакции с метиленовым синим при pH 3,8, утрачиваемой при воздействии рибонуклеазой. Коллагеновые массы и субфибрillы через разрывы наружной митохондриальной мембранны сливаются с аналогичной субстанцией в обширных цистернах эргастоплазмы, откуда субфибрillы выводятся в межклеточное пространство путем частичных разрывов цитомембранны. В неклеточной среде путем объединения и склеивания субфибрilla кислыми и нейтральными мукополисахаридами формируются коллагеновые фибрillы с поперечной исчерченностью. Об участии мукополисахаридов в этом процессе свидетельствует выявление в новообразованных фибрillах химических групп кислых и нейтральных мукополисахаридов. Коллагеновая природа этих фибрill подтверждается их специфическим свечением при инкубации с меченными антителами против коллагена и отсутствием свечения при обработке срезов с антимиозиновой и неиммунной сыворотками.

В сроки 20—30 дней после пластики фибрillогенез в регенерате достигает максимальной интенсивности. В большинстве тенобластов продолжается интенсивный биосинтез коллагена. Следовательно, в этих клетках митохондрий многочисленны, различной формы и величины. В более зрелых тенобластах митохондрии имеют округлую форму, с контрастной наружной мембрани и разрушенными внутренними перегородками. Просветленный матрикс митохондрий заполнен субстанцией, аналогичной с цитоплазматическими субфибрillами (рис. 1). После полного разрыва цитомембранны зрелого тенобlasta митохондрии вместе со своим содержимым выходят в межклеточное пространство.

Через 3—4 месяца после тенодепластики концы перерезанного сухожилия и трансплантаты замещаются сухожильным регенератором. После восстановления дефекта сухожилия, когда отпадает необходимость в ускоренном биосинтезе специфических белков, устанавливается равновесие между ядерной и цитоплазматической активностью и ультраструктура цитоплазматических органелл постепенно нормализуется. Значительно уменьшается продукция ДНК, РНК, гликогена и кислых мукополисахаридов. Все это указывает на затухание синтетических процессов в клетке. В соответствии с этим резко уменьшаются число и размеры митохондрий. Они приобретают в основном овальную или сферическую форму, окружены осмиофильными мембранами. Кристы ориентированы

в поперечном направлении, матрикс средней или высокой электронной плотности. Эти ультраструктурные особенности митохондрий отражают их пониженную функциональную активность.



Рис. 1. Часть эндоплазматической сети тенобласта в 30-дневном регенерате после гомониастики: М—митохондрии; Эр—эндоплазматический ретикулум; Рн—рибосомы (электронограмма, ув. 4.000.).

Изучение на серийных электронных микрографах изменений митохондрий тенобластов регенерирующего сухожилия от зачатия регенерационной бластемы вплоть до ее дифференциации показала, что в процессе reparативной регенерации сухожильной ткани ультраструктура митохондрий в тенобластах регенерата претерпевают сложную трансформацию, что является эквивалентом различной функциональной активности митохондрий. Ультраструктурные и цитохимические особенности митохондрий тенобластов регенерирующего сухожилия указывают на возможность биосинтеза коллагена и образование коллагеновых субфибрилл в митохондриях с участием рибосом, содержащих РНК. Митохондрии не только синтезируют, но и транспортируют коллагеновые субфибриллы в межклеточное пространство.

Сложные морфофункциональные перестройки митохондрий тенобластов в процессе reparативной регенерации сухожилий ткани позволяют говорить о мультипотентности и мультифункциональности этих важных органелл клетки.

Тбилисский институт  
травматологии и ортопедии

(Поступило 30.6.1972)

## 8. მუზეუმის

ტენდონალასტიკის დროს მორაგინი მყიდვის უჯრადების მიზომონ-  
 დრიპის ფუნქციონალური მორფოლოგიის შესახებ

## რეზიუმე

ელექტრონული მიკროსკოპის, იმუნომორფოლოგიის, ლუმინესცენტუ-  
 ლოფებით შესწავლილი მყიდვის აუტო-, ჰომო-, ჰეტერო- და ალალასტრიკის  
 როოს რეგენერატის უჯრედების მიზოქონდრიათა ფუნქციონალური მორფო-  
 ლოგია. დადგენილია, რომ მორეგენირე მყიდვის ტენიბლასტებში მიზოქონდ-  
 რიების ულტრასტრუქტურა რთულ ტრანსფორმაციას განიცდის. ჩაც მათი  
 ფუნქციონალური მდგრადრეობის ექვივალენტურია. ნაჩვენებია, რომ ინტენ-  
 სიური ფიბრილოვენების პროცესში კოლაგენისა და კოლაგენური სუბფიბ-  
 რილების ბიოსინთეზი არა მარტო უჯრედის ერგასტოპლაზმაში ხორციელდე-  
 ბა, არამედ მიზოქონდრიებშიც. უკანასკნელებში უჯრედთაშორისო სივრცეში  
 კოლაგენური სუბფიბრილების ტრანსპორტირებაშიც მონაწილეობენ. მყიდვის  
 რეპარაციული რეგენერაციის პროცესში მიზოქონდრიების რთული მორფო-  
 ფუნქციონალური გარდამნები უფლებას გვაძლევს ვილაპარაკო უჯრედის  
 აძ უძიშველოვანების ორგაზელების მულტიპონტობის და მულტიფუნ-

## EXPERIMENTAL MORPHOLOGY

M. V. MSHVIDOBADZE

ON THE FUNCTIONAL MORPHOLOGY OF THE  
 MITOCHONDRIA OF REGENERATING TENDON CELLS  
 DURING TENDOPLASTY

## Summary

The functional morphology of the mitochondria regenerate cells from the beginning of blastema regeneration to its differentiation during auto-, homo-, hetero- and alloplasty of the tendon has been studied by the methods of electron microscopy, immunomorphology, luminescent-cyto- and luminescent-histochemistry, and cyto- and histochemistry. The ultrastructure of mitochondria in the tenoblasts of a regenerating tendon has been found to undergo transformations that are equivalent to their functional state. During intensive fibrillogenesis in a regenerating tendon biosynthesis of collagen and collagenous subfibrils has been shown to occur both in tenoblast ergastoplasm and in mitochondria. The latter also take part in the transformation of collagenous subfibrils into the intracellular space. Complex morphofunctional alterations of tenoblast mitochondria during a reparative regeneration of tendon tissue allow to speak of the multipotency and multifunctionality of these important cell organelles.



## ЭКСПЕРИМЕНТАЛЬНАЯ МОРФОЛОГИЯ

З. В. ГВАХАРИЯ, Э. Ш. СУЛАДЗЕ

### ИЗУЧЕНИЕ ВЛИЯНИЯ ШИРОКОПОЛОСНОГО ШУМА НА УЛИТКУ МОРСКОЙ СВИНКИ

(Представлено членом-корреспондентом Академии И. А. Джавахишвили 25.6.1972)

Исследование плоскостных препаратов улитки позволяет выявлять общие закономерности повреждения рецепторных клеток при шумовой травме и других воздействиях на орган слуха [1]. Нами было изучено влияние широкополосного шума частотой 250—5000 гц, интенсивностью 137 дб. Частотная характеристика шума была почти прямолинейной

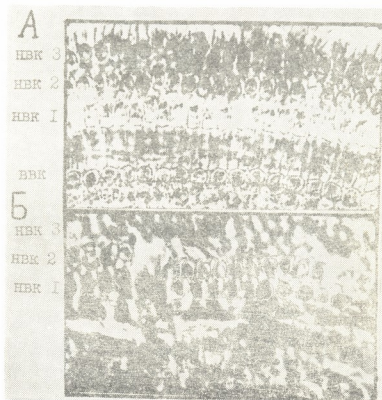


Рис. 1. Микрофотограмма кортиева органа морской свинки А—препарат нормального кортиева органа—НВК (I, 2, 3) и ВВК; Б—повреждение, вызванное шумовой травмой

( $\pm 3$  дб) в диапазоне 500—2000 гц. Опыты проводились на морских свинках весом 250—300 г. Животные подвергались воздействию шума в течение 2 часов и забивались через 4 дня. Морфологические препараты



гото~~вались~~<sup>вались</sup> по методике Энгштрема [2] и исследовались под~~лабораторий~~<sup>лабораторий</sup> контрастным микроскопом.

Микрофотограмма на рис. 1,А демонстрирует расположение наружных и внутренних волосковых клеток (НВК, ВВК) у животного, не подвергавшегося воздействию шума. Видны три ряда НВК и один ряд ВВК, структурное расположение которых нигде не нарушено. На рис. 1,Б демонстрируется эффект шумовой травмы — исчезновение клеток в третьем ряду, на расстоянии 18 мм от основания улитки, на уровне четвертого завитка.

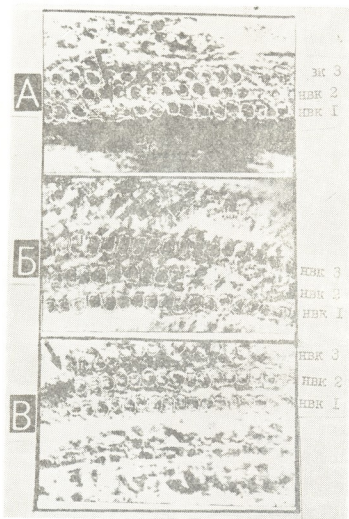


Рис. 2. Плоскостной препарат кортиева органа морской свинки на уровне второго завитка, на расстоянии 10 мм от основания: А—выпадение отдельных волосковых клеток во втором и третьем ряду, участок тотального повреждения; Б—тот же участок, выделенный у другой морской свинки, выпадение волосковых клеток только во втором ряду; В—выпадение нижнего ряда НВК

На рис. 2 приводятся микрофотограммы второго завитка улитки (10 мм от основания). На рис. 2, А повреждены только клетки первого ряда НВК, на рис. 2, Б повреждения локализованы во втором ряду, а на рис. 2, В одновременно повреждены клетки и в других рядах.

На кохлеограмму наносилось схематическое изображение повреждения НВК и ВВК всех четырех завитков, а затем при исследовании соответствующих препаратов зачеркиваются поврежденные клетки, чем и создается наглядная картина повреждения всего кортиева органа. Подобная методика регистрации результатов исследований удобна для анализа и статистической обработки полученных данных.

Исследование острой звуковой травмы, вызванной синусоидальными (тональными) звуковыми колебаниями большой интенсивности показало, что соответственно частоте тона возникает повреждение рецепторных клеток кортиева органа в определенных участках улитки. В частности, при частоте тона 2000 Гц повреждение локализуется в первом завитке, на расстоянии 11 мм от основания [3].

Сравнение этих данных с результатами наших исследований показывает, что широкополосный шум вызывает в четвертом завитке улитки точно такие же изменения (рис. 1), как и тон частотой 500 Гц [3]. Следует отметить, что при частоте тона 500 Гц Бигли наблюдал избирательное повреждение первого ряда НВК в четвертом завитке [4]. Таким образом, наши данные в отношении характера повреждения рецепторов четвертого завитка улитки совпадают с результатами, полученными Стоквеллом и др. [3]. Нужно думать, что в условиях наших опытов эти изменения были вызваны действием компонентов шума частотой около 500 Гц. Зона кортиева органа, демонстрируемая на рис. 2, соответствует области, в которой Стоквелл, Энгштрем, Эдес описали выраженные изменения при частоте звука 200 Гц. В этой области улитки они наблюдали только нарушение рецепторных клеток внутреннего ряда.

Обнаружение в условиях нашего исследования более разнообразных по характеру изменений рецепторов улитки позволяет считать, что шум, содержащий высокочастотные компоненты, в значительной степени отличается по своему действию на рецепторы основного завитка улитки от синусоидальных звуковых колебаний, избирательно влияющих на тот же участок кортиева органа. Это наблюдение представляет интерес для сравнительного изучения эффектов тональных и шумовых раздражений большой интенсивности.

Тбилисский государственный институт  
усовершенствования врачей  
МЗ СССР

(Поступило 30.6.1972)

ენერგეტიკული მოსახურება

ჭ. გვარაძე, ი. ცელაძე

ვართო დიაგაზონის პირითი ხაზის გავლენა ზღვის გონის  
ლოგოპედიაზი

რეზიუმე

ცდები ჩატარდა ზღვის გონიზე. 2 სათის განმალობაში მათ ვალიზია-  
ნებდით ბერტონი ხმაურით (სიხშირე 250—5000 ჰერცამდე, ინტენსივობა  
137 დბ /0,0002 ლინ/სმ<sup>2</sup>-ის მიმართ).

სურ. 1A-ზე ნაჩვენებია მიკროფოტოგრამა, სადაც ნათლად ჩანს ორ-სურ. 1B-ზე ნაჩვენებია ბგერითი ხმაურის გავლენა ბსუ-ს მესამე რიგზე. სურ. 2A-ზე დაზიანებულია მხოლოდ პირველი რიგი ბსუ, ხოლო 2B-ზე — მეორე რიგი. სურ. 2B-ზე ერთდროულად დაზიანებულია ბსუ-ს სამივე რიგი.

ძირითადი ხეეულის რეცეპტორთა დაზიანების მრავალფეროვნება საშუალებას გვაძლევს დავასკენათ, რომ მაღალი სიხშირის კომპონენტების შემცველი ხმაური თავისი ძოქმედებით ლოკურის ბაზალური ხეეულის რეცეპტორზე, დადად განსხვავდება სიხუსოიდალური ბგერითი რჩევებისაგან.

#### EXPERIMENTAL MORPHOLOGY

Z. V. GVAKHARIA, E. Sh. SULADZE

#### WIDE-BAND NOISE EFFECT ON THE COCHLEA IN GUINEA PIGS

##### Summary

Guinea pigs, 15 in all, each weighing 250–300 gr, were exposed to wide-band noise of 250–5000 Hz at 137 db /re to 0,0002 dn/cm<sup>2</sup>/, for two hours. Each cochlea was prepared according to the "surface specimen technique" and studied under a phase-contrast microscope.

Fig. 1 A—intact cochlea /seventh turn, 18 mm from the base/. Three rows of outer hair cells /OHC/ and one row of inner hair cells /IHC/ can be seen on the same level. Fig. 2—cochlea, basal turn /10 mm from the base/. Cochlear damage after noise exposure: the destruction of the third row OHC /Fig. 2A/; damage of the second row /Fig. 2/; total damage of the same area /Fig. 2 B/.

It seems obvious that the damage to the cell population of the basal turn caused by wide spectrum noise is different from the effect of rare tones acting selectively on the same region of the cochlea.

##### ლიტერატურა — REFERENCES

1. Я. А. Винников и Л. К. Титова. Кортиев орган. Гистофизиология и гистология. М.—Л., 1961.
2. H. Engström, H. W. Ades, A. Anderson. Almqvist and Wiksell. Stockholm, 1958.
3. W. Charles, W. Stockwell. Patterns of Hair Cell Damage after Intense Auditory Stimulation. 1971.
4. H. A. Beaglehole. Acta Oto-Laryngol., 1969.



ა. რომანოვ, ქ. ბერძიშვილი, ჭ. ოძროვაძე

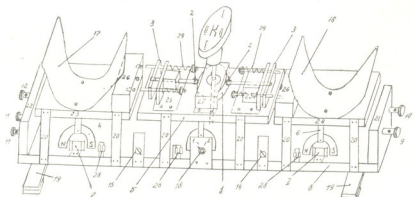
კიბურთა დიფერენციული გალისტოსცილობრაცის მოწილის  
 საკითხისათვის

(წარმოადგინა ექალემიკოსმა ე. ლიფაძე 19.6.1972)

ექსპერიმენტულ და კლინიკურ მედიცინური ამქამად ფართოდაა გამოყენებული ბალისტოკარდიოგრაფია [1—4]. პერსპექტიული აღმოჩნდა კიბურთა დიფერენციული ბალისტოსცილობრაციული გამოყელევა [5, 6]. გარდა ამისა, სხვადასხვა კალიფიკაციისა და სუეტიალბრის სპორტსმენებზე წარმოებულძა გამოყელევებმა დაგვანხვა. რომ ამპლიტუდური სხვაობა, დიფერენციულ კიბურთაზე შედარებით, შეიძლება გამოვიყენოთ როგორც დაჭვერითებული ფუნქციის მაჩვენებელი მისი სისხლძარღვოვან-კუნთვანი სისტემისა და ამით არაპირდაპირი გზით ვიმსჯელოთ ტონუსისა და ტრენირების ხარისხები.

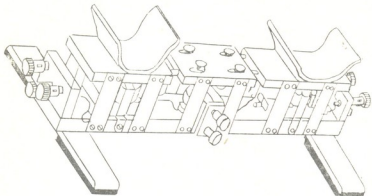
ერთდროულად ვიყელევდით რა ბალისტოკარდიოგრაფიულ მონაცემებს სწრაფი კომბინირებული გამოყელევების შემთხვევაში, შევხვდით ზოგიერთ ჰეთოდურ სიძხეელეს, რაც წარმოშვა შემდგეგმა გარემოებაში: 1) თუ გალის კუნძულის ფუნქციას ვიყვალევდით რ. ბაევსკის სისტემის ბალისტოკარდიოგრაფით, იმავე შეღვამარეობაში შეუძლებელი სხედოდა გვეწარმოებინა კიბურთა დიფერენციული ბალისტოსცილობრაციული, 2) ცხობილია აგრეთვე, თუ რაოდენ დიდი დროა სპირო, მაგალითად, სენებული [1—4] სისტემების ან ა. ტალაკოვის გადაწმონებით ცდისპირის გამოვლენისათვის შოსმანადებლად.

ჩვენ მიზნად დაესახეთ არსებული დიფერენციული ბალისტოსცილოგრაფის ბაზაზე შოგვერდინა ზოგიერთი მოდიფიცირება, რომლის შემდგენ ხსეხებული ხელსაწყო საჭიროების შემთხვევაში შეასრულებდა როგორც ბალისტოკარდიოგრაფის (ბ. კ. გ.) მოვალეობას, ისე კიბურთა დიფერენციული ბალისტოსცილობრაციის მოვალეობასაც ცრძისპირის მდგომარეობის შეცვლის გარეშე.



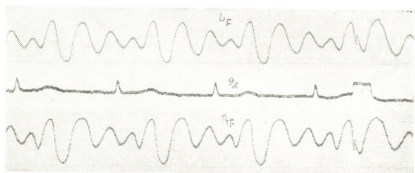
სერ. 1. მოდიფიცირებული ტრიკორსალერი ბალისტოსცილოგრაფი  
 49. „მომბე“, ტ. 68, № 3, 1972

ასეთი მოდიფიცირებული ხელსაწყო, პორტატული, უნივერსალური ბალისტოსტონსტილოგრაფი ჩევნ ირი შევქმნით: ერთი (სურ. 1), რომელსაც იყენებდა საქართველოს სსრ ჯანდაცვის სამინისტროს ი. უორდანიას სახელობის ქალის ფიზიოლოგიისა და პათოლოგიის სამეცნიერო-კვლევითი ინსტიტუტი, შეორე (სურ. 2), რომელიც ტექნიკურად უფრო მარტივია, ექსპლოატაცია-შია საქართველოს ფიზიკური კულტურის ინსტიტუტის ფიზიოლოგიის კათედრაზე.



სურ. 2. მოდიფიცირებული უნივერსალური ბალისტოსტილოგრაფი

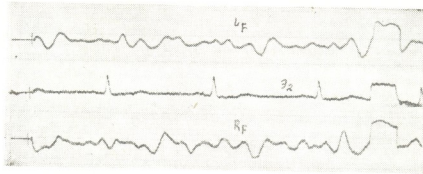
პირველ სურათზე წარმოდგენილი მოდიფიცირებული ბალისტოსტილოგრაფის ძრავაურ სქემაზე აღნიშნული K სახელურის მოტრიალებით (მარცხნივ ან მარჯვნივ) სისტემა მყისვე გადადის დიფერენციულ ბალისტოსტილოგრაფიული (დ. ბ. ა.) გადამწონიდან ბალისტოკარდიოგრაფიულ (დ. კ. გ.) გადამწინდი, რაც საშუალებას გვაძლევს სწრაფად ვაწარმოოთ რთული გამოკვლევა.



სურ. 3. ქვედა კიდურთა დიფერენციული ბალისტოსტილოგრამა (სპორტსმენი ზ. 3. რ.)

მოდიფიცირებული ბალისტოსტილოგრაფის ტექნიკური მონაცემები ასეთია: 1) კიდურთა დიფერენციული გადამწონისათვის: მგრძნობელობა — 0,01 ვოლტი · სეკუნდი/დინზე, საკუთარი სიხშირე — 12 ჰერცი, გამოსავალი — 650 ომი; 2) ბ. კ. გ. გადამწონისათვის: მგრძნობელობა — 0,005 ვოლტი · სეკუნდი/დინზე, საკუთარი სიხშირე — 40 ჰერცი, გამოსავალი — 2500 ომი. ასეთივე მონაცემები აქვს მეორე ეგზემპლარსაც.

მაგალითისათვის მოგვყავს ყოფილი სპორტსმენის პ. ჩ. (36 წლისა) კიდურთა დიფერენციული ბალისტოსცილოგრამის (იხ. სურ. 3) და ავადმყოფი ცდისისის ზ. ა. (49 წლისა) კიდურთა დიფერენციული ბალისტოსცილოგრამის (სურ. 4) მრუდები, რაც შესრულებული მოდიფიცირებული გადამწონით. ავადმყოფის კიდურთა დ. ბ. ო.-გრამაზე კარგადა გამოვლინებული ამპლიტუდური და ფაზური სხვაობანი მურნალობამდე, მაშინ როდესაც ყოფილი სპორტსმენის კიდურთა დ. ბ. ო.-გრამაზე არავითარ ფაზურ სხვაობას ადგილი არ აქვს.



სურ. 4. ჰერც კიდურების დიფერენციული ბალისტოსცილოგრამა (ავადმყოფი ზ. ა.)

ამგვარად, მოდიფიცირებული კიდურთა დიფერენციული ბალისტოსცილოგრაფი წარმოადგენს პორტატულ უნივერსალურ გადამწონს, რაც საშუალებას იძლევა გამოვიყელიოთ როგორც გულის კუნთის შეკუმშვალობის ფუნქცია, ისე კიდურთა სისხლძარღვოვან-კუნთოვან სისტემაში გამდინარე პულსურ-ინტეგრალური ძალების სიმძიმის ცენტრის გადანაცვლების სიმეტრიის მახასიათებელი ფუნქცია.

ჩატარებულმა ექსპერიმენტებმა დაადასტურა, რომ კიდურთა სისხლძარღვებზე წარმოადგენ წირურგიული ზემოქმედების შემდეგ დიფერენციული კიდურის ფუნქციის რეაბილიტაცია დინამიკაში გამოვლინდა აღწერილი ხელსაწყოს მეშვეობით. მიღებული მრუდები თუმცა გამოსახავენ კიდურთა ოცნების ინტეგრალურ-ინტორიმაციულ ასექტში, მაგრამ სათანადო სტატისტიკური დაძუშვებისა და კრიტერიუმების დადგნინდების შემდეგ, მათ გადაშევეტი როლი შეუძლიათ შეასრულონ როგორც ფუნქციის აღდგენის დადგენაში, ისე კიდურთა დაავადების დიფერენციულ-დიაგნოსტიკური; ხოლო სპორტსმენთა შორის დინამიკური დაკარგება შესაძლებლობას მოგვცემს დავადგინოთ კიდურთა ენერგეტიკული ღონის კრიტერიუმი.

ზემოაღნიშვნული მოდიფიცირებული მეთოდის კომპლექსურმა გამოყენებამ (როგორც ბ. ჭ. გ., ისე დ. ბ. ო. გადამწონებით), საშუალება მოგეცა გამოვეველინა არა მარტო გულის კუნთის დაღლვევები, არამედ აგრეთვე კიდურთა სისხლძარღვოვან კუნთოვან სისტემაში ფარულად მიმღინარე პათოლოგიური გამოვლინებებიც [5]; ეს გარემოება კი საგულისხმოა როგორც პროფილაქტიკურ ასექტში, ისე მასობრივი გამოკვლევების შემთხვევაში დაავადების პროგნოსტირებისათვის.

საქართველოს სსრ ჯანმრთელობის დაცვის სამინისტროს  
 ექსპერიმენტული და კლინიკური წირურგის  
 ინსტიტუტი

---

## ЭКСПЕРИМЕНТАЛЬНАЯ МЕДИЦИНА

---

А. М. РОМАНКО, К. Г. БЕРБИЧАШВИЛИ, З. А. ОКРОПИРИДЗЕ

### К ВОПРОСУ МОДИФИКАЦИИ ДИФФЕРЕНЦИАЛЬНОГО БАЛЛИСТООСЦИЛЛОГРАФА КОНЕЧНОСТЕЙ

#### Резюме

Даются полумонтажные схемы модифицированных баллистоосциллографов конечностей. Приводится несколько кривых дифференциальной баллистоосцилограммы конечностей разных лиц (спортсмена и больного). Модификация упомянутого баллистоосциллографа превращает его в универсальный датчик—кранно-каудально направленного действия. С его помощью можно производить как баллистокардиограмму, так и дифференциальную баллистоосцилограмму конечностей, не меняя позы обследуемого пациента, чего достичь с датчика ранее известных типов было невозможно. Прибор применен при обследовании лежачих больных, а также в спортивной медицине. Полученные кривые рельефны, технических артефактов не содержат. Проведенная клиническая апробация выявила преемственность метода, отобразив на кривой признаки реабилитации функции дифференцированных конечностей после лечебно-хирургического вмешательства.

---

#### EXPERIMENTAL MEDICINE

---

A. M. ROMANCO, K. G. BERBICHASHVILI, Z. A. OKROPIRIDZE

### TOWARDS THE MODIFICATION OF THE DIFFERENTIAL BALLISTOOSCILLOGRAPH OF THE LIMBS

#### Summary

Semi-wiring diagrams of modified ballistooscillographs of the limbs are presented. Some curves of a differential ballistooscillogram of the limbs are given. Modification of the above ballistooscillograph transforms it into a universal sensor or cranio-caudally directed action. Both the ballistocardiogram and differential ballistooscillogram of the limbs may be recorded without changing the position of the patient under investigation—which was unattainable with the help of types of sensor known earlier. The obtained curves are salient and do not contain technical artefacts. The device can be applied in investigating bed cases as well as in sports medicine.

#### СПОДОБНОСТЬ — ЛИТЕРАТУРА — REFERENCES

1. В. Док, Г. Мандельбаум и др. Баллистокардиография. М., 1956.
2. В. В. Парин, А. В. Мареев. Тер. архив, в. 2, 1956, 49—22.
3. Г. И. Цинцадзе. Бюлл. экспер. биол. и мед., 44, № 9, 1959, 122—124.
4. Р. М. Баевский, А. А. Талаков. Баллистокардиография. София, 1971.
5. Р. О. Амиреджиби, Л. Ш. Попхадзе, А. М. Романко и др. Сб. трудов НИИ физиологии и патологии женщины им. И. Жордания, т. 5, 1969, 141—146.
6. А. М. Романко, К. Г. Бербичашвили, З. А. Окропирдзе. Сообщения АН ГССР, 66, № 3, 1972.



ПАЛЕОБИОЛОГИЯ

Ж. АРШАНБО

**ЗАМЕЧАТЕЛЬНЫЙ СЛУЧАЙ ГОМЕОМОРФИИ У МОЛЛЮСКОВ  
СЕМЕЙСТВА CARDIIDAE**

(Представлено академиком Л. Ш. Давиташвили 17.5.1972)

Две правые стороны раковины, определяемые, как *Cerastoderma edule belgicum* Malzinne, 1867, были найдены в районе Антверпена, в Бельгии, профессором М. Ф. Дзвелая. Они происходят, по-видимому, из отложений, которые по геологическому возрасту близки к границе между плиоценом и плейстоценом. Эти образцы послужили материалом для настоящей статьи. Приносим искреннюю благодарность М. Ф. Дзвелая за то, что он передал этот материал нам для изучения. Выражаем глубокую благодарность профессору М. Глиберау, который определил этот материал и любезно сообщил Л. Ш. Давиташвили, по его просьбе, все необходимые сведения об упомянутой форме. Л. Ш. Давиташвили предложил нам тему данной статьи для интересных сопоставлений этих форм из бассейна Северного моря с солоноватоводными *Cardiidae*. Черноморско-Каспийского бассейна; эти створки представлялись любопытными, так как на них заметен слабый синус мантейной линии, что не отмечалось даже у представителей *Cardium (Cerastoderma) edule* из Каспийского моря и лиманов Черного моря, воды которых имеют очень низкую соленость. Насколько нам известно, это явление не было описано в литературе, и палеонтологи, изучавшие материал из Северного моря [1, 2], не придавали данной морфологической черте существенного значения для систематики этих моллюсков.

Число ребер	Длина (а)	Высота (б)	Выпуклость (с)	Отношения	
				b/a	c/b
23	41,4	33,6	13,6	0,81	0,40
23	34,2	28,1	10,6	0,82	0,38

Изученные нами створки имеют среднюю величину, слегка оттянуты в задне-нижнем направлении и несколько неравносторонние. На заднем крае заметно очень слабое зияние. Наружная поверхность несет 23 довольно широких и сближенных радиальных ребра, более раздвинутых в задней части. Межреберные промежутки узкие, имеют форму буквы *v*.

Макушка прозогирная, находится впереди середины умбональной стороны. Замок состоит из двух небольших кардинальных зубов, между которыми находится маленькая треугольная ямка, и из двух боковых зубов, переднего и заднего, вытянутых параллельно умбональному краю; передний боковой зуб более массивный, чем задний, вдоль каждого из них тянется неглубокая ямка.

Угол между обеими ветвями замковой пластинки находится за передним боковым зубом. Задняя ветвь замковой пластиинки на всем своем протяжении покрыта лигаментной пластинкой. Позади заднего кардинального зуба и выше него очень четко выделяется лигаментная площадка. На внутренней поверхности створок видны два мускульных отпечатка, которые помещаются на срединной оси очень близко к краям раковины; они соединены мантиной линией, слегка притупленной в своей задней части и образующей там прямой угол. Нижний край желобчатый по мантиной линии (рис. 1, 2).

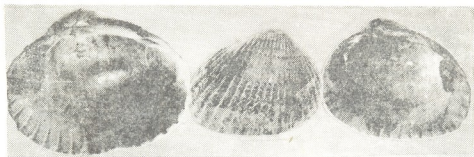


Рис. 1. *Cerastoderma edule belgicum* Malzinne, правая створка изнутри ( $\times 1,2$ )

Рис. 2. *Cerastoderma edule belgicum* Malzinne:  
а—правая створка снаружи ( $\times 1$ ); б—правая створка изнутри ( $\times 1,2$ )

Обращаясь к формам, которых можно считать происходящими от представителей группы *Cardium* (*Cerastoderma*) *edule*, заметим, что в отложениях акчагыльского яруса Каспийского бассейна (верхн. плиоцен) Н. И. Андрусов [3] наблюдал зияние у *Cardium siphonophorum* Andrus., но у этого вида имеются два валика в задней части, которые, возможно, указывают на сильное развитие синуса. Н. М. Кукаладзе [4] наблюдала у *Cardium dombra magnum* Alizade, тоже из акчагыла, зияние раковины у разных особей, развитое в различной степени, и присутствие синуса или притупление задней части мантиной линии.

Эти явления, по-видимому, зависят от изменения образа жизни двусторчатых моллюсков. При изменении отношений к осадку эти моллюски более глубоко зарывались в морской грунт. Это вызывало развитие связанного с мантинным синусом аппарата, от которого зависели дыхание и питание животного путем циркуляции воды в мантинной полости. Следовательно, развитие синуса не связано с изменением солености.

Таким образом, у видов, живших в Северном море и в Черноморско-Каспийском бассейне, наблюдается одно и то же явление. К сожалению, нельзя установить, был ли синус у кардиид бассейна Северного моря наследственным признаком; не известно также, при каких именно условиях синус мог стать таковым. Хотя *Cerastoderma edule* — вид чрезвычайно изменчивый и он мог существовать в весьма разнообразных условиях среды, трудно думать, что существовали какие-то филогенетические связи между кардиидами Северного и Черноморского бассейнов.

Академия наук Грузинской ССР

Институт палеобиологии

(Поступило 19.5.1972)

3. არავანები

კოდომილფის ღირსებანიანები უათავება ოჭახ  
*CARDIOPHILUS*-ს აოლუსებზე

ՀԵՇՈՐ ՅԵ

სუსტი შანტის სინუსის არსებობა პლიოცენ-პლეიისტოცენის *Cerastoderma edule belgicum*-ის საგდულზე, ქ. ანტვერპენის (ბელგია) მიღამოებითან, ნებას გვაძლევს პარალელი გავყლოთ ამ ტორმეთა და შავი ზღვა-კასპიის ზღვის პლიოცენ-პლეიისტოცენის მომარილოვნო ფუნქციის ქარ-დიდებს შორის.

PALAEOBIOLOGY

J. ARCHAMBAULT

## A REMARKABLE CASE OF HOMEOMORPHY OF MOLLUSCS OF THE FAMILY CARDIIDAE

## Summary

The presence of a slight pallial sinus on the valves of *Cerastoderma edule belgicum* Malzinne (Pliocene-Pleistocene) of the vicinities of the city of Antwerp, Belgium, enables the writer to draw a parallel between that form and the Euxino-Caspian brackish-water *Cardiidae* of the recent fauna as well as of the Pliocene and Quaternary lake-seas of Paraterhys.

ՀԱՅՈՒԹՅԱՆ ԼԻՏԵՐԱՏՈՒՐԱ – REFERENCES

1. A. Chavan. Bull. Mus. nat. Hist. natur. Paris, 2-e série, 17, № 2, 1945.
  2. M. Gilbert. Lue Van de Poel. Mem. Inst. roy. Sci. natur. de Belgique, 2-e sér., № 84, 1970.
  3. Н. И. Андрусов. Избранные труды, II. М., 1963, 733.
  4. Н. М. Кукаладзе. Сообщения АН ГССР, 34, № 2, 1964.
  5. А. Г. Эберзин. Основы палеонтологии. Моллюски. М., 1960.

68-2 තොරතු පටිගෙන ප්‍රංගිතයා

- პალაძე რ. 631  
 იაქუცი პ. 248  
 ალანია მ. 359  
 ამირანიძე ვ. 479  
 ანდრიანოვი კ. 350  
 ანდრიანიშვილი ვ. 315  
 ანდრიანიშვილი თ. 88,  
     619  
 არაბიძე ა. 563  
 არაყელი რ. 431  
 არეშელი ქრ. 76, 348  
 არსენიშვილი გ. 299  
 არშბიძე ფ. 775  
 არშბა ლ. 479  
 ახმაძე ლ. 608  
  
 ბაკურაძე ა. 431  
 ბალაგაძე ბ. 584  
 ბალაძე ლ. 19  
 ბალახიშვილი ლ. 76  
 ბანქელაძე ბ. 660  
 ბართაშვილი ი. 144, 392  
 ბართავა თ. 47  
 ბაქრაძე გ. 427  
 ბაქრაძე თ. 192  
 ბეგიშვილი გ. 311  
 ბენაშვილი ვ. 591  
 ბერბიკაშვილი ვ. 769  
 ბერიძე ლ. 599  
 ბერკოვიჩი ა. 532  
 ბოერია რ. 156  
 ბოյუჩავა მ. 440  
 ბრეგაძე მ. 755  
 ბროუნერი ფ. 71  
 ბერიუკა ლ. 388  
 ბულეშვილი ლ. 371  
 ბულიტო გ. 386  
 ბურჟულაძე მ. 487  
  
 ბაბაშვილი გ. 168  
 გარი ტ. 78  
 გარევა მ. 348  
 გაგუქრია ა. 736  
 გველიშვილი ვ. 115  
 გვალა თ. 612  
 გვამირა ზ. 767  
 გვარდულითელი მ. 603  
 გველესიანი ა. 68  
  
 გველესიანი გ. 144, 392  
 გველესიანი თ. 163  
 გვიგინიშვილი გ. 103  
 გვგავა მ. 197  
 გვგლიძე რ. 443  
 გვგნიშვილი ო. 232  
 გვგომე რ. 147  
 გვგუაძე დ. 284  
 გვგაბაძე ვ. 484  
 გვდებიშვილი თ. 479  
 გვირდუშვილი დ. 292  
 გვირაზნივა ზ. 88  
 გვირგლაშვილი ბ. 656  
 გვლისაშვილი ბ. 503  
 გვმბარიძე ნ. 730  
 გვსმანი ს. 296  
  
 დავარაშვილი ვ. 172,  
     176, 664  
 დავითაძე ზ. 51  
 დავითაშვილი ს. 157  
 დალაქიშვილი ო. 404  
 დალუეაშვილი ა. 356  
 დაშნანი მ. 192  
 დაშნიანი ტ. 139  
 დამეტრაშვილი რ. 71  
 დამერია ნ. 631  
 დაიკუნი პ. 491  
 დობორგვინიძე დ. 176  
 დოლიძე ჭ. 211  
 დონინი მ. 139  
 დორანიკი ლ. 207  
  
 დოლზბარაშვილი ვ. 331  
 დღნერი ა. 707  
 ენჯიქი ნ. 711  
 ერისთავი ვ. 587  
 ერისტროვა ე. 528  
  
 ელუიკო გ. 440  
 ეარლოსიანიძე ვ. 215, 718  
 ეარსომაშვილი ვ. 375  
 ეტრულაშვილი რ. 100, 624  
 ევანიშვილი ნ. 91  
 ეინოგრალოვა ს. 596, 599  
  
 ზალიშვილი ვ. 487, 716  
 ზარიძე ზ. 239



- კრასნიაშეკაია პ. 491  
 კრასნიცაია ნ. 491  
 კრუპენიკოვა ა. 88  
 კრუპენიკოვა ნ. 56  
 კუდიაშვილი ი. 304  
 კურცხალია ვ. 691  
 კურცხალია თ. 371  
 კურცხიძე გ. 748
- ლაბახტა თ. 680  
 ლაზარიშვილი ი. 479  
 ლიათაძე გ. 40  
 ლაპიაშვილი ა. 400  
 ლაფურაშვილი ლ. 619  
 ლალიძე თ. 755  
 ლალიძე ჩ. 343  
 ლალიძე ჭ. 343  
 ლევანიშვილი ვ. 615  
 ლევანიშვილი გ. 280  
 ლევანი ბ. 547  
 ლომაძენიძე ნ. 569
- მაისაია გ. 427  
 მაისურაძე მ. 695  
 მამასახლისოვა ვ. 707  
 მამასახლისოვა ვ. 56  
 მამაკაშვილი ნ. 108  
 მანაგაძე გ. 63  
 მანჯგალაძე ჩ. 495, 748  
 მანჯგალაძე ს. 139  
 მანნასაძე ნ. 59, 328  
 მანიძელი მ. 84  
 მაქარაძე თ. 47  
 მახარაძე ა. 648  
 მახარაძე შ. 479  
 მაკალობლიშვილი ბ. 475  
 მადინარაძე ჭ. 335  
 მეგრელიშვილი ჩ. 467  
 მელა ნ. 419  
 მელიქაძე ლ. 84, 615  
 მელიქაძე ბ. 48  
 მეტროველი ჭ. 427, 434  
 მეტრიარგა ვ. 718  
 მეტელიშვილი ჭ. 447  
 მილოშვილი ა. 651  
 მისურაძე მ. 487  
 მინდელი პ. 584  
 მირიანშვილი პ. 576  
 მირონივა ვ. 78  
 მიქეაძე ჩ. 156  
 მიქელიაძე ა. 123, 459  
 მიქელიაძე ჩ. 748  
 მოღმაძე ვ. 691  
 მოღმაძე თ. 100  
 მონავა ე. 688
- მონინი ა. 311  
 მოძელევსკი ა. 388  
 მეგანაძე გ. 737  
 მეგანაძე პ. 207  
 მსხვილი გ. 128  
 მუზავი ი. 163  
 მუმლაძე ვ. 568  
 მუხაძე მ. 380  
 მშვიდობაძე მ. 764  
 მხედიძე თ. 743
- ნადარაია ვ. 36  
 ნადირაძე კ. 192,  
 424  
 ნაღირაძე ვ. 636  
 ნაღირაძე ლ. 408  
 ნაიძე ლ. 350  
 ნაერიშვილი თ. 431  
 ნანგაშვილი ლ. 356  
 ნასარიძე ი. 343  
 ნატოშვილი ჭ. 320  
 ნაცვლაშვილი ვ. 455  
 ნეურ ზი ტენი 27  
 ნემისაძე გ. 287  
 ნოსელიძე ა. 431  
 ნოღაილელი ა. 350, 608  
 ნოღაილელი გ. 608
- ონიან თ. 204, 683  
 ორლოვა თ. 71  
 ოქროპირიძე ზ. 769  
 ოქროპირიძე ც. 91
- პაპავა გ. 596, 599  
 პაპავა ლ. 371  
 პაპისოვი ჩ. 179  
 პარანისენჯოვა ვ. 88  
 პეტროვა ი. 211  
 პოპოვიდი ჩ. 324, 576  
 პრინცა გ. 299
- რორიანია თ. 227  
 რლუნტი ც. 752
- რაზმაძე ვ. 449  
 რამიშვილი ლ. 469  
 რამიშვილი ნ. 568  
 რამიშვილი ჩ. 179  
 რატიანი ნ. 243  
 რატავა ლ. 665  
 რაფალოვიჩი ლ. 388  
 რობიტაშვილი გ. 335  
 რომინე ა. 769
- სანია თ. 424
- სანდოძე ვ. 192  
 სანიკიძე ნ. 343  
 სანიკიძე ჭ. 536  
 სპიცა კ. 331  
 სტრაბრიაგოვა ვ. 718  
 სესარშვილი კ. 338  
 სეფააშვილი ა. 660  
 სეფააშვილი ნ. 552  
 სიაშვილი ა. 440  
 სიგურა ო. 484  
 სიმონიძე ა. 760  
 სიმონიძე პ. 716  
 სირაძე ვ. 412  
 სირბილაძე ლ. 239  
 სიხარულიძე გ. 644  
 სიხარულიძე თ. 221  
 სიხარულიძე ნ. 697  
 სმოლოვა ვ. 176  
 სოლნიშვილი ვ. 440  
 სოლომაშვილი ვ. 63  
 სტეფანეკო ვ. 716  
 სტურუა ზ. 440  
 სულაქეველიძე გ. 335  
 სულაძე ვ. 767  
 სუპატაშვილი ა. 219  
 სუპატაშვილი ჭ. 219
- ტომჩინსკი ვ. 56  
 ტყებუჩავა გ. 32  
 ტყეშელაშვილი თ. 479
- უთერგაძე ვ. 395  
 უსტიაშვილი ა. 434  
 უშარაული ე. 84, 615
- ფალავანდიშვილი ლ. 343  
 ფურშანი ვ. 484
- მადაგაშვილი ა. 697  
 ქათარაია გ. 555  
 ქეშერტელიძე ვ. 359  
 ქემხაძე ვ. 139  
 ქიქოძე გ. 119  
 ქუთათელაძე კ. 100, 624
- ლევანიშვილი ა. 491  
 ლოლობერიძე პ. 131
- ჰანგაველი ლ. 737
- ჰავვულიძე ვ. 96  
 ჰალიბაშვილი ვ. 219  
 ჰირიძე ჭ. 572  
 ჰიფაქძე ვ. 411  
 ჰაყრილი ა. 500

- შენგალია გ. 368  
 შენგალია დ. 651  
 შენგალია ქ. 631  
 შეკაცმანი ლ. 144, 392  
 ჩერქეზიშვილი ქ. 603  
 ჩეჩელიშვილი გ. 491  
 ჩივი გ. 76  
 ჩივაშვილი ჩ. 23  
 ჩიხლიძე ბ. 400  
 ჩიჯვაძე შ. 249  
 ჩიერძე გ. 172, 664  
 ჩიერძე ლ. 76  
 ჩიერძე გ. 172, 664  
 ჩიერძე ს. 619  
 ჩიხელი ხ. 484  
 ჩიხტია რ. 459  
 ცაგარელი ა. 636  
 ცერცვაძე გ. 307  
 ციხარიშვილი პ. 599
- ცოტაძე გ. 78  
 ცხეირაშვილი დ. 400  
 ძამუკაშვილი ა. 84  
 ძიძეგური ა. 660  
 წერეთელი ა. 272, 519  
 წერეთელი ც. 673  
 წვერიაშვილი გ. 324  
 წილარანძე ქ. 523  
 წიქარიძე ბ. 144, 392  
 წილარი პ. 152  
 ჭავჭავაძე გ. 136, 383  
 ჭავჭავაძე გ. 568  
 ჭანტურა ლ. 139  
 ჭერძე თ. 235  
 ჭუაძე ა. 579  
 ხაზენი ლ. 350  
 ხალიბოვა დ. 563
- ხანგლია ა. 236, 383  
 ჯანგლია ბ. 51  
 ჯაფარიძე ა. 185, 416,  
 671  
 ჯაფარიძე გ. 96  
 ჯიბუტი ბ. 56  
 ჯოვევი თ. 292  
 ჯოხბეძე ღ. 443

## УКАЗАТЕЛЬ АВТОРОВ 68-го ТОМА

Аваков Г. С. 245  
 Агадзе Р. И. 629  
 Алания М. Д. 357  
 Амиранидзе В. С. 477  
 Андрианов К. А. 349  
 Андроникашвили Т. Г.  
       85, 617  
 Андроникашвили Э. Л.  
       313  
 Арабидзе А. А. 561  
 Арагвели Р. И. 429  
 Арешnidзе Х. И. 73, 345  
 Арсениашвили Г. Л. 297  
 Аршанбо Ж. 773  
 Аршиба Л. К. 477  
 Бакрадзе Г. А. 425  
 Бакрадзé О. С. 189  
 Бакурадзе А. Н. 429  
 Балазадзе Б. К. 581  
 Баладзе Д. О. 17  
 Балакишвили Л. И. 73  
 Бандзеладзе Б. Р. 657  
 Бараташвили И. Б. 141,  
       389  
 Бартая О. Л. 45  
 Бегишвили Г. А. 309  
 Бенашвили Е. М. 589  
 Бербичашвили К. Г. 772

Беридзе К. П. 471  
 Бокерия Р. А. 153  
 Бокчава М. А. 437  
 Брегадзе М. А. 753  
 Броуцек Ф. И. 69  
 Будюк Л. Ф. 385  
 Булейшишили Д. А. 369  
 Булатко Г. Г. 385  
 Бурчуладзе М. Г. 485  
 Валуйко Г. Г. 437  
 Вардосаниძე Э. Ш. 212,  
       717  
 Варсимиашвили Э. В. 373  
 Верулашвили Р. Д. 97,  
       621  
 Виноградова С. В. 593  
 Вяхирев Н. И. 89  
 Габашвили Г. И. 165  
 Гаджиев М. К. 345  
 Гар Т. К. 77  
 Гвамичава А. Р. 489  
 Гвахария З. В. 765  
 Гвелесиани А. И. 65  
 Гвелесиани Г. Г. 141, 389  
 Гвелесиани Т. Л. 161  
 Гвердцители М. И. 601  
 Гегечкори А. М. 733

Геленшвили В. И. 113  
 Гигинеишвили Г. Н. 101  
 Гогава М. В. 199  
 Гоглиძე Р. И. 441  
 Гогниашвили О. Ш. 229  
 Гогоберидзе В. Д. 129  
 Гогодзе Р. С. 145  
 Гогсадзе В. Г. 481  
 Гогуадзе Д. Ф. 281  
 Годердзиашвили Т. М.  
       477  
 Гордезиани Д. Г. 289  
 Григолашвили Б. М. 653  
 Грязнова З. В. 85  
 Гулисашвили Б. А. 501  
 Гумбариძე Н. П. 729  
 Гусман С. Я. 293  
 Даварашвили Г. И. 169,  
       173  
 Давиташвили Н. С. 160  
 Давитая З. Ф. 49  
 Далакишвили О. Н. 401  
 Дапкиашвили А. Г. 353  
 Дашиани М. Г. 189  
 Дашиани Т. С. 137  
 Деметрашвили Р. А. 69  
 Демурия Н. В. 629



94436070

საქართველოს

მახარაძე შ. კ. 477

მაჩაბელი მ. ა. 81

მაცარაძე თ. ს. 45

მგალიბშვილი ბ. ი.  
473

მდინარძე დ. ა. 333

მეგრელიშვილი რ. ი. 465

მელიკაძე ლ. დ. 81, 613

მელიკაძე ნ. ლ. 41

მელია ნ. ს. 417  
მეტრეველი ჯ. მ. 425,  
433

მეუნარე ვ. ვ. 717

მეშვეობლიუმი დ. ფ.  
445

მჯавანაძე ა. ვ. 740

მჯავანაძე ვ. ვ. 205

მიკაძე რ. ა. 153

მიკელაძე ა. ლ. 457

მიკელაძე ა. პ. 121

მიკელაძე რ. მ. 745

მილოსტი ა. ვ. 649

მინდაძე მ. რ. 485

მინდელი პ. შ. 581

მირიანაშვილი მ. მ.  
573

მირონოვ ვ. ფ. 77

მოდებაძე ი. ე. 97

მოდებაძე ე. კ. 689

მოდელევსკი ა. ა. 385

მონავა ე. ს. 685

მონინ იუ. ს. 309

მხილაძე გ. გ. 125

მუзავ ი. დ. 161

მუმლაძე ვ. ვ. 565

მუხაძე მ. გ. 377

მხენძე თ. ს. 741

მშვიდობაძე მ. ვ. 761

ნადარა ე. ა. 35

ნადარეშვილი კ. შ.  
189, 421

ნადირაძე ვ. რ. 633

ნადირაძე ლ. ა. 405

ნაკაძე ლ. ი. 349

ნანეშვილი თ. ლ. 429

ნანობაშვილი ე. მ. 353

ნასარაძე ი. ვ. 341

ნათროშვილი კ. რ. 317

ნაცალიშვილი მ. გ. 453

ნეუен ჟუ თиен 25

ნემცაძე ბ. გ. 285

ნოგაიძე ა. ი. 349

ნისაძე ა. გ. 429

- Джанджава И. Д. 133,  
381  
Джанджава Н. В. 49  
Джапаридзе Д. И. 93  
Джапаридзе И. Г. 187,  
413  
Джибути Р. И. 53  
Джимшелейшвили Э. Г.  
165  
Джноев Т. З. 289  
Джохадзе Д. И. 441  
Дзамукашвили А. А. 81  
Дзидзигури А. А. 657  
Дикун П. П. 489  
Доборджинидзе Д. Д.  
173  
Долидзе Д. А. 209  
Донин М. А. 137  
Дранник Л. И. 205  
  
Енукидзе Н. Е. 709  
  
Жгенти Ц. Я. 749  
Жордания Т. К. 225  
  
Заалишвили М. М. 485,  
713  
Заридзе З. В. 237  
Звиададзе უ. ი. 109  
Зосидзе Р. Ш. 461  
Зурабашвили Зиг. А. 233  
Зуребиани В. Г. 183  
  
Ибрагимов И. И. 721  
Иоселиани Дж. Г. 704  
Исмаилов Ш. Ю. 169  
  
Кадагишвили А. Я. 699  
Какабадзе Г. М. 621  
Канделаки Дж. Б. 45!  
Канчавели А. П. 740  
Карсанидзе А. И. 477  
Касрадзе Г. Г. 657  
Кахидзе П. А. 745  
Качарава Г. Г. 133, 381  
Квантариани Е. К. 89  
Квиникадзе З. В. 49  
Кекелидзе Н. П. 49  
Кемертелидзе Э. П. 357

- Кемхадзе В. С. 137  
Кереселидзе З. А. 569  
Кецховели Д. Н. 649  
Кецховели Э. Н. 413  
Кешелава-Гогичадзе  
М. В. 201  
Киквидзе М. Г. 471  
Кикодзе Г. С. 117  
Кобаладзе ვ. ვ. 73  
Кобахидзе П. С. 177  
Кокиашвили В. М. 537  
Кокоева В. П. 561  
Колодиева Е. В. 85  
Комиссаренко Н. Ф. 357  
Копалейшвили В. П.  
321, 573  
Копилашвили Г. С. 717  
Коршак В. В. 593  
Кочетов Н. И. 361  
Красницкая Н. Д. 489  
Красянская П. Н. 489  
Крупеникова А. Ю. 85  
Крупеникова Н. Б. 53  
Кудяшев Ю. А. 301  
Курахалия В. А. 689  
Курцхалия Т. А. 369  
Кутателадзе К. С. 97,  
621  
Кучухидзе Г. Е. 745  
  
Лабахуа Т. Ш. 677  
Лагидзе Д. Р. 341  
Лагидзе Р. М. 341  
Лагидзе Т. П. 753  
Лазаришвили И. Л. 477  
Ланцадзе Г. Л. 37  
Лаперашвили Л. Я. 617  
Лапиашвили А. Д. 397  
Леквиашвили Э. Г. 613  
Лекишвили М. М. 277  
Лобжанидзе Н. Г. 471  
  
Магнарадзе Н. Г. 57,  
325  
Мансая Г. И. 425  
Майсурадзе М. А. 693  
Мамасахлисов В. И. 53  
Мамасахлисов Г. В. 705  
Мамацашвили Н. С. 105  
Манагадзе Г. Д. 61  
Манджгаладзе Р. Н. 493,  
745  
Манджгаладзе С. Н. 137

- Окропиридзе З. А. 772  
 Окропиридзе Ц. М. 89  
 Оннани Т. Н. 201, 681  
 Орлова О. В. 69  
 Палавандишвили Д. А.  
     341  
 Папава Г. Ш. 593  
 Папава Д. Ю. 369  
 Паписов Р. И. 177  
 Паранесенков В. П. 85  
 Петрова И. С. 209  
 Поповидзе Р. С. 321, 573  
 Призва Г. И. 297  
 Размадзе К. С. 451  
 Рамишвили Л. Г. 471  
 Рамишвили Н. М. 565  
 Рамишвили Р. З. 177  
 Ралава Л. П. 667  
 Ратиани Н. К. 241  
 Рафалозич Д. М. 385  
 Робиташвили Г. А. 333  
 Романко А. М. 772  
 Саная Т. В. 421  
 Сандодзе В. Я. 189  
 Саникидзе Н. С. 341  
 Сапицкий К. А. 329  
 Сепиашвили А. Д. 657  
 Сепиашвили Н. Д. 549  
 Серебряков В. Ш. 717  
 Сесиашвили К. М. 337  
 Сиашвили А. И. 437  
 Сигуа О. А. 481  
 Симонидзе А. Д. 757  
 Симонидзе М. Ш. 713  
 Сирадзе В. М. 409  
 Сирбладзе Л. Л. 237  
 Сихарулидзе А. И. 471  
 Сихарулидзе Г. Я. 641  
 Сихарулидзе Н. И. 699  
 Сихарулидзе Т. А. 223  
 Смолев В. Б. 173
- Солнышкин В. И. 437  
 Сологашвили Дж. З. 61  
 Стефаненко Г. А. 713  
 Стурба З. Ш. 437  
 Суладзе Э. Ш. 765  
 Сулаквелидзе Г. К. 333  
 Супаташвили А. Ш. 217  
 Супаташвили Ш. М. 217  
 Тавхелидзе Д. С. 145  
 Таргамадзе П. Л. 205  
 Татевосян Т. Г. 685  
 Тевдорадзе В. В. 421  
 Тедорадзе Г. А. 709  
 Ткебучава Г. Е. 29  
 Ткешелашвили Т. В. 477  
 Томчинский В. Ю. 53  
 Туркия Н. Г. 489  
 Тушурашвили Р. Г. 353  
 Устиашвили А. Д. 433  
 Утургандзе К. И. 393  
 Ушараули Э. Л. 81, 613  
 Фурман В. Я. 485  
 Хазен Л. З. 349  
 Халилова Д. Д. 561  
 Ханаева З. С. 193  
 Хзианиашвили Л. М. 349  
 Хэрладзе К. П. 508  
 Харазов Д. Ф. 273  
 Хахелидзе В. В. 73  
 Хачапуридзе К. Т. 381  
 Хачидзе О. Т. 725  
 Хвингия М. В. 149  
 Хелашвили А. А. 317  
 Хитаришвили Н. С. 593  
 Хубутия В. А. 493  
 Хүнцария Э. М. 385  
 Хусквиадзе Л. А. 627  
 Цагарели А. Л. 633  
 Цверикмазашвили З. С.  
     321
- Черетели А. С. 271, 519  
 Черетели Ц. Г. 675  
 Церцвадзе Г. Н. 305  
 Чикаридзе Н. Н. 141,  
     389  
 Чотадзе М. В. 77  
 Чулаф Г. Г. 149  
 Чхвирашвили Д. Г. 397  
 Чавчанидзе В. В. 565  
 Чавчанидзе Г. Г. 133,  
     381  
 Чантuria L. A. 137  
 Черкезишивили К. И. 601  
 Чечелашивили Г. Л. 489  
 Чивадзе Г. О. 73  
 Чиджавадзе Ш. Я. 252  
 Чиквашвили Р. И. 21  
 Чихладзе Н. М. 397  
 Чурадзе Т. А. 233  
 Чхенидзе Г. Б. 169  
 Чхенидзе Л. З. 73  
 Чхенидзе М. В. 169  
 Чхенидзе С. С. 617  
 Чхенекели С. А. 481  
 Чхетиа Р. И. 457  
 Шавгулидзе В. В. 93  
 Шакрыл А. К. 497  
 Шалиашвили Г. К. 217  
 Шапакидзе В. Н. 409  
 Шарикаძе Д. В. 569  
 Швариман Л. А. 141  
 Шенгелиа Д. М. 649  
 Шенгелия Г. П. 365  
 Шенгелия Дж. Г. 629  
 Элизбарашвили Э. Ш. 329  
 Эльнер А. М. 705  
 Эристави В. Д. 585  
 Эристова Е. Д. 525  
 Ясаманов Н. А. 637.

## AUTHOR INDEX TO VOLUME 68

- Agladze R. I. 632  
 Akhobadze D. Sh. 608  
 Alania M. D. 330  
 Amiraniidze V. S. 480  
 Andrianov K. A. 351  
 Andronikashvili E. L. 315  
 Andronikashvili T. G. 88,  
     620
- Arabidze A. A. 563  
 Aragveli R. I. 432  
 Archambault J. 775  
 Areishidze Kh. I. 76, 348  
 Arsenishvili G. L. 300  
 Arshba L. K. 480  
 Avakov H. S. 248
- Bakradze G. A. 427  
 Bakradze O. S. 192  
 Bakuradze A. N. 432  
 Balakhishvili L. I. 76  
 Baladze D. O. 19  
 Balavadze B. K. 584  
 Bandzeladze B. R. 660

- Baratalashvili I. B. 144,  
392  
Bartaia O. L. 48  
Begiashvili G. A. 312  
Benashvili E. M. 592  
Beribchashvili K. G. 772  
Beridze K. P. 471  
Beridze L. A. 600  
Berkovich Ya. G. 532  
Bokeria R. A. 155  
Bokuchava M. A. 440  
Bregadze M. A. 755  
Brouchek F. I. 71  
Budyuk L. F. 388  
Buleishvili D. A. 372  
Bulitko G. G. 388  
Burchuladze M. G. 487  
  
 Chanturaia L. A. 139  
 Chavchanidze G. G. 136,  
384  
 Chavchanidze V. V. 568  
 Chechelashvili G. L. 491  
 Cherkezishvili K. I. 603  
 Chijavadze Sh. Ya. 252  
 Chikhladze N. M. 400  
 Chikvashvili R. I. 24  
 Chivadze G. O. 76  
 Chkhheidze G. B. 172, 664  
 Chkhheidze L. Z. 73  
 Chkhheidze M. V. 172, 664  
 Chkhheidze S. S. 620  
 Chkhenkeli S. A. 484  
 Chkhetia R. I. 460  
 Chuadze A. D. 579  
 Churadze T. A. 235  
  
 Dalakishvili O. D. 404  
 Dapkiashvili A. G. 356  
 Dashniani M. G. 192  
 Dashniani T. S. 139  
 Davarashvili G. I. 172,  
176, 664  
 Davitaia Z. F. 51  
 Davitashvili N. S. 160  
 Demetrashvili R. A. 71  
 Demuria N. V. 632  
 Dikun P. P. 491  
 Doborjginidze D. D. 176  
 Dolidze J. A. 211  
 Donin M. A. 139  
 Dranik L. I. 207  
 Dzamukashvili A. A. 84  
 Dzhioev T. Z. 292  
 Dzidziguri A. A. 660  
  
 Eliashvili M. A. 500  
 Elizbarashvili E. Sh. 331  
 Elner A. M. 708  
 Enukidze N. E. 712  
 Eristavi V. D. 587  
 Eristova E. D. 528  
 Furman V. Ya. 487  
  
 Gabashvili G. N. 168  
 Gajiev M. K. 348  
 Gar T. K. 78  
 Gegechkori A. M. 736  
 Geleishvili V. I. 116  
 Gigineishvili G. N. 104  
 Goderdzishvili T. M. 480  
 Gogava M. V. 200  
 Goglidze R. I. 443  
 Gogniashvili O. Sh. 232  
 Gogoberidze V. D. 132  
 Gogodze R. S. 147  
 Gogsadze V. G. 484  
 Goguadze D. F. 284  
 Gordeziani D. G. 292  
 Grigolashvili B. M. 656  
 Gryaznova Z. V. 88  
 Gulisashvili B. A. 503  
 Gumberidze N. P. 731  
 Gusman S. Ya. 295  
 Gvakharia Z. V. 768  
 Gvalia T. Sh. 612  
 Gvamichava A. R. 491  
 Gvelesiani A. I. 68  
 Gvelesiani G. G. 144, 392  
 Gvelesiani T. L. 164  
 Gverdtsiteli M. I. 603  
  
 Ibragimov I. I. 724  
 Ioramashvili D. Sh. 612  
 Ioseliani J. G. 704  
 Isakhanov R. S. 544  
 Ismailov Sh. Yu. 172, 664  
  
 Janjgava I. D. 136, 384  
 Janjgava N. V. 51  
 Japaridze I. G. 187, 416,  
672  
 Japaridze J. I. 96  
 Jibuti R. I. 56  
 Jimsheleishvili E. G. 168  
 Jokhadze D. I. 443  
  
 Kachidze L. A. 748  
 Kakhiashvili A. I. 612  
 Kanchaveli L. A. 740  
 Kandelaki J. B. 451  
 Kantaria G. V. 555  
 Karsanidze K. I. 480  
 Kasradze G. G. 660  
 Kekelidze N. P. 51  
 Kemertelidze E. P. 360  
 Kemkhadze V. S. 139  
 Kereselidze Z. A. 572  
 Keshelava—Gogichadze  
M. V. 204  
 Ketskhoveli E. N. 416,  
672  
 Ketskhoveli D. N. 651  
 Khachapuridze K. T. 384  
 Khachidze O. T. 728  
 Khakhnelidze V. V. 76  
 Khalipova D. D. 563  
 Khanava Z. S. 196  
 Khananashvili L. M. 351  
 Kharadze K. P. 508  
 Kharazov D. F. 276  
 Khazen L. S. 351  
 Khelashvili A. A. 320, 560  
 Khitarishvili I. S. 595  
 Khubutia V. A. 496  
 Khun'saria E. M. 388  
 Khuskivadze L. A. 627  
 Khvingia M. V. 152  
 Kikodze G. S. 119  
 Kikvidze M. P. 471  
 Kilasonia Z. N. 648  
 Kobakhidze P. S. 180  
 Kobaladze Z. V. 76  
 Kochetov N. I. 364  
 Kokilashvili V. M. 540  
 Kokoeva V. P. 563  
 Kolodieva E. V. 88  
 Komissarenko N. F. 360  
 Kopaleishvili V. P. 324,  
576  
 Kopilashvili G. S. 719  
 Korshak V. V. 596, 600  
 Krasnitskaya N. D. 491  
 Krasnyanskaya P. N. 491  
 Krupennikova A. Yu. 88  
 Krupennikova N. B. 56  
 Kuchukhidze G. E. 748  
 Kudyshev Yu. A. 304  
 Kurtskhilia T. A. 372  
 Kurtskhilia V. A. 691  
 Kutateladze K. S. 100, 624  
 Kvantsiani E. K. 92

- Kvinikhidze Z. V. 51  
 Labakhua T. Sh. 680  
 Lagidze J. R. 344  
 Lagidze R. M. 344  
 Lagidze T. P. 755  
 Laitadze G. L. 40  
 Laperashvili L. Ya. 620  
 Lapiashvili A. D. 400  
 Lazarishvili I. L. 480  
 Lekishvili M. M. 280  
 Lekveishvili E. G. 616  
 Lezhava N. R. 547  
 Lobzhanidze N. G. 471  
 Machabeli M. A. 84  
 Macharadze T. S. 48  
 Magnaradze N. G. 60, 328  
 Maisaia G. I. 427  
 Maisuradze M. A. 695  
 Maisuradze N. A. 600  
 Makharadze A. I. 648  
 Makharadze Sh. K. 480  
 Mamasakhlisov G. V. 708  
 Mamasakhlisov V. I. 56  
 Mamatsashvili N. S. 108  
 Managadze G. D. 63  
 Manjgaladze R. N. 495,  
     748  
 Manjgaladze S. N. 139  
 Mdinaradze D. A. 335  
 Megrelashvili R. I. 467  
 Melia N. S. 420  
 Melikadze L. D. 84, 616  
 Melikadze N. L. 44  
 Meshvelishvili J. F. 447  
 Metreveli J. M. 427, 435  
 Meunargia V. V. 719  
 Mgaloblishvili B. I. 475  
 Mikadze R. A. 156  
 Mikeladze A. L. 460  
 Mikeladze A. P. 123  
 Mikeladze R. M. 748  
 Milovski A. V. 651  
 Mindadze M. R. 487  
 Mindeli P. Sh. 584  
 Mirianashvili M. M. 576  
 Mironov V. F. 78  
 Mkheidze T. S. 744  
 Modebadze E. K. 691  
 Modebadze O. F. 100  
 Modzelevski A. A. 388  
 Moniava E. S. 688  
 Monin Yu. S. 312  
 Mshvidobadze M. V. 764  
 Mskhiladze G. G. 128  
 Mukhadze M. G. 380  
 Mumladze V. V. 508  
 Muzaev I. D. 164  
 Mzhavanadze A. V. 740  
 Mzhavanadze V. V. 207  
 Nadaraia E. A. 36  
 Nadareishvili K. Sh. 192,  
     424  
 Nadiradze L. A. 408  
 Nadiradze V. R. 635  
 Nakaidze L. I. 351  
 Naneishvili T. L. 432  
 Nanobashvili E. M. 356  
 Nasaridze I. V. 344  
 Natroshvili K. R. 320  
 Natsvilishvili M. G. 455  
 Nemsadze B. G. 287  
 Nguen Zuy Tien 28  
 Nogaiedeli A. I. 351, 608  
 Nogaiedeli G. A. 608  
 Noselidze A. G. 432  
 Okopiridze Ts. M. 92  
 Okopiridze Z. A. 772  
 Oniani T. N. 204, 684  
 Orlova O. V. 71  
 Palavandishvili D. A. 344  
 Papava D. Yu. 372  
 Papava G. Sh. 595, 600  
 Papisov R. I. 180  
 Paranozenkov V. P. 88  
 Petrova I. S. 211  
 Popovidz R. S. 324, 576  
 Prizva G. I. 300  
 Rafalovich D. M. 388  
 Ramishvili G. Z. 180  
 Ramishvili L. G. 471  
 Ramishvili N. M. 568  
 Rapava L. P. 667  
 Ratiani N. K. 244  
 Razmadze K. S. 451  
 Robitashvili G. A. 335  
 Romanko A. M. 772  
 Sanaia T. V. 424  
 Sandadze V. Ya. 192  
 Sanikidze J. G. 536  
 Sanikidze N. S. 344  
 Sapitsky K. K. 331  
 Sepiashvili A. D. 660  
 Sepiashvili N. D. 552  
 Serebryakov V. Sh. 719  
 Sesiashvili K. M. 339  
 Shakryl A. K. 500  
 Shalibashvili G. K. 220  
 Shapakidze V. N. 411  
 Sharikadze J. V. 572  
 Shavgulidze V. V. 96  
 Shengelia D. M. 651  
 Shengelia G. P. 308  
 Shengelia J. G. 632  
 Shwartsman L. A. 144, 392  
 Siashvili A. I. 440  
 Sigua O. A. 484  
 Sikharulidze A. I. 471  
 Sikharulidze G. Ya. 644  
 Sikharulidze N. I. 699  
 Sikharulidze T. A. 223  
 Simonidze A. D. 760  
 Simonidze M. Sh. 716  
 Siradze V. M. 411  
 Sirbiladze L. L. 239  
 Smolov V. B. 176  
 Solnyshkin V. I. 440  
 Sologastvili J. Z. 63  
 Stefanenko G. A. 716  
 Sturia Z. Sh. 440  
 Suladze E. Sh. 768  
 Sulakvelidze G. K. 335  
 Supatashvili A. Sh. 220  
 Supatashvili Sh. M. 220  
 Targamadze I. L. 207  
 Tatevosian T. G. 688  
 Tavkhelidze D. S. 147  
 Tedoradze G. A. 712  
 Tevdoradze V. V. 424  
 Tkebuchava G. E. 32  
 Tkes'elashvili T. V. 480  
 Tomchinski V. Yu. 56  
 Tsagareli A. L. 636  
 Tsereteli A. S. 272, 520  
 Tsereteli Ts. G. 675  
 Tservadze G. N. 307  
 Tsikaridze N. N. 144, 392  
 Tsikarishvili P. D. 600  
 Tsitlanadze K. E. 523  
 Tskhvishvili D. G. 400  
 Tsotadze M. V. 78  
 Tsulaia G. G. 152  
 Tsvetkazashvili Z. S.  
     324

- Turkia N. G. 491  
Tushurashvili R. G. 356  
Usharauli E. A. 84, 616  
Ustiashvili A. D. 435  
Uturgaidze K. I. 395  
Valuyko G. G. 440  
Vardosanidze E. Sh. 215,  
719
- Varsimashvili E. V. 376  
Verulashvili R. D. 100,  
624  
Vinogradova S. V. 596,  
600  
Vyakhirev N. P. 92  
Yasamanov N. A. 640
- Zaalishvili M. M. 487,  
716  
Zaridze Z. V. 239  
Zhgenti Ts. Ya. 752  
Zhordania T. K. 227  
Zosidze K. Sh. 463  
Zurabashvili Zig. A. 235  
Zurebiani B. G. 184  
Zviadadze U. I. 112

୪୦୬୧୯୮୦\*

კალათა დანიური მაზობრობის დროიდთ

515

ପ୍ରକାଶକା

სამეცნიერო გვერდი

ପ୍ରକାଶକ

- |   |     |
|---|-----|
| *८. न द र ा ग व त व र. फलुरुद्धमिनीस मेरावा, शेतकोननीसा दा वाति व्राण्डास क्राष्णापूर्व-<br>रुद्धास वाल्लेना दिनग्रन्थरुहि अविनेशीस ल्लेगिननाल्लुर वानाटील्लेक्काशे तावीस त्रिवेनीसा<br>दा सिंहल्लेप्पा | 723 |
| *९. च ा ह ि न द र. C14-उपकृतिल्लेप्पास गार्हदाव्वेना वाशीस उत्तरल्लेप्पास दा नायन्त्रीसी  | 728 |
| *१०. व र ा ग व त व र. फ्लोरिनगेनीस मेरावा क्रमशीस बायान्त्रीसी  | 730 |
| विशेषक्रमानुसारी  |     |
| *११. व र ा ग व त व र. फ्लोरिनगेप्पा (Homoptera, psylloidea) व र ा ग व त व र. वानाटील्लेप्पा   | 736 |

အစီရင်ချေမှုတွေ

- ლ. ჭანჩა ველი (საცართველოს სსრ მცენირებათ ფალების აქტერშის),  
ა. მეგონაძე. მინერალური სასუქების ღონების და მათი შეტანის ვალების  
გავლენა ხორბლის ნაცრის (*Erysiphe graminis DC F. tritici Marchal*)  
განვითარებაზე



၂၀၁၆၊ ဧပြီလ၊ ၃၀



მარკენის მოწვევა

- \*८. शेषे न द न था के. उत्तरदात्वास्त्रीयोन् उत्तरोन् मनुष्यगणिरुपं मध्येसिं चक्रवर्णेभिः  
शिवायन्नकलिष्ठेभिः सुचिप्राप्तान्नलुभृतो विनाशलग्नोन् शेषाक्षेषं 764

\*९. ग्रुष्टाकारीना, य. सुलोके. विश्वामित्रेषान्नेन् श्वेतरुपोनि ब्रह्मासुरोन् वायुलुणा  
न्दलासृष्टेभिः लग्नोन्नाश्य 767

ဝန်ဆောင်ရေးဝန်ကြီးဌာန ရွှေဖို့တော်



#### - პარეოგიოლოგია

## СОДЕРЖАНИЕ\*

ПОД ЗНАМЕНЕМ ЛЕНИНСКОЙ ДРУЖБЫ НАРОДОВ	517
<b>МАТЕМАТИКА</b>	
А. С. Церетели. Об одном вопросе аппроксимации функций двух переменных функциями вида $\varphi(x)\psi(y)$	519
К. Э. Цитланадзе. Об усиленной непрерывности нелинейных вариационных операторов в банаховых пространствах	521
Е. Д. Эристова. О числе элементов данного порядка в сплетеении конечных групп	525
Я. Г. Беркович. О конечных метациклических группах	529
Д. Г. Саникидзе. О порядке приближения сингулярных интегралов для одного класса плотностей суммами усложненного типа	533
В. М. Кокилашвили. О сопряженных функциях	537
Р. С. Исаханов. Границная задача линейного сопряжения для конечного числа областей	541
Н. Р. Лежава. О разрешимости одной нелинейной задачи для системы двух дифференциальных уравнений	545
<b>МЕХАНИКА</b>	
Н. Д. Сепниашвили. Об аппроксимации волнового сопротивления и коэффициентов отражения полиномами Лагерра	549
<b>КИБЕРНЕТИКА</b>	
Г. В. Кантария. Оптимальный выбор с согласованием альтернативных гипотез	553
<b>ФИЗИКА</b>	
А. А. Хелашивили, М. А. Элнашвили. Области Окубо и представление $(1.8) \oplus (8.1)$ в киральной симметрии	557
А. А. Арабидзе, В. П. Кокоева, Д. Д. Халикова. Исследование аномалий электрооптического эффекта в $\text{BaTiO}_3$	561
В. В. Мумладзе, Н. М. Рамишвили, В. В. Чавчанидзе (чл.-кор. АН ГССР). Характер образования интерференционных картин в процессе саморепродукции	565
Д. В. Шарикадзе, З. А. Кереселидзе. Приближенный расчет теплового пограничного слоя у плоской пластины с учетом магнитного поля	569
М. Мираиашвили (чл.-кор. АН ГССР), В. П. Копалейшвили, Р. С. Поповидзе. О методе локальных точек в задачах дифракции на решетке	573
<b>АСТРОНОМИЯ</b>	
А. Д. Чуадзе. Космическое поглощение света звезд в поясе местной системы	577
<b>ГЕОФИЗИКА</b>	
Б. К. Балавадзе (чл.-кор. АН ГССР), П. Ш. Миндели. К вопросу о редукциях силы тяжести на море	581
<b>АНАЛИТИЧЕСКАЯ ХИМИЯ</b>	
В. Д. Эристави. Отделение бериллия из вольфрама и молибдена на карбонатной форме анионита АВ-17	585

\* Заглавие, отмеченное звездочкой, относится к резюме статьи.



ОРГАНИЧЕСКАЯ ХИМИЯ

- |  |     |
|--|-----|
| Е. М. Бенашвили. Разделение керосиновой фракции нефти при помощи тиомочевинных аддуктов и метода термодиффузии   | 589 |
| Г. Ш. Папава, И. С. Хитаришвили, С. В. Виноградова, В. В. Коршак (чл.-кор. АН СССР). Синтез смешанных блок-полиарилатов на основе политетраметиленоксида   | 593 |
| П. Д. Цискаришвили, Г. Ш. Папава, Л. А. Беридзе, Н. А. Майсурадзе, С. В. Виноградова, В. В. Коршак (чл.-кор. АН СССР). Зависимость свойств полиарилатов, полученных на основе поливиниловых бисфенолов, от их физической структуры | 597 |
| К. И. Черкезишивили, М. И. Гвердцители. Синтез некоторых дикарбоновых кислот и их гидрирование   | 601 |
| А. И. Ногайдели, Д. Ш. Ахобадзе, Г. А. Ногайдели. Взаимодействие пиперидина с алкил-(арил)-гидридхлоросиланами,mono- и бис-дигидроарил-аминосиланами   | 605 |
| А. И. Кахниашвили, Т. Ш. Гвалия, Д. Ш. Иорамашвили. Взаимодействие метилового эфира винилэтинилкарбина с триалкилсиланами  | 609 |
| Л. Д. Меликадзе (чл.-кор. АН ГССР), Э. А. Ушараули, Э. Г. Леквенишивили. Газ-хроматографическое исследование продуктов фотоконденсации 9-бутилфенантрена с малеиновым ангидридом   | 613 |
| <b>ФИЗИЧЕСКАЯ ХИМИЯ</b>  |     |
| Т. Г. Аидроникашвили, Л. Я. Лаперашвили, С. С. Чхенидзе. Исследование свойств стронцийсодержащих цеолитов типа Y методом газовой хроматографии   | 617 |
| <b>ХИМИЧЕСКАЯ ТЕХНОЛОГИЯ</b>   |     |
| К. С. Кутателадзе (чл.-кор. АН ГССР), Р. Д. Верулашвили, Г. М. Карабадзе. Влияние термообработки на природу электропроводимости сложных железосодержащих стекол  | 621 |
| *Л. А. Хускинадзе. Использование отходов виноградной лозы для получения термореактивных пресспорошков  | 627 |
| Р. И. Агадзе (академик АН ГССР), Дж. Г. Шенгелия, Н. В. Демуря. Экстракционный способ очистки растворов от железа в процессе получения марганцевых концентратов  | 629 |
| <b>ГЕОЛОГИЯ</b>  |     |
| В. Р. Надирадзе, А. Л. Цагарели (академик АН ГССР). О глубине формирования эндогенных месторождений сурьмяно-рутутно-мышьяковой формации Большого Кавказа (Рача-Сванетия)  | 633 |
| Н. А. Ясаманов. Юрские и палеогеновые палеотемпературы морских бассейнов Западного Закавказья  | 637 |
| <b>ПАЛЕОНТОЛОГИЯ</b>   |     |
| Г. Я. Сихарулидзе. Новый род <i>Parefallonia</i> из нижнемеловых отложений Западной Грузии   | 641 |
| <b>ЛИТОЛОГИЯ</b>   |     |
| А. И. Махарадзе, З. Н. Киласония. К литологии майкопской серии Мегрелии  | 645 |
| <b>ГЕОХИМИЯ</b>  |     |
| Д. М. Шенгелия, Д. Н. Кецховели, А. В. Миловский. Фтор в биотитах из палеозойских гранитоидов Северного Кавказа  | 649 |

## СТРОИТЕЛЬНАЯ МЕХАНИКА

- Б. М. Григолашвили. Влияние повышенных температур на долговечность стеклотекстолита КАСТ-В при различных режимах нагружения и «отдыха» 653

## РАЗРАБОТКА И ОБОГАЩЕНИЕ МЕСТОРОЖДЕНИЙ

- А. А. Дзидзигури (академик АН ГССР), А. Д. Сепиашвили, Г. Г. Карадзе, Б. Р. Бандзеладзе. К исследованию гашения колебаний трансмиссий добычных комбайнов 657

## АВТОМАТИЧЕСКОЕ УПРАВЛЕНИЕ И ВЫЧИСЛИТ. ТЕХНИКА

- М. В. Чхенди, Ш. Ю. Исмаилов, Г. Б. Чхенди, Г. И. Даварашвили. Быстродействующий цифровой измеритель эффективного значения несинусоидального периодического напряжения 661

## ФИЗИОЛОГИЯ РАСТЕНИЙ

- \*Л. П. Рацава. Значение сахаров в перезимовке некоторых овощных растений 667  
 Э. Н. Кецховели, И. Г. Джапаридзе. Дыхание зеленых и красных листьев некоторых вечнозеленых растений 669  
 \*Ц. Г. Церетели. Влияние рентгеновых лучей, молибдена и их совместного применения на проростки и урожай фасоли 675

## ФИЗИОЛОГИЯ ЧЕЛОВЕКА И ЖИВОТНЫХ

- Т. Ш. Лабахуа. Отрицательные компоненты прямого ответа коры при гипотермии в условиях нембуталового наркоза 677  
 Т. Н. Оннани (чл.-кор. АН ГССР). Динамика электрической активности новой коры и гиппокампа при удовлетворении потребности 681  
 Э. С. Мониава, Т. Г. Татевосаян. Взаимодействие электрических ответов ядер шва ствола мозга, возникающих на раздражение кожи и червного нерва 685  
 В. А. Курцхалия, Э. К. Модебадзе. Влияние автомамманизации на сверхчувствительную систему крови при дисфункциональных маточных кровотечениях 689  
 М. М. Майсурадзе. К изучению роли переднего мозга в поведении эмфибии 693  
 \*Н. И. Сихарулидзе, А. Я. Кацагишили. К изучению эмоциональной памяти у пресмыкающихся 699  
 \*Дж. Г. Иоселиани. Действие гидрокортизона в комбинации с антибиотиками (пенициллин, стрептомицин) на сократительную деятельность маточных труб 704  
 \*А. М. Эльнер, Г. В. Мамасахлисов. Об организации непроизвольной активности мышц человека 705

## БИОФИЗИКА

- Н. Е. Енукидзе, Г. А. Тедорадзе. Адсорбционное поведение денатурированной ДНК на границе раздела ртуть/электролит 709  
 Г. А. Стефаненко, М. Ш. Симонидзе, М. М. Заалишили. Влияние  $\alpha$ -актинина на кинетику Г—Ф-перехода актина 713

## МИКРОБИОЛОГИЯ И ВИРУСОЛОГИЯ

- Э. Ш. Вардосанидзе, В. В. Меунаргия, В. Ш. Серебряков, Г. С. Копилашвили. Изучение способности эмбриональных антигенов создавать трансплантационную резистентность в отношении опухоли, индуцированной аденоовирусом человека 717

## БИОХИМИЯ

- И. И. Ибрагимов. Влияние нагрузки животных свободными аминокислотами и кофакторами их обмена на распределение регионального фонда биогенных аминов в головном мозгу и в крови 721
- О. Т. Хачидзе. Превращение С<sup>14</sup>-пептидов в листьях и ягодах винограда 725
- Н. П. Гумбариадзе. Хлорогеновая кислота из плодов айвы 729

## ЭНТОМОЛОГИЯ

- А. М. Гегечкори. Новые виды псилюид (Homoptera, Psylloidea) из Пшав-Хевсуретии 733

## ФИТОПАТОЛОГИЯ

- \*Л. А. Канчавели (академик АН ГССР), А. В. Мжаванадзе. Влияние доз минеральных удобрений и сроков их внесения на развитие мучнистой росы пшеницы (*Erysiphe graminis DC F. tritici* Marchal) 740

## ЗООЛОГИЯ

- Т. С. Мхеидзе. Новые виды пауков рода *Harpactocrates* из Грузии 741

## ЦИТОЛОГИЯ

- Р. М. Микеладзе, Р. Н. Манджгаладзе, Г. Е. Кучухидзе, Л. А. Кахиадзе. О колъпциологическом исследовании гормональных нарушений яичниковой функции у работниц заводов химкомбината и химволокна г. Рустави 745

- Ц. Я. Жгенти. Белоксинтезирующая активность РНК в субклеточных образованиях различных органов крыс 749

## ГИСТОЛОГИЯ

- М. А. Брегадзе, Т. П. Лагидзе. Морфологические изменения семеников морских свинок при тотальном и локальном облучениях 753
- А. Д. Симонидзе. Гистохимическое исследование плаценты при нормальной беременности и нефропатии беременных 757

## ЭКСПЕРИМЕНТАЛЬНАЯ МОРФОЛОГИЯ

- М. В. Мшивидобадзе. О функциональной морфологии митохондрий клеток регенерирующего сухожилия при тендопластике 761
- З. В. Гвахария, Э. Ш. Суладзе. Изучение влияния широкополосного шума на улитку морской свинки 765

## ЭКСПЕРИМЕНТАЛЬНАЯ МЕДИЦИНА

- \*А. М. Романко, К. Г. Бербичашвили, З. А. Окропириадзе. К вопросу модификации дифференциального баллистоосцилографа конечностей 772

## ПАЛЕОБИОЛОГИЯ

- Ж. Аршанибо. Замечательный случай гомеоморфии у моллюсков семейства *Cardiidae* 773

## CONTENTS\*

### MATHEMATICS

A. S. Tsereteli. On one question of approximation of functions of two variables by the functions of type $\psi(x)\psi(y)$	520
K. E. Tsitianadze. On the operators strong continuity of nonlinear variational in Banach spaces	523
E. D. Eristova. On the number of elements of the given order in the wreath product of finite groups	528
Ya. G. Berkovich. On finite metacyclic groups	532
J. G. Sanikidze. A note on the order of approximation of singular integrals by a quadratic sum for one class of densities	536
V. M. Kokilashvili. On conjugate functions	540
R. S. Isakhanov. A boundary-value problem of linear conjugation for a finite number of regions	544
N. R. Lezhava. On the solvability of a nonlinear problem for a system of two differential equations	547

### MECHANICS

N. D. Sepashvili. On the approximation of wave resistance and reflection coefficients by Laguerre polynomials	552
---	-----

### CYBERNETICS

G. V. Kantaria. Optimal choice with coordination of alternative hypotheses	555
--	-----

### PHYSICS

A. A. Khelashvili, M. A. Eliashvili. Okubo domains and the representation $(1, 8) \oplus (8, 1)$ in chiral symmetry	560
A. A. Arabidze, V. P. Kokoeva, D. D. Khalipova. Investigation of anomalies of the electro-optical effect in $\text{BaTiO}_3$	563
V. V. Mumladze, N. M. Ramishvili, V. V. Chavchavadze. The nature of interference patterns formation in the process of self-reproduction	568
J. V. Sharikadze, Z. A. Kereselidze. Approximate calculation of the thermal boundary layer of a plane plate for a vertical wall placed in magnetic field.	572
M. M. Mirianashvili, V. P. Kopaleishvili, R. S. Popovidze. On the method of local points in problems of lattice diffraction	576

### ASTRONOMY

A. D. Chudadze. Interstellar absorption of light in the local system belt	579
---	-----

### GEOPHYSICS

B. K. Balavadze, P. Sh. Mindeli. On the reduction of gravity over seas	584
--	-----

---

\* A title marked with an asterisk refers to the summary of the article.

## ANALYTICAL CHEMISTRY

- V. D. Eristavi. Separation of beryllium from tungsten and molybdenum on the carbonate form of anion-exchanger AB-17

587

## ORGANIC CHEMISTRY

- E. M. Benashvili. Separation of the kerosene fraction by thiocarbamide adducts and by the thermodiffusion method

592

- G. Sh. Papava, I. S. Kharishvili, S. V. Vinogradova, V. V. Korshak. Synthesis of mixed block polyarylates on the basis of polytetramethylene oxide

596

- P. D. Tsiskarishvili, G. Sh. Papava, L. A. Beridze, N. A. Maisuradze, S. V. Vinogradova, V. V. Korshak. Dependence of the properties of polyarylates obtained on the basis of polycyclic bisphenols upon their physical structure

598

- K. I. Cherkezishvili, M. I. Gverdtsiteli. Synthesis and hydrogenation of some dialkeninoxysilanes

600

- A. I. Nogaideili, D. Sh. Akhobadze, G. A. Nogaideili. The interaction of piperidine with alkyl (aryl)-hydride chlorosilanes and mono- and bis-dialkyl (aryl) aminochlorosilanes

603

- A. I. Kakhniashvili, T. Sh. Gvalia, D. Sh. Ioramashvili. Reaction of vinylacetylenic carbinol ether with trialkylsilanes

608

- L. D. Melikadze, E. A. Usharauli, E. G. Lekveishvili. Gas-liquid chromatographic study of the products obtained by the photocondensation reaction of 9-butylphenanthrene with maleic anhydride

612

616

## PHYSICAL CHEMISTRY

- T. G. Andronikashvili, L. Ya. Laperashvili, S. S. Chkheidze. Gas-chromatographic characterization of strontium-containing Y-type zeolites

620

## CHEMICAL TECHNOLOGY

- K. S. Kutateladze, R. D. Verulashvili, G. M. Kakabadze. The effect of heat treatment on the nature of the electric conductivity of complex ferruginous glasses

624

- L. A. Khuskivadze. Utilization of grapevine wastes to obtain thermoreactive presspowders

627

- R. I. Agladze, J. G. Shengelia, N. V. Demuria. Use of the extraction method of purification of solutions from iron in the production of manganese-concentrates

632

## GEOLOGY

- V. R. Nadiradze, A. L. Tsagareli. On the depth of formation of antimony-mercury-arsenic endogenic deposits of the Greater Caucasus (Racha-Svaneti)

636

- N. A. Yasamanov. Jurassic and Paleogene paleotemperatures of marine basins of Western Transcaucasia

640

## PALAEONTOLOGY

- G. I. Sikharulidze. A new genus *Paretallonia* (*Hexacoralla*) from the Lower Cretaceous deposits of Western Georgia

644

## LITHOLOGY

- A. I. Makharadze, Z. N. Kilasonia. Towards the lithology of the Maikopian series of Megrelia

648

**GEOCHEMISTRY**

- D. M. Shengelia, D. N. Ketskhoveli, A. V. Milovski. Fluorine in the biotites from the Paleozoic granitoids of the Northern Caucasus

651

**STRUCTURAL MECHANICS**

- B. M. Grigolashvili. The influence of high temperature on the longevity of fibre-glass laminate under different conditions of loading and "rest"

656

**EXPLOITATION OF DEPOSITS AND CONCENTRATION**

- A. A. Dzidziguri, A. D. Sepiashvili, G. G. Kasradze, B. R. Bandzeladze. Towards the study of vibration damping of the mining combine transmissions

660

**AUTOMATIC CONTROL AND COMPUTER ENGINEERING**

- M. V. Chkheidze, Sh. Yu. Ismailov, G. B. Chkheidze, G. I. Davarashvili. Quick-operating digital meter of nonsinusoidal periodic voltage effective value

664

**PLANT PHYSIOLOGY**

- L. P. Rapava. Significance of sugars for the hibernation of some vegetables  
 E. N. Ketskhoveli, I. G. Japaridze. Respiration of green and red leaves of some semperfirant plants  
 Ts. G. Tsereteli. The effect of X-rays, molybdenum and their combined use on the radicles and yield of haricot bean

667

672

675

**HUMAN AND ANIMAL PHYSIOLOGY**

- T. Sh. Labakhua. Negative components of direct cortical response under hypothermia in nembutalized cats  
 T. N. Oniani. Dynamics of the neocortical and hippocampal electrical activity during satisfaction of needs  
 E. S. Moniava, T. G. Tatevosian. Interaction of electrical responses of the brain stem raphe nuclei evoked by the skin and splanchnic stimulations  
 V. A. Kurtskhalia, E. K. Modebadze. The influence of automamination on the coagulation system in dysfunctional uterine hemorrhage  
 M. A. Maisuradze. Concerning the role of the forebrain in the behaviour of amphibians  
 N. I. Sikharulidze, A. Ya. Kadagishvili. Towards the study of emotional memory in reptiles  
 J. G. Ioseliani. The action of hydrocortisone in combination with antibiotics (penicillin, streptomycin) on the contractile activity of the fallopian tubes  
 A. M. Elner, G. V. Mamashkhilov. On the organization of human involuntary muscle activity

680

684

688

691

695

699

704

708

**BIOPHYSICS**

- N. E. Enukidze, G. A. Tedoradze. Adsorption behaviour of denaturated DNA at the interface of mercury/electrolyte  
 G. A. Stefanenko, M. Sh. Simonidze, M. M. Zaalishvili. The influence of  $\alpha$ -actinin on the kinetics of G-F-transition of actin

712

716

## MICROBIOLOGY AND VIROLOGY

- E. Sh. Vardosanidze, V. V. Meunargia, V. Sh. Serebryakov,  
 G. S. Kopilashvili. Study of embryonal capacity to create transplantation resistance against tumours induced by human adenovirus

719

## BIOCHEMISTRY

- I. I. Ibragimov. The effect of glutamate methionine and cofactors of their metabolism on the distribution of the regional fund of biogenic amines in the brain and blood

724

- O. T. Khachidze. Transformation of C<sup>14</sup>-peptides in grapevine leaves and fruit

728

- N. P. Gumbaridze. Chlorogenic acid from quince fruit

731

## ENTOMOLOGY

- A. M. Gegechkori. New plant lice (*Homoptera, Psylloidea*) from Pshav-Khevsureti

736

## PHYTOPATHOLOGY

- L. A. Kanchaveli, A. V. Mzhavanadze. Influence of doses of mineral fertilizers and the time of their application on the development of powdery mildew of wheat (*Erysiphe Graminis DC F. Tritici Marchal*)

740

## ZOOLOGY

- T. S. Mkheidze. New species of spiders of the genus *Harpactocrates* (*Dysderidae*) in Georgia

744

## CYTOLOGY

- R. M. Mikeladze, R. N. Manjgaladze, G. E. Kuchukhidze, L. A. Kakhidze. Colpocytodiagnosis of ovarian hormonal malfunction among women-workers at the group of chemical enterprises and the synthetic fibre plant in Rustavi

748

- Ts. Ya. Zhgenti. The protein-synthesizing activity of RNA of subcellular formations of various organs of rats

752

## HISTOLOGY

- M. A. Bregadze, T. P. Lagidze. Morphological alterations in the testicles of guinea pigs during total local X-radiation

755

- A. D. Simonidze. A histochemical study of the placenta during normal pregnancy and nephropathy of pregnant women

760

## EXPERIMENTAL MORPHOLOGY

- M. V. Mshvidobadze. On the functional morphology of the mitochondria of regenerating tendon cells during tendoplasty

764

- Z. V. Gvakharia, E. Sh. Suladze. Wide-band noise effect on the cochlea in guinea pigs

768

## EXPERIMENTAL MEDICINE

- A. M. Romanko, K. G. Berbichashvili, Z. A. Okropiridze. Towards the modification of the differential ballistocardiograph of the limbs

772

## PALAEOBIOLOGY

- J. Archambault. A remarkable case of homeomorphy of molluscs of the family *Cardiidae*

775

## К СВЕДЕНИЮ АВТОРОВ

1. В журнале «Сообщения АН ГССР» публикуются статьи академиков, членов-корреспондентов, научных работников системы Академии и других ученых, содержащие еще не опубликованные новые значительные результаты исследований. Печатаются статьи лишь из тех областей науки, номенклатурный список которых утвержден Президиумом АН ГССР.

2. В «Сообщениях» не могут публиковаться полемические статьи, а также статьи обзорного или описательного характера по систематике животных, растений и т. п., если в них не представлены особенно интересные научные результаты.

3. Статьи академиков и членов-корреспондентов АН ГССР принимаются непосредственно в редакции «Сообщений», статьи же других авторов представляются академиком или членом-корреспондентом АН ГССР. Как правило, академик или член-корреспондент может представить для опубликования в «Сообщениях» не более 12 статей разных авторов (только по своей специальности) в течение года, т. е. по одной статье в каждый номер, собственные статьи — без ограничения, а с соавторами — не более трех. В исключительных случаях, когда академик или член-корреспондент требует представления более 12 статей, вопрос решает главный редактор. Статьи, поступившие без представления, передаются редакцией академику или члену-корреспонденту для представления. Один и тот же автор (за исключением академиков и членов-корреспондентов) может опубликовать в «Сообщениях» не более трех статей (независимо от того, с соавторами она или нет) в течение года.

4. Статья должна быть представлена автором в двух экземплярах, в готовом для печати виде, на грузинском или на русском языке, по желанию автора. К ней должны быть приложены резюме — к грузинскому тексту на русском языке, а к русскому на грузинском, а также краткое резюме на английском языке. Объем статьи, включая иллюстрации, резюме и список цитированной литературы, приводимой в конце статьи, не должен превышать четырех страниц журнала (8000 типографских знаков), или шести стандартных страниц машинописного текста, отпечатанного через два интервала (статьи же с формулами — пяти страниц). Представление статьи по частям (для опубликования в разных номерах) не допускается. Редакция принимает от автора в месяц только одну статью.

5. Представление академика или члена-корреспондента на имя редакции должно быть написано на отдельном листе с указанием даты представления. В нем необходимо указать: новое, что содержится в статье, научную ценность результатов, насколько статья отвечает требованиям пункта I настоящего положения.

6. Статья не должна быть перегружена введением, обзором, таблицами, иллюстрациями и цитированной литературой. Основное место в ней должно быть отведено результатам собственных исследований. Если по ходу изложения в статье сформулированы выводы, не следует повторять их в конце статьи.

7. Статья оформляется следующим образом: вверху страницы в середине пишутся инициалы и фамилия автора, затем — название статьи; справа вверху представляющий статью указывает, к какой области науки относится она. В конце основного текста статьи с левой стороны автор указывает полное название и местонахождение учреждения, где выполнена данная работа.

8. Иллюстрации и чертежи должны быть представлены по одному экземпляру в конверте; чертежи должны быть выполнены черной тушью на кальке. Надписи на чертежах должны быть выполнены каллиграфически в таких размерах, чтобы

даже в случае уменьшения они оставались отчетливыми. Подрисуночные надписи, сделанные на языке основного текста, должны быть представлены на отдельном листе. Не следует приклеивать фото и чертежи к листам оригинала. На полях оригинала автор отмечает карандашом, в каком месте должна быть помещена та или иная иллюстрация. Не должны представляться таблицы, которые не могут уместиться на одной странице журнала. Формулы должны быть четко вписаны чернилами в оба экземпляра текста; под греческими буквами проводится одна черта красным карандашом, под прописными — две черты черным карандашом снизу, над строчными — также две черты черным карандашом сверху. Карапашом должны быть обведены полукругом индексы и показатели степени. Резюме представляются на отдельных листах. В статье не должно быть исправлений и дополнений карандашом или чернилами.

9. Список цитированной литературы должен быть отпечатан на отдельном листе в следующем порядке. Вначале пишутся инициалы, а затем — фамилия автора. Если цитирована журнальная работа, указываются сокращенное название журнала, том, номер, год издания, а если цитирована книга, — полное название книги, место и год издания. Если автор считает необходимым, он может в конце указать и соответствующие страницы. Список цитированной литературы приводится не по алфавиту, а в порядке цитирования в статье. При ссылке на литературу в тексте или в сносках номер цитируемой работы помещается в квадратные скобки. Не допускается вносить в список цитированной литературы работы, не упомянутые в тексте. Не допускается также цитирование неопубликованных работ. В конце статьи, после списка цитированной литературы, автор должен подчертаться и указать место работы, занимаемую должность, точный домашний адрес и номер телефона.

10. Краткое содержание всех опубликованных в «Сообщениях» статей печатается в реферативных журналах. Поэтому автор обязан представить вместе со статьей ее реферат на русском языке (в двух экземплярах).

11. Автору направляется корректура статьи в сверстном виде на строго ограниченный срок (не более двух дней). В случае невозврата корректуры к сроку редакции вправе приостановить печатание статьи или напечатать ее без визы автора.

12. Автору выдается бесплатно 25 оттисков статьи.

(Утверждено Президиумом Академии наук Грузинской ССР 10.10.1968; внесены изменения 6.2.1969)

Адрес редакции: Тбилиси 60, ул. Кутузова, 19, телефоны 37-22-16, 37-93-42.

Почтовый индекс 380060

Условия подписки: на год — 12 руб.

ପ୍ରକାଶକ ପରିଷଦ

1. კუტანალ „სავართველოს სსრ მცნიერებათა აკადემიის მთაბეჭირი“ ქვეყნლება აკადემიისთვის და წევრობრძებისთვის მომზადება და სხვა მცნიერებათა მოქლე წევრების მომზადება და მცნიერებათა მოქლე წევრების შეიცავს ასალ მნიშვნელოვან განრიცველებათა ჯერ გამოკვეყნებელ შეღებებს. წევრობრძები ქვეყნლება მთაბეჭირი ის სამცნიერო დარგებისან, რომელთა ნოშენებაზე მთაბეჭირი სა ფარმაციულმა აკადემიის პრეზიდიუმის მიერ.

3. საქართველოს სსრ მუნიციპალური აკადემიის აკადემიური და წევრ-კორესპონდენტთა წევრილები უშეაღლოდ გადაეცემა გამოსახულებულად „მომისი“ რედაქციას, ხოლო სსვა ვეტორთა წევრილები ქვეყნდება აკადემიისთა ან წევრ-კორესპონდენტთა წარდგინებით. როგორც წესი, აკადემიკოსს ან წევრ-კორესპონდენტს „მომისი“ დასაბეჭდად წელიწადში შეუძლია წარმოადგინოს სსვა ვეტორთა არაუმჯოფებელი 12 წერილისა (მთლიან თვევისა სტეკიალბის შენედვით), ე. ი. თითოეულ ნომერში თითო წერილი. საყუარა წერილი — რამდენიმე სურს, ხოლო თანაავტორებთან ერთად — არაუმჯოფელი სამი წერილისა გამონაცვლის შემთხვევაში, როცა აკადემიისა ან წევრ-კორესპონდენტი მოითხოვს 12-ზე მეტი წერილის წარდგენას, საყოთხს წყვეტს მთავარი რედაქტორი. წარდგინების გარეშე შემთხველ წერილს „მომისი“ რედაქტორი წარმოადგინად გადასცემს აკადემიკოსს ან წევრ-კორესპონდენტს. ერთსა და იმავე ვეტორს (გარდა აკადემიისთა და წევრ-კორესპონდენტისა) წელიწადში შეუძლია „მომისი“ გამოაცემონს არა უმეტეს სამი წერილის (სულ ერთია, თანაავტორებთან იქნება ერთ თემაზე).

4. წერილი წარმოდგენილი უნდა იყოს ორ ცალიდ, დასაბუქდად საკებბით შეა სახით, ავტორის სურვილისმებრ ქართულ ან რუსულ ენაზე, ქართულ ტექსტს თან უნდა ახლდეს რუსულ და მოკლე ინგლისური ტენიუმე, ხოლო რუსულ ტექსტს — ქართული და მოკლე ინგლისური ტენიუმე. წერილის მიცულობა ღლუსტრული განვითარებით და დამოწმებული ღლერატურის ნუსხითური, რომელიც მას მოღლოშე ერთვის, ან უნდა ღლემატების ფურნალის 4 გვერდს (8000 სასტაბზ ნიშანი), ანუ საწერ მანქანიზე ორი ინტერალით გაღმის 6 სტანციაზე და გვერდს (ფორმულებითი წერილი კი 5 გვერდს). ას შეიძლება წერილების ნაწილებად დაყოფა სხვადასხვა ნომერში გამოისაქვეყნებლად. ეკონომიკურად რედაქტურა დებულობს თვეში მსოფლიო ერთ წერილს.

7. წერილი ასე ფორმიდება: თავშიც ზემოთ უნდა დაიწეროს აკრიტიკის ინიციატივი და გვარი, ქვემოთ — წერილის სახაური. ზემოთ მოჩეკვენა მხატვეს, წარმომადგენერა უნდა წარწეროს, რო შეცნიერების რომელ დარგს განკუთვნება წერილი. წერილის ძირითადი ტემპეტის პოლოს, მატერიალური მხატვეს, ავტორის უნდა ორინიშონი იმ დატესტირებულების სრულ სახელწოდება და აღიმობებარეობა, სადაც შესრულებულია შემთხვევა.



იყოთხებოდეს. ილუსტრაციების ქვემო წარწერების ტექსტი წერილის ძირითადი ტექსტის ერთზე  
წარმოდგვნილ უნდა იქნეს ცალკე ფურცელზე. არ შეიძლება ფოტოებისა და ნახახების ცალკელი მასა  
ბეჭა დღისას გვერდებშე. ავტორმა დღისას კადებები ფურცელით უნდა აღნიშნოს, რა ადგილას  
მოთავსდეს ესა თუ ის ილუსტრაცია. არ შეიძლება წარმოდგვნილ იქნეს ისეთი ცხრილი,  
რომელიც ფურცელის ერთ გვერდზე ვერ მოთავსდება. ფოტომულები შელით შეაფილობ უნდა  
იყოს ჩატერილი ტექსტის ორივე გვერდისათვის; ბერძნებულ ასოებს ქვემოთ ცვლილი უნდა  
გაესვის თითო ხაზი წითელი ფანჯრით, მთავრულ ასოებს — ქვემოთ ორ-ორი პატარა ხაზი შეაი  
ფანჯრით, ხოლო არამთავრულ ასოებს — ზემოთ ორ-ორი პატარა ხაზი შევი ფანჯრით. ფანჯ-  
რითვე უნდა შემოიფარგლოს ნახევარწერით ნიშნავებიც (ინდექსები და ხარისხის მიხევნებ-  
ლები). რეზიუმები წარმოდგვნილ უნდა იქნეს ცალ-ცალკე ფურცელებშე. წერილში არ უნდა  
იყოს ჩასტორებები და ჩამატებები ფანჯრით ან შელით.

9. დამოწმებული ლიტერატურა უნდა დაბეჭდოს ცალკე ფურცელზე. საჭიროა დაცულ  
იქნეს ასეთი თანმიმდევრობა: ავტორის ინიციატივი, გვარი. თუ დამოწმებულია საერთაშორის-  
შორის, კუნკვენით უურნალის შემოყვალებული სახელწოდება, ტომი, ნომერი, გამოცემის წელი.  
თუ დამოწმებულია წიგნი, აუცილებელია უურკვით მისი სრული სახელწოდება, გამოცემის  
აღგილი და წელი. თუ აერთო საქითო მიიჩინებს, ბოლოს შეუძლია გვერდების ნუმერა-  
ციაც უჩვენოს. დამოწმებული ლიტერატურა უნდა დალაგდეს არა ანბაზრი წესით, არამედ  
ლამიშებების თანმიმდევრობით. ლიტერატურის მისათხოვებლად ტექსტსა თუ შენიშვნებში  
კარგატულ ურჩისილებში ნახევნიბი უნდა იყოს შესაბამისი ნიკერი დამოწმებული შერმისა. არ  
შეიძლება დამოწმებული ლიტერატურის ნუსხაში შევიტონთ ისეთი შერმი, რომელიც  
ტექსტში მითითებული არ არის. ასევე არ შეიძლება გამოუვევენებელი შერმის დამოწმება.  
დამოწმებული ლიტერატურის ბოლოს ავტორმა უნდა მოაწეროს ხელი, აღნიშნოს სად მუშა-  
ობს და რა თანამდებობაშე, უჩვენოს თავისი ზუსტ მისამართი და ტელეფონის ნომერი.

10. „მოამბეში“ გამოუვევენებული ცალკე წერილის მოკლე შინაარსი იძექდება რეცეპ-  
ტორ ფურნალებში. ამიტომ ავტორმა წერილთან ერთად უცალ წარმოადგინოს  
მისი რეცეპტორი რესულ ენაზე (ორ ცალკე).

11. ავტორს წისაპითად ეძლევა თავისი წერილის გვერდებად შეკრული კორექტურა შეაც-  
რად კანსაზღვრული ვადით (არამეტეს ორი ღლიას). თუ დაგვენილი ვადისათვის კორექ-  
ტურა არ იქნა დაბრუნებული, რედაქტორის ფულდება აქვთ შეაქროს წერილის დაბეჭდვა ან  
დაბეჭდოს იგი ავტორის ვიზის გარეშე.

12. ავტორს უფასოდ ეძლევა თავისი წერილის 25 ამონაბეჭდი.

(დამტკიცებულია საქართველოს სსრ მეცნიერებათა აკადემიის  
პრეზიდიუმის მიერ 10.10.1968; შეტანილია ცვლილებები 6.2.1969)

რედაქტორის მისამართი: თბილისი 60, კოტე ზოვის ქ. № 19; ტელ. 37-22-16, 37-93-42.

საფულისტო ინდექსი 380060

ხ ე ლ მ თ წ ე რ ი ს პ ი რ ი ბ ე ბ ი ე რ თ წ ლ ი თ 12 მან.



6.70  
850-1-856.  
ЦИНА 1 РУБ.

ИНДЕКС 76181